

International Nonproprietary Names for Pharmaceutical Substances (INN)

RECOMMENDED International Nonproprietary Names: List 86

Notice is hereby given that, in accordance with paragraph 7 of the Procedure for the Selection of Recommended International Nonproprietary Names for Pharmaceutical Substances [*Off. Rec. Wld Health Org.*, 1955, **60**, 3 (Resolution EB15.R7); 1969, **173**, 10 (Resolution EB43.R9); Resolution EB115.R4 (EB115/2005/REC/1)], the following names are selected as Recommended International Nonproprietary Names. The inclusion of a name in the lists of Recommended International Nonproprietary Names does not imply any recommendation of the use of the substance in medicine or pharmacy.

Lists of Proposed (1–117) and Recommended (1–78) International Nonproprietary Names can be found in *Cumulative List No. 17, 2017* (available in CD-ROM only).

Dénominations communes internationales des Substances pharmaceutiques (DCI)

Dénominations communes internationales RECOMMANDÉES: Liste 86

Il est notifié que, conformément aux dispositions du paragraphe 7 de la Procédure à suivre en vue du choix de Dénominations communes internationales recommandées pour les Substances pharmaceutiques [Actes off. Org. mond. Santé, 1955, **60**, 3 (résolution EB15.R7); 1969, **173**, 10 (résolution EB43.R9); résolution EB115.R4 (EB115/2005/REC/1)] les dénominations ci-dessous sont choisies par l'Organisation mondiale de la Santé en tant que dénominations communes internationales recommandées. L'inclusion d'une dénomination dans les listes de DCI recommandées n'implique aucune recommandation en vue de l'utilisation de la substance correspondante en médecine ou en pharmacie.

On trouvera d'autres listes de Dénominations communes internationales proposées (1–117) et recommandées (1–78) dans la *Liste récapitulative No. 17, 2017* (disponible sur CD-ROM seulement).

Denominaciones Comunes Internacionales para las Sustancias Farmacéuticas (DCI)

Denominaciones Comunes Internacionales RECOMENDADAS: Lista 86

De conformidad con lo que dispone el párrafo 7 del Procedimiento de Selección de Denominaciones Comunes Internacionales Recomendadas para las Sustancias Farmacéuticas [Act. Of. Mund. Salud, 1955, **60**, 3 (Resolución EB15.R7); 1969, **173**, 10 (Resolución EB43.R9); Résolution EB115.R4 (EB115/2005/REC/1) EB115.R4 (EB115/2005/REC/1)], se comunica por el presente anuncio que las denominaciones que a continuación se expresan han sido seleccionadas como Denominaciones Comunes Internacionales Recomendadas. La inclusión de una denominación en las listas de las Denominaciones Comunes Recomendadas no supone recomendación alguna en favor del empleo de la sustancia respectiva en medicina o en farmacia.

Las listas de Denominaciones Comunes Internacionales Propuestas (1–117) y Recomendadas (1–78) se encuentran reunidas en *Cumulative List No. 17, 2017* (disponible sólo en CD-ROM).

Latin, English, French, Spanish: <i>Recommended INN</i>	<i>Chemical name or description; Molecular formula; Graphic formula</i>
<i>DCI Recommandée</i>	<i>Nom chimique ou description; Formule brute; Formule développée</i>
<i>DCI Recomendada</i>	<i>Nombre químico o descripción; Fórmula molecular; Fórmula desarrollada</i>

abequolixronum

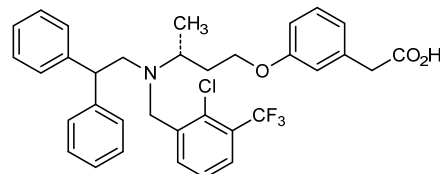
abequolixron

(3-((3*R*)-3-[[[2-chloro-3-(trifluoromethyl)phenyl]methyl](2,2-diphenylethyl)amino]butoxy]phenyl)acetic acid

abéquolixron

acide (3-((3*R*)-3-[[[2-chloro-3-(trifluorométhyl)phényl]méthyl](2,2-diphénylethyl)amino]butoxy]phényl)acétique

abecuolixron

ácido (3-((3*R*)-3-[[[2-cloro-3-(trifluorometil)fenil]metil](2,2-difeniletil)amino]butoxi)fenil)acéticoC34H33ClF3NO3**abrucomstatum**

abrucomstat

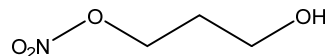
3-hydroxypropyl nitrate

abrucomstat

nitrate de 3-hydroxypropyle

abrucomstat

nitrato de 3-hidroxipropilo

C3H7NO4**acasunlimabum #**

acasunlimab

immunoglobulin G1-lambda/kappa, anti-[*Homo sapiens* CD274 (programmed death ligand 1, PDL1, PD-L1, B7 homolog 1, B7H1)], and anti-[*Homo sapiens* TNFRSF9 (tumor necrosis factor receptor (TNFR) superfamily member 9, 4-1BB, CD137)], humanized and *Homo sapiens* monoclonal antibody, bispecific;

	gamma1 heavy chain anti-CD274 humanized (1-450) [VH anti-CD274 humanized (<i>Homo sapiens</i> IGHV3-23*01 (87.6%) -(IGHD) -IGHJ1*01 (100%) CDR-IMGT [8.8.14] (26-33.51-58.97-110) (1-121) - <i>Homo sapiens</i> IGHG1*03, G1m3, nG1m1, G1V41 CH2 F1.3, E1.2 (CH1 R120 (218) (122-219), hinge 1-15 (220-234), CH2 L1.3>F (238), L1.2>E (239), D27>A (269) (235-344), CH3 E12 (360), M14 (362), F85.1>L (409) (345-449), CHS K>del (450)) (122-450)], (224-213')-disulfide with lambda light chain anti-CD274 <i>Homo sapiens</i> (1'-214') [V-LAMBDA (<i>Homo sapiens</i> IGLV3-21*02 (97.9%) -IGLJ2*01 (100%)) CDR-IMGT [6.3.11] (26-31.49-51.88-98) (1'-108') - <i>Homo sapiens</i> IGLC2*01 (100%) (109'-214')]; gamma1 heavy chain anti-TNFRSF9 humanized (1"-446") [VH anti-TNFRSF9 humanized (<i>Homo sapiens</i> IGHV3-49*04 (86%) -(IGHD) -IGHJ2*01 (92.9%) CDR-IMGT [8.7.11] (26-33.51-57.96-106) (1"-117") - <i>Homo sapiens</i> IGHG1*03, G1m3, nG1m1 (CH1 R120 (214) (118"-215"), hinge 1-15 (216"-230"), CH2 L1.3>F (234), L1.2>E (235), D27>A (265) (231"-340"), CH3 E12 (356), M14 (358), K88>R (409) (341"-445"), CHS K>del (446)) (118"-446")], (220"-217")-disulfide with kappa light chain anti-TNFRSF9 humanized (1"-217") [V-KAPPA anti-TNFRSF9 humanized (<i>Homo sapiens</i> IGKV1-33*01 (85.7%) -IGKJ1*01 (90%)) CDR-IMGT [6.3.12] (27-32.50-52.89-100) (1"-110") - <i>Homo sapiens</i> IGKC*01 (100%), Km3 A45.1 (156), V101 (194) (111"-217")]; dimer (230-226":233-229")-bisdisulfide, produced in Chinese hamster ovary (CHO) cells, glycoform alfa
acasunlimab	immunoglobuline G1-lambda/kappa, anti-[<i>Homo sapiens</i> CD274 (ligand 1 de mort programmée, PDL1, PD-L1, homologue 1 de B7, B7H1)] et anti-[<i>Homo sapiens</i> TNFRSF9 (membre 9 de la superfamille des récepteurs du facteur de nécrose tumorale, 4-1BB, CD137)], anticorps monoclonal humanisé et <i>Homo sapiens</i> , bispécifique; chaîne lourde gamma1 anti-CD274 humanisée (1-450) [VH anti-CD274 humanisé (<i>Homo sapiens</i> IGHV3-23*01 (87.6%) -(IGHD) -IGHJ1*01 (100%) CDR-IMGT [8.8.14] (26-33.51-58.97-110) (1-121) - <i>Homo sapiens</i> IGHG1*03, G1m3, nG1m1, G1V41 CH2 F1.3, E1.2 (CH1 R120 (218) (122-219), charnière 1-15 (220-234), CH2 L1.3>F (238), L1.2>E (239), D27>A (269) (235-344), CH3 E12 (360), M14 (362), F85.1>L (409) (345-449), CHS K>del (450)) (122-450)], (224-213')-disulfure avec la chaîne légère lambda anti-CD274 <i>Homo sapiens</i> (1'-214') [V-LAMBDA (<i>Homo sapiens</i> IGLV3-21*02 (97.9%) -IGLJ2*01 (100%)) CDR-IMGT [6.3.11] (26-31.49-51.88-98) (1'-108') - <i>Homo sapiens</i> IGLC2*01 (100%) (109'-214')]; chaîne lourde gamma1 anti-TNFRSF9 humanisée (1"-446") [VH anti-TNFRSF9 humanisée (<i>Homo sapiens</i> IGHV3-49*04 (86%) -(IGHD) -IGHJ2*01 (92.9%) CDR-IMGT [8.7.11] (26-33.51-57.96-106) (1"-117") - <i>Homo sapiens</i> IGHG1*03, G1m3, nG1m1 (CH1 R120 (214) (118"-215"), charnière 1-15 (216"-230"), CH2 L1.3>F (234), L1.2>E (235), D27>A (265) (231"-340"), CH3 E12 (356), M14 (358), K88>R (409) (341"-445"), CHS K>del (446)) (118"-446")], (220"-217")-disulfure avec la chaîne légère kappa anti-TNFRSF9 humanisée (1"-217") [V-KAPPA anti-TNFRSF9 humanisé (<i>Homo sapiens</i> IGKV1-33*01 (85.7%) -IGKJ1*01 (90%)) CDR-IMGT [6.3.12] (27-32.50-52.89-100) (1"-110") - <i>Homo sapiens</i> IGKC*01 (100%), Km3 A45.1 (156), V101 (194) (111"-217")]; dimère (230-226":233-229")-bisdisulfure, produit dans des cellules ovarianes de hamster chinois (CHO), glycoforme alfa
acasunlimab	inmunoglobulina G1-lambda/kappa, anti-[<i>Homo sapiens</i> CD274 (ligando 1 de muerte programada, PDL1, PD-L1, homólogo 1 de B7, B7H1)] y anti-[<i>Homo sapiens</i> TNFRSF9 (miembro 9 de la superfamilia de los receptores del factor de necrosis tumoral, 4-1BB, CD137)], anticuerpo monoclonal humanizado y <i>Homo sapiens</i> , biespecífico;

Recommended INN: List 86

WHO Drug Information, Vol. 35, No. 3, 2021

cadena pesada gamma1 anti-CD274 humanizada (1-450) [VH anti-CD274 humanizado (*Homo sapiens* IGHV3-23*01 (87.6%) -(IGHD) -IGHJ1*01 (100%)) CDR-IMGT [8.8.14] (26-33.51-58.97-110) (1-121) -*Homo sapiens* IGHG1*03, G1m3, nG1m1, G1v41 CH2 F1.3, E1.2 (CH1 R120 (218) (122-219), bisagra 1-15 (220-234), CH2 L1.3>F (238), L1.2>E (239), D27>A (269) (235-344), CH3 E12 (360), M14 (362), F85.1>L (409) (345-449), CHS K>del (450)) (122-450)], (224-213')-disulfuro con la cadena ligera lambda anti-CD274 *Homo sapiens* (1'-214') [V-LAMBDA (*Homo sapiens* IGLV3-21*02 (97.9%) -IGLJ2*01 (100%)) CDR-IMGT [6.3.11] (26-31.49-51.88-98) (1'-108') -*Homo sapiens* IGLC2*01 (100%) (109'-214')];
 cadena pesada gamma1 anti-TNFRSF9 humanizada (1"-446") [VH anti-TNFRSF9 humanizado (*Homo sapiens* IGHV3-49*04 (86%) -(IGHD) -IGHJ2*01 (92.9%)) CDR-IMGT [8.7.11] (26-33.51-57.96-106) (1"-117") -*Homo sapiens* IGHG1*03, G1m3, nG1m1 (CH1 R120 (214) (118"-215"), bisagra 1-15 (216"-230"), CH2 L1.3>F (234), L1.2>E (235), D27>A (265) (231"-340"), CH3 E12 (356), M14 (358), K88>R (409) (341"-445"), CHS K>del (446) (118"-446")], (220"-217")-disulfuro con la cadena ligera kappa anti-TNFRSF9 humanizada (1""-217") [V-KAPPA anti-TNFRSF9 humanizado (*Homo sapiens* IGKV1-33*01 (85.7%) -IGKJ1*01 (90%)) CDR-IMGT [6.3.12] (27-32.50-52.89-100) (1""-110") -*Homo sapiens* IGKC*01 (100%), Km3 A45.1 (156), V101 (194) (111""-217")]; dímero (230-226":233-229")-bisdisulfuro, producido en las células ováricas de hámster chino (CHO), forma glicosilada alfa

Heavy chain / Chaîne lourde / Cadena pesada (anti-CD274)

EVQLLEPGGG LVQPGGSRLR SCAASGSTFS TYAMSWSVRQA PGKGLEWVSG 50
 FSQSGGFTFY ADSVGRFLR SRDSSKNTLF LQMSLSSRAED TAVYYCATPA 100
 RGYNQYNSFQH WGQQTLLTVS SASTKGPSVF PLAPSSKSTS GGTAALGCLV 150
 KDYFPEPVTV SWNSGALTSG VHFFPAVLQS SGCVSLSVSV TVPSSSLCTQ 200
 TYICVNHHKF SNTKVDKRVF PKSCDKTHTC PFCPPAPEFEG GPSVFLFPK 250
 PKDTIMISRT PEVTCVVVAV SHDEPEVKFN WYWDGVPEVHN AKTKPREEQY 300
 NSTYRVMVSLI TVLHQDWLNG REYKCKVSNK ALPAPIEKTI SKAKQGPREP 350
 QVYTLPPSRE EMTKNQVSLLT CLVKGFYPSI IAWEWESNQ PENNYKTPPP 400
 VLDSDGSFLL YSKLTVDKSR WQQGNVFSCS VMHEALHNHY TQKSLSLSPG 450

Heavy chain / Chaîne lourde / Cadena pesada (anti-TNFRSF9)

EVQLVESGGG LVQPGSRLR SCTASGFSLN DYWMWSVRQA PGKGLEWVGY 50
 IDVGGSLYAA ASVKGRFTIS RDDSKSIAYL QMNSLKTEDT AVYVCARGGL 100
 TYGFDLNLQGQ TLVTVSSAST KGPSPVFLAP SSKSTSGGTQ ALCICLVKDYF 150
 PEPVTWSWNS GALTSVGHTF PAVLQSSCLY SLLSVTVPS SSLGQTQYIC 200
 NVNHKPSNTK VDKRVEKSC DKTHTCPFCP APEFEFGGPSPV FLFPKPKD 250
 LMISRTPEVT CVVVAVSHED PEVKFNWYVD GVEVHNNAKTK PREEQYNSTY 300
 RVVSVLTVLH QDWLNKEYK CVKSNKALPA PIERTSIKAK GQPREEQVYT 350
 LPFSREEMTK NQVSLTCLVK GFYPSDIAVP WEWSNQPEENN YTTPPVLD 400
 DGSFFLYSRL TVDKSRWQOG NVFSCSVMHHE ALHNHYTQKS LSLSPG 446

Light chain / Chaîne légère / Cadena ligera (anti-CD274)

SYVLTQPPSV SVAPGQTARI TCGGNNGISK SVHWYQQKPG QAPVLLVYDD 50
 NDPRGSLPER FSGSNNSGNTA TLTISRVEAG DEADYYQCVW DSSSDHHVFG 100
 GGTKLTVLGQ KPAAPSVTLF PPFSSEIQLAQ KATLVLCLISD FYPGAVTVAW 150
 KADSSPVKAG VETTTTFSQKS NNKYAAASSYL SLTPEQWKSH RSYSQCVTHE 200
 GSTVEKTVAP TECS 214

Light chain / Chaîne légère / Cadena ligera (anti-TNFRSF9)

DIVMTQSPSV LSASVGDRVT ITCGQASEDIS SYLAWSQQKPG GKAPKRLLIYG 50
 ASDILASQGPSV RFSAQSGSTD YTFTISSLQD EDIATYYCHY YATISGLVA 100
 FGGGTKEVIEK RTVAAPSVVI FPFSEDEQLKS GTASVCLLNN NFYPREAKVQ 150
 WKVDNALQSG NSQESVTEQD SKDSTYSLSS TTLTLSKADYE KHKVYACEVT 200
 HQGLSSPVTK SFNRGEC 217

Post-translational modifications

Disulfide bridges location / Position des ponts disulfure / Posiciones de los puentes disulfuro
 Intra-H (C23-C104) 22-96 148-204 265-325 371-429
 22"-95" 144"-200" 261"-321" 367"-425"

Intra-L (C23-C104) 22-87 136"-195"
 23"-88" 137"-197"

Inter-H-L (h 5-CL 126) 224-213" 220"-217"
 Inter-H-H (h 11, h 14) 230-226" 233-229"

N-glycosylation sites / Sites de N-glycosylation / Posiciones de N-glicosilación

H2CH2N84.4:

301, 297"

Fucosylated complex bi-antennary CHO-type glycans / glycanes de type CHO bi-antennaires complexes fucosylés / glicanos de tipo CHO biantenarios complejos fucosilados

acavameranum #

acavameran

messenger RNA (mRNA), 5' capped, encoding tumour necrosis factor ligand superfamily member 4 (TNFSF4, OX40 ligand, OX40L, glycoprotein Gp34), flanked by 5' and 3' untranslated regions and a 3' polyA tail; contains N1-methylpseudouridine instead of uridine (*all*-U>m¹Ψ).

acavaméran

ARN messager (ARNm), protégé par une coiffe en 5', codant le membre 4 de la superfamille des ligands du facteur de nécrose tumorale (TNFSF4; ligand OX40, OX40L, glycoprotéine Gp34), flanqué de régions non traduites en 5' et 3' et d'une queue polyA en 3'; contient de la N1-méthylpseudouridine au lieu de l'uridine (*all*-U>m¹Ψ).

acavamerán

RNA mensajero (mRNA), protegido en 5', que codifica para el miembro 4 de la superfamilia de ligandos del factor de necrosis tumoral (TNFSF4, ligando de OX40, OX40L, glicoproteína Gp34), flanqueado por regiones no traducidas en 5' y 3' y una cola polyA en 3'; contiene N1-metilpseudouridina en lugar de uridina (*all*-U>m¹Ψ).

acazicolceptum #

acazicolcept

human inducible T-cell co-stimulator ligand (ICOS ligand) N-terminal fragment (1-122) (variant (N⁵²>H, N⁵⁷>Y, Q¹⁰⁰>R), fused via peptidyl linker ¹²³GGGGSGGGGS¹³² to a human immunoglobulin G1 Fc fragment (133-363) variant (L¹⁵¹>A, L¹⁵²>E, G¹⁵⁴>A, C-terminal K³⁶⁴ deleted), dimer, glycosylated, produced in Chinese hamster ovary (CHO) cells; [N⁵²>H, N⁵⁷>Y, Q¹⁰⁰>R] human inducible T-cell co-stimulator ligand (ICOS ligand, ICOSL, CD275) N-terminal fragment (1-122) fused via a (G₄S)₂ linker (123-132) to a human immunoglobulin G1 C-terminal K>del Fc fragment (133-363) [*Homo sapiens*IGHG1*01; hinge 133-147; CH2 148-257 (L151A, L152E, G154A); CH3 258-362; CHS 363], dimer (143-143':146-146')-bisdisulfide, produced in Chinese hamster ovary (CHO) cells, glycoform alfa

acazicolcept

fragment N-terminal (1-122) du ligand costimulateur de la cellule T inducible humaine (ligand ICOS) (variant (N⁵²>H, N⁵⁷>Y, Q¹⁰⁰>R), fusionné via un linker peptidique ¹²³GGGGSGGGGS¹³² à un fragment Fc (133-363) de l'immunoglobuline G1 humaine, variant (L¹⁵¹>A, L¹⁵²>E, G¹⁵⁴>A, C-terminal K³⁶⁴ supprimé), dimère, glycosylé, produit dans des cellules ovaries de hamster chinois (CHO); fragment N-terminal (1-122) du ligand costimulateur de la cellule T inducible humaine (ligand d'ICOS, ICOSL, CD275) [N⁵²>H, N⁵⁷>Y, Q¹⁰⁰>R] fusionné via un linker (G₄S)₂ (123-132) au fragment Fc (133-363) C-terminal K>del de l'immunoglobuline G1 humaine [*Homo sapiens*IGHG1*01; charnière 133-147; CH2 148-257 (L151A, L152E, G154A); CH3 258-362; CHS 363], dimère (143-143':146-146')-bisdisulfure, produit dans des cellules ovaries de hamster chinois (CHO), glycoforme alfa

acazicolcept

ligando coestimulador de las células T inducible humano (ligando ICOS) fragmentoN-terminal (1-122) (variante (N⁵²>H, N⁵⁷>Y, Q¹⁰⁰>R), fusionado a través de un enlace peptidil ¹²³GGGGSGGGGS¹³² al fragmento de una inmunoglobulina humana G1 Fc (133-363) variante (L¹⁵¹>A, L¹⁵²>E, G¹⁵⁴>A, C-terminal K³⁶⁴ eliminada), dímero, glicosilado, producido en células ováricas de hámster chino (CHO);

[N⁵²>H, N⁵⁷>Y, Q¹⁰⁰>R] ligando humano de coestimulador inducible de células T (ligando de ICOS, ICOSL, CD275), fragmento N-terminal (1-122), fusionado a través de un péptido (G₄S)₂ (123-132) con un fragmento Fc C-terminal K>del de la inmunoglobulina G1 humana (133-363) [*Homo sapiens* IGHG1*01; bisagra 133-147; CH2 148-257 (L151A, L152E, G154A); CH3 258-362; CHS 363], dímero (143-143':146-146')-bisdisulfuro, producido en células ováricas de hámster chino (CHO), glicoforma alfa

Sequence / Séquence / Secuencia
DTQEKEVAM VGSDEVLSCA CPEGSRFDLN DVVYVWQTSE SKTVVTYHIP 50
QHSSLEYVDS RYRNALMSF AGMLRGDFSL RLFNVNTPQDE QKFHCLVLRSR 100
SLGFPQEVLGV EVTLHVAANFE SVGGGGSGGG GSEPKSSSDKT HTPCPCPAPE 150
AEGAPSVFLL PPKPKDITLM1 SRTPEVTCVV VDVSHEDDEV KFNWYVDGVE 200
VHNAAKTKPRE EQYINSTYRVV SVLTVLHQDW LNGKEYKCKV SNKALEPAPIE 250
RTISAKAKGQP REPVQVYLPLPE SRDELTKNQV SLTCLVKGFY PSDIAVEMES 300
NGQPFENNYKT TPPVLDSDGS FFLYSLTVD KSRWQQGNVF SCSVMHEALH 350
NHYTQKSLSL SPG 363

Mutation sites / Sites de mutation / Posiciones de mutación
N52, N52>H, N57, N57>Y, Q100, Q100>P, L151, L151>P, L152, L152>E, G154, G154>A
K364, K364>del

Post-translational modifications
Disulfide bridges location / Position des ponts disulfure / Posición del puentes disulfuro
intra-ICOSL 19-95 intra-Fc 178-238 284-342
19-95' 178'-238' 284'-342'
inter-Fc 143-143' 146-146'

Glycosylation sites / Sites de glycosylation / Posiciones de glicosilación
ICOSL: N84, N119, N84', N119';
Fc: N214, N214'

acidum idroxioleicum

idroxioleic acid

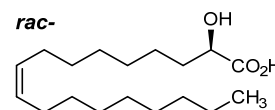
rac-(2*R*,9*Z*)-2-hydroxyoctadec-9-enoic acid

acide idroxioléique

acide *rac*-(2*R*,9*Z*)-2-hydroxyoctadéc-9-énoïque

ácido idroxioleico

ácido *rac*-(2*R*,9*Z*)-2-hidroxioctadec-9-enoico



adagrasibum

adagrasib

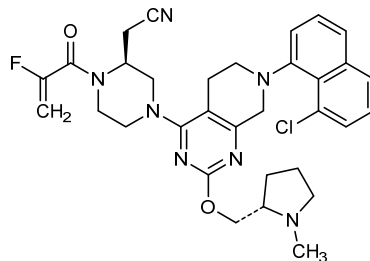
{(2*S*)-4-[7-(8-chloronaphthalen-1-yl)-2-[(2*S*)-1-methylpyrrolidin-2-yl]methoxy]-5,6,7,8-tetrahydropyrido[3,4-*d*]pyrimidin-4-yl]-1-(2-fluoroprop-2-enoyl)piperazin-2-yl}acetonitrile

adagrasib

{(2*S*)-4-[7-(8-chloronaphthalén-1-yl)-2-[(2*S*)-1-méthylpyrrolidin-2-yl]méthoxy]-5,6,7,8-tétrahydropyrido[3,4-*d*]pyrimidin-4-yl]-1-(2-fluoroprop-2-énoyl)pipérazin-2-yl}acétonitrile

adagrasib

{(2*S*)-4-[7-(8-cloronaftalen-1-yl)-2-[(2*S*)-1-metilpirrolidin-2-yl]metoxi]-5,6,7,8-tetrahidropirido[3,4-*d*]pirimidin-4-il]-1-(2-fluoroprop-2-enoil)piperazin-2-il}acetonitrilo

**adezmapimodum**

adezmapimod

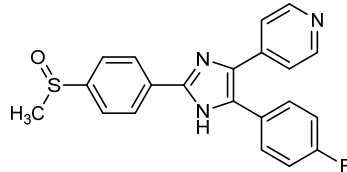
rac-4-[5-(4-fluorophenyl)-2-{4-[(*R*)-methanesulfinyl]phenyl}-1*H*-imidazol-4-yl]pyridine

adezmapimod

rac-4-[5-(4-fluorophényle)-2-{4-[(*R*)-méthanesulfinyl]phényl}-1*H*-imidazol-4-yl]pyridine

adezmapimod

rac-4-[5-(4-fluorofenil)-2-{4-[(*R*)-metanosulfinil]fenil}-1*H*-imidazol-4-il]piridina

**aficamtenum**

aficamten

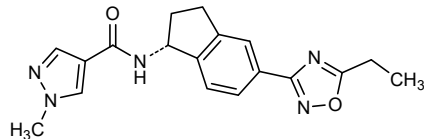
N-[(1*R*)-5-(5-ethyl-1,2,4-oxadiazol-3-yl)-2,3-dihydro-1*H*-inden-1-yl]-1-methyl-1*H*-pyrazole-4-carboxamide

aficamtène

N-[(1*R*)-5-(5-éthyl-1,2,4-oxadiazol-3-yl)-2,3-dihydro-1*H*-indén-1-yl]-1-méthyl-1*H*-pyrazole-4-carboxamide

aficamten

N-[(1*R*)-5-(5-etyl-1,2,4-oxadiazol-3-il)-2,3-dihidro-1*H*-inden-1-il]-1-metil-1*H*-pirazol-4-carboxamida

**afimetoranum**

afimetoran

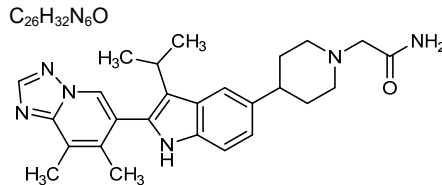
2-{4-[2-(7,8-dimethyl)[1,2,4]triazolo[1,5-*a*]pyridin-6-yl]-3-(propan-2-yl)-1*H*-indol-5-yl}piperidin-1-yl}acetamide

afimétoran

2-{4-[2-(7,8-diméthyl)[1,2,4]triazolo[1,5-*a*]pyridin-6-yl]-3-(propan-2-yl)-1*H*-indol-5-yl}pipérnidin-1-yl}acétamide

afimetorán

2-{4-[2-(7,8-dimetil)[1,2,4]triazolo[1,5-*a*]piridin-6-il]-3-(propan-2-il)-1*H*-indol-5-il}piperidin-1-il}acetamida

**alomfilimab #**

alomfilimab

immunoglobulin G1-kappa, anti-[*Homo sapiens*] ICOS (inducible T-cell costimulatory, activation-inducible lymphocyte immunomediatory molecule, AILIM, CD278)], *Homo sapiens* monoclonal antibody; gamma1 heavy chain *Homo sapiens* (1-454) [VH (*Homo sapiens* IGHV3-20*04 (94.9%) -(IGHD) -IGHJ4*01 (92.9%) T122>I (118)) CDR-IMGT [8.8.17] (26-33.51-58.97-113) (1-124) -*Homo sapiens* IGHG1*01 (100%), G1m17,1 (CH1 K120 (221) (125-222), hinge 1-15 (223-237), CH2 (238-347), CH3 D12 (363), L14 (365) (348-452), CHS (453-454)) (125-454)], (227-215')-disulfide with kappa light chain *Homo sapiens* (1'-215') [V-KAPPA (*Homo sapiens* IGKV3-20*01 (92.7%) -IGKJ3*01 (100%)) CDR-IMGT [7.3.9] (27-33.51-53.90-98) (1'-108') -*Homo sapiens* IGKC*01 (100%) Km3 A45.1 (154), V101 (192) (109'-215')]; dimer (233-233":236-236")-bisdisulfide, produced in Chinese hamster ovary (CHO) cells, glycoform alfa

alomfilimab

immunoglobuline G1-kappa, anti-[*Homo sapiens*] ICOS (costimulateur inducible du lymphocyte T, molécule immunomédiateur lymphocytaire inducible par activation, AILIM, CD278)], anticorps monoclonal *Homo sapiens*; chaîne lourde gamma1 *Homo sapiens* (1-454) [VH (*Homo sapiens* IGHV3-20*04 (94.9%) -(IGHD) -IGHJ4*01 (92.9%) T122>I (118)) CDR-IMGT [8.8.17] (26-33.51-58.97-113) (1-124) -*Homo sapiens* IGHG1*01 (100%), G1m17,1 (CH1 K120 (221) (125-222), charnière 1-15 (223-237), CH2 (238-347), CH3 D12 (363), L14 (365) (348-452), CHS (453-454)) (125-454)], (227-215')-disulfure avec la chaîne légère kappa *Homo sapiens* (1'-215') [V-KAPPA (*Homo sapiens* IGKV3-20*01 (92.7%) -IGKJ3*01 (100%)) CDR-IMGT [7.3.9] (27-33.51-53.90-98) (1'-108') -*Homo sapiens* IGKC*01 (100%) Km3 A45.1 (154), V101 (192) (109'-215')]; dimère (233-233":236-236")-bisdisulfure, produit dans des cellules ovaries de hamster chinois (CHO), glycoforme alfa

alomfilimab

inmunoglobulina G1-kappa, anti-[*Homo sapiens*] ICOS (coestimulador inducible del linfocito T, molécula inmunomediadora linfocitaria inducible por activación, AILIM, CD278)], anticuerpo monoclonal *Homo sapiens*; cadena pesada gamma1 *Homo sapiens* (1-454) [VH (*Homo sapiens* IGHV3-20*04 (94.9%) -(IGHD) -IGHJ4*01 (92.9%) T122>I (118)) CDR-IMGT [8.8.17] (26-33.51-58.97-113) (1-124) -*Homo sapiens* IGHG1*01 (100%), G1m17,1 (CH1 K120 (221) (125-222), bisagra 1-15 (223-237), CH2 (238-347), CH3 D12 (363), L14 (365) (348-452), CHS (453-454)) (125-454)], (227-215')-disulfuro con la cadena ligera kappa *Homo sapiens* (1'-215') [V-KAPPA (*Homo sapiens* IGKV3-20*01 (92.7%) -IGKJ3*01 (100%)) CDR-IMGT [7.3.9] (27-33.51-53.90-98) (1'-108') -*Homo sapiens* IGKC*01 (100%) Km3 A45.1 (154), V101 (192) (109'-215')]; dímero (233-233":236-236")-bisdisulfuro, producido en las células ováricas de hámster chino (CHO), forma glicosilada alfa

Heavy chain / Chaîne lourde / Cadena pesada
 EVQLVESGG VVRPGGSIRL SCVAGSVFID DYGMSWVRQA PGKGLEWVSG 50
 INWNGGDTDY SDSVKGRFTI SRDNAKNSLY LQMNSLRAED TALYYCARDF 100
 YGSGSYYHVP FDYWGQQILV TVSSASTKGP SVFVLAPSSK STSGGTAALG 150
 CLVKDYYFEP VTVWSNNSGL TSGVHTFFAV LQSSGLYSL S VVTVFSSL 200
 GTQTYICNVN HKPSNTKVDK KVEPKSCDKY HTPCPCEAPE LLGGPSVLF 250
 PPKPKDITMLI SRTPEVTCVV DVSHEDEPV KFNWVVDGVE VHNAKTKPRE 300
 EQYNSTYRPP SVLTLVHQDW LNKEKYKKCV SNKALPAPIE KTISKAKCQP 350
 REPVQYTLLPP SRDELTKNQV SLTCLVKGFT PSDIAEWES NGQPENNYKT 400
 TPPVLDSDS FFLYSLKLTVD KSRWQQGNVF SC SVMHEALH NHYTQKSLSL 450
 SPKG 454

Light chain / Chaîne légère / Cadena ligera
 EIVLTQSPGT LSLPGERAT LSCRASQSVS RSYLAQYQQK RGQAPRLLI 50
 GASSRATGIP DRFGSGDSGT DFTLISRL PEDFAVYQCH QYDMMSFTFG 100
 PGTKVDIKRT VAAPSVIIFP PSDEQLKSGT ASVCLLNNF YPREAKVQWK 150
 VDNALQSGNS QESVTEQDSK DSTYLSSTL TLSKADYEKH KVYACEVTHQ 200
 GLSSPVTKSF NRGC 215

Post-translational modifications

Disulfide bridges location / Position des ponts disulfure / Posiciones de los puentes disulfuro
 Intra-H (C23-C104) 22-96 151-207 268-328 374-432
 22"-96" 151"-207" 268"-328" 374"-432"

Intra-L (C23-C104) 23-89 135"-195"
 23"-89" 135"-195"
 Inter-H-L (h 5-CL 126) 227-215" 227"-215"
 Inter-H-H (h 11, h 14) 233-233" 236-236"

N-glycosylation sites / Sites de N-glycosylation / Posiciones de N-glicosilación
 H CH2 N84.4;
 304, 304"

Fucosylated complex bi-antennary CHO-type glycans / glycanes de type CHO bi-antennaires complexes fucosylés / glicanos de tipo CHO biantenarios complejos fucosilados.

C-terminal lysine clipping / Coupe de la lysine C-terminale / Recorte de lisina C-terminal
 H CHS K2;
 454, 454"

amlitelimumab

amlitelimab

immunoglobulin G4-kappa, anti-[*Homo sapiens* TNFSF4 (tumor necrosis factor (TNF) superfamily member 4, OX40 ligand, OX-40L, TAX transcriptionally-activated glycoprotein 1, TXGP1, CD252)], monoclonal antibody;
 gamma4 heavy chain (1-454) [VH (*Homo sapiens*IGHV3-23*04 (89.8%) -(IGHD) -IGHJ6*01 (100%)) CDR-IMGT [8.8.20] (26-33.51-58.97-116) (1-127)-*Homo sapiens*IGHG4*01, G4v5 h P10, G4v3 E1.2 (CH1 (128-225), hinge 1-12 S10>P (235) (226-237), CH2 L1.2>E (242) (238-347), CH3 (348-452), CHS (453-454)) (128-454)], (210-214')-disulfide with kappa light chain (1'-214') [V-KAPPA (*Homo sapiens*IGKV1-39*01 (96.8%) -IGKJ3*01 (100%)) CDR-IMGT [6.3.9] (27-32.50-52.89-97) (1'-107') -*Homo sapiens*IGKC*01 (100%), Km3 A45.1 (153), V101 (191) (108'-214')]; dimer (233-233":236-236")-bisdisulfide, produced in Chinese hamster ovary (CHO) cells, glycoform alfa

amlitélumab

immunoglobuline G4-kappa, anti-[*Homo sapiens* TNFSF4 (membre 4 de la superfamille des ligands du facteur de nécrose tumorale, ligand de OX40, OX40L, glycoprotéine 1 activée transcriptionnellement par TAX, TXGP1, CD252)], anticorps monoclonal;
 chaîne lourde gamma4 (1-454) [VH (*Homo sapiens*IGHV3-23*04 (89.8%) -(IGHD) -IGHJ6*01 (100%)) CDR-IMGT [8.8.20] (26-33.51-58.97-116) (1-127)-*Homo sapiens*IGHG4*01, G4v5 h P10, G4v3 E1.2 (CH1 (128-225), charnière 1-12 S10>P (235) (226-237), CH2 L1.2>E (242) (238-347), CH3 (348-452), CHS (453-454)) (128-454)], (210-214')-disulfure avec la chaîne légère kappa (1'-214') [V-KAPPA (*Homo sapiens*IGKV1-39*01 (96.8%) -IGKJ3*01 (100%)) CDR-IMGT [6.3.9] (27-32.50-52.89-97) (1'-107') -*Homo sapiens*IGKC*01 (100%), Km3 A45.1 (153), V101 (191) (108'-214')]; dimère (233-233":236-236")-bisdisulfure, produit dans des cellules ovariennes de hamster chinois (CHO), glycoforme alfa

amlitelimab

immunoglobulina G4-kappa, anti-[*Homo sapiens* TNFSF4 (miembro 4 de la superfamilia de los ligandos del factor de necrosis tumoral, ligando de OX40, OX40L, glicoproteína 1 activada transcripcionalmente por TAX, TXGP1, CD252)], anticuerpo monoclonal; cadena pesada gamma4 (1-454) [VH (*Homo sapiens*IGHV3-23*04 (89.8%) -(IGHD) -IGHJ6*01 (100%)) CDR-IMGT [8.8.20] (26-33.51-58.97-116) (1-127)-*Homo sapiens*IGHG4*01, G4v5 h P10, G4v3 E1.2 (CH1 (128-225), bisagra 1-12 S10>P (235) (226-237), CH2 L1.2>E (242) (238-347), CH3 (348-452), CHS (453-454)) (128-454), (210-214')-disulfuro con la cadena ligera kappa (1'-214') [V-KAPPA (*Homo sapiens*IGKV1-39*01 (96.8%) -IGKJ3*01 (100%)) CDR-IMGT [6.3.9] (27-32.50-52.89-97) (1'-107') -*Homo sapiens*IGKC*01 (100%), Km3 A45.1 (153), V101 (191) (108'-214')]; dímero (233-233"-236-236")-bisdisulfuro, producido en las células ováricas de hámster chino (CHO), forma glicosilada alfa

Heavy chain / Chaîne lourde / Cadena pesada

```

EVQLVESGGG LVQPQGSLRL SCAASGFTFS NYAMNNWVRQA PGKGLEWVST 50
ISGSGGATRY ADSVKGRFTI SRDNRSRNTVY LQMNSLRVED TAVFYCTKDR 100
LIMATVRGPy YYGMWDWGQC TTIVVSSAST KGSVVFPLAP CSRSTSESTA 150
ALGCLVKDYF PEPVTWSWNS GALTSGVHTF PAVLGSSGLT SLSSVVTVPS 200
SSLGTRKTYTC NVDHKPSNTK VDKVEVESKG PPCPPCPAPE FEGGPSVFLF 250
PPPKPKDTLMi SRTPEVTCVV DVSQSQEDPEV QFNWYVBDGE VHNAKTKPQE 300
EQFNSTYRVV SVLTVLHQDW LNGKEYKCKV SNKGLPSSIE KTISKAKGQP 350
REQPVTVLFP SQEEMTRKNQV SLTCLVKQGY PSDIAVEMES NGQFENNYKT 400
TPVPLSDGS FFYLSRLTVD KSRWQEGNVF SC5VMHEALH NHYTQKSLSL 450
SLGK                                         454

```

Light chain / Chaîne légère / Cadena ligera

```

DIQMTQSPSS LSASVGDRVT ITCRASQHSIS SYLNWYQQKP GKAPNLLIYA 50
ASSLQSGVFS RFSGSGSETD FFLTISSQEP EDFATYYCQQ SHSVSFTFGP 100
GTKVDIKRTV AAPSVIFIPP SDEQLKSGTA SVVCLLNNFY PREAKVQWKV 150
DALAQSGNSQ ESVTQDSDK STYSLSSLT LSKADYEKKH VYACEVTQHG 200
LSSFVTKSFN RGECE                                         214

```

Post-translational modifications

Disulfide bridges location / Position des ponts disulfure / Posiciones de los puentes disulfuro

Intra-H (C23-C104)	22"-96	154-210	268-328	374-432
	22"-96"	154"-210"	268"-328"	374"-432"
Intra-L (C23-C104)	23"-88"	134"-194"		
	23"-88"	134"-194"		
Inter-H-L (CH1 10-CL 126)	141-214'	141"-214"		
Inter-H-L (h 8, h 11)	233-233"	236-236"		

N-glycosylation sites / Sites de Nglycosylation / Posiciones de N-glicosilación

H CH2 N84.4:

304, 304"

Fucosylated complex bi-antennary CHO-type glycans / glycanes de type CHO bi-antennaires complexes fucosylés / glicanos de tipo CHO biantenarios complejos fucosilados.

C-terminal lysine clipping / Coupe de la lysine C-terminale / Recorte de lisina C-terminal
H CHS K2:
454, 454"

anbenitamab

anbenitamab

immunoglobulin G1-kappa, anti-[*Homo sapiens* ERBB2 (epidermal growth factor receptor 2, receptor tyrosine protein kinase erbB-2, EGFR2, HER2, HER-2, p185cerbB2, NEU, CD340)], humanized monoclonal antibody, biparatopic, tetravalent; gamma1 heavy chain anti-ERBB2 domain II humanized (1-449) [VH anti-ERBB2 domain II (*Homo sapiens*IGHV3-66*01 (78.8%) -(IGHD) -IGHJ4*01 (100%)) CDR-IMGT [8.8.12] (26-33.51-58.97-108) (1-119) -*Homo sapiens*IGHG1*01, G1m7.1, G1v32 CH3 W22 (CH1 K120 (217) (120-217), hinge 1-15 (218-232), CH2 (233-342), CH3 D12 (358), L14 (360), T22>W (368), K88>A (411) (343-447), CHS (448-449)) (120-449)], (222-214')-disulfide with kappa light chain anti-ERBB2 humanized (1-214') [V-KAPPA anti-ERBB2 humanized (*Homo sapiens*IGKV1-39*01 (86.3%) -IGKJ1*01 (100%)) CDR-IMGT [6.3.9] (27-32.50-52.89-97) (1'-107') -*Homo sapiens*IGKC*01 (100%), Km3 A45.1 (153), V101 (194) (108'-214')];

	gamma1 heavy chain anti-ERBB2 domain IV humanized (1"-450") [VH anti-ERBB2 domain IV (<i>Homo sapiens</i> IGHV3-66*01 (81.6%) -(IGHD) - IGHJ4*01 (100%)) CDR-IMGT [8.8.13] (26-33.51-58.97-109) (1"-120") - <i>Homo sapiens</i> IGHG1*01, G1m7,1, G1v33 CH3 S22, A24, V86 (CH1 K120 (217) (121"-218"), hinge 1-15 (219"-233"), CH2 (234"-343"), CH3 D12 (359), L14 (361) T22>S (369), L24>A (371), F85.1>K (408), Y86>V (410) (344"-448"), CHS (449"-450")) (121"-450")], (223"-214")-disulfide with kappa light chain anti-ERBB2 humanized (1"-214") [V-KAPPA anti-ERBB2 humanized (<i>Homo sapiens</i> IGKV1-39*01 (86.3%) - IGKJ1*01 (100%)) CDR-IMGT [6.3.9] (27-32.50-52.89-97) (1"-107") - <i>Homo sapiens</i> IGKC*01 (100%), Km3 A45.1 (153), V101 (194) (108"-214")]; dimer (228-229":231-232")-bisdisulfide, produced in Chinese hamster ovary (CHO) cells, glycoform alfa
anbénitamab	immunoglobuline G1-kappa, anti-[<i>Homo sapiens</i> ERBB2 (récepteur 2 du facteur de croissance épidermique, récepteur tyrosine-protéine kinase erbB2, EGFR2, HER2, HER-2, p185c-erbB2, NEU, CD340)], anticorps monoclonal humanisé, biparatopique, tétravalent; chaîne lourde gamma1 anti-ERBB2 domaine II humanisée (1-449) [VH anti-ERBB2 domaine II (<i>Homo sapiens</i> IGHV3-66*01 (78.8%) -(IGHD) - IGHJ4*01 (100%)) CDR-IMGT [8.8.12] (26-33.51-58.97-108) (1-119) - <i>Homo sapiens</i> IGHG1*01, G1m7,1, G1v32 CH3 W22 (CH1 K120 (217) (120-217), charnière 1-15 (218-232), CH2 (233-342), CH3 D12 (358), L14 (360), T22>W (368), K88>A (411) (343-447), CHS (448-449)) (120-449)], (222-214")-disulfure avec la chaîne légère lambda anti-ERBB2 humanisée (1'-214') [V-KAPPA anti-ERBB2 (<i>Homo sapiens</i> IGKV1-39*01 (86.3%) -IGKJ1*01 (100%)) CDR-IMGT [6.3.9] (27-32.50-52.89-97) (1'-107') - <i>Homo sapiens</i> IGKC*01 (100%), Km3 A45.1 (153), V101 (194) (108'-214')]; chaîne lourde gamma1 anti-ERBB2 domaine IV humanisée (1"-450") [VH anti-ERBB2 domaine IV (<i>Homo sapiens</i> IGHV3-66*01 (81.6%) -(IGHD) -IGHJ4*01 (100%)) CDR-IMGT [8.8.13] (26-33.51-58.97-109) (1"-120") - <i>Homo sapiens</i> IGHG1*01, G1m7,1, G1v33 CH3 S22, A24, V86 (CH1 K120 (217) (121"-218"), charnière 1-15 (219"-233"), CH2 (234"-343"), CH3 D12 (359), L14 (361) T22>S (369), L24>A (371), F85.1>K (408), Y86>V (410) (344"-448"), CHS (449"-450")) (121"-450")], (223"-214")-disulfure avec la chaîne légère kappa anti-ERBB2 humanisée (1"-214") [V-KAPPA anti-ERBB2 (<i>Homo sapiens</i> IGKV1-39*01 (86.3%) -IGKJ1*01 (100%)) CDR-IMGT [6.3.9] (27-32.50-52.89-97) (1"-107") - <i>Homo sapiens</i> IGKC*01 (100%), Km3 A45.1 (153), V101 (194) (108"-214")]; dimère (228-229":231-232")-bisdisulfure, produit dans des cellules ovarianes de hamster chinois (CHO), glycoforme alfa
anbenitamab	inmunoglobulina G1-kappa, anti-[<i>Homo sapiens</i> ERBB2 (receptor 2 del factor de crecimiento epidérmico, receptor tirosina-proteína kinasa erbB2, EGFR2, HER2, HER-2, p185c-erbB2, NEU, CD340)], anticuerpo monoclonal humanizado, biparatópico, tetravalente; cadena pesada gamma1 anti-ERBB2 dominio II humanizada (1-449) [VH anti-ERBB2 dominio II (<i>Homo sapiens</i> IGHV3-66*01 (78.8%) -(IGHD) -IGHJ4*01 (100%)) CDR-IMGT [8.8.12] (26-33.51-58.97-108) (1-119) - <i>Homo sapiens</i> IGHG1*01, G1m7,1, G1v32 CH3 W22 (CH1 K120 (217) (120-217), bisagra 1-15 (218-232), CH2 (233-342), CH3 D12 (358), L14 (360), T22>W (368), K88>A (411) (343-447), CHS (448-449)) (120-449)], (222-214")-disulfuro con la cadena ligera lambda anti-ERBB2 humanizada (1'-214') [V-KAPPA anti-ERBB2 (<i>Homo sapiens</i> IGKV1-39*01 (86.3%) -IGKJ1*01 (100%)) CDR-IMGT [6.3.9] (27-32.50-52.89-97) (1'-107') - <i>Homo sapiens</i> IGKC*01 (100%), Km3 A45.1 (153), V101 (194) (108'-214')];

cadena pesada gamma1 anti-ERBB2 dominio IV humanizada (1"-450") [VH anti-ERBB2 dominio IV (*Homo sapiens* IGHV3-66*01 (81.6%)-(IGHD) -IGHJ4*01 (100%)) CDR-IMGT [8.8.13] (26-33.51-58.97-109) (1"-120") -*Homo sapiens* IGHG1*01, G1m7,1, G1v33 CH3 S22, A24, V86 (CH1 K120 (217) (121"-218"), bisagra 1-15 (219"-233"), CH2 (234"-343"), CH3 D12 (359), L14 (361) T22>S (369), L24>A (371), F85.1>K (408), Y86>V (410) (344"-448"), CHS (449"-450") (121"-450")], (223"-214")-disulfuro con la cadena ligera kappa anti-ERBB2 humanizada (1"-214") [V-KAPPA anti-ERBB2 (*Homo sapiens* IGKV1-39*01 (86.3%) -IGKJ1*01 (100%)) CDR-IMGT [6.3.9] (27-32.50-52.89-97) (1"-107") -*Homo sapiens* IGKC*01 (100%), Km3 A45.1 (153), V101 (194) (108"-214")]; dímero (228-229":231-232")-bisdisulfuro, producido en las células ováricas de hámster chino (CHO), forma glicosilada alfa

Heavy chain / Chaîne lourde / Cadena pesada (anti-ERBB2 domain II)
 EVQLVLESGGG LVQPGGSLRL SCAASGGFTF DYTMDWVRQA PGKGLEWVAD 50
 VNPNSSGGSIY NQRFKGRFTL SVDRSKNTLY IQMNSLRAED TAVYYCARNL 100
 GFSFYFDYWG QGTLTVTSSA STKGPSVFL APSSKSTGQ TAALGCLVKD 150
 YFFPEPVTSW NSGALTSGVH TFFAVLQSGL YLSLSVVTV PSSSLGTQTY 200
 ICNVNHHKPSN TKVDKVKEPK SCDKTHTCP CPAPELLGGP SVELFPKKPK 250
 DTLMSRTP ETCVWWDVSH EDPEVKFNWY DVGVVEHNAK TKPREEQVNS 300
 TYRVSLSLTV LHQDWLNGKE YKCKVSNKAL PAPTEKTISK AKQGPREPQV 350
 YTLPFSRDEL TKNQVSIWCL VKGKFYPSDIA VEWESENQPE NNYKTTPPVL 400
 DSDGSFFLYS ALTVDKSRWQ QGNVFSCSVM HEALHNHYTQ KSLSLSPGK 449

Heavy chain / Chaîne lourde / Cadena pesada (anti-ERBB2 domain IV)
 EVQLVLESGGG LVQPGGSLRL SCAASGGFIK DTYIHWVRQA PGKGLEWVAR 50
 IYPTNGYTRY ADSVKGFRFTI SADTSKNTAY IQMNSLRAED TAVYYCSRWG 100
 GDGFYAMDYW GGGLTVTSSA ASTKGPSVFL APSSKSTGQ GTAALGCLVK 150
 DYFPEPVTSW WNSGALTSGVH HTFPAVLQSS GLYSLSSVVT VPSSSLGTQTY 200
 YICNVNHHKPSN NTKVDKVKEPK KSCDTHTCP CPAPELLGGP SVELFPKKPK 250
 KDTLMSRTP ETCVWWDVDS HDPPEVKFNWY YVDGVEVHNA KTKPREEQYNS 300
 STYRVSLSLTV VLHQDWLNGK EYKCKVSNKAL LPAPIEKTIS KAKGQPREPQV 350
 VYTLPPSRDE LTQNQVSLSC AVKGKFYPSDII AVEWESENQPE ENNYKTTPPV 400
 LSDGSFSKLV SKLTVDKSRW QGNVFSCSVM MHEALHNHYTQ KQLSLSPGK 450

Light chain / Chaîne légère / Cadena ligera (anti-ERBB2)
 DTQMTQSPSSS LSASVGDRTV ITCRASQDVN TAVAIVYQKQP GKAPKLLIYS 50
 ASFLYSGVPSS RFSGRSRGTD FTLTISLQLQEDFATYCCQH YYHTPPTFQQ 100
 GTKVEIKRTV AAPSVFIFPP SDEQLSCKTA SVVCLLNRFY PREAKVQKV 150
 DNALQSGNSQ ESVTEQDSKD STYSLSSLIT LSKADYERHKH VYACEVTHQG 200
 LSSPVTKSFN RGECA 214

Post-translational modifications
Disulfide bridges location / Position des ponts disulfure / Posiciones de los puentes disulfuro
 Intra-H (C23-C104) 22-96 146-202 263-323 369-427
 22"-96" 147"-203" 264"-324" 370"-428"
 Intra-L (C23-C104) 23"-88" 134"-194"
 23"-88" 134"-194"
 Inter-H-L (h 5-CL 126) 222-214" 223"-214"
 Inter-H-H (h 11, h 14) 228-229" 231-232"

N-glycosylation sites / Sites de N-glycosylation / Posiciones de N-glicosilación
 H CH2 N84.4;
 299, 300"
 Fucosylated complex bi-antennary CHO-type glycans / glycanes de type CHO bi-antennaires complexes fucosylés / glicanos de tipo CHO biantenarios complejos fucosilados

C-terminal lysine clipping / Coupe de la lysine C-terminale / Recorte de lisina C-terminal
 H CHS K2:
 449, 450"

ansuvimabum # ansuvimab

immunoglobulin G1-kappa, anti-[*Zaire ebolavirus* (*Zaire Ebola virus (EBOV)*) envelope glycoprotein subunit 1 (GP1) glycan cap domain], monoclonal antibody;

	gamma1 heavy chain (1-449) [VH (<i>Homo sapiens</i> IGHV3-13*01 (78.4%) -(IGHD) -IGHJ5*01 (92.9%) T122>I (113)) CDR-IMGT [8.7.13] (26-33.51-57.96-108) (1-119) - <i>Homo sapiens</i> IGHG1*01 (100%) G1m17.1 (CH1 K120 (216) (120-217), hinge 1-15 (218-232), CH2 (233-342), CH3 D12 (358), L14 (360) (343-447), CHS (448-449)) (120-449)], (222-214')-disulfide with kappa light chain (1'-214') [V-KAPPA (<i>Homo sapiens</i> IGKV1-27*01 (87.4%) -IGKJ4*01 (100%) CDR-IMGT [6.3.9] (27-32.50-52.89-97) (1'-107') - <i>Homo sapiens</i> IGKC*01 (100%), Km3 A45.1 (153), V101 (191) (108'-214')]; dimer (228-228":231-231")-bisdisulfide, produced in a Chinese hamster ovary (CHO)-DG44 cell line, glycoform alfa
ansuvimab	immunoglobuline G1-kappa, anti-[coiffe glycosylée de la sous-unité 1 de la glycoprotéine d'enveloppe (GP1) de <i>Zaire ebolavirus</i> (virus Ebola Zaïre (EBOV))], anticorps monoclonal; chaîne lourde gamma1 (1-449) [VH (<i>Homo sapiens</i> IGHV3-13*01 (78.4%) -(IGHD) -IGHJ5*01 (92.9%) T122>I (113)) CDR-IMGT [8.7.13] (26-33.51-57.96-108) (1-119) - <i>Homo sapiens</i> IGHG1*01 (100%) G1m17.1 (CH1 K120 (216) (120-217), charnière 1-15 (218-232), CH2 (233-342), CH3 D12 (358), L14 (360) (343-447), CHS (448-449)) (120-449)], (222-214')-disulfure avec la chaîne légère kappa (1'-214') [V-KAPPA (<i>Homo sapiens</i> IGKV1-27*01 (87.4%) -IGKJ4*01 (100%) CDR-IMGT [6.3.9] (27-32.50-52.89-97) (1'-107') - <i>Homo sapiens</i> IGKC*01 (100%), Km3 A45.1 (153), V101 (191) (108'-214')]; dimère (228-228":231-231")-bisdisulfure, produit dans des cellules ovariales de hamster chinois (CHO) lignée cellulaire CHO-DG44, glycoforme alfa
ansuvimab	inmunoglobulina G1-kappa, anti-[cubierta glicosilada de la subunidad 1 de la glicoproteína de envoltura (GP1) de <i>Zaire ebolavirus</i> (virus Ebola Zaïre (EBOV))], anticuerpo monoclonal; cadena pesada gamma1 (1-449) [VH (<i>Homo sapiens</i> IGHV3-13*01 (78.4%) -(IGHD) -IGHJ5*01 (92.9%) T122>I (113)) CDR-IMGT [8.7.13] (26-33.51-57.96-108) (1-119) - <i>Homo sapiens</i> IGHG1*01 (100%) G1m17.1 (CH1 K120 (216) (120-217), bisagra 1-15 (218-232), CH2 (233-342), CH3 D12 (358), L14 (360) (343-447), CHS (448-449)) (120-449)], (222-214')-disulfuro con la cadena ligera kappa (1'-214') [V-KAPPA (<i>Homo sapiens</i> IGKV1-27*01 (87.4%) -IGKJ4*01 (100%) CDR-IMGT [6.3.9] (27-32.50-52.89-97) (1'-107') - <i>Homo sapiens</i> IGKC*01 (100%), Km3 A45.1 (153), V101 (191) (108'-214')]; dímero (228-228":231-231")-bisdisulfuro, producido en las células ováricas de hámster chino (CHO) línea celular CHO-DG44, forma glicosilada alfa

Heavy chain / Chaîne lourde / Cadena pesada

EVQLVESGGG L^QPQGSRLR SCAASGFALR MYDMMHWRQQT IDKRLEWVSA 50
 VGPSPGDTTYA DSVKGKRFAVS RENAKNSLQL QMNSLTAGDT AIIYCVRSRDR 100
 GVAGLFDSWG QGILIVTVSSA STKGPSVFL APSSKSSTGG TAALGCLVKD 150
 YFPEPVTVSS NSGALTSGVH TFPAPVLQSSG LYSLSSVTV PSSSLGTQTY 200
 ICNVNHHKFSN TRVDRKVEPK SCDRHTCP CPAPELLGP SVFLFPFKP 250
 DTLMIISRTPE VTCVVVDVSH EDPEVKEFNWY VDGVEVHNAK TKPRREEQYNS 300
 TYRVSVLITV LHQDWLNGKE YKCKVSNKAL PAPIEKTIKS AKGQPREGQV 350
 YTLPSPRDEL TNKNQVSITCL VKGFYPSDIA VEWESENQPE NNYKTTTPVIL 400
 DSDGSPPFLYS KLTVDKSRWQ QGNVFSCSVN HEALHNHYTQ KSLSLSPGK 449

Light chain / Chaîne légère / Cadena ligera

DIGMTQSFS SLSASVGDRIT ITCRASQAFD NYVAWYQORP GKVPKLLISA 50
 ASALHAGVPS RFSGSGSGTH FTLTIISSLQP EDVATYYCQN YNSAPLTFCG 100
 GTKVEIKRTV AAAPSVFIFPPP SDEQLKSGTA SVVCLNNFY PREAKVQWKV 150
 DNALQSGNSQ ESVTEQDSDKD STYSLSSLT LSKADYEKHK VYACEVTHQG 200
 LSSPVTKSFN RGEC 214

Post-translational modifications

Disulfide bridges location / Position des ponts disulfure / Posiciones de los puentes disulfuro
 Intra-H (C23-C104) 22-95 146-202 263-323 369-427
 22"-95" 146"-202" 263"-323" 369"-427"

Intra-L (C23-C104) 23-88" 134"-194"

23"-88" 134"-194"

Inter-H-L (h 5-CL 126) 222-214 222"-214"

Inter-H-H (h 11, h 14) 228-228" 231-231"

N-glycosylation sites / Sites de N-glycosylation / Posiciones de N-glicosilación
 H CH2N84.4:
 299, 299"

Fucosylated complex bi-antennary CHO-type glycans / glycanes de type CHO bi-antennaires
 complejos fucosilados / glicanos de tipo CHO biantenarios complejos fucosilados.

atamparibum

atamparib

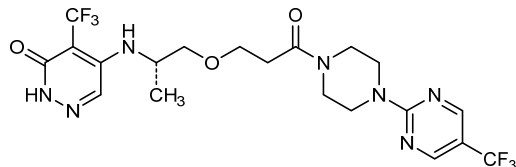
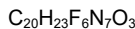
5-{[(2S)-1-(3-oxo-3-{4-[5-(trifluoromethyl)pyrimidin-2-yl]piperazin-1-yl}propoxy)propan-2-yl]amino}-4-(trifluoromethyl)pyridazin-3(2*H*)-one

atamparib

5-{[(2S)-1-(3-oxo-3-{4-[5-(trifluorométhyl)pyrimidin-2-yl]pipérazin-1-yl}propoxy)propan-2-yl]amino}-4-(trifluorométhyl)pyridazin-3(2*H*)-one

atamparib

5-{[(2S)-1-(3-oxo-3-{4-[5-(trifluorometil)pirimidin-2-il]piperazin-1-il}propoxi)propan-2-il]amino}-4-(trifluorometil)piridazin-3(2*H*)-ona

**atuzaginstatum**

atuzaginstat

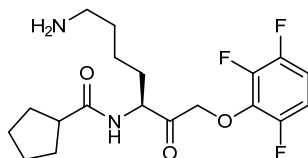
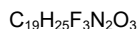
N-[(3*S*)-7-amino-2-oxo-1-(2,3,6-trifluorophenoxy)heptan-3-yl]cyclopentanecarboxamide

atuzaginstat

N-[(3*S*)-7-amino-2-oxo-1-(2,3,6-trifluorophénoxy)heptan-3-yl]cyclopentanecarboxamide

atuzaginstat

N-[(3*S*)-7-amino-2-oxo-1-(2,3,6-trifluorofenoxy)heptan-3-il]ciclopantanocarboxamida

**aumolertinib**

aumolertinib

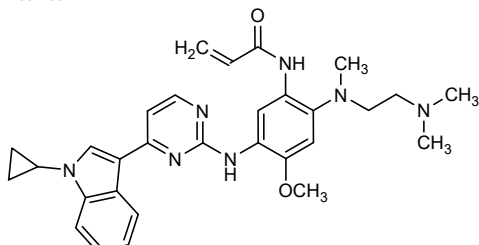
N-(5-{{[4-(1-cyclopropyl-1*H*-indol-3-yl)pyrimidin-2-yl]amino}-2-{{[2-(dimethylamino)ethyl](methyl)amino}-4-methoxyphenyl}prop-2-enamide

aumolertinib

N-(5-{{[4-(1-cyclopropyl-1*H*-indol-3-yl)pyrimidin-2-yl]amino}-2-{{[2-(diméthylamino)éthyl](métihyl)amino}-4-méthoxyphényl}prop-2-énamide

aumolertinib

N-(5-{{[4-(1-ciclopropil-1*H*-indol-3-il)pirimidin-2-il]amino}-2-{{[2-(dimetilamino)etil](metil)amino}-4-metoxifenil)prop-2-enamida

**bevufenogenum nofeparvovec #**

bevufenogene nofeparvovec

A non-replicating, recombinant adeno-associated virus expressing codon-optimised human phenylalanine hydroxylase (PAH).

A non-replicating, recombinant adeno-associated virus, hematopoietic stem cell serotype 15 (AAVHSC15) expressing codon-optimised human phenylalanine hydroxylase (PAH) under control of a liver-specific hybrid promoter [comprising human hepatic control region-1 (HCR-1) enhancer element, human alpha-1-antitrypsin (hAAT) promoter and the SV40 small t intron)] and an SV40 polyA signal sequence, flanked by adeno-associated virus 2 (AAV2) inverted terminal repeats (ITRs).

bévufénogène noféparvovec

Un virus adéno-associé recombinant, non-répliquant, exprimant la phénylalanine hydroxylase humaine (PAH) aux codons optimisés.

Un virus adéno-associé recombinant, non-répliquant, de cellules souches hématopoïétiques de sérotype 15 (AAVHSC15) exprimant la phénylalanine hydroxylase humaine (PAH) aux codons optimisés sous le contrôle d'un promoteur hybride spécifique du foie [consistant en un élément activateur de la région 1 de contrôle hépatique humain (HCR-1), le promoteur de l'alpha-1-antitrypsine humaine (hAAT) et du petit intron t SV40] et d'une séquence signal polyA SV40, flanquée de répétitions terminales inversées (ITRs) du virus adéno-associé 2 (AAV2).

bevafenogén nofeparvovec

Un virus adeno-asociado recombinante, no replicativo, que expresa la fenilalanina hidroxilasa humana (PAH) con codones optimizados.

Un virus adeno-asociado recombinante, no replicativo, derivado de células madre hematopoyéticas serotipo 15 (AAVHSC15) que expresa la fenilalanina hidroxilasa humana (PAH) con codones optimizados, bajo el control de un promotor híbrido específico de hígado [contiene un elemento potenciador de la región de control hepático 1 humana (HCR-1), un promotor de la alfa 1 antitripsina humana (hAAT) y el intrón pequeño t de SV40] y una secuencia señal de polyA de SV40, flanqueado por las repeticiones terminales invertidas (ITRs) del virus adeno-asociado 2 (AAV2).

botensilimab #

botensilimab

immunoglobulin G1-kappa, anti-[*Homo sapiens* CTLA4 (cytotoxic T-lymphocyte associated protein 4, CD152)], *Homo sapiens* monoclonal antibody; gamma1 heavy chain *Homo sapiens* (1-447) [VH (*Homo sapiens* IGHV3-21*01 (99.0%) -IGHD -IGHJ3*02 (92.9%) M123-L (113)) CDR-IMGT [8.8.11] (26-33.51-58.97-107) (1-118) -*Homo sapiens*IGHG1*03 G1m3, nG1m1, G1v8 CH2 D3, L115, E117 (CH1 R120 (215) (119-216), hinge 1-15 (217-231), CH2 S3>D (240), A115>L (331), I117>E (333) (232-341), CH3 E12 (357), M14 (359) (342-446), CHS K>del (447)) (119-447)], (221-214')-disulfide with kappa light chain *Homo sapiens* (1'-214') [V-KAPPA (*Homo sapiens* IGKV3-20*01 (94.8%) -IGKJ1*01 (100%)) CDR-IMGT [6.3.9] (27-32.50-52.89-97) (1'-107') -*Homo sapiens* IGKC*01 (100%) Km3 A45.1 (153), V101 (191) (108'-214')]; dimer (227-227":230-230")-bisdisulfide, produced in Chinese hamster ovary (CHO) cells, glycoform alfa

botensilimab

immunoglobuline G1-kappa, anti-[*Homo sapiens* CTLA4 (protéine 4 associée aux lymphocytes T cytotoxiques, CD152)], anticorps monoclonal *Homo sapiens*;

chaîne lourde gamma1 *Homo sapiens* (1-447) [VH (*Homo sapiens* IGHV3-21*01 (99%) -(IGHD) - IGHJ3*02 (92.9%) M123>L (113)) CDR-IMGT [8.8.11] (26-33.51-58.97-107) (1-118) -*Homo sapiens* IGHG1*03 G1m3, nG1m1, G1v8 CH2 D3, L115, E117 (CH1 R120 (215) (119-216), charnière 1-15 (217-231), CH2 S3>D (240), A115>L (331), I117>E (333) (232-341), CH3 E12 (357), M14 (359) (342-446), CHS K>del (447)) (119-447)], (221-214')-disulfure avec la chaîne légère kappa *Homo sapiens* (1'-214') [-KAPPA (*Homo sapiens* IGKV3-20*01 (94.8%) - IGKJ1*01 (100%)) CDR-IMGT [6.3.9] (27-32.50-52.89-97) (1'-107') -*Homo sapiens* IGKC*01 (100%) Km3 A45.1 (153), V101 (191) (108'-214')]; dimère (227-227":230-230")-bisdisulfure, produit dans des cellules ovariennes de hamster chinois (CHO), glycoforme alfa

botensilimab

inmunoglobulina G1-kappa, anti-[*Homo sapiens* CTLA4 (proteína 4 asociada con los linfocitos T citotóxicos, CD152)], anticuerpo monoclonal *Homo sapiens*; cadena pesada gamma1 *Homo sapiens* (1-447) [VH (*Homo sapiens* IGHV3-21*01 (99%) -(IGHD) - IGHJ3*02 (92.9%) M123>L (113)) CDR-IMGT [8.8.11] (26-33.51-58.97-107) (1-118) -*Homo sapiens* IGHG1*03 G1m3, nG1m1, G1v8 CH2 D3, L115, E117 (CH1 R120 (215) (119-216), bisagra 1-15 (217-231), CH2 S3>D (240), A115>L (331), I117>E (333) (232-341), CH3 E12 (357), M14 (359) (342-446), CHS K>del (447)) (119-447)], (221-214')-disulfuro con la cadena ligera kappa *Homo sapiens* (1'-214') [-KAPPA (*Homo sapiens* IGKV3-20*01 (94.8%) - IGKJ1*01 (100%)) CDR-IMGT [6.3.9] (27-32.50-52.89-97) (1'-107') -*Homo sapiens* IGKC*01 (100%) Km3 A45.1 (153), V101 (191) (108'-214')]; dímero (227-227":230-230")-bisdisulfuro, producido en las células ováricas de hámster chino (CHO), forma glicosilada alfa

Heavy chain / Chaîne lourde / Cadena pesada

EVQLVESGGG LVKPGGSLRL SCAASGFTFS SYSMMWVRQA PGKGELEWVSS 50 ISSSSSYIY AESVKGRPTI SRDNAKNSLY LQMNLSRAED TAVYVCARVG 100 LFGPFIDWQG GTLVTIVSSA TKGEVSFPLA PSSKSTSGGT AALGCLIVKDY 150 FPEPVTVWSN SGALTSGVHT FPAVLQSSGL YSLSSVVTVP SSSLGTQTYI 200 CNVNHKPSTN KVDKRVEPKS CDTKTHCPPC PAPELLGGPD VFLEPPFKPKD 250 TLMISRTPEV TCVVVDVSHE DPEVKFNWVY DGVEVHNNAKT KPRREEQYNST 300 YRVVSVLTVL HQDWLNKEYK CKVWSNKPALP LPEEKTISSKA KGQPREFQVY 350 TLPPSRREMT KNQVSITCLIV KGFPVPSDIAV EWESNGQFEN NYKTTTPVLD 400 SDGSFFFLYSK LTVDKSRWQQ GNVFCSVMH EALHNHYTQK SLSLSPG 447

Light chain / Chaîne légère / Cadena ligera

EIVLTVSPGT LSLSPGERAT LSCRAQSQS VS RYLGWYQQQP QQAPRILLIYG 50 ASTRATGIPD RFSGSGSGTD FTLTITRQLEP EDFAVYYCQQ YGSSPWTFGQ 100 GTKVEIKRTV AAPSVFIFPPP SDEQLKSGTA SVVCLLNNFY PREAKVQWVY 150 DNALQSGNSQ ESVTEQDSKD STYSLSSLT LSKADYEHKH VYACEVTHQG 200 LSSPVTKSFN RGECA 214

Post-translational modifications

Disulfide bridges location / Position des ponts disulfure / Posiciones de los puentes disulfuro
 Intra-H (C23-C104) 22-96 145-201 262-322 368-426
 22"-96" 145"-201" 262"-322" 368"-426"
 Intra-L (C23-C104) 23-88 134"-194"
 23"-88" 134"-194"
 Inter-H-L (h5-CL 126) 221-214" 221"-214"
 Inter-H-H (h 11, h 14) 227-227" 230-230"

N-glycosylation sites / Sites de N-glycosylation / Posiciones de N-glicosilación
 H CH2N84.4:
 298, 298"

Fucosylated complex bi-antennary CHO-type glycans / glycanes de type CHO bi-antennaires complexes fucosylés / glicanos de tipo CHO biantenarios complejos fucosilados.

cadonilimab #

cadonilimab

immunoglobulin G1-kappa anti-[*Homo sapiens* PDCD1 (programmed cell death 1, PD-1, PD1, CD279)], each heavy chain being fused to a scFv anti-[*Homo sapiens* CTLA4 (cytotoxic T-lymphocyte-associated protein 4, CD152)], monoclonal antibody, bispecific, tetravalent; gamma1 heavy chain anti-PDCD1 fused to scFv anti-CTLA4 (1-713) [gamma-1 heavy chain(1-448) [VH anti-PDCD1 (*Homo sapiens*IGHV3-23*04 (88.7%) -(IGHD) -IGHJ6*01 (90.9%) T123>L (113)) CDR-IMGT [8.8.11] (26-33.51-58.97-107) (1-118) -*Homo sapiens*IGHG1*01, G1m17,1, G1v14 CH2 A1.3, A1.2 (CH1 K120 (215) (119-216), hinge 1-15 (217-231), CH2 L1.3>A (235), L1.2>A (236), G1>A (238) (232-341), CH3 D12 (357), L14 (359) (342-446), CHS (447-448)] (119-448)] -20-mer tetrakis(tetraglycyl-seryl) linker (449-468) -scFv heavy-lambda anti-CTLA4 (469-713) [VH anti-CTLA4 G49>C (512) (*Homo sapiens*IGHV1-2*02 (84.7%) -(IGHD) -IGHJ5*01 (90.9%) S128>A (583)) CDR-IMGT [8.8.8] (494-501.519-526.565-572) (469-583) -20-mer tetrakis(tetraglycyl-seryl) linker (584-603) -V-LAMBDA anti-CTLA4 (*Homo sapiens*IGLV7-46*01 (85.3%) -IGLJ3*02 (91.7%) G120>C (705)) CDR-IMGT [9.3.9] (629-637.655-657.694-702) (604-713)]; (221-214')-disulfide with kappa light chain anti-PDCD1 (1'-214') [V-KAPPA (*Mus musculus*IGKV14-111*01 (86.3%) -IGKJ5*01 (100%)/*Homo sapiens*IGKV1-16*01 (80.0%) -IGKJ2*01 (81.8%) Q120>A (100), I126>L (106)) CDR-IMGT [6.3.9] (27-32.50-52.89-97) (1'-107') -*Homo sapiens*IGKC*01 (100%), Km3 A45.1 (153), V101 (191) (108'-214')]; dimer (227-227":230-230")-bisdisulfide, produced in Chinese hamster ovary (CHO) cells, glycoform alfa

cadonilimab

immunoglobuline G1-kappa anti-[*Homo sapiens* PDCD1 (protéine 1 de mort cellulaire programmée, PD-1, PD1, CD279)], chaque chaîne lourde étant fusionnée à un scFv anti-[*Homo sapiens* CTLA4 (protéine 4 associée aux lymphocytes T cytotoxiques, CD152)], anticorps monoclonal, bispécifique, tétravalent; chaîne lourde gamma1 anti-PDCD1 fusionnée au scFv anti-CTLA4 (1-713) [chaîne lourde gamma-1 (1-448) [VH anti-PDCD1 (*Homo sapiens*IGHV3-23*04 (88.7%) -(IGHD) -IGHJ6*01 (90.9%) T123>L (113)) CDR-IMGT [8.8.11] (26-33.51-58.97-107) (1-118) -*Homo sapiens*IGHG1*01, G1m17,1, G1v14 CH2 A1.3, A1.2 (CH1 K120 (215) (119-216), charnière 1-15 (217-231), CH2 L1.3>A (235), L1.2>A (236), G1>A (238) (232-341), CH3 D12 (357), L14 (359) (342-446), CHS (447-448)] (119-448)] -20-mer tetrakis(tétraglycyl-séryl) linker (449-468) -scFv lourd-lambda anti-CTLA4 (469-713) [VH anti-CTLA4 G49>C (512) (*Homo sapiens*IGHV1-2*02 (84.7%) -(IGHD) -IGHJ5*01 (90.9%) S128>A (583)) CDR-IMGT [8.8.8] (494-501.519-526.565-572) (469-583) -20-mer tetrakis(tétraglycyl-séryl) linker (584-603) -V-LAMBDA anti-CTLA4 (*Homo sapiens*IGLV7-46*01 (85.3%) -IGLJ3*02 (91.7%) G120>C (705)) CDR-IMGT [9.3.9] (629-637.655-657.694-702) (604-713)]; (221-214')-disulfure avec la chaîne légère kappa anti-PDCD1 (1'-214') [V-KAPPA (*Mus musculus*IGKV14-111*01 (86.3%) -IGKJ5*01 (100%)/*Homo sapiens*IGKV1-16*01 (80.0%) -IGKJ2*01 (81.8%) Q120>A (100), I126>L (106)) CDR-IMGT [6.3.9] (27-32.50-52.89-97) (1'-107') -*Homo sapiens*IGKC*01 (100%), Km3 A45.1 (153), V101 (191) (108'-214')]; dimère (227-227":230-230")-bisdisulfure, produit dans des cellules ovarianes de hamster chinois (CHO), glycoforme alfa

cadonilimab

inmunoglobulina G1-kappa anti-[*Homo sapiens* PDCD1 (proteína 1 de muerte celular programada, PD-1, PD1, CD279)], cada cadena pesada estando fusionada a un scFv anti-[*Homo sapiens* CTLA4 (proteína 4 asociada con los linfocitos T citotóxicos, CD152)], anticuerpo monoclonal, biespecífico, tetravalente; cadena pesada gamma1 anti-PDCD1 fusionada con scFv anti-CTLA4 (1-713) [cadena pesada gamma-1 (1-448) [VH anti-PDCD1 (*Homo sapiens* IGHV3-23*04 (88.7%) -(IGHD) -IGHJ6*01 (90.9%) T123>L (113)) CDR-IMGT [8.8.11] (26-33.51-58.97-107) (1-118) -*Homo sapiens* IGHG1*01, G1m17,1, G1v14 CH2 A1.3, A1.2 (CH1 K120 (215) (119-216), bisagra 1-15 (217-231), CH2 L1.3>A (235), L1.2>A (236), G1>A (238) (232-341), CH3 D12 (357), L14 (359) (342-446), CHS (447-448)] (119-448)-20-mer tetrakis(tetraglicil-seril) linker (449-468) -scFv pesado-lambda anti-CTLA4 (469-713) [VH anti-CTLA4 G49>C (512) (*Homo sapiens* IGHV1-2*02 (84.7%) -(IGHD) -IGHJ5*01 (90.9%) S128>A (583)) CDR-IMGT [8.8.8] (494-501.519-526.565-572) (469-583) -20-mer tetrakis(tetraglicil-seril) linker (584-603) – V-LAMBDA anti-CTLA4 (*Homo sapiens* IGLV7-46*01 (85.3%) -IGLJ3*02 (91.7%) G120>C (705)) CDR-IMGT [9.3.9] (629-637.655-657.694-702) (604-713)]]; (221-214')-disulfuro con la cadena ligera kappa anti-PDCD1 (1'-214') [V-KAPPA (*Mus musculus* IGKV14-111*01 (86.3%) -IGKJ5*01 (100%)/*Homo sapiens* IGKV1-16*01 (80.0%) -IGKJ2*01 (81.8%) Q120>A (100), I126>L (106)) CDR-IMGT [6.3.9] (27-32.50-52.89-97) (1'-107") -*Homo sapiens* IGKC*01 (100%), Km3 A45.1 (153), V101 (191) (108'-214")]; dímero (227-227":230-230")-bisdisulfuro, producido en las células ováricas de hámster chino (CHO), forma glicosilada alfa

Heavy chain / Chaîne lourde / Cadena pesada (anti-PDCD1 and anti-CTLA4 (scFv))
 EVQLVESGGV LVQPFGSIRL CAASGCFAFS SYDMWSWRQA PGKGLDWAT 50
 ISGGGRYTYYY PDSVKGRFTI SRDNNSKNNLY LQMNNSLRAED TALYVCANY 100
 GEAWFAWQG GTLVTVSSAS TKGPSPVFLA PSSKSTSGT AALGCLVKDY 150
 FPEPVTVSSN SGALTSGVHT FPAAVLQSSGL YSLSSVVTVF SSSLGQTYY 200
 CNVNHKPSNT KVDRKVEPKS CDRHTCPIC PAPEAAGAPS VFLFPPPKFD 250
 TLIMISRTPEV TCVVVDVSHIE PDEPKFNWVY DGVEVHNNAKT KPREEQYNST 300
 YRVSLSLTQL HQDWLNLKEY KCKVSNKALP APIEKTTISKA KGQEREPQVY 350
 TLPLPSRDLITV LTKVQSLTCLV KGFPSPDIAV EMESENQOPEN NYKTTTPVLD 400
 SDGSFFLYSK LTVDKSRWQQ GNVPSCSVMH EALHHNHYTQK SLSLSPKG 450
 GGSGGGSSGG GGSGGGGSQV QLVESGAEVK KPGASVKVSC KASGYSFPTG 500
 TMNWVRQAPG CQELEWIGLIN PYNNITNYAQ KFQGVRVFTV DTISISTAYME 550
 LSRRLSDDTG VYFCARLDYR SYWQGQTLLVT VSAGGGGGGG GGSGGGGGSG 600
 GGSQAVVITQE PSLTVPSEFGT VTILTCGSSTG AVTTSNFPNW VQQKPCQAPR 650
 SLIGGTTNNKA SWTPARFSGS LLLGGKAALTI SGAQPEDEA YYCALWYSNH 700
 WVF CGT KLT VLR 713

Light chain / Chaîne légère / Cadena ligera (anti-PDCD1)

DTQMTQSPSS MSASAVGDRVT FTCRASQDIN TYLWSFQKPK GKSPKTLIYR 50
 ANRIVSGVPS RFSGSGSGQD YTLLTISLQP EDMATYYCLO YDEFPLTFGA 100
 GTKLELKRTV AAPSVFIFPP SDEQLKSGTA SVVCLLNFFY PREAKVQWKV 150
 DNALQSGNSQ ESVTEQDSKD STYSLSSLT LSKADYEHKK YVACEVTHHQ 200
 LSSPVTKFSN RGEC 214

Post-translational modifications

Disulfide bridges location / Position des ponts disulfure / Posiciones de los puentes disulfuro

Intra-H (C23-C104) 22-96 145-201 262-322 368-426 490-564 625-693
 22"-96" 145"-201" 262"-322" 368"-426" 490"-564" 625"-693"

Intra-H (scFv VH C49-VL IGLJ C120) 512-705

512"-705"

Intra-L (C23-C104) 23"-88" 134"-194"

23"-88" 134"-194"

Inter-H-L (h 5-CL 126) 221-214" 221"-214"

Inter-H-H (h 11, h 14) 227-227" 230-230"

N-glycosylation sites / Sites de N-glycosylation / Posiciones de N-glicosilación
 H CH2 N84.4:
 298, 299"

H scFv VH CDR2 N63:

524, 524"

Fucosylated complex bi-antennary CHO-type glycans / glycanes de type CHO bi-antennaire complexes fucosylés / glicanos de tipo CHO biantenarios complejos fucosilados

Recommended INN: List 86**caficrestatum**

caficrestat

WHO Drug Information, Vol. 35, No. 3, 2021

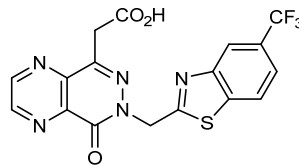
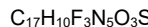
(8-oxo-7-[(5-(trifluoromethyl)-1,3-benzothiazol-2-yl)methyl]-7,8-dihdropyrazino[2,3-d]pyridazin-5-yl)acetic acid

caficrestat

acide (8-oxo-7-[(5-(trifluorométhyl)-1,3-benzothiazol-2-yl)méthyl]-7,8-dihdropyrazino[2,3-d]pyridazin-5-yl)acétique

caficrestat

ácido (8-oxo-7-[(5-(trifluorometil)-1,3-benzotiazol-2-il)metil]-7,8-dihidropirazino[2,3-d]piridazin-5-il)acético

**cavrotolimodum**

cavrotolimod

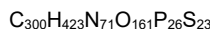
all-P-ambo-(17RS)-1-[(cholest-5-en-3β-yl)oxy]-17,20,40-trihydroxy-1,20,40-trioxo-6,9,12,15,19,21,24,27,30,33,36,39,41,44,47,50,53,56-octadecaoxa-2-aza-20λ⁵,40λ⁵-diphosphaoctapentacontan-58-yl P-thiothymidylyl-(3'→5')-2'-deoxy-P-thiocytidylyl-(3'→5')-2'-deoxy-P-thioguanlyl-(3'→5')-P-thiothymidylyl-(3'→5')-P-thiethymidylyl-(3'→5')-P-thiothymidylyl-(3'→5')-2'-deoxy-P-thioguanlyl-(3'→5')-P-thiothymidylyl-(3'→5')-2'-deoxy-P-thiocytidylyl-(3'→5')-2'-deoxy-P-thioguanlyl-(3'→5')-P-thiothymidylyl-(3'→5")-thiothymidylyl-(3'→5')-P-thiothymidylyl-(3'→5')-P-thiothymidylyl-(3'→5')-2'-deoxy-P-thioguanlyl-(3'→5')-P-thiothymidylyl-(3'→5')-2'-deoxy-P-thiocytidylyl-(3'→5')-2'-deoxy-P-thioguanlyl-(3'→5')-P-thiothymidylyl-(3'→5')-2'-deoxy-P-thiocytidylyl-(3'→5')-2'-deoxy-P-thioguanlyl-(3'→5')-hydrogen 3'-thymidylate

cavrotolimod

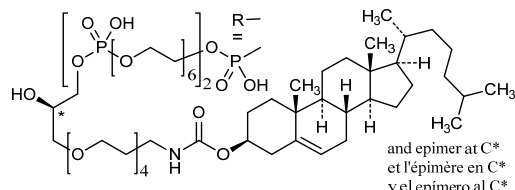
tout-P-ambo-P-thiothymidylyl-(3'→5')-2'-désoxy-P-thiocytidylyl-(3'→5')-2'-désoxy-P-thioguanlyl-(3'→5')-P-thiothymidylyl-(3'→5')-2'-désoxy-P-thiocytidylyl-(3'→5')-2"-désoxy-P-thioguanlyl-(3'→5")-P-thiothymidylyl-(3'→5')-P-thiothymidylyl-(3'→5')-P-thiothymidylyl-(3'→5')-2'-désoxy-P-thioguanlyl-(3'→5')-P-thiothymidylyl-(3'→5')-2'-désoxy-P-thiocytidylyl-(3'→5')-2'-désoxy-P-thioguanlyl-(3'→5")-P-thiothymidylyl-(3'→5')-P-thiothymidylyl-(3'→5')-P-thiothymidylyl-(3'→5')-2'-désoxy-P-thioguanlyl-(3'→5')-P-thiothymidylyl-(3'→5')-2'-désoxy-P-thiocytidylyl-(3'→5')-2'-désoxy-P-thioguanlyl-(3'→5")-P-thiothymidylyl-(3'→5')-P-thiothymidylyl-(3'→5')-P-thiothymidylyl-(3'→5')-2'-désoxy-P-thioguanlyl-(3'→5')-P-thiothymidylyl-(3'→5')-2'-désoxy-P-thiocytidylyl-(3'→5')-2'-désoxy-P-thioguanlyl-(3'→5")-P-thiothymidylyl-(3'→5')-P-thiothymidylyl-(3'→5')-P-thiothymidylyl-(3'→5')-2'-désoxy-P-thioguanlyl-(3'→5')-P-thiothymidylyl-(3'→5')-2'-désoxy-P-thiocytidylyl-(3'→5')-2'-désoxy-P-thioguanlyl-(3'→5")-P-thiothymidylyl-(3'→5')-P-thiothymidylyl-(3'→5')-P-thiothymidylyl-(3'→5')-2'-désoxy-P-thioguanlyl-(3'→5')-hydrogénno-3'-thymidylate de (17RS)-1-[(cholest-5-én-3β-yl)oxy]-17,20,40-trihydroxy-1,20,40-trioxo-6,9,12,15,19,21,24,27,30,33,36,39,41,44,47,50,53,56-octadecaoxa-2-aza-20λ⁵,40λ⁵-diphosphaoctapentacontan-58-yle

cavrotolimod

todo-P-ambo-P-tiotimidilil-(3'→5')-2'-desoxi-P-tiocitidilil-(3'→5')-2'-desoxi-P-tioguanilil-(3'→5')-P-tiotimidilil-(3'→5')-2'-desoxi-P-tiocitidilil-(3'→5')-2''-desoxi-P-tioguanilil-(3'→5')-P-tiotimidilil-(3'→5')-P-tiotimidilil-(3'→5')-2'-desoxi-P-tioguanilil-(3'→5')-P-tiotimidilil-(3'→5')-2'-desoxi-P-tiocitidilil-(3'→5')-2'-desoxi-P-tioguanilil-(3'→5')-P-tiotimidilil-(3'→5")-tiotimidilil-(3'→5')-P-tiotimidilil-(3'→5')-2'-desoxi-P-tioguanilil-(3'→5')-P-tiotimidilil-(3'→5')-2'-desoxi-P-tiocitidilil-(3'→5")-hidrógeno-3'-timidilato de (17RS)-1-[(colest-5-en-3β-il)oxi]-17,20,40-trihidroxi-1,20,40-trioxo-6,9,12,15,19,21,24,27,30,33,36,39,41,44,47,50,53,56-octadecaoxa-2-aza-20λ⁵,40λ⁵-difosfaoctapentacantan-58-il



(3'-5')d(P-thio)(T-C-G-T-C-G-T-T-T-G-T-C-G-T-T-T-G-T-C-G-T-T-R)



cimpuciclibum

cimpuciclib

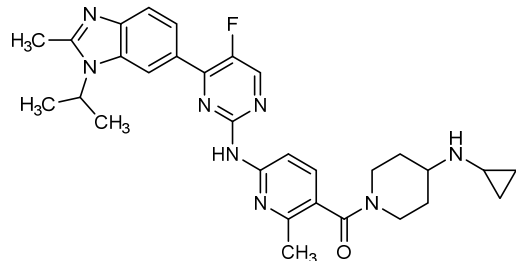
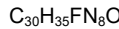
2⁵-fluoro-1²,4⁶-dimethyl-1³-(propan-2-yl)-1³H-3,7-diaza-1(5)-benzimidazola-2(4,2)-pyrimidina-4(2,5)-pyridina-6(1,4)-piperidina-8(1)-cyclopropanoactaphan-5-one

cimpuciclib

2⁵-fluoro-1²,4⁶-diméthyl-1³-(propan-2-yl)-1³H-3,7-diaza-1(5)-benzimidazola-2(4,2)-pyrimidina-4(2,5)-pyridina-6(1,4)-pipéridina-8(1)-cyclopropanoactaphan-5-one

cimpuciclib

2⁵-fluoro-1²,4⁶-dimetil-1³-(propan-2-il)-1³H-3,7-diaza-1(5)-benzimidazola-2(4,2)-pirimidina-4(2,5)-piridina-6(1,4)-piperidina-8(1)-ciclopropanoactafan-5-ona



clesacostatum

clesacostat

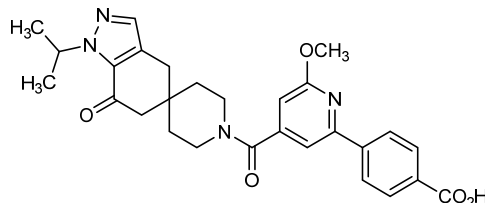
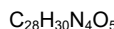
4-{6-methoxy-4-[7-oxo-1-(propan-2-yl)-1,4,6,7-tetrahydrospiro[indazole-5,4'-piperidine]-1'-carbonyl]pyridin-2-yl}benzoic acid

clésacostat

acide 4-{6-méthoxy-4-[7-oxo-1-(propan-2-yl)-1,4,6,7-tétrahydrospiro-[indazole-5,4'-pipéridine]-1'-carbonyl]pyridin-2-yl}benzoïque

clesacostat

ácido 4-{6-metoxi-4-[7-oxo-1-(propan-2-il)-1,4,6,7-tetrahidrospiro-[indazol-5,4'-piperidina]-1'-carbonil]piridin-2-il}benzoico

**cofiraserenum**

cofirasersen

all-P-ambo-2'-O,4'-C-[(1S)-ethane-1,1-diy]-5-methyl-P-thiocytidylyl-(3'→5')-2'-O,4'-C-[(1S)-ethane-1,1-diy]-5-methyl-P-thiocytidylyl-(3'→5')-2'-O,4'-C-[(1S)-ethane-1,1-diy]-5-methyl-P-thiocytidylyl-(3'→5')-2'-deoxygenyl-P-thioguanlyl-(3'→5')-2'-deoxy-P-thioadenylyl-(3'→5')-P-thiothymidylyl-(3'→5')-2'-deoxy-P-thioadenylyl-(3'→5')-2'-deoxy-P-thioguanlyl-(3'→5')-2'-deoxy-5-methyl-P-thiocytidylyl-(3'→5')-P-thiothymidylyl-(3'→5')-2'-deoxy-5-methyl-P-thiocytidylyl-(3'→5')-P-thiothymidylyl-(3'→5')-2'-O,4'-C-[(1S)-ethane-1,1-diy]-5-methyl-P-thiouridylyl-(3'→5')-2'-O,4'-C-[(1S)-ethane-1,1-diy]-P-thioguanlyl-(3'→5')-2'-O,4'-C-[(1S)-ethane-1,1-diy]-5-methyluridine

cofirasersen

tout-P-ambo-2'-O,4'-C-[(1S)-éthane-1,1-diy]-5-méthyl-P-thiocytidylyl-(3'→5')-2'-O,4'-C-[(1S)-éthane-1,1-diy]-5-méthyl-P-thiocytidylyl-(3'→5')-2'-O,4'-C-[(1S)-éthane-1,1-diy]-5-méthyl-P-thiocytidylyl-(3'→5')-2'-désoxy-P-thioguanlyl-(3'→5')-2'-désoxy-P-thioadenylyl-(3'→5')-P-thiothymidylyl-(3'→5')-2'-désoxy-P-thioadenylyl-(3'→5')-2'-désoxy-5-méthyl-P-thiocytidylyl-(3'→5')-P-thiothymidylyl-(3'→5')-2'-désoxy-5-méthyl-P-thiocytidylyl-(3'→5')-2'-désoxy-P-thioguanlyl-(3'→5')-2'-désoxy-P-thioguanlyl-(3'→5')-P-thiothymidylyl-(3'→5')-2'-O,4'-C-[(1S)-éthane-1,1-diy]-5-méthyl-P-thiouridylyl-(3'→5')-2'-O,4'-C-[(1S)-éthane-1,1-diy]-P-thioguanlyl-(3'→5')-2'-O,4'-C-[(1S)-éthane-1,1-diy]-5-méthyluridine

cofirasersén

todo-P-ambo-2'-O,4'-C-[(1S)-etano-1,1-dii]-5-metil-P-tiocitidili-(3'→5')-2'-O,4'-C-[(1S)-etano-1,1-dii]-5-metil-P-tiocitidili-(3'→5')-2'-O,4'-C-[(1S)-etano-1,1-dii]-5-metil-P-tiocitidili-(3'→5')-2'-desoxi-P-tioguanili-(3'→5')-2'-desoxi-P-tioadenili-(3'→5')-P-tiotimidili-(3'→5')-2'-desoxi-P-tioadenili-(3'→5')-2'-desoxi-P-tioguanili-

(3'→5')-2'-desoxi-5-metil-P-tiocitidilil-(3'→5')-P-tiotimidilil-(3'→5')-2'-desoxi-P-tioguanilil-(3'→5')-P-tiotimidilil-(3'→5')-2'-O,4'-C-[(1S)-etano-1,1-diil]-5-metil-P-touridilil-(3'→5')-2'-O,4'-C-[(1S)-etano-1,1-diil]-P-tioguanilil-(3'→5')-2'-O,4'-C-[(1S)-etano-1,1-diil]-5-metiluridina



(3'-5') all P-thio $\underline{\text{C}}=\text{C}=\text{C}=\text{d}(\text{G}=\text{A}=\text{T}=\text{A}=\text{G}=\text{C}=\text{T}=\text{G}=\text{G}=\text{T}=\text{U})=\underline{\text{U}}=\text{G}=\underline{\text{U}}$

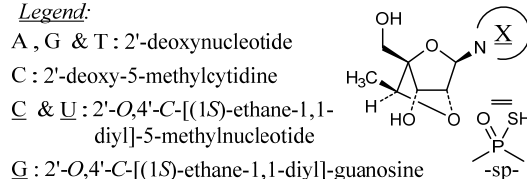
Legend:

A , G & T : 2'-deoxynucleotide

C : 2'-deoxy-5-methylcytidine

$\underline{\text{C}}$ & $\underline{\text{U}}$: 2'-O,4'-C-[(1S)-ethane-1,1-diyl]-5-methylnucleotide

$\underline{\text{G}}$: 2'-O,4'-C-[(1S)-ethane-1,1-diyl]-guanosine



danuglipronum

danuglipron

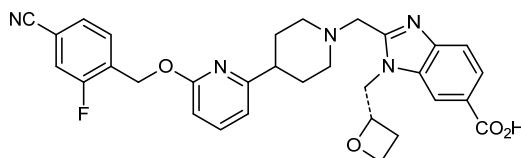
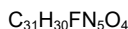
(^{12}S)-9⁴-cyano-9²-fluoro-7-oxa-3(1,2)-benzimidazola-6(2,6)-pyridina-5(1,4)-piperidina-1(2)-oxetana-9(1)-benzenanonaphane-3⁶-carboxylic acid

danuglipron

acide (^{12}S)-9⁴-cyano-9²-fluoro-7-oxa-3(1,2)-benzimidazola-6(2,6)-pyridina-5(1,4)-pipériderina-1(2)-oxétana-9(1)-benzénanonaphane-3⁶-carboxylique

danugliprón

ácido (^{12}S)-9⁴-ciano-9²-fluoro-7-oxa-3(1,2)-benzimidazola-6(2,6)-piridina-5(1,4)-piperidina-1(2)-oxetana-9(1)-bencenanonafano-3⁶-carboxílico



defosbarasertibum

defosbarasertib

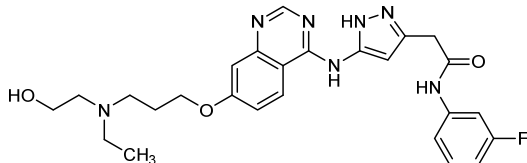
2-{5-[(7-{3-[ethyl(2-hydroxyethyl)amino]propoxy}quinazolin-4-yl)amino]-1*H*-pyrazol-3-yl}-*N*-(3-fluorophenyl)acetamide

défosbarasertib

2-{5-[(7-{3-[éthyl(2-hydroxyéthyl)amino]propoxy}quinazolin-4-yl)amino]-1*H*-pyrazol-3-yl}-*N*-(3-fluorophényl)acétamide

defosbarasertib

2-{5-[(7-{3-[etil(2-hidroxietil)amino]propoxi}quinazolin-4-yl)amino]-1*H*-pirazol-3-il}-*N*-(3-fluorofenil)acetamida

**delandistrogenum moxeparvovec #**

delandistrogene moxeparvovec

A non-replicating adeno-associated virus (AAV) vector encoding human micro-dystrophin.

A recombinant, non-replicating, adeno-associated virus (AAV) serotype rh74 vector (AAVrh74) encoding codon-optimized human micro-dystrophin (a shortened functional version of human dystrophin), under control of a hybrid MHCK7 promoter consisting of enhancer/promoter regions of murine muscle creatine kinase (CK) and alpha-myosin heavy-chain genes, followed by a chimeric intron [including the SV40 late 16S/19S splice signals and a small 5' UTR] and a small synthetic polyadenylation (polyA) signal sequence, flanked by adeno-associated virus 2 (AAV2) inverted terminal repeats (ITRs).

délandistrogène moxéparvovec

Un vecteur adéno-associé (AAV) non-répliquant codant la micro-dystrophine humaine.

Un vecteur adéno-associé de sérotype rh74 (AAVrh74) recombinant, non-répliquant codant la micro-dystrophine humaine aux codons optimisés (une version fonctionnelle raccourcie de la dystrophine humaine), sous le contrôle d'un promoteur hybride MHCK7 consistant en régions activatrices/promotrices de la créatine kinase (CK) de muscle murin et des gènes de la chaîne lourde de l'alpha-myosine, suivi d'un intron chimérique [incluant les signaux d'épissage SV40 tardifs 16S/19S et une UTR courte en 5'] et d'une petite séquence signal synthétique de polyadénylation (polyA), flanquée de répétitions terminales inversées (ITRs) du virus adéno-associé 2 (AAV2).

delandistrogén moxeparvovec

Un vector de virus adeno-asociado (AAV) no replicativo que codifica para la micro distrofina humana.

Un vector de virus adeno-asociado (AAV) recombinante de serotipo rh74 (AAVrh74), no replicativo que codifica para la micro distrofina humana (una versión funcional a cortada de la distrofina humana), con codones optimizados, bajo el control de un promotor híbrido MHCK7 consistente en regiones potenciadoras/promotoras de los genes de la creatinina quinasa (CK) de músculo y de la cadena pesada de la miosina alfa murinas, seguido de un intrón químico [incluyendo las señales de procesamiento 16S/19S del SV40 tardío y una pequeña región 5' UTR] y una pequeña secuencia señal de poliadenilación (polyA) sintética, flanqueado por las repeticiones terminales invertidas (ITRs) del virus adeno-asociado 2 (AAV2).

deudomperidonium

deudomperidone

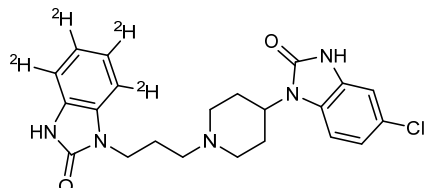
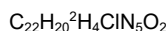
5-chloro-1-(1-{3-[2-oxo-2,3-dihydro-1*H*-(4,5,6,7-²*H*₄)benzimidazol-1-yl}propyl)piperidin-4-yl)-1,3-dihydro-2*H*-benzimidazol-2-one

deudompéridone

5-chloro-1-(1-{3-[2-oxo-2,3-dihydro-1*H*-(4,5,6,7-²*H*₄)benzimidazol-1-yl}propyl)pipéridin-4-yl)-1,3-dihydro-2*H*-benzimidazol-2-one

deudomperidona

5-cloro-1-(1-{3-[2-oxo-2,3-dihidro-1*H*-(4,5,6,7-²*H*₄)benzimidazol-1-il}propil)piperidin-4-il)-1,3-dihidro-2*H*-benzimidazol-2-ona

**deuruxolitinibum**

deuruxolitinib

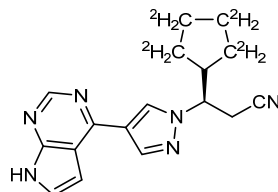
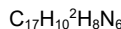
(3*R*)-3-(2,2,3,3,4,4,5,5-²*H*₈)cyclopentyl-3-[4-(7*H*-pyrrolo[2,3-*d*]pyrimidin-4-yl)-1*H*-pyrazol-1-yl]propanenitrile

deuruxolitinib

(3*R*)-3-(2,2,3,3,4,4,5,5-²*H*₈)cyclopentyl-3-[4-(7*H*-pyrrolo[2,3-*d*]pyrimidin-4-yl)-1*H*-pyrazol-1-yl]propanenitrile

deuruxolitinib

(3*R*)-3-(2,2,3,3,4,4,5,5-²*H*₈)ciclopentil-3-[4-(7*H*-pirrolo[2,3-*d*]pirimidin-4-il)-1*H*-pirazol-1-il]propanonitrilo

**deutarserinum**

deutarserine

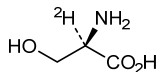
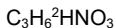
D-(2-²*H*)serine;
(2*R*)-2-amino-3-hydroxy(2-²*H*)propanoic acid

deutarsépine

D-(2-²*H*)sérine;
acide (2*R*)-2-amino-3-hydroxy(2-²*H*)propanoïque

deutarserina

D-(2-²*H*)serina;
ácido (2*R*)-2-amino-3-hidroxi(2-²*H*)proapoico


domvanalimab #

domvanalimab

immunoglobulin G1-kappa, anti-[*Homo sapiens* TIGIT (T-cell immunoreceptor with Ig domain and ITIM, V-set Ig member 9, VSIG9, V-set and transmembrane member 3, VSTM3)], humanized monoclonal antibody; gamma1 heavy chain humanized (1-448) [VH (*Homo sapiens*IGHV3-48*01 (90.8%) -(IGHD) -IGHJ4*01 (92.3%)) CDR-IMGT [8.8.12] (26-33.51-58.97-108) (1-119) -*Homo sapiens*IGHG1*01, G1m17,1, G1v14 CH2 A1.3, A1.2 (CH1 K120 (216) (120-217), hinge 1-15 (218-232), CH2 L1.3>A (236), L1.2>A (237) (233-342), CH3 D12 (358), L14 (360) (343-447), CHS K>del (448)) (120-448)], (222-214')-disulfide with kappa light chain humanized (1'-214') [V-KAPPA (*Homo sapiens*IGKV1-16*01 (89.5%) -IGKJ4*01 (100%)) CDR-IMGT [6.3.9] (27-32.50-52.89-97) (1'-107') -*Homo sapiens*IGKC*01 (100%) Km3 A45.1 (153), V101 (191) (108'-214')]; dimer (228-228":231-231")-bisdisulfide, produced in a Chinese hamster ovary (CHO)-K1 cell line, glycoform alfa

domvanalimab

immunoglobuline G1-kappa, anti-[*Homo sapiens* TIGIT (immunorécepteur des lymphocytes T avec domaine Ig et ITIM, membre 9 de l'Ig V-set, VSIG9, membre 3 de l'Ig V-set et région transmembranaire, VSTM3)], anticorps monoclonal humanisé; chaîne lourde gamma1 humanisée (1-448) [VH (*Homo sapiens*IGHV3-48*01 (90.8%) -(IGHD) -IGHJ4*01 (92.3%)) CDR-IMGT [8.8.12] (26-33.51-58.97-108) (1-119) -*Homo sapiens*IGHG1*01, G1m17,1, G1v14 CH2 A1.3, A1.2 (CH1 K120 (216) (120-217), charnière 1-15 (218-232), CH2 L1.3>A (236), L1.2>A (237) (233-342), CH3 D12 (358), L14 (360) (343-447), CHS K>del (448)) (120-448)], (222-214')-disulfure avec la chaîne légère kappa humanisée (1'-214') [V-KAPPA (*Homo sapiens*IGKV1-16*01 (89.5%) -IGKJ4*01 (100%)) CDR-IMGT [6.3.9] (27-32.50-52.89-97) (1'-107') -*Homo sapiens*IGKC*01 (100%) Km3 A45.1 (153), V101 (191) (108'-214')]; dimère (228-228":231-231")-bisdisulfure, produit dans des cellules ovariennes de hamster chinois (CHO) lignée cellulaire CHO-K1, glycoforme alfa

domvanalimab

inmunoglobulina G1-kappa, anti-[*Homo sapiens* TIGIT (inmunorreceptor de los linfocitos T con dominio Ig e ITIM, miembro 9 de la Ig V-set, VSIG9, miembro 3 de la Ig V-set y región transmembrana, VSTM3)], anticuerpo monoclonal humanizado;

cadena pesada gamma1 humanizada (1-448) [VH
(Homo sapiens IGHV3-48*01 (90.8%) -(IGHD) -
 IGHJ4*01 (92.3%)) CDR-IMGT [8.8.12] (26-33.51-
 58.97-108) (1-119) -*Homo sapiens*IGHG1*01,
 G1m17,1, G1v14 CH2 A1.3, A1.2 (CH1 K120 (216)
 (120-217), bisagra 1-15 (218-232), CH2 L1.3>A (236),
 L1.2>A (237) (233-342), CH3 D12 (358), L14 (360)
 (343-447), CHS K>del (448)) (120-448)], (222-214')-
 disulfuro con la cadena ligera kappa humanizada (1'-
 214') [V-KAPPA (*Homo sapiens* IGKV1-16*01 (89.5%)
 -IGKJ4*01 (100%)) CDR-IMGT [6.3.9] (27-32.50-
 52.89-97) (1'-107') -*Homo sapiens* IGKC*01 (100%)
 Km3 A45.1 (153), V101 (191) (108'-214')]; dímero
 (228-228":231-231")-bisdisulfuro, producido en las
 células ováricas de hámster chino (CHO) línea celular
 CHO-K1, forma glicosilada alfa

Heavy chain / Chaîne lourde/ Cadena pesada
 EVQLVESGGG LVQPQGSLRL SCAAQGFTFS NFGMHWWVRQD PKGKLEWVAF 50
 ISSGSSSIYV ADTVKGRTI SRDNAKNSLY LQMNSSLRAED TAVYCARMR 100
 LDYYAMDYWG QGTMVTVSSA STKPGPSVFL APSSKSTSGG TAALGCLVKD 150
 YFFEPVTVSW NSGALTSGVH TFTPAVLQSSG LYSLSSVVTV PSSSLGTQTY 200
 ICNVNHKPSN TTKVDKVEPK SCDRTHTCPP CPAPEAAAGP SVFLFPKPK 250
 DTLMISRTE VTCCVVVDVSH EDPEVKENWY VDGVEVHNAR TKPRPEEQYNS 300
 TYRVVSVLTW LJQDWLNGKE YKCKVSNKAL PAPIETKTSI AKGQPREPOV 350
 YTLPSSRDEL TNQVQSLTCL VKGFYPSDIA VEWESNGOPE NYKRTTPVPL 400
 DSOGSFFLYS KLTVDKSRWQ QGNVQSCSVM HEALHNHYTQ KSLSLSPG 448

Light chain / Chaîne légère/ Cadena ligera
 DIQMGTSPSS LSASVGRDVT ITCRASKSIS KYLAWSQQKP GKAPKLLIYS 50
 GSTLQSGVPSS RFSGSQSGSDT FTLTISLLOP EDFATYQCQ HNEYPWTFFG 100
 GTKVEIKRTV AAPSVFIFPP SDEGLKSGTA SVVCLLNFFY PREAKVQWVY 150
 DNALQSGNSQ ESVTEQBSDK STYSLSSLTLS LSKADYEKKH VYACEVTHHQ 200
 LSSPVTKSFN RGEC 214

Post-translational modifications

Disulfide bridges location / Position des ponts disulfure / Posiciones de los puentes disulfuro
 Intra-H (C23-C104) 22-96 146-202 263-323 369-427
 22"-96" 146"-202" 263"-323" 369"-427"
 Intra-L (C23-C104) 23"-88" 134"-194"
 23"-88" 134"-194"
 Inter-H-L (h5-CL 126) 222-214" 222"-214"
 Inter-H-H (h 11, h 14) 228-228" 231-231"

N-glycosylation sites / Sites de N-glycosylation / Posiciones de N-glicosilación
 H CH2N84.4:
 299, 299"

Fucosylated complex bi-antennary CHO-type glycans / glycanes de type CHO bi-antennaires complexes fucosylés / glicanos de tipo CHO biantenarios complejos fucosilados.

donidalorsenum

donidalorsen

all-P-ambo-5'-O-[2-(2-acetamido-2-deoxy-β-D-galactopyranosyl)oxy]-16,16-bis{[3-({6-[(2-acetamido-2-deoxy-β-D-galactopyranosyl)oxy]hex-yl}amino)-3-oxopropoxy]methyl}-1-hydroxy-1,10,14,21-tetraoxo-2,18-dioxa-9,15,22-triaza-1λ⁵-phosphaoctacosan-1-yl}-2'-O-(2-methoxyethyl)-5-methyl-P-thiouridylyl-(3'→5')-2'-O-(2-methoxyethyl)-P-thioguanlyl-(3'→5')-2'-O-(2-methoxyethyl)-5-methylcytidyl-(3'→5')-2'-O-(2-methoxyethyl)-adenylyl-(3'→5')-2'-O-(2-methoxyethyl)-P-thioadenylyl-(3'→5')-2'-deoxy-P-thioguanlyl-(3'→5')-P-thiothymidyl-(3'→5')-2'-deoxy-5-methyl-P-thiocytidyl-(3'→5')-P-thiothymidyl-(3'→5')-2'-deoxy-5-methyl-P-thiocytidyl-(3'→5')-P-thiothymidyl-(3'→5')-2'-deoxy-P-thioguanlyl-(3'→5')-2'-deoxy-P-thioadenylyl-(3'→5')-2'-O-(2-methoxyethyl)-5-methyl-P-thiocytidyl-(3'→5')-2'-O-(2-methoxyethyl)adenylyl-(3'→5')-2'-O-(2-methoxyethyl)-P-thioadenylyl-(3'→5')-2'-O-(2-methoxyethyl)-5-methyl-P-thiocytidyl-(3'→5')-2'-O-(2-methoxyethyl)adenylyl-(3'→5')-2'-O-(2-methoxyethyl)-P-thioadenylyl-(3'→5')-2'-O-(2-methoxyethyl)-5-methyl-P-thiocytidyl-(3'→5')-2'-O-(2-methoxyethyl)adenosine

donidalorsen

tout-P-ambo-5'-O-(28-[(2-acétamido-2-désoxy-β-D-galactopyranosyl)oxy]-16,16-bis{[3-((6-[(2-acétamido-2-désoxy-β-D-galactopyranosyl)oxy]hexyl)amino)-3-oxopropoxy]méthyl}-1-hydroxy-1,10,14,21-tétraoxo-2,18-dioxa-9,15,22-triaza-1λ⁵-phosphaoctacosan-1-yl)-2'-O-(2-méthoxyéthyl)-5-méthyl-P-thiouridyl(3'→5')-2'-O-(2-méthoxyéthyl)-P-thioguananyl(3'→5')-2'-O-(2-méthoxyéthyl)-5-méthylcytidyl(3'→5')-2'-O-(2-méthoxyéthyl)-P-thiadényl(3'→5')-2'-O-(2-méthoxyéthyl)-P-thioadényle(3'→5')-2'-désoxy-P-thioguananyl(3'→5')-P-thiothymidyl(3'→5')-2'-désoxy-5-méthyl-P-thiocytidyl(3'→5')-P-thiothymidyl(3'→5')-2'-désoxy-5-méthyl-P-thiocytidyl(3'→5')-P-thiothymidyl(3'→5')-2'-désoxy-P-thioguananyl(3'→5')-2'-désoxy-5-méthyl-P-thiocytidyl(3'→5')-2'-O-(2-méthoxyéthyl)adényle(3'→5')-2'-O-(2-méthoxyéthyl)-P-thioadényle(3'→5')-2'-O-(2-méthoxyéthyl)-P-thiocytidyl(3'→5')-2'-O-(2-méthoxyéthyl)adénosine

donidalorsén

todo-P-ambo-5'-O-(28-[(2-acetamido-2-desoxi-β-D-galactopiranosil)oxi]-16,16-bis{[3-((6-[(2-acetamido-2-desoxi-β-D-galactopiranosil)oxi]hexil)amino)-3-oxopropoxi]metil}-1-hydroxi-1,10,14,21-tétraoxo-2,18-dioxa-9,15,22-triaza-1λ⁵-fosfaoctacosan-1-il)-5-metil-2'-O-(2-metoxietil)-P-tio-uridilil(3'→5')-2'-O-(2-metoxietil)-P-tioguanilil(3'→5')-5-metil-2'-O-(2-metoxietil)citidilil(3'→5')-2'-O-(2-metoxietil)adenilil(3'→5')-2'-O-(2-metoxietil)-P-tioadenilil(3'→5')-2'-desoxi-P-tioguanilil(3'→5')-P-tiotimidilil(3'→5')-2'-desoxi-5-metil-P-tiocitidilil(3'→5')-P-tiotimidilil(3'→5')-2'-desoxi-5-metil-P-tiocitidilil(3'→5')-P-tiotimidilil(3'→5')-2'-desoxi-5-metil-P-tiocitidilil(3'→5')-P-tiotimidilil(3'→5')-2'-desoxi-P-tioguanilil(3'→5')-2'-desoxi-5-metil-P-tiocitidilil(3'→5')-2'-O-(2-metoxietil)adenilil(3'→5')-2'-O-(2-metoxietil)-P-tioadenilil(3'→5')-5-metil-2'-O-(2-metoxietil)-P-tiocitidilil(3'→5')-2'-O-(2-metoxietil)adenosina

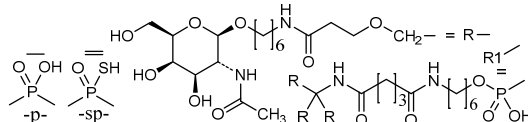


(3'→5') R1-U=G=C-A-A=d(G=T=C=T=C=T=G=G=C=)A-A-A=C=A
Legend:

G & T : 2'-deoxynucleotide C : 2'-deoxy-5-methylcytidine

A & G : 2'-O-(2-methoxyethyl)nucleotide

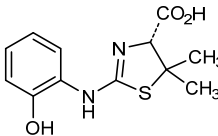
C & U : 2'-O-(2-methoxyethyl)-5-methylnucleotide



ebaresdaxum

ebaresdax

(4R)-2-(2-hydroxyanilino)-5,5-dimethyl-4,5-dihydro-1,3-thiazole-4-carboxylic acid

ébaresdax	acide (4R)-2-(2-hydroxyanilino)-5,5-diméthyl-4,5-dihydro-1,3-thiazole-4-carboxylique
ebaresdax	ácido (4R)-2-(2-hidroxianilino)-5,5-dimetil-4,5-dihidro-1,3-tiazol-4-carboxílico
	C ₁₂ H ₁₄ N ₂ O ₃ S
	
ebdarokimabum #	
ebdarokimab	immunoglobulin G1-kappa, anti-[<i>Homo sapiens</i> IL12B (interleukin 12B, CLMF, IL-12B, NKSF, CLMF2)], humanized monoclonal antibody; gamma1 heavy chain humanized(1-449) [VH (<i>Homo sapiens</i> IGHV5-51*01 (84.7%) -(IGHD) -IGHJ3*02 (92.9%)) CDR-IMGT [8.8.12] (26-33.51-58.97-108) (1-119) - <i>Homo sapiens</i> IGHG1*03v G1m3>G1m17, nG1m1 (CH1 R120>K (216) (120-217), hinge 1-15 (218-232), CH2 (233-342), CH3 E12 (358), M14 (360) (343-447), CHS (448-449) (120-449)], (222-214')-disulfide with kappa light chain humanized (1'-214') [V-KAPPA (<i>Homo sapiens</i> IGKV3D-11*02 (86.7%) -IGKJ5*01 (100%)) CDR-IMGT [6.3.9](27-32.50-52.89-97) (1'-107') - <i>Homo sapiens</i> IGKC*01 (100%), Km3 A45.1 (153), V101 (191) (108'-214')]; dimer (228-228":231-231")-bisdisulfide, produced in Chinese hamster ovary (CHO) cells, glycoform alfa
ebdarokimab	immunoglobuline G1-kappa, anti-[<i>Homo sapiens</i> IL12B (interleukine 12B, CLMF, IL-12B, NKSF, CLMF2)], anticorps monoclonal humanisé; chaîne lourde gamma1 humanisée (1-449) [VH (<i>Homo sapiens</i> IGHV5-51*01 (84.7%) -(IGHD) -IGHJ3*01 (92.9%)) CDR-IMGT [8.8.12] (26-33.51-58.97-108) (1-119) - <i>Homo sapiens</i> IGHG1*03v G1m3>G1m17, nG1m1 (CH1 R120>K (216) (120-217), charnière 1-15 (218-232), CH2 (233-342), CH3 E12 (358), M14 (360) (343-447), CHS (448-449) (120-449)], (222-214')-disulfure avec la chaîne légère kappa humanisée(1'-214') [V-KAPPA (<i>Homo sapiens</i> IGKV3D-11*02 (86.7%) -IGKJ5*01 (100%)) CDR-IMGT [6.3.9](27-32.50-52.89-97) (1'-107') - <i>Homo sapiens</i> IGKC*01 (100%), Km3 A45.1 (153), V101 (191) (108'-214')]; dimère (228-228":231-231")-bisdisulfure, produit dans des cellules ovariennes de hamster chinois (CHO), glycoforme alfa
ebdarokimab	inmunoglobulina G1-kappa, anti-[<i>Homo sapiens</i> IL12B (interleukina 12B, CLMF, IL-12B, NKSF, CLMF2)], anticuerpo monoclonal humanizado;

cadena pesada gamma1 humanizada (1-449) [VH (*Homo sapiens* IGHV5-51*01 (84.7%) -(IGHD) -IGHJ3*01 (92.9%)) CDR-IMGT [8.8.12] (26-33.51-58.97-108) (1-119) -*Homo sapiens* IGHG1*03v G1m3>G1m17, nG1m1 (CH1 R120>K (216) (120-217), bisagra 1-15 (218-232), CH2 (233-342), CH3 E12 (358), M14 (360) (343-447), CHS (448-449) (120-449)], (222-214')-disulfuro con la cadena ligera kappa humanizada(1'-214') [V-KAPPA (*Homo sapiens* IGKV3D-11*02 (86.7%) -IGKJ5*01 (100%)) CDR-IMGT [6.3.9](27-32.50-52.89-97) (1'-107') -*Homo sapiens* IGKC*01 (100%), Km3 A45.1 (153), V101 (191) (108'-214')]; dímero (228-228":231-231")-bidisulfuro, producido en las células ováricas de hámster chino (CHO), forma glicosilada alfa

Heavy chain / Chaîne lourde / Cadena pesada

EVQLVQSGAE VKKPGEISLKI SCQSSGYTFT SYWIGWVRQM PGQGLEWIGI 50
MSPVQSDIRY NPMFPRGQVTM SVDKSSSTAY LQWSSLKASD TAMYCCARR 100
PGQQYGFDFWG QGTMVPTVSA STKGPSVFPPL APSSKKSTGG TAALGCLVKD 150
YFPEPVTVSW NSGALTSGVH TEPAVLQSSG LYSLSSVTV PSSSLGTQTY 200
ICNVNWKPSN TKVDKKVEPK SCDKTHCTPP CPAPELLGGP SVFLFPPKPK 250
DTLMISRTPE VTCVVVVDVSH EDPEVKENWY VDGVEVHNNAK TKPREEQYNS 300
TYRVVSVLTV LHQDWLNLNGKE YKCKVSNKAL PAPIEKTISK ARGGQREPQV 350
YTLPSPREEM TKNQVSITC1 VKGIFYPSDIA VEWESENQPE NNYKTTTPVVL 400
DSDSGFFFLYS KLTVDKSKSRWQ QGNVFSCCSVMEALHNHYTQ KSLSLSPGK 449

Light chain / Chaîne légère / Cadena ligera

EIVLITQSPT LSASPGEFAT ISCRASQSVG TWVAWYQQKQ GPQAPRSLIYA 50
ASNHQSGPIA RFSGSGSGTD FTFLTISSLEP EDFAVYYCQQ YNIYPPYTFQQ 100
GTRLEIKRTV AAESPVIFFFFPPE SDEQLKSGTA SVVCLLNNFY PREAKVQWVQ 150
DNAIQSGNSQ ESVTEQDQSKD STYSLSTILT LSKADYEKHK YVACEVTHQG 200
LSSPVTKSPN RGEC 214

Post-translational modifications

Disulfide bridges location / Position des ponts disulfure / Posiciones de los puentes disulfuro

Intra-H (C23-C104) 22-96 146-202 263-323 369-427
22"-96" 146"-202" 263"-323" 369"-427"

Intra-L (C23-C104) 23"-88" 134"-194"
23"-88" 134"-194"

Inter-H-L (h 5-CL 126) 222-214" 222"-214"

Inter-H-H (h 11, h 14) 228-228" 231-231"

N-glycosylation sites / Sites de N-glycosylation / Posiciones de N-glicosilación

H CH2 N84.4:

299, 299"

Fucosylated complex bi-antennary CHO-type glycans / glycanes de type CHO bi-antennaires complexes fucosylés / glicanos de tipo CHO biantenarios complejos fucosilados.

C-terminal lysine clipping / Coupe de la lysine C-terminale / Recorte de lisina C-terminal

H CHS K2:

449, 449"

ebvaciclibum

ebvaciclib

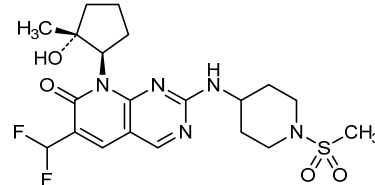
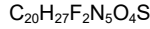
6-(difluoromethyl)-8-[(1*R*,2*R*)-2-hydroxy-2-methylcyclopentyl]-2-[(1-methanesulfonyl)piperidin-4-yl]amino}pyrido[2,3-*d*]pyrimidin-7(8*H*)-one

ebvaciclib

6-(difluorométhyl)-8-[(1*R*,2*R*)-2-hydroxy-2-méthylcyclopentyl]-2-[(1-méthanesulfonyl)pipéridin-4-yl]amino}pyrido[2,3-*d*]pyrimidin-7(8*H*)-one

ebvaciclib

6-(difluorometil)-8-[(1*R*,2*R*)-2-hidroxi-2-metilciclopentil]-2-[(1-metanosulfonil)piperidin-4-il]amino}pirido[2,3-*d*]pirimidin-7(8*H*)-ona



ecubectedinum

ecubectedin

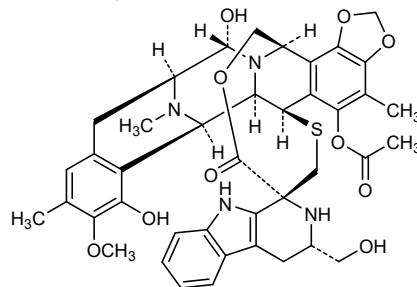
(*1'R,3'S,6R,6aR,7R,13S,14S,16R*)-8,14-dihydroxy-3'-
(hydroxymethyl)-9-methoxy-4,10,23-trimethyl-19-oxo-
2',3',4',6,6a,7,9',13,14,16-decahydro-2*H*,12*H*-
spiro[7,13-azano-6,16-
(sulfanopropanooxymethano)[1,3]dioxolo[7,8]isoquino[
3,2-*b*][3]benzazocine-20,1'-pyrido[3,4-*b*]indol]-5-yl
acetate

écubectédine

acétate de (*1'R,3'S,6R,6aR,7R,13S,14S,16R*)-8,14-
dihydroxy-3'-(hydroxyméthyl)-9-méthoxy-4,10,23-
triméthyl-19-oxo-2',3',4',6,6a,7,9',13,14,16-décahydro-
2*H*,12*H*-spiro[7,13-azano-6,16-
(sulfanopropanooxyméthano)[1,3]dioxolo[7,8]isoquino[
3,2-*b*][3]benzazocine-20,1'-pyrido[3,4-*b*]indol]-5-yle

ecubectedina

acetato de (*1'R,3'S,6R,6aR,7R,13S,14S,16R*)-8,14-
dihidroxi-3'-(hidroximetil)-4,10,23-trimetil-9-metoxi-19-
oxo-2',3',4',6,6a,7,9',13,14,16-decahidro-2*H*,12*H*-
spiro[7,13-azano-6,16-
(sulfanopropanooximetano)[1,3]dioxolo[7,8]isoquino[3,
2-*b*][3]benzazocina-20,1'-pirido[3,4-*b*]indol]-5-ilo

**edaxeterkibum**

edaxeterkib

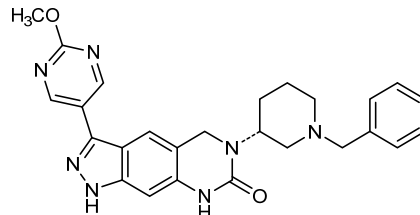
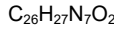
6-[*(3R)*-1-benzylpiperidin-3-yl]-3-(2-methoxypyrimidin-5-yl)-1,5,6,8-tetrahydro-7*H*-pyrazolo[4,3-*g*]quinazolin-7-one

édaxéterkib

6-[*(3R)*-1-benzylpiperidin-3-yl]-3-(2-méthoxypyrimidin-5-yl)-1,5,6,8-tétrahydro-7*H*-pyrazolo[4,3-*g*]quinazolin-7-one

edaxeterkib

6-[*(3R)*-1-bencilpiperidin-3-il]-3-(2-metoxipirimidin-5-il)-
1,5,6,8-tetrahidro-7*H*-pirazolo[4,3-*g*]quinazolin-7-oná



eflirufuspum alfa

eflirufusp alfa

human vascular endothelial growth factor receptor 1 (VEGFR-1) immunoglobulin-like domain 2 containing fragment (132-232, 1-101 in the current sequence), fused via human vascular endothelial growth factor receptor 2 (VEGFR-2) immunoglobulin-like domain 3 containing fragment (227-327, 102-202 in the current sequence) to human fibroblast growth factor receptor 1 (FGFR-1) immunoglobulin-like domains 2 and 3 containing fragment (150-361, 203-414 in the current sequence), fused to human immunoglobulin G1 Fc fragment (415-641), dimer, glycosylated, produced in Chinese hamster ovary (CHO) cells;
vascular endothelial growth factor receptor 1 (*Homo sapiens* VEGFR-1) (132-232)-peptide (1-101), containing the immunoglobulin-like domain 2, fused with vascular endothelial growth factor receptor 2 (*Homo sapiens* VEGFR-2) (227-327)-peptide (102-202), containing the immunoglobulin-like domain 3, with fibroblast growth factor receptor 1 (*Homo sapiens* FGFR-1) (150-361)-peptide (203-414), containing the immunoglobulin-like domains 2 and 3 (211-299 and 308-410), and with a C-terminal *Homo sapiens* immunoglobulin G1 227-peptide Fc fragment (415-641), [*Homo sapiens* IGHG1*01; hinge 415-424; CH2: 425-534; CH3: 535-639; CHS: 640-641]; dimer (420-420':423-423')-bisdisulfide, produced in Chinese hamster ovary (CHO) cells, glycoform alfa

éflimrufusp alfa

domaine 2 analogue à l'immunoglobuline du récepteur 1 du facteur de croissance de l'endothélium vasculaire humain (VEGFR-1) contenant le fragment (132-232, 1-101 dans la séquence actuelle), fusionné via le domaine 3 analogue à l'immunoglobuline du récepteur 2 du facteur de croissance de l'endothélium vasculaire humain (VEGFR-2) contenant le fragment (227-327, 102-202 dans la séquence actuelle) aux domaines 2 et 3 analogues à l'immunoglobuline du récepteur 1 du facteur de croissance des fibroblastes humain 21 (FGFR-1) contenant le fragment (150-361, 203-414 dans la séquence actuelle), fusionné au fragment Fc (415-641) de l'immunoglobuline G1 humaine, dimère, glycosylé, produit dans des cellules ovarianes de hamster chinois (CHO);
peptide 132-232 du récepteur 1 du facteur de croissance de l'endothélium vasculaire (VEGFR-1 d'*Homo sapiens*) (1-101), contenant le domaine 2 analogue à l'immunoglobuline, fusionné avec le peptide-(227-327) du récepteur 2 du facteur de croissance de l'endothélium vasculaire (VEGFR-2 d'*Homo sapiens*) (102-202), contenant le domaine 3 analogue à l'immunoglobuline, avec le peptide-(150-361) du récepteur 1 du facteur de croissance des fibroblastes (FGFR-1 d'*Homo sapiens*) (203-414), contenant les domaines 2 et 3 analogues à l'immunoglobuline (211-299 et 308-410), et avec le fragment Fc du peptide-227 C-terminal de l'immunoglobulines G1 d'*Homo sapiens* (415-641), [*Homo sapiens* IGHG1*01; charnière 415-424; CH2: 425-534; CH3: 535-639; CHS: 640-641]; dimère (420-420':423-423')-bisdisulfure, produit dans des cellules ovarianes de hamster chinois (CHO), glycoforme alfa

eflirufusp alfa

el receptor 1 del factor de crecimiento endotelial vascular humano (VEGFR-1) dominio 2 de inmunoglobulina conteniendo fragmento (132-232, 1-101 en la secuencia actual), fusionado a través del receptor 2 del factor de crecimiento endotelial vascular humano (VEGFR-2) dominio 3 de la inmunoglobulina conteniendo el fragmento (227-327, 102-202 en la secuencia actual) al receptor 1 del factor de crecimiento de fibroblastos humano (FGFR-1) dominio 2 y 3 de la inmunoglobulina conteniendo el fragmento (150-361, 203-414 en la secuencia actual), fusionado al fragmento de la inmunoglobulina humana G1 Fc (415-641), dímero, glicosilado, producido en células ováricas de hámster chino (CHO); péptido 132-232 del receptor 1 del factor de crecimiento del endotelio vascular (VEGFR-1 de *Homo sapiens*) (1-101), que contiene el dominio 2 del tipo inmunoglobulina, fusionado con el péptido 227-327 del receptor 2 del factor de crecimiento del endotelio vascular (VEGFR-2 de *Homo sapiens*) (102-202), que contiene el dominio 3 del tipo inmunoglobulina, con el péptido 150-361 del receptor 1 del factor de crecimiento de fibroblastos (FGFR-1 de *Homo sapiens*) (203-414), que contiene los dominios 2 y 3 de tipo inmunoglobulina (211-299 y 308-410), y con el fragmento Fc 227-peptídico C-terminal de inmunoglobulinas G1 de *Homo sapiens* (415-641), [*Homo sapiens*]IGHG1*01; bisagra 415-424; CH2: 425-534; CH3: 535-639; CHS: 640-641]; dímero (420-420';423-423')-bisdisulfuro, producido en células ováricas de hámster chino (CHO), glicoforma alfa

Sequence / Séquence / Secuencia

GRPFVEMYE IPEIIHMTEG RELVIPCRVT SPNITVTLKK FPLDLTIPDG	50
KRIIWIWDSRK FGIIISNATYKE IIGLITCEAVV NGHLYKTNYL THROTNTLID	100
VVLSPSHGIE LSVGERKLVLIN CTARTELNVG IDFNWEPFSS KHQHKKLVNR	150
DLKTQSGSEM KKFPLSTLTID GTVTRSDQGLY TCAASSGLMT KKNSTFVRVH	200
EKPVAPYVTS PEKMEKKLHLA VPAKAKTVKFK CPSSGTNPPT LRWLKNGKEF	250
KPDHRIGGYV VRYATWSIIM DSVPVPSDGN YTCIVENEYC SINHTYQLDV	300
VERSPHRPIL QAGLPANKTV ALGSVNVEFMC KVYSDPQPHI QWLKHIEVNG	350
SKIGPDNLFP YQILKTAGVN TTDKEMEVHL LRNVNSFEDAG EYTCLAGVNS	400
GLSHSAWILV VLEADKHTTC PPCPAPELLG GFPVFLFFPK PKDTLMISR	450
PEVTCVVVDV SHDEPEVKFN WYDGVGEVHN AKTKPREEQY NSTYRVNGVSL	500
TVLHQDWLNG KEYCKCVSNK ALPAPIEKTI SKAKQPREP QVYTLPPSRD	550
ELTKNQVSLT CLVKGFYPSD IAVEWESNQ PENNYKTPP VLDSDGSFFL	600
YSKLTVDKSR WQQGNVFSCS VMHEALHNHY TQKSLSLSPG K	641

VEGFR-1 Ig-like 2 / VEGFR-2 Ig-like 3 / FGFR-1 Ig-like 2+3 / IgG1 Fc

Post-translational modifications

Disulfide bridges location / Position des ponts disulfure / Posiciones de los puentes disulfuro

Intra-VEGFR1: 27-76 Intra-VEGFR2: 121-182

27'-76' 121'-182'

Intra-FGFR1: 231-283, 330-394 Intra-Fc: 455-515, 561-619

231'-283', 330'-394' 455'-515', 561'-619'

Inter-Fc: 420-420', 423-423'

Glycosylation sites / Sites de glycosylation / Posiciones de glicosilación

N33, N65, N120, N193, N280, N293, N317, N349, N370, N383, N491, N33', N65', N120', N193', N280', N293', N317', N349', N370', N383', N491'

C-terminal lysine clipping / Coupure de la lysine C-terminale / Supresión de lisina C-terminal K641, K641'

efruxifermin #**efruxifermin**

human L-methionyl immunoglobulin G1 Fc fragment (1-228) fused via peptidyl linker ²²⁹GGGGSGGGGGSGGGGS²⁴³ to human fibroblast growth factor 21 (FGF-21) fragment (29-209, 244-424 in the current sequence) variant (L⁹⁸>R³⁴¹, P¹⁷¹>G⁴¹⁴, A¹⁸⁰>E⁴²³), dimer, produced in *Escherichia coli*;

L-methionyl-immunoglobulin G1 (*Homo sapiens*)
 33 γ 1-chain C-terminal 227-peptide Fc fragment (1-228) [*Homo sapiens* IGHG1*1; hinge 1-11; CH2 12-121; CH3 122-226; CHS 227-228] fused with the peptide linker (G₄S)₃ (229-243) and [L⁹⁸>R³⁴¹, P¹⁷¹>G⁴¹⁴, A¹⁸⁰>E⁴²³]-fibroblast growth factor 21 (*Homo sapiens* FGF-21) (244-424), dimer (7'-7':10-10')-bisdisulfide, non-glycosylated, produced in *Escherichia coli*

éfruxifermine

fragment Fc L-méthionyl (1-228) de l'immunoglobuline G1 humaine fusionné via un linker peptidique
 229 GGGGSGGGGGSGGGGS²⁴³ au fragment (29-209, 244-424 dans la séquence actuelle) du facteur de croissance des fibroblastes 21 (FGF-21), variante (L⁹⁸>R³⁴¹, P¹⁷¹>G⁴¹⁴, A¹⁸⁰>E⁴²³), dimère, produit par *Escherichia coli*;
 L-méthionyl-fraction Fc (1-228) de l'immunoglobuline G1 (227-peptide C-terminal de la chaîne γ 1 d'*Homo sapiens*) [*Homo sapiens* IGHG1*1; charnière 1-11; CH2 12-121; CH3 122-226; CHS 227-228] fusionné avec le linker peptidique (G₄S)₃ (229-243) et [L⁹⁸>R³⁴¹, P¹⁷¹>G⁴¹⁴, A¹⁸⁰>E⁴²³]-facteur 21 de croissance des fibroblastes (FGF-21 d'*Homo sapiens*) (244-424), dimère (7'-7':10-10')-bisdisulfure, non-glycosylé, produit par *Escherichia coli*

efruxifermina

fragmento Fc L-metionil (1-228) de la inmunoglobulina G1 humana fusionada a través de un enlace peptídico
 229 GGGGSGGGGGSGGGGS²⁴³ al factor fibroblasto humano 21 (FGF-21) fragmento (29-209, 244-424 en la secuencia actual) variante (L⁹⁸>R³⁴¹, P¹⁷¹>G⁴¹⁴, A¹⁸⁰>E⁴²³), dímero, producido en *Escherichia coli*;
 L-metionil-fragmento Fc de inmunoglobulina G1 (227-peptido C-terminal de la cadena γ 1 de *Homo sapiens*) (1-228) [*Homo sapiens* IGHG1*1; bisagra 1-11; CH2 12-121; CH3 122-226; CHS 227-228] fusionado con el péptido conector (G₄S)₃ (229-243) y [L⁹⁸>R³⁴¹, P¹⁷¹>G⁴¹⁴, A¹⁸⁰>E⁴²³]-factor 21 de crecimiento fibroblástico (FGF-21 de *Homo sapiens*) (244-424), dímero (7'-7':10-10')-bisdisulfuro, no glicosilado, producido por *Escherichia coli*

Sequence / Séquence / Secuencia

MDKTHTCPCC PAPELPGPS VLFLEPPKPKD TLMISRTPEV	TCVVVVDVSH	50
DPEVKFNWYV DGVEVHNAKT KPREEQYNST YRVVSVLTIVL HQDWLNKEY	100	
KCKVNSNKLAP APIERTISKKA KGQPREPQVY TLPEPSRDELT KRNQVSLTCLV	150	
KGFYPSDIAV EWEWSNGQPN NYKTTTPVLD SDGSFFLYSK LTVDKSRWQQ	200	
GNVFSCSVMH EALHNHYTQR SLSLSPGKGKGG GSNSGGGSGG GSNSHPIDSS	250	
PLLQFGGQVR QRQLYTDDAQ QTEAHLEIRE DGTGVGGAADQ SPESLLQLKA	300	
LKPGVQIILG VKTSRFLCQR PDGALYGSIH FDPEACSFRE RLLEDGYNVY	350	
QSEAHGLPLH LPGNKSPHRD PAPRGPARFL PLPGLFPAPP EPPGILAPQP	400	
PDVGSSDPLS MVGGSQGRSP SYES		424

Mutation sites / Sites de mutation / Posiciones de mutación

L341⁺_B, P414⁺_C, A423⁺_EL341⁺_R, P414⁺_G, A423⁺_E

Post-translational modifications

Disulfide bridges location / Position des ponts disulfure / Posiciones de los puentes disulfuro

Intra-Fc: 42-102, 148-206 Intra-FGF21: 318-336

42'-102', 148'-206' 318'-336'

Inter-Fc 7'-7', 10-10'

Glycosylation sites / Sites de glycosylation / Posiciones de glicosilación

none / aucun / ninguna

eganelisibum

eganelisib

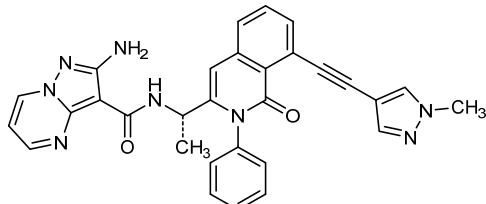
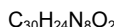
2-amino-N-[(1S)-1-{8-[(1-methyl-1*H*-pyrazol-4-yl)ethynyl]-1-oxo-2-phenyl-1,2-dihydroisoquinolin-3-yl}ethyl]pyrazolo[1,5-a]pyrimidine-3-carboxamide

éganélisib

2-amino-N-[(1*S*)-1-{8-[(1-méthyl-1*H*-pyrazol-4-yl)éthynyl]-1-oxo-2-phényl-1,2-dihydroisoquinolén-3-yl}éthyl]pyrazolo[1,5-a]pyrimidine-3-carboxamide

eganelisib

2-amino-N-[(1*S*)-1-{2-fenil-8-[(1-metil-1*H*-pirazol-4-il)etinil]-1-oxo-1,2-dihidroisoquinolein-3-il}etil]pirazolo[1,5-a]pirimidina-3-carboxamida

**elasomeranum #**

elasomeran

messenger RNA (mRNA), 5'-capped, encoding a full-length, codon-optimised pre-fusion stabilised conformation variant (K986P and V987P) of the SARS-CoV-2 (severe acute respiratory syndrome coronavirus 2; GenBank ID MN908947.3) spike (S) glycoprotein, further optimized by two additional stop codons, flanked by an artificial 5' untranslated region (UTR) and a 3' UTR derived from the human alpha globin gene (HBA1) and terminated by a 3' poly(A) tail; contains N¹-methylpsudouridine instead of uridine (all-U>m¹Ψ).

élasoméran

ARN messager (ARNm), protégé d'une coiffe en 5', codant la séquence entière d'un variant de la glycoprotéine de spicule (S) du SARS-CoV-2 (coronavirus 2 du syndrome respiratoire aigu sévère; GenBank ID MN908947.3) à la conformation stabilisée par pré-fusion (K986P et V987P) et aux codons optimisés, optimisation renforcée par l'ajout de deux codons stop, flanqué d'une région non traduite (UTR) en 5' artificielle et d'une UTR en 3' dérivée du gène de l'alpha-globine humaine (HBA1) et terminé par une queue poly(A) en 3'; contient de la N¹-méthylpsudouridine au lieu de l'uridine (all-U>m¹Ψ).

elasomerán

ARN mensajero (ARNm), protegido en 5', que codifica para una variante estabilizada en conformación pre-fusión (K986P and V987P) de la glicoproteína de la espícula (S) del SARS-Cov-2 (coronavirus 2 del síndrome respiratorio agudo severo; GenBank ID MN908947.3) completa, con codones optimizados, con dos codones de terminación adicionales, flanqueado por una región 5' no traducida (UTR) artificial y una UTR en 3' derivada del gen de la globina alfa humana (HBA1) y terminado por una cola poly(A) en 3'; contiene N¹-metilpsudouridina en lugar de uridina (all-U>m¹Ψ).

elaglusibum

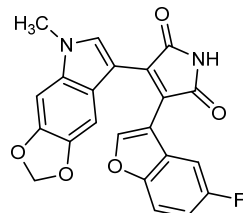
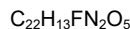
elaglusib

3-(5-fluoro-1-benzofuran-3-yl)-4-(5-methyl-5*H*-[1,3]dioxolo[4,5-*f*]indol-7-yl)-1*H*-pyrrole-2,5-dione

elaglusib

3-(5-fluoro-1-benzofuran-3-yl)-4-(5-méthyl-5*H*-[1,3]dioxolo[4,5-*f*]indol-7-yl)-1*H*-pyrrole-2,5-dione

elaglusib

3-(5-fluoro-1-benzofuran-3-il)-4-(5-metil-5*H*-[1,3]dioxolo[4,5-*f*]indol-7-il)-1*H*-pirrol-2,5-diona**emavusertibum**

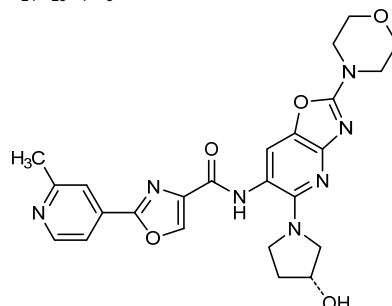
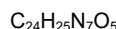
emavusertib

N-(5-[(3*R*)-3-hydroxypyrrrolidin-1-yl]-2-(morpholin-4-yl)[1,3]oxazolo[4,5-*b*]pyridin-6-yl)-2-(2-methylpyridin-4-yl)-1,3-oxazole-4-carboxamide

émavusertib

N-(5-[(3*R*)-3-hydroxypyrrrolidin-1-yl]-2-(morpholin-4-yl)[1,3]oxazolo[4,5-*b*]pyridin-6-yl)-2-(2-méthylpyridin-4-yl)-1,3-oxazole-4-carboxamide

emavusertib

N-(5-[(3*R*)-3-hidroxipirrolidin-1-il]-2-(morpholin-4-il)[1,3]oxazolo[4,5-*b*]piridin-6-il)-2-(2-metilpiridin-4-il)-1,3-oxazol-4-carboxamida**envododstatum**

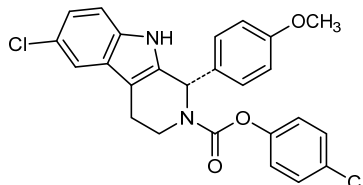
envododstat

4-chlorophenyl (1*S*)-6-chloro-1-(4-methoxyphenyl)-1,3,4,9-tetrahydro-2*H*-pyrido[3,4-*b*]indole-2-carboxylate

envododstat

(1*S*)-6-chloro-1-(4-méthoxyphényl)-1,3,4,9-tétrahydro-2*H*-pyrido[3,4-*b*]indole-2-carboxylate de 4-chlorophényle

emvododstat

(1S)-6-cloro-1-(4-metoxifenil)-1,3,4,9-tetrahidro-2*H*-pirido[3,4-*b*]indol-2-carboxilato de 4-clorofenilo**encoberminogenum rezmadenovec #**

encoberminogene rezmadenovec

A replication-deficient recombinant adenovirus, serotype 5, encoding multiple human vascular endothelial growth factor (VEGF) isoforms. A replication-deficient recombinant adenovirus, serotype 5 (Ad5), encoding multiple human vascular endothelial growth factor (VEGF) isoforms (VEGF121, VEGF165 and VEGF189) under the control of a cytomegalovirus immediate early promoter/enhancer (CMV) and the simian virus 40 (SV40) polyA sequence. Alternative splicing provides mRNA that encodes the three major isoforms of VEGF: VEGF121 (exons 1-5 and 8), VEGF165 (exons 1-5, 7 and 8) and VEGF189 (exons 1-5, 6A, 7 and 8). The VEGF transgene is inserted into the region from which the adenovirus early gene *E1A* is deleted and *E1B* is partially deleted; the *E3* gene is deleted between late gene *L5* and the early gene *E4*.

encoberminogène rezmadénovec

Un adénovirus recombinant déficient à la réplication, de sérotype 5, codant de multiples isoformes du facteur de croissance de l'endothélium vasculaire humain (VEGF).

Un adénovirus recombinant déficient à la réplication, de sérotype 5 (Ad5), codant de multiples isoformes (VEGF121, VEGF165 et VEGF189) du facteur de croissance de l'endothélium vasculaire humain (VEGF) sous le contrôle d'un promoteur/activateur précoce immédiat du cytomégalovirus (CMV) et d'une séquence polyA du virus simien (SV40). L'épissage alternatif génère un ARNm qui code trois isoformes majeures du VEGF : VEGF121 (exons 1-5 et 8), VEGF165 (exons 1-5, 7 et 8) et VEGF189 (exons 1-5, 6A, 7 et 8). Le transgène VEGF est inséré dans la région de laquelle le gène précoce de l'adénovirus *E1A* est supprimé et où *E1B* est partiellement supprimé; le gène *E3* est supprimé entre le gène tardif *L5* et le gène précoce *E4*.

encoberminogén rezmadenovec

Un adenovirus recombinante, deficiente en replicación, serotipo 5, que codifica para múltiples isoformas del factor de crecimiento del endotelio vascular humano (VEGF).

Un adenovirus recombinante, deficiente en replicación, serotipo 5 (Ad5), que codifica para múltiples isoformas del factor de crecimiento del endotelio vascular humano (VEGF) (VEGF121, VEGF165 y VEGF189) bajo el control de un promotor/potenciador inmediato temprano del citomegalovirus (CMV) y una secuencia polyA del virus 40 de simios (SV40). El procesamiento alternativo proporciona mRNA que codifica para las tres principales isoformas de VEGF: VEGF121 (exones 1-5 y 8), VEGF165 (exones 1-5, 7 y 8) y VEGF189 (exones 1-5, 6A, 7 y 8). El transgén VEGF está insertado en la región en la que el gen temprano *E1A* del adenovirus está deletionado y *E1B* está parcialmente deletionado; el gen *E3* está deletionado entre el gen tardío *L5* y el gen temprano *E4*.

ensovibepum #

ensovibep

fusion protein consisting of two identical engineered ankyrin repeats-containing binding protein domains anti-(human albumin) (1-126 fused via peptidyl linker ¹²⁷GSPTPTPTTPTPTPTPTPT¹⁴⁸ to 149-274), fused via peptidyl linker ²⁷⁵GSPTPTPTTPTPTPTPTPT²⁹⁶ to three engineered ankyrin repeats-containing binding protein domains anti-(three different epitopes of the SARS-CoV-2 spike glycoprotein) (297-455 fused via peptidyl linker ⁴⁵⁶GSPTPTPTTPTPTPTPTPT⁴⁷⁷ to 478-636 in turn fused via peptidyl linker ⁶³⁷GSPTPTPTPTPTPTPTPTPT⁶⁵⁸ to 659-817), produced in *Escherichia coli*; fusion protein comprising five engineered protein-binding ankyrin repeat protein domains: two identical human serum albumin (HSA)-binding 126-peptides 1-126 and 149-274 plus three different 159-peptides 297-455, 478-636 and 659-817 that bind to three different epitopes of the spike glycoprotein (S protein, S1S2 protein) of SARS-CoV-2 (severe acute respiratory syndrome coronavirus 2), connected by four GS(PT)₃T(PT)₃T(PT)₃ 22-peptide linkers 127-148, 275-296, 456-477 and 637-658, produced in *Escherichia coli*

ensovibep

protéine de fusion consistant de deux répétitions ankyrine identiques issues de l'ingénierie-contenant des domaines de protéines de liaison anti-(albumine humaine) (1-126 fusionné via un linker peptidique ¹²⁷GSPTPTPTTPTPTPTPT¹⁴⁸ au 149-274), fusionné via un linker peptidique ²⁷⁵GSPTPTPTTPTPTPTPT²⁹⁶ à trois répétitions ankyrine issues de l'ingénierie-contenant des domaines de protéines de liaison anti-(trois épitopes différents de la glycoprotéine de spicule) (297-455 fusionné via un linker peptidique ⁴⁵⁶GSPTPTPTTPTPTPTPT⁴⁷⁷ au 478-636 fusionné à son tour via un linker peptidique ⁶³⁷GSPTPTPTPTPTPTPTPT⁶⁵⁸ au 659-817), produit chez *Escherichia coli*; protéine de fusion consistant de cinq protéines issues de l'ingénierie-liant des domaines protéiques de répétitions ankyrine: deux albumines sériques humaines identiques (HAS)-liant 126-peptides 1-126 et 149-274 plus trois différents 159-peptides 297-455, 478-636 et 659-817 liés aux trois épitopes différents de la glycoprotéine de spicule (protéine S, protéine S1S2) du SARS-CoV-2 (coronavirus 2 du syndrome respiratoire aigu sévère), connectés par quatre GS(PT)₃T(PT)₃T(PT)₃ 22-linkers peptidiques 127-148, 275-296, 456-477 et 637-658, produit chez *Escherichia coli*

ensovibep

proteína de fusión consistente en dos dominios anti-(albúmina humana) diseñados de forma idéntica conteniendo repeticiones de anquirina (1-126 fusionada a través de un enlace peptidil¹²⁷GSPTPTTPTPTPTPTPT¹⁴⁸ a 149-274), fusionado a través de un enlace peptidil²⁷⁵GSPTPTTPTPTPTPTPTPT²⁹⁶ a tres dominios anti-(tres epítopos diferentes de SARS-CoV-2 glicoproteína espícula) diseñados conteniendo repeticiones de anquirina (297-455 fusionados a través del enlace peptidil⁴⁵⁶GSPTPTTPTPTPTPTPTPT⁴⁷⁷ a 478-636 por turno fusionado a través de un enlace peptidil⁶³⁷GSPTPTTPTPTPTPTPTPT⁶⁵⁸ to 659-817), producido en *Escherichia coli*; proteína de fusión que comprende cinco dominios diseñados conteniendo repeticiones de unión a proteína anquirina: dos albúminas séricas idénticas humanas aglutinantes-(HSA) 126-peptidos 1-126 y 149-274 y además 159-peptidos 297-455, 478-636 y 659-817 que se une a 3 epítopos distintos de la glicoproteína espícula (S proteína, S1S2 proteína) de SARS-CoV-2 (síndrome severo agudo respiratorio del coronavirus 2) conectado por cuatro enlaces tipo péptido 127-148, 275-296, 456-477 y 637-658, producido en *Escherichia coli*

Sequence / Séquence / Secuencia

M	0
GSDLGKKLLE AARAGQDDEV RELLKAGADV NAKDYFSHTP LHAAARNGLH	50
KIVEVLLKAG ADVNAKDFAG KTLPLHLAANE GHLEIVEVLL KAGADVNQD	100
IFGKTPADIA ADAGHEDIAE VLQKAAGSPT PTPTPTPTP TPTPTPTPGS	150
DLGKKLLEAA RAGODDEVRE LLKAGADVNA KDYFSHTPLH LAARNGHLKI	200
VEVLLKAGAD VNAKDFAGKT PLHAAANEHG LEIVEVLLKA GADVNQDIF	250
GKTPADIAAD AGHEDIAEVL QKAAGSPTT PTPTPTPTT PTPTPTGSDL	300
GKDLLQARA GQLDEVRELL KAGADVNRKD REGITPLHLA AQIGHLEIVE	350
VLLKAGADVN AKDWGRGTPL HLAAWQHLE IVEVLLKAGA DVNAKDLAGA	400
TPLHVAALYG HLEIVEVLLK AGADVNQDK SGKTPADLAA RAGHQDIAEV	450
LQKAAGSPTP TPTPTPTFT PTTPTPTGSD LGKLLLQAAR AGOLDEVREL	500
LKAGADVNNAK DREGKTPLHV AAQEGHLEIV EVILLKAGADV NAKDWGRTP	550
LHIAAWIGHL IIVEVLLKAG ADVNAKDVSG ATPLHAAALH GHLEIVEVLL	600
NAGADVNAQD KSGKTPADLAA ARAHGHDIAE VLQKAAGSPT PTPTPTPTP	650
<u>TTPTPTPTG</u> DLGKKLQQAA RAGQLDEVRE LLKAGADVNA KDQEGITPLH	700
VAAHQGHLEI VEVLLKAGAD VNAKDWGRGTPLHAAWGRH LEIVEVLLKA	750
GADVNAKDH AATPLHAAAL SGHLEIVEVL LKAGADVNAQ DKSQGKTPADL	800
AARAGHQDITA EVLQKAA	817

italicized underlined letters: 22-peptide linkers GS(PT)₃T(PT)₃T(PT)₃

Glycosylation sites / Sites de glycosylation / Posiciones de glicosilación:
none / aucune / ninguna

M: Met⁰ is clipped

enuvaptanum

enuvaptan

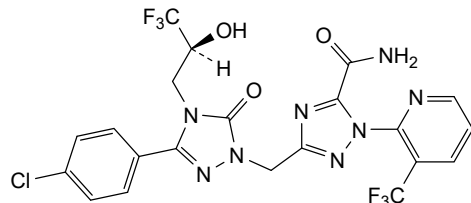
3-({3-(4-chlorophenyl)-5-oxo-4-[(2S)-3,3,3-trifluoro-2-hydroxypropyl]-4,5-dihydro-1*H*-1,2,4-triazol-1-yl}methyl)-1-[3-(trifluoromethyl)pyridin-2-yl]-1*H*-1,2,4-triazole-5-carboxamide

énuvaptan

3-({3-(4-chlorophényle)-5-oxo-4-[(2S)-3,3,3-trifluoro-2-hydroxypropyl]-4,5-dihydro-1*H*-1,2,4-triazol-1-yl)méthyl}-1-[3-(trifluorométhyl)pyridin-2-yl]-1*H*-1,2,4-triazole-5-carboxamide

enuvaptán

3-((3-(4-clorofenil)-5-oxo-4-[(2S)-3,3,3-trifluoro-2-hidroxipropil]-4,5-dihidro-1H-1,2,4-triazol-1-il)metyl)-1-[3-(trifluorometil)piridin-2-il]-1H-1,2,4-triazol-5-carboxamida

**eramkafuspum alfa #**

eramkafusp alfa

chimeric immunoglobulin G1-kappa anti-(human B-lymphocyte antigen CD20) (*rituximab* (77)(39)), fused at the C-terminus of both heavy chains (1-451) via peptidyl linker $^{452}\text{SGGGGS}^{457}$ to human interferon α -2b (IFNa-2b) fragment (24-188, 458-622 in the current sequence) variant ($^{23}\text{K}>\text{R}^{480}$), dimer, glycosylated, produced in Chinese hamster ovary (CHO) cells; immunoglobulin G1-kappa, anti-[*Homo sapiens* CD20 antigen (B-lymphocyte antigen CD20)], humanized monoclonal antibody (*rituximab* (77)(39)), gamma1 heavy chain humanized (1-451) [*Mus musculus* IGHV1-12*01; *Mus musculus*IGHJ1*01; *Homo sapiens*IGHG1*01; VH: 1-121; CH1: 122-219; hinge 220-234; CH2: 235-344; CH3: 345-449; CHS: 450-451; CDRKabatH1: SYNMH (31-35); CDRKabatH2: AIYPGNGDTSYNQKFKG (50-66); CDRKabatH3: STYYGGDWYFNV (99-110)], fused via a SG₄S linker (452-457) with interferon α -2b (*Homo sapiens*) [$\text{K}^{23}>\text{R}^{480}$] -variant (458-622), (224-213')-disulfide with kappa light chain humanized (1'-213') [*Mus musculus* IGKJ1*01; *Homo sapiens* IGKC*01; VL: 1-111; CL: 112-218; CDRKabatL1: RASSSVSYIH (24-33); CDRKabatL2: ATSNLAS (49-55); CDRKabatL3: QQWTSNPPT (88-96)]; dimer (230-230"-233-233")-bisdisulfide, produced in Chinese hamster ovary (CHO) cells, glycoform alfa

éramkafusp alfa

immunoglobuline chimérique G1-kappa anti-(antigène CD20 du lymphocyte B humain) (*rituximab* (77)(39)), fusionnée à la partie C-terminale des deux chaînes lourdes (1-451) via le linker peptidique 452SGGGGS457 du fragment (24-188, 458-622 de la séquence actuelle) de l'interféron α -2b (IFNa-2b) variant (23K>R480), dimère, glycosylée, produite dans des cellules ovarianes de hamster chinois (CHO);

immunoglobuline G1-kappa, anti-[antigène CD20 *Homo sapiens* des lymphocytes B), anticorps monoclonal humanisé (*rituximab* (77)(39)), chaîne lourde gamma1 humanisée (1-451) [*Mus musculus* IGHV1-12*01; *Mus musculus* IGJ1*01; *Homo sapiens* IGHG1*01; VH: 1-121; CH1: 122-219; charnière 220-234; CH2: 235-344; CH3: 345-449; CHS: 450-451; CDRKabatH1: SYNMH (31-35); CDRKabatH2: AIYPGNGDTSYNQFKKG (50-66); CDRKabatH3: STYYGGDWYFNV (99-110)], fusionnée via le linker SG₄S (452-457) avec l'interféron α-2b (*Homo sapiens*) variant K²³>R⁴⁸⁰ (458-622), (224-213')-disulfure avec la chaîne légère kappa humanisée (1'-213') [*Mus musculus* IGKJ1*01; *Homo sapiens* IGKC*01; VL: 1-111; CL: 112-218; CDRKabatL1: RASSSVSYIH (24-33); CDRKabatL2: ATSNLAS (49-55); CDRKabatL3: QQWTSNPPT (88-96)]; dimère (230-230":233-233")-bisdisulfure, produite dans des cellules ovariennes de hamster chinois (CHO), glycoforme alfa

eramkafusp alfa inmunoglobulina químérica G1-kappa anti-(antígeno de linfocitos B CD20 humano) (*rituximab* (77)(39)), fusionado en la C-terminal de ambas cadenas pesadas (1-451) a través de un enlace peptídil ⁴⁵²SGGGGS⁴⁵⁷ al fragmento del interferón α-2b (IFNα-2b) humano (24-188, 458-622 en la secuencia actual) variante (²³K>R⁴⁸⁰), dímero, glicosilado, producido en células ováricas de hámster chino (CHO); inmunoglobulina G1-kappa, anti-(*Homo sapiens* antígeno CD20 de los linfocitos B), anticuerpo monoclonal humanizado (*rituximab* (77)(39)), cadena pesada gamma1 humanizada (1-451) [*Mus musculus* IGHV1-12*01; *Mus musculus* IGJ1*01; *Homo sapiens* IGHG1*01; VH: 1-121; CH1: 122-219; bisagra 220-234; CH2: 235-344; CH3: 345-449; CHS: 450-451; CDRKabatH1: SYNMH (31-35); CDRKabatH2: AIYPGNGDTSYNQFKKG (50-66); CDRKabatH3: STYYGGDWYFNV (99-110)], fusionado a través de un péptido conector SG₄S (452-457) con interferón α-2b (*Homo sapiens*) variante K²³>R⁴⁸⁰ (458-622), (224-213')-disulfuro con la cadena ligera kappa humanizada (1'-213') [*Mus musculus* IGKJ1*01; *Homo sapiens* IGKC*01; VL: 1-111; CL: 112-218; CDRKabatL1: RASSSVSYIH (24-33); CDRKabatL2: ATSNLAS (49-55); CDRKabatL3: QQWTSNPPT (88-96)]; dímero (230-230":233-233")-bisdisulfuro, producido en células ováricas de hámster chino (CHO), glicoforma alfa

Heavy chain / Chaîne lourde / Cadena pesada

QVQLQQPGAE	LVKPGAVKVM	SKCAGSYTFT	SYNNHWVKQT	PGRGLEWIGA	50
IYPGNGDTSY	NQKFKGKATL	TADKSSSTAY	MQLSSLTSED	SAVVYCARST	100
YYGGDWYFNV	WGAGTTVTVS	AASKGPVF	PIAPSSKSTS	GCTAALCLV	150
KDYFPEPVTV	SWNSGALTSG	VHTFPAVLQS	SGLYSLSSVV	TPVSSSLGTQ	200
TYICCNHHPK	SNTKVDKVKE	PKSCDKTHTC	PPCPAPELLG	GPSVFLPPK	250
PKDTLMISRT	PEVTCVVVDV	SHEDPEVKFN	WYVDCGEVHN	AKTKPREEQY	300
NSTYRNGPSV	TVLHQDWLNG	KEYKCKVSNK	ALPAPIEKT	SKARGQREP	350
QVYTLPSPRI	ELTKNQVSLT	CLVKGFYPSI	IAVEWESNGQ	PENNYKTPP	400
VLDLSGFSFI	YSKLTVQDKSR	WQCGNVFCS	VMEHALHNHY	TQKSLSLSPG	450
KSGGGGSCDL	POTHSLGSRR	TIMLLAQMRE	ISLFSCLKDR	HDGFCPQEEF	500
GNQFOQKAETI	PVLHEMTQOI	FNLFSLKDS	AAWDETLILDK	FYTELYQQLN	550
DLEACVIQCV	GVTETPLMKR	DSILAVRKIF	QRTIYLKEK	KYSPCAWEV	600
RAEIMRSFSL	STNLQESLRS	KE			

Light chain / Chaîne légère / Cadena ligera

QIVLQQSPAI	LSASPGEKVT	MTCRASSSVS	YIHWFWQQKPG	SSPKPWIYAT	50
SNLASGVPR	FSGSGSTCSY	SLTISRVEAE	DAATYYCQW	TSNPPTFGGG	100
TKLEIKRTVA	AFSVPFIPPS	DEQLKSGTAS	VVCLLNNFY	REAKVQWKVD	150
NALQSGNSQE	SVTEQDSKDS	TSYSSLSTLTL	SKADYEKHV	YACEVTHQGL	200
SSPVTKSFRN	GEC				213

Mutation site / Site de mutation / Posición de mutación
K480>R

Post-translational modifications

Disulfide bridges location / Position des ponts disulfure / Posiciones de los puentes disulfuro

Intra-H	22-96	148-204	265-325	371-429	Intra-IFN	458-555	486-595
	22"-96"	148"-204"	265"-325"	371"-429"		458"-555"	486"-595"
Intra-L	23"-87"	133"-193"					
	23"-87"	133"-193"					
Inter-H-L	224-213"	224"-213"					
Inter-H-H	230-230"	233-233"					
N-glycosylation sites / Sites de N-glycosylation / Posiciones de N-glicosilación							
N301, N301"							
O-glycosylation sites / Sites de O-glycosylation / Posiciones de O-glicosilación							
T563, T563"							

erfonrilimabum #

erfonrilimab

immunoglobulin G1 VH-VH-h-CH2-CH3 dimer, anti-[*Homo sapiens* CD274 (programmed death ligand 1, PDL1, PD-L1, B7 homolog 1, B7H1)] and anti-[*Homo sapiens* CTLA4 (cytotoxic T-lymphocyte-associated protein 4, CD152)], chimeric and humanized monoclonal antibody, bispecific; gamma1 VH-VH-h-CH2-CH3 chain, chimeric and humanized (1-493) [VH anti-CD274 Vicpac/Homsap (*Vicugna pacos* IGHV3-3*01 (80.6%) -(IGHD) -IGHJ5*01 (92.3)/*Homo sapiens* IGHV3-64*04 (78.4%) -(IGHD) -IGHJ1*01 (92.9%)) CDR-IMGT [8.8.21] (26-33.51-58.97-117) (1-128)] -3-mer glycyl-alanyl-prolyl linker (129-131) -[VH anti-CTLA4 humanized (*Homo sapiens* IGHV3-NL1*01 (86.6%) -(IGHD) -IGHJ4*01 (92.9%)) CDR-IMGT [8.8.21] (157-164.182-189.228-248) (132-259)] -2-mer glycyl-seryl linker (260-261) -[*Homo sapiens* IGHG1*01, G1m1 D12, L14, G1v37 h S5, hinge-CH2-CH3 (100%) (hinge 1-15 C5>S (266) (262-276), CH2 (277-386), CH3 D12 (402), L14 (404) (387-491), CHS (492-493)) (262-493)], dimer (272-272":275-275")-bisdisulfide, produced in Chinese hamster ovary (CHO) cells, glycoform alfa

erfonrilimab

immunoglobuline G1 VH-VH-h-CH2-CH3 dimère, anti-[*Homo sapiens* CD274 (ligand 1 de mort programmée, PDL1, PD-L1, homologue 1 de B7, B7H1)] et anti-[*Homo sapiens* CTLA4 (protéine 4 associée aux lymphocytes T cytotoxiques, CD152)], anticorps monoclonal chimérique et humanisé, bispéculique; gamma1 VH-VH-h-CH2-CH3 chaîne, chimérique et humanisée (1-493) [VH anti-CD274 Vicpac/Homsap (*Vicugna pacos* IGHV3-3*01 (80.6%) -(IGHD) -IGHJ5*01 (92.3)/*Homo sapiens* IGHV3-64*04 (78.4%) -(IGHD) -IGHJ1*01 (92.9%)) CDR-IMGT [8.8.21] (26-33.51-58.97-117) (1-128)] -3-mer glycyl-alanyl-prolyl linker (129-131) -[VH anti-CTLA4 humanisé (*Homo sapiens* IGHV3-NL1*01 (86.6%) -(IGHD) -IGHJ4*01 (92.9%)) CDR-IMGT [8.8.21] (157-164.182-189.228-248) (132-259)] -2-mer glycyl-séryl linker (260-261) -[*Homo sapiens* IGHG1*01, G1m1 D12, L14, G1v37 h S5, charnière-CH2-CH3 (100%) (charnière 1-15 C5>S (266) (262-276), CH2 (277-386), CH3 D12 (402), L14 (404) (387-491), CHS (492-493)) (262-493)], dimère (272-272":275-275")-bisdisulfure, produit dans des cellules ovariennes de hamster chinois (CHO), glycoforme alfa

erfonrilimab

inmunoglobulina G1 VH-VH-h-CH2-CH3 dímero, anti-[*Homo sapiens* CD274 (ligando 1 de muerte programada, PDL1, PD-L1, homólogo 1 de B7, B7H1)] y anti-[*Homo sapiens* CTLA4 (proteína 4 asociada con los linfocitos T citotóxicos, CD152)], anticuerpo monoclonal químérico y humanizado, biespecífico; gamma1 VH-VH-h-CH2-CH3 cadena, químérica y humanizada (1-493) [VH anti-CD274 Vicpac/Homsap (*Vicugna pacos* IGHV3-3*01 (80.6%) -(IGHD) -IGHJ5*01 (92.3)/*Homo sapiens* IGHV3-64*04 (78.4%) -(IGHD) -IGHJ1*01 (92.9%)) CDR-IMGT [8.8.21] (26-33.51-58.97-117) (1-128)] -3-mer glicil-alanil-prolil linker (129-131) -[VH anti-CTLA4 humanizado (*Homo sapiens* IGHV3-NL1*01 (86.6%) -(IGHD) -IGHJ4*01 (92.9%)) CDR-IMGT [8.8.21] (157-164.182-189.228-248) (132-259)] -2-mer glicil-seril linker (260-261) -[*Homo sapiens* IGHG1*01, G1m1 D12, L14, G1v37 h S5, bisagra-CH2-CH3 (100%) (bisagra 1-15 C5>S (266) (262-276), CH2 (277-386), CH3 D12 (402), L14 (404) (387-491), CHS (492-493)) (262-493)], dímero (272-272":275-275")-bisdisulfuro, producido en las células ováricas de hámster chino (CHO), forma glicosilada alfa

Heavy chain / Chaîne lourde / Cadena pesada
 QVQLVESGGG LVQPGGSLRL SCAA SGKMS RRCMAWFRQA PGKERERVAK 50
 LLTTSGSTYL ADSVKGRPTI SRDN SKNTVY LQMN SIRRAED TAVV YCAADS 100
 FEDPTCTLVTT SSGAFQYWQG GTLTVT VSSGA PQVQLV ESGG GLVQ PGGS LR 150
 LS CAAS GYIY SAYCMGWFRQ APGKGLEGVA AIIYIGG STY YADSVVKGRFT 200
 IS RDNS KNTL YLQ MN SIRAE DTAVV YCAAD V IPTET CLGG SWSPG PFGY WG 250
 QGT LVT VSSG SEP KSS DKT TH TC PFC PAPEL LGGP SVF LFP PKPK DTL MIS 300
 RT PEVTC VVV DV SHD PEVK FN WV VDG VEV HNA KT KPR EEE QYN STY RV 350
 VL TLH QDW NG KE YK CKVS NKA LPAP I EK TIS KAK GQP E PQV YTI PFS 400
 RDEL TKN QVS LTC LVK GFYP SDIA VEWESN QOPEN NYKTT PPV LDSD GS 450
 FLSK LTVDK SRW QQGNW FS CSV MHEALHN HYT QKS LSL S PKG 493

Post-translational modifications

Disulfide bridges location / Position des ponts disulfure / Posiciones de los puentes disulfuro

Intra-H (C23-C104) 22-96 153-227 307-367 413-471
22"-96" 153"-227" 307"-367" 413"-471"Intra-H VH (C38-C111,3) 33-106 164-237
33"-106" 164"-237"

Inter-H-H (h 11, h 14) 272-272" 275-275"

N-terminal glutaminyl cyclization to pyroglutamyl (pE, 5-oxoprolyl)
H VH Q1:
1, 1"N-glycosylation sites / Sites de N-glycosylation / Posiciones de N-glicosilación
H CH2 N84,4:
343, 343"

Fucosylated complex bi-antennary CHO-type glycans / glycanes de type CHO bi-antennaires complexes fucosylés / glicanos de tipo CHO biantenarios complejos fucosilados

C-terminal lysine clipping / Coupe de la lysine C-terminale / Recorte de lisina C-terminal
H CHS K2:
493, 493"**ervogastatum**

ervogastat

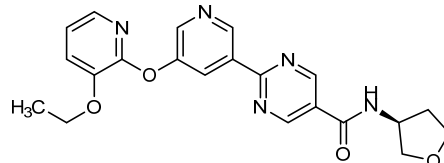
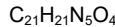
2-{5-[(3-ethoxypyridin-2-yl)oxy]pyridin-3-yl}-N-[(3S)-oxolan-3-yl]pyrimidine-5-carboxamide

ervogastat

2-{5-[(3-éthoxypyridin-2-yl)oxy]pyridin-3-yl}-N-[(3S)-oxolan-3-yl]pyrimidine-5-carboxamide

ervogastat

2-{5-[(3-etoxypiridin-2-il)oxi]piridin-3-yl}-N-[(3S)-oxolan-3-il]pirimidina-5-carboxamida

**etavopivatum**

etavopivat

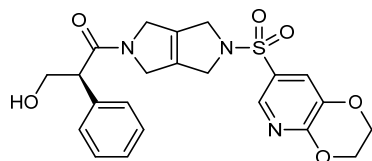
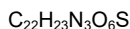
(2S)-1-[5-(2,3-dihydro[1,4]dioxino[2,3-*b*]pyridine-7-sulfonyl)-3,4,5,6-tetrahydropyrrolo[3,4-*c*]pyrrol-2(1*H*)-yl]-3-hydroxy-2-phenylpropan-1-one

étavopivat

(2S)-1-[5-(2,3-dihydro[1,4]dioxino[2,3-*b*]pyridine-7-sulfonyl)-3,4,5,6-tetrahydropyrrolo[3,4-*c*]pyrrol-2(1*H*)-yl]-3-hydroxy-2-phénylpropan-1-one

etavopivat

(2S)-1-[5-(2,3-dihidro[1,4]dioxino[2,3-*b*]piridina-7-sulfonyl)-3,4,5,6-tetrahidropirrolo[3,4-*c*]pirrol-2(1*H*)-2-fenil-3-hidroxipropan-1-ona


etrumadenantum

etrumadenant

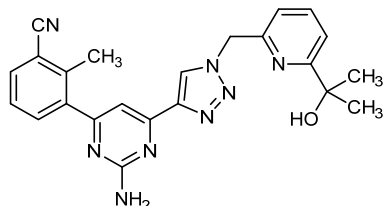
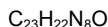
3-[2-amino-6-(1-[[6-(2-hydroxypropan-2-yl)pyridin-2-yl]methyl]-1*H*-1,2,3-triazol-4-yl)pyrimidin-4-yl]-2-methylbenzonitrile

étrumadénant

3-[2-amino-6-(1-[[6-(2-hydroxypropan-2-yl)pyridin-2-yl]methyl]-1*H*-1,2,3-triazol-4-yl)pyrimidin-4-yl]-2-méthylbenzonitrile

etrumadenant

3-[2-amino-6-(1-[[6-(2-hidroxipropan-2-il)piridin-2-il]metil]-1*H*-1,2,3-triazol-4-il)pirimidin-4-il]-2-metilbenzonitriolo


exagamglogenum autotemcelum #

exagamglogene autotemcel

Autologous CD34+ cells isolated from mobilised peripheral blood by positive selection, modified by CRISPR/Cas9 (clustered regularly interspaced short palindromic repeats/CRISPR-associated protein 9) mediated gene editing consisting of a guide RNA (gRNA) introduced transiently as ribonucleoprotein (RNP) complex, targeting the erythroid lineage-specific enhancer region of *BCL11A* (B-cell lymphoma/leukemia 11A). The site-specific cleavage by Cas9 forms a double strand break (DSB), which is subsequently repaired by nonhomologous end-joining (NHEJ), leading to the transcriptional repression of *BCL11A*, a repressor of γ -globin gene transcription.

exagamglogène autotemcel

Cellules CD34+ autologues isolées du sang périphérique mobilisé par sélection positive, modifiées par CRISPR/Cas9 (courtes répétitions palindromiques groupées et régulièrement espacées / protéine 9 associée à CRISPR) induisant une édition génétique consistant de deux ARN guides (gRNA) introduisant transitoirement un complexe ribonucléoprotéique,

ciblant la région activatrice spécifique du lignage des érythroïdes de *BCL11A* (lymphome des cellules B/ leucémie 11A). Le clivage site-spécifique par Cas9 forme une cassure double brin (DSB), qui est ensuite réparée par la jonction d'extrémités non homologues (NHEJ), menant à la répression transcriptionnelle de *BCL11A*, un répresseur de la transcription du gène γ -globine.

exagamglogén autotemcel

Células CD34+ autólogas aisladas de células movilizadas en sangre periférica mediante selección positiva, modificadas por CRISPR/Cas9 (repeticiones palindrómicas cortas agrupadas y regularmente espaciadas/proteína asociada a CRISPR 9) mediante edición genética consistente en un RNA guía (gRNA) introducido transitoriamente como un complejo de ribonucleoproteína (RNP), dirigido a la región potenciadora específica de linaje eritroide de *BCL11A* (linfoma/leucemia de linfocitos B11A). El corte específico de sitio por Cas9 forma una rotura de la doble hélice (DSB) que es subsiguientemente reparada mediante unión de extremos no homóloga (NHEJ), lo que conduce a la represión transcripcional de *BCL11A*, un represor de la transcripción del gen de la γ -globina.

fesomersen

fesomersen

all-P-ambo-5'-O-(28-[(2-acetamido-2-deoxy- β -D-galactopyranosyl)oxy]-16,16-bis{[3-({6-[(2-acetamido-2-deoxy- β -D-galactopyranosyl)oxy]hexyl}amino)-3-oxopropoxy]methyl}-1-hydroxy-1,10,14,21-tetraoxo-2,18-dioxa-9,15,22-triaza-1 λ^5 -phosphaoctacosan-1-yl)-2'-O-(2-methoxyethyl)-P-thioadenylyl-(3' \rightarrow 5')-2'-O-(2-methoxyethyl)-5-methylcytidylyl-(3' \rightarrow 5')-2'-O-(2-methoxyethyl)guanylyl-(3' \rightarrow 5')-2'-O-(2-methoxyethyl)guanylyl-(3' \rightarrow 5')-2'-O-(2-methoxyethyl)-5-methylcytidylyl-(3' \rightarrow 5')-2'-deoxy-P-thioadenylyl-(3' \rightarrow 5')-P-thiothymidylyl-(3' \rightarrow 5')-P-thiothymidylyl-(3' \rightarrow 5')-2'-deoxy-P-thioguananyl-(3' \rightarrow 5')-P-thiothymidylyl-(3' \rightarrow 5')-2'-deoxy-P-thioguananyl-(3' \rightarrow 5')-2'-deoxy-5-methyl-P-thiocytidyl-(3' \rightarrow 5')-2'-deoxy-P-thioadenylyl-(3' \rightarrow 5')-2'-deoxy-5-methyl-P-thiocytidyl-(3' \rightarrow 5')-2'-O-(2-methoxyethyl)adenylyl-(3' \rightarrow 5')-2'-O-(2-methoxyethyl)guanylyl-(3' \rightarrow 5')-2'-O-(2-methoxyethyl)-5-methyl-P-thiouridyl-(3' \rightarrow 5')-2'-O-(2-methoxyethyl)-5-methyl-P-thiouridyl-(3' \rightarrow 5')-2'-O-(2-methoxyethyl)-5-methyluridine

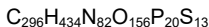
fésomersen

tout-P-ambo-5'-O-(28-[(2-acétamido-2-désoxy- β -D-galactopyranosyl)oxy]-16,16-bis{[3-({6-[(2-acétamido-2-désoxy- β -D-galactopyranosyl)oxy]hexyl}amino)-3-oxopropoxy]méthyl}-1-hydroxy-1,10,14,21-tétraoxo-2,18-dioxa-9,15,22-triaza-1 λ^5 -phosphaoctacosan-1-yl)-2'-O-(2-méthoxyéthyl)-P-thioadénylyl-(3' \rightarrow 5')-2'-O-(2-méthoxyéthyl)-5-méthylcytidylyl-(3' \rightarrow 5')-2'-O-(2-méthoxyéthyl)guanylyl-(3' \rightarrow 5')-2'-O-(2-méthoxyéthyl)guanylyl-(3' \rightarrow 5')-2'-O-(2-méthoxyéthyl)-5-méthyluridine

5-méthylcytidylyl-(3'→5')-2'-désoxy-P-thioadénylyl-(3'→5')-P-thiothymidylyl-(3'→5')-P-thiothymidylyl-(3'→5')-2'-désoxy-P-thioguananyl-(3'→5')-2'-désoxy-P-thioguananyl-(3'→5')-P-thiothymidylyl-(3'→5')-2'-désoxy-P-thioguananyl-(3'→5')-2'-désoxy-5-méthyl-P-thiocytidylyl-(3'→5')-2'-désoxy-P-thioadénylyl-(3'→5')-2'-désoxy-5-méthyl-P-thiocytidylyl-(3'→5')-2'-O-(2-méthoxyéthyl)adénylyl-(3'→5')-2'-O-(2-méthoxyéthyl)guanylyl-(3'→5')-2'-O-(2-méthoxyéthyl)-5-méthyl-P-thiouridyl-(3'→5')-2'-O-(2-méthoxyéthyl)-5-méthyl-P-thiouridyl-(3'→5')-2'-O-(2-méthoxyéthyl)-5-méthyluridine

fesomersén

todo-P-ambo-5'-O-(2-acetamido-2-desoxi-β-D-galactopiranosil)oxi]-16-bis[[3-[(2-acetamido-2-desoxi-β-D-galactopiranosil)oxi]hexil]-amino]-3-oxopropoxi]metil]-1-hidroxi-1,10,14,21-tetraoxo-2,18-dioxa-9,15,22-triaza-1λ⁵-fosfaoctacosan-1-il)-2'-O-(2-metoxietil)-P-tioadenilil-(3'→5')-5-metil-2'-O-(2-metoxietil)citidilil-(3'→5')-2'-O-(2-metoxietil)guanilil-(3'→5')-2'-O-(2-metoxietil)guanilil-(3'→5')-5-metil-2'-O-(2-metoxietil)citidilil-(3'→5')-2'-desoxi-P-tioadenilil-(3'→5')-P-tiotimidilil-(3'→5')-2'-desoxi-P-tioguanilil-(3'→5')-P-tiotimidilil-(3'→5')-2'-desoxi-P-tioguanilil-(3'→5')-2'-desoxi-5-metil-P-tiocitidilil-(3'→5')-2'-desoxi-P-tioadenilil-(3'→5')-2'-desoxi-5-metil-P-tiocitidilil-(3'→5')-2'-O-(2-metoxietil)adenilil-(3'→5')-2'-O-(2-metoxietil)guanilil-(3'→5')-5-metil-2'-O-(2-metoxietil)-P-tiouridilil-(3'→5')-5-metil-2'-O-(2-metoxietil)-P-tiouridilil-(3'→5')-5-metil-2'-O-(2-metoxietil)uridina



(3'→5') R1-A=C-G-C-d(A=T=T=G=G=T=G=C=A=C=)A-G-U=U=U
Legend:

A , G & T : 2'-deoxynucleotide C : 2'-deoxy-5-methylcytidine

A & G : 2'-O-(2-methoxyethyl)nucleotide

C & U : 2'-O-(2-methoxyethyl)-5-methylnucleotide



finotonlimab

finotonlimab

immunoglobulin G4-kappa, anti-[*Homo sapiens* PDCD1 (programmed cell death 1, PD-1, PD1, CD279)], monoclonal antibody;

	gamma4 heavy chain (1-445) [VH (<i>Mus musculus</i> IGHV5-9-2*01 (88.8%) -(IGHD) -IGHJ4*01 (90.9%)/ <i>Homo sapiens</i> IGHV3-23*04 (86.7%) -(IGHD) -IGHJ3*01 (90.9%)) CDR-IMGT [8.8.11] (26-33.51-58.97-107) (1-118)- <i>Homo sapiens</i> IGHG4*01, G4v5 h P10 (CH1 (119-216), hinge 1-12 S10>P (226) (217-228), CH2 (229-338), CH3 (339-443), CHS (444-445)) (119-445)], (132-218')-disulfide with kappa light chain (1'-218') [V-KAPPA (<i>Homo sapiens</i> IGKV3D-11*02 (81.9%) -IGKJ1*01 (100%)) CDR-IMGT [10.3.9] (27-36.54-56.93-101) (1'-111') - <i>Homo sapiens</i> IGKC*01 (100%), Km3 A45.1 (157), V101 (195) (112'-218')]; dimer (224-224":227-227")-bisdisulfide, produced in a Chinese hamster ovary (CHO)-DG44 cell line, glycoform alfa
finotonlimab	immunoglobuline G4-kappa, anti-[<i>Homo sapiens</i> PDCD1 (protéine 1 de mort cellulaire programmée, PD-1, PD1, CD279)], anticorps monoclonal; chaîne lourde gamma4 (1-445) [VH (<i>Mus musculus</i> IGHV5-9-2*01 (88.8%) -(IGHD) -IGHJ4*01 (90.9%)/ <i>Homo sapiens</i> IGHV3-23*04 (86.7%) -(IGHD) -IGHJ3*01 (90.9%)) CDR-IMGT [8.8.11] (26-33.51-58.97-107) (1-118)- <i>Homo sapiens</i> IGHG4*01, G4v5 h P10 (CH1 (119-216), charnière 1-12 S10>P (226) (217-228), CH2 (229-338), CH3 (339-443), CHS (444-445)) (119-445)], (132-218')-disulfure avec la chaîne légère kappa humanisée(1'-218') [V-KAPPA (<i>Homo sapiens</i> IGKV3D-11*02 (81.9%) -IGKJ1*01 (100%)) CDR-IMGT [10.3.9] (27-36.54-56.93-101) (1'-111') - <i>Homo sapiens</i> IGKC*01 (100%), Km3 A45.1 (157), V101 (195) (112'-218')]; dimère (224-224":227-227")-bisdisulfure, produit dans des cellules ovariennes de hamster chinois (CHO) lignée cellulaire CHO-DG44, glycoforme alfa
finotonlimab	inmunoglobulina G4-kappa, anti-[<i>Homo sapiens</i> PDCD1 (proteína 1 de muerte celular programada, PD-1, PD1, CD279)], anticuerpo monoclonal; cadena pesada gamma4 (1-445) [VH (<i>Mus musculus</i> IGHV5-9-2*01 (88.8%) -(IGHD) -IGHJ4*01 (90.9%)/ <i>Homo sapiens</i> IGHV3-23*04 (86.7%) -(IGHD) -IGHJ3*01 (90.9%)) CDR-IMGT [8.8.11] (26-33.51-58.97-107) (1-118)- <i>Homo sapiens</i> IGHG4*01, G4v5 h P10 (CH1 (119-216), bisagra 1-12 S10>P (226) (217-228), CH2 (229-338), CH3 (339-443), CHS (444-445)) (119-445)], (132-218')-disulfuro con la cadena ligera kappa (1'-218') [V-KAPPA humanizado (<i>Homo sapiens</i> IGKV3D-11*02 (81.9%) -IGKJ1*01 (100%)) CDR-IMGT [10.3.9] (27-36.54-56.93-101) (1'-111') - <i>Homo sapiens</i> IGKC*01 (100%), Km3 A45.1 (157), V101 (195) (112'-218')]; dímero (224-224":227-227")-bisdisulfuro, producido en las células ováricas de hámster chino (CHO) línea celular CHO-DG44, forma glicosilada alfa

Heavy chain / Chaîne lourde / Cadena pesada
 EVQLVSEGGG LVKPGGSIRL SCAASGFTES SYGMSWVRQA PGKRLEWWVAT 50
 ISGGGRDITYY SDSVKGRFTI SRDNAKNNLY LQMNLSRAED TAVVYCSRQY 100
 GTVWFFNNWQQ GTLVTVSSAS TKGSVFPLA PCSRSSTSEST AALCLVKDY 150
 FPEPVTVWSN SGALTSGVHT FPAVLQSSGL YSLSSVVTVF SSLLGTKTYT 200
 CNVDHKPSNT KVDKRVEVESKY GPCPPCPAP EFLGGPSVFL FPFPKPDKTLM 250
 ISRTPEPVTCV VVDSVSQBDPE VQFNWYVDSV EVHNNAKTKPR EEQFNSTYRV 300
 VSVLTVLHQD WLNKEYKCK VSNRGLPSSI EKTISAKGQ PFPFQVYTLIP 350
 PSQEEMTKNQ VSLTCLVKGF YPSDIAVEWE SNQPFENNYE TPPFVLDSDG 400
 SFFFLYSRLTV DKSRSRQEGNV FSCSVMHEAL HNNHTQKSLN LSLGK 445

Light chain / Chaîne légère / Cadena ligera
 EIVLTQSPAT LSLSPGERAT LSCRASESVD SYGNFSFMHWY QQKPGQPPRL 50
 LIYAASNOGS GPVAPRFSGSG SGTDFTLTI SLEPEDFAMY FCQQSKEVWP 100
 TFGQGKVEI KRTVAAPSVEF IFFPSDEQLK SGTASVCLL NNFYPREAKV 150
 QWKVDNALQG GNSQESVTEQ DSKDSTYLSL STTLTSKADY EKKHVYACEV 200
 THQGLSSPVT KSFNRGEC 218

Post-translational modifications
 Disulfide bridges location / Position des ponts disulfure / Posiciones de los puentes disulfuro
 Intra-H (C23-C104) 22°-96° 145°-201° 259°-319° 365°-423°
 Intra-L (C23-C104) 23°-92° 138°-198°
 Inter-H-L (CH1 10-CL 126) 132°-218° 132°-218°
 Inter-H-H (h 8, h 11) 224°-224° 227°-227°

N-glycosylation sites / Sites de N-glycosylation / Posiciones de N-glicosilación
 H CH2N84.4:
 295, 295°
Fucosylated complex bi-antennary CHO-type glycans / glycanes de tipo CHO bi-antennarios complejos fucosilados.

C-terminal lysine clipping / Coupe de la lysine C-terminale / Recorte de lisina C-terminal
 H CHS K2:
 445, 445°

firzacorvirus

firzacorvir

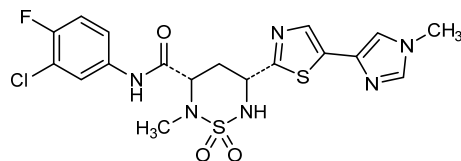
(3*S*,5*R*)-*N*-(3-chloro-4-fluorophenyl)-2-methyl-5-[5-(1-methyl-1*H*-imidazol-4-yl)-1,3-thiazol-2-yl]-1,1-dioxo-1*λ*⁶,2,6-thiadiazinan-3-carboxamide

firzacorvir

(3*S*,5*R*)-*N*-(3-chloro-4-fluorophényle)-2-méthyl-5-[5-(1-méthyl-1*H*-imidazol-4-yl)-1,3-thiazol-2-yl]-1,1-dioxo-1*λ*⁶,2,6-thiadiazinan-3-carboxamide

firzacorvir

(3*S*,5*R*)-*N*-(3-cloro-4-fluorofenil)-2-metil-5-[5-(1-metil-1*H*-imidazol-4-il)-1,3-tiazol-2-il]-1,1-dioxo-1*λ*⁶,2,6-thiadiazinano-3-carboxamida

**foscenvivintum**

foscenvivint

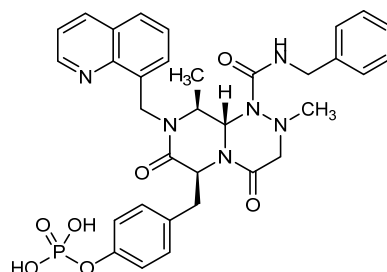
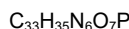
4-((6*S*,9*S*,9*a*S)-1-(benzylcarbamoyl)-2,9-dimethyl-4,7-dioxo-8-[(quinolin-8-yl)methyl]octahydro-2*H*-pyrazino[2,1-c][1,2,4]triazin-6-yl)methylphenyl dihydrogen phosphate

foscenvivint

dihydrogénophosphate de 4-((6*S*,9*S*,9*a*S)-1-(benzylcarbamoyl)-2,9-diméthyl-4,7-dioxo-8-[(quinoléin-8-yl)méthyl]octahydro-2*H*-pyrazino[2,1-c][1,2,4]triazin-6-yl)méthylphényle

foscenvivint

dihidrogenofosfato de 4-((6*S*,9*S*,9*a**S*-bencilcarbamoil)-2,9-dimetil-4,7-dioxo-8-[(quinolein-8-il)metil]octahidro-2*H*-pirazino[2,1-*c*][1,2,4]triazin-6-il)metilfenilo

**govorestatum**

govorestat

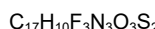
(4-oxo-3-{{5-(trifluoromethyl)-1,3-benzothiazol-2-yl)methyl}-3,4-dihydrothieno[3,4-*d*]pyridazin-1-yl)acetic acid

govorestat

acide (4-oxo-3-{{5-(trifluorométhyl)-1,3-benzothiazol-2-yl)méthyl}-3,4-dihydrothiéno[3,4-*d*]pyridazin-1-yl)acétique

govorestat

ácido (4-oxo-3-{{5-(trifluorometil)-1,3-benzotiazol-2-il)metil}-3,4-dihidrotieno[3,4-*d*]piridazin-1-il)acético

**guretolimodum**

guretolimod

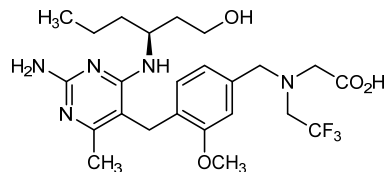
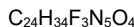
[(4-[(2-amino-4-[(3*S*)-1-hydroxyhexan-3-yl]amino)-6-methylpyrimidin-5-yl)methyl]-3-methoxyphenyl)methyl](2,2,2-trifluoroethyl)amino]acetic acid

gurétolimod

acide [(4-[(2-amino-4-[(3*S*)-1-hydroxyhexan-3-yl]amino)-6-méthylpyrimidin-5-yl)méthyl]-3-méthoxyphényl)méthyl](2,2,2-trifluoroéthyl)amino]acétique

guretolimod

ácido [(4-[(2-amino-4-[(3*S*)-1-hidroxihexan-3-yl]amino)-6-metilpirimidin-5-il)metil]-3-metoxifenil)metil](2,2,2-trifluoroetil)amino]acético

**ibrigamparum**

ibrigampar

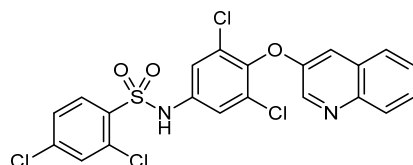
2,4-dichloro-N-{3,5-dichloro-4-[(quinolin-3-yl)oxy]phenyl}benzene-1-sulfonamide

ibrigampar

2,4-dichloro-N-{3,5-dichloro-4-[(quinoléin-3-yl)oxy]phényl}benzène-1-sulfonamide

ibrigampar

2,4-dicloro-N-{3,5-dicloro-4-[(quinolein-3-il)oxi]fenil}benceno-1-sulfonamida

**ilofotasum alfa #**

ilofotase alfa

human intestinal-type alkaline phosphatase (IAP) variant ($\text{H}^{279}>\text{L}$, $\text{L}^{328}>\text{V}$, $\text{P}^{478}>\text{L}$), engineered by substituting its crown domain (366-430) with the human placental-type alkaline phosphatase (placental alkaline phosphatase 1, PLAP-1) crown domain (364-428, 366-430 in the current sequence), C-terminal linked glycosylphosphatidylinositol anchor removed, dimer, glycosylated, produced in Chinese hamster ovary (CHO) cells; human intestinal-type alkaline phosphatase (ALPI, intestinal alkaline phosphatase, IAP) variant [$\text{H}^{279}>\text{L}$, $\text{L}^{328}>\text{V}$, $\text{P}^{478}>\text{L}$] (1-484) with its crown domain (65-peptide 366-430) being replaced by the human placental-type alkaline phosphatase (ALPP, alkaline phosphatase Regan isozyme, placental alkaline phosphatase 1, PLAP-1) crown domain (65-peptide 364-428) (366-430), dimer (481-481')-disulfide, without glycosylphosphatidylinositol (GPI) anchors at Asp-484 and Asp-484' (secretable, soluble enzyme), produced in Chinese hamster ovary (CHO) cells, glycoform alfa

ilofotase alfa

variant ($\text{H}279>\text{L}$, $\text{L}328>\text{V}$, $\text{P}478>\text{L}$) de la phosphatase alcaline humaine de type intestinal (IAP), conçue en substituant son domaine couronne (366-430) avec le domaine couronne (364-428, 366-430 dans la séquence actuelle) de la phosphatase alcaline humaine de type placentaire (phosphatase alcaline placentaire 1, PLAP-1), élimination de l'ancre glycosylphosphatidylinositol lié à la partie C-terminale, dimère, glycosylé, produit dans des cellules ovariennes de hamster chinois (CHO);

phosphatase alcaline humaine de type intestinal (ALPI), phosphatase alcaline intestinale, IAP) variant [H^{279>L}, L^{328>V}, P^{478>L}] (1-484), dont le domaine couronne (65-peptide 366-430) étant remplacé par le domaine couronne (65-peptide 364-428) de la phosphatase alcaline humaine de type placentaire (ALPP, isoenzyme Regan de la phosphatase alcaline, phosphatase alcaline placentaire 1, PLAP-1) (366-430), dimère (481-481')-disulfure, sans ancrage glycosylphosphatidylinositol (GPI) à Asp-484 et Asp-484' (sécrétante, enzyme soluble), produit dans des cellules ovarianes de hamster chinois (CHO), glicoforme alfa

ilofotasa alfa

fosfatasa alcalina de tipo intestinal humana (IAP) variante (H^{279>L}, L^{328>V}, P^{478>L}), diseñada por sustitución de su propio dominio de corona (366-430) con la fosfatasa alcalina de tipo placentaria humana (fosfatasa alcalina placentaria 1, PLAP-1) dominio de corona (364-428, 366-430 en la secuencia actual), C-terminal unido al glicosilfosfatidilinositol anclaje eliminado, dímero, glicosilado, producido en células ováricas de hámster chino (CHO); fosfatasa alcalina humana del tipo intestinal (ALPI, fosfatasa alcalina intestinal, IAP) variante [H^{279>L}, L^{328>V}, P^{478>L}] (1-484) con su dominio corona (65-peptido 366-430) siendo reemplazado por el dominio corona (65-peptido 364-428) de la fosfatasa alcalina humana del tipo placentario (ALPP, isoenzima Regan de fosfatasa alcalina, fosfatasa alcalina placentaria 1, PLAP-1) (366-430), dímero (481-481')-disulfuro, sin anclajes de amidas de glicosilfosfatidilinositol (GPI) en Asp-484 y Asp-484' (soluble y secretable), producido en células ováricas de hámster chino (CHO), glicoforma alfa

Sequence / Séquence / Secuencia

VIPAAEENPA FWNRKQAAEAL DAAKKLQPIQ KVAKNLILFL GDGLGVPTVT	50
ATRILKGQKN GKLGPETPLA MDRFFYLALS KTYNVDRQVP DSAATATAYL	100
CGVKANFQTG GLSAAARFNQ CNTTRGEVNI SVMNRKQAG KSVGVVTTTR	150
VOHASPGATY AHTVNRRNWYS DADMPASARO EGCDQDIAOTL ISNMIDIVIL	200
GGGRKYMFPW GTPDPPEYPAD ASQNQGIRLDG KNLVQEWLAK HQGAWYVWNR	250
TELMQASLDQ SVTHMLGLFE PGDTKYEILR DPTLDPSLME MTEAALRLLS	300
RNPRGFYLFV EGGRIDHGHE EGVAYQAVTE AVMFDIAIER AGQLTSEEDT	350
LTLVTADSHV VFSFGGYPLR GSSIFGIAPEC KARDRKAYTV LLYGNGPGYV	400
<i>LKDQARPDTV ESESGSPPEYR QOSAVPLDEE THGGEDVAVF ARGPQAHLVH</i>	450
GVQEQSFWAH VMAAACLEP YTACDLA I PA CTTD	484

Mutation sites / Sites de mutation / Posiciones de mutación

H^{279>L}, L^{328>V}, P^{478>L} crown domain replacement *G366-E430*
H^{279>L}, L^{328>V}, P^{478>L} crown domain replacement *G366-E430'*

Post-translational modifications

Disulfide bridges location / Position des ponts disulfure / Posición del puentes disulfuro
intra-monomer 121-183 467-474 121'-183' 467'-474' (Cys-SH: 101, 101')

inter-monomer 481-481'

Glycosylation sites / Sites de glycosylation / Posiciones de glicosilación
N122, N249, N122', N249'

iltamiocelum

iltamiocel

Autologous human skeletal muscle progenitor cells derived from muscle biopsy (*vastus lateralis*). The progenitor cells are isolated by enzymatic digestion and expanded in culture in growth media containing human recombinant basic fibroblast growth factor (rbFGF), human recombinant endothelial growth factor (rEGF) and fetal bovine serum (FBS). Cell function and phenotype are maintained through control of culture confluence. The cells are positive for the myogenic cell marker desmin (on average 89%), and other muscle specific genes. The final substance contains also non-myogenic cell populations, such as fibroblasts. The cells have been demonstrated to have myogenic cell differentiation capacity.

iltamiocel

Cellules progénitrices autologues humaines du muscle squelettique dérivées d'une biopsie de muscle (*vastus lateralis*). Les cellules progénitrices ont été isolées par digestion enzymatique et placées en culture d'expansion dans un milieu de croissance contenant le facteur de croissance basique recombinant des fibroblastes humain (rbFGF), le facteur de croissance recombinant de l'endothélium humain (rEGF) et le sérum bovin fœtal (FBS). Le phénotype et la fonction cellulaire ont été maintenus en contrôlant la confluence de la culture. Les cellules sont positives pour le marqueur cellulaire myogénique desmine (en moyenne 89%), et d'autres gènes spécifiques des muscles. La substance finale contient aussi des populations cellulaires non-myogéniques tels que les fibroblastes. Il a été démontré que les cellules ont une capacité de différenciation en cellules myogéniques.

iltamiocel

Células progenitoras de músculo esquelético humano autólogas derivadas de biopsia muscular (*vastus lateralis*). Las células progenitoras se aíslan mediante digestión enzimática y se expanden en cultivo con medio de crecimiento que contiene factor de crecimiento de fibroblastos básico humano recombinante (rbFGF), factor de crecimiento endotelial humano recombinante (rEGF) y suero bovino fetal (FBS). La función y el fenotipo celular se mantienen mediante el control de la confluencia del cultivo. Las células son positivas para el marcador de células miogénicas desmina (89% de media), y otros genes específicos de músculo. La substancia final contiene también poblaciones de células no miogénicas, tales como fibroblastos. Se ha demostrado que las células tienen capacidad de diferenciación de células miogénicas.

imsidolimab #

imsidolimab

immunoglobulin G4-kappa, anti-[*Homo sapiens* IL36R (interleukin 36 receptor)], monoclonal antibody; gamma4 heavy chain (1-447) [VH (*Homo sapiens* IGHV1-46*01 (84.7%) -IGHD -IGHJ1*01 (100%)) CDR-IMGT [8.8.13] (26-33.51-58.97-109) (1-120)-*Homo sapiens*IGHG4*01 (100%), G4v5 h P10 (CH1 (121-218), hinge 1-12 S10>P (228) (219-230), CH2 (231-340), CH3 (341-445), CHS (446-447) (121-447)], (134-219')-disulfide with kappa light chain (1'-219') [V-KAPPA Musmus/Homsap (*Mus musculus* IGKV2-109*01 (85%) -IGKJ1*01 (90.9%)/*Homo sapiens* IGKV2D-29*01 (84%) -IGKJ4*01 (100%)) CDR-IMGT [11.3.9] (27-37.55-57.94-102) (1'-112') -*Homo sapiens* IGKC*01 (100%), Km3 A45.1 (158), V101 (196) (113'-219')]; dimer (226-226":229-229")-bisdisulfide, produced in a Chinese hamster ovary (CHO)-S cell line, glycoform alfa

imsidolimab

immunoglobuline G4-kappa, anti-[*Homo sapiens* IL36R (récepteur de l'interleukine 36)], anticorps monoclonal;

chaîne lourde gamma4 (1-447) [VH (*Homo sapiens* IGHV1-46*01 (84.7%) -(IGHD) -IGHJ1*01 (100%)) CDR-IMGT [8.8.13] (26-33.51-58.97-109) (1-120)-*Homo sapiens* IGHG4*01 (100%), G4v5 h P10 (CH1 (121-218), charnière 1-12 S10>P (228) (219-230), CH2 (231-340), CH3 (341-445), CHS (446-447) (121-447)], (134-219')-disulfure avec la chaîne légère kappa (1'-219') [V-KAPPA Musmus/Homsap (*Mus musculus* IGKV2-109*01 (85%) -IGKJ1*01 (90.9%)/*Homo sapiens* IGKV2D-29*01 (84%) -IGKJ4*01 (100%)) CDR-IMGT [11.3.9] (27-37.55-57.94-102) (1'-112') -*Homo sapiens* IGKC*01 (100%), Km3 A45.1 (158), V101 (196) (113'-219')]; dimère (226-226":229-229")-bisdisulfure, produit dans des cellules ovarianes de hamster chinois (CHO) lignée cellulaire CHO-S, glycoforme alfa

imsidolimab

inmunoglobulina G4-kappa, anti-[*Homo sapiens* IL36R (receptor de la interleukina 36)], anticuerpo monoclonal; cadena pesada gamma4 (1-447) [VH (*Homo sapiens* IGHV1-46*01 (84.7%) -(IGHD) -IGHJ1*01 (100%)) CDR-IMGT [8.8.13] (26-33.51-58.97-109) (1-120)-*Homo sapiens* IGHG4*01 (100%), G4v5 h P10 (CH1 (121-218), bisagra 1-12 S10>P (228) (219-230), CH2 (231-340), CH3 (341-445), CHS (446-447) (121-447)], (134-219')-disulfuro con la cadena ligera kappa (1'-219') [V-KAPPA Musmus/Homsap (*Mus musculus* IGKV2-109*01 (85%) -IGKJ1*01 (90.9%)/*Homo sapiens* IGKV2D-29*01 (84%) -IGKJ4*01 (100%)) CDR-IMGT [11.3.9] (27-37.55-57.94-102) (1'-112') -*Homo sapiens* IGKC*01 (100%), Km3 A45.1 (158), V101 (196) (113'-219')]; dímero (226-226":229-229")-bisdisulfuro, producido en las células ováricas de hámster chino (CHO) línea celular CHO-S, forma glicosilada alfa

Heavy chain / Chaîne lourde / Cadena pesada

QVQLVQSGAE VKKPGASVKV SCKASGYTFT NYWMNWRVQA PRQQGLEWMGM 50
FHPTGDTVRL NQKFKDRTVM TRDTSTSTVY MELSSLRSED TAVYYCARTT 100
SMIIGGFAWV GQGTLLTVTSS ASTKGPSVFP LAPCSRSTSE STAAIGCLVK 150
DYFFPEVTWS WNSGALTSGV HTFFFAVIQSS GLYSLSVVAV VPSSSLGTRK 200
YTCFKVDHKPS NTKVVDKRVES KYGPPCPFCP AAPFLGCGPSV FLFPFPKPDKT 250
LMISRTPEVT CVVVDVQSEED PEVQFWNYWD GVEVHNARTT PREEQFNSTY 300
RVVSVLTVLH QDWLNKEYK CKVSNKGLPS SIEKTISKAK GPREPQVYT 350
LPPSQEEMTK NQVSLTCLVK GFYPSDIAVE WESNGQPENN YKTPPPVLDs 400
DGSEFLYSLR TVDKSRM^WQEG NVFSCSVME ALHNHYTQKS LSLSLGK 447

Light chain / Chaîne légère / Cadena ligera

DIVMTQTPLS LSVTFGQFAS ISCRSSKSSLR HRNAITYFYW YLHKPGQQPQ 50
LLIYQMSNLIA SGVPDRFSGS GSGTDFTLKI SRVEADWVG YVCAQNLIELP 100
LTFGGGTKEV IKRTVAAFSV FIFPPSDEQL KSGTASVVCL LNNYFYPREAK 150
VQWKVDNALQ SGNSQESVSTE QDSKDSTYLS SSTLTLKAD YEKKHVYACE 200
VTHQGLSLSPV TKSFNRGEC 219

Post-translational modifications

Disulfide bridges location / Position des ponts disulfure / Posiciones de los puentes disulfuro
Intra-H (C23-C104) 22-96 147-203 261-321 367-425
22"-96" 147"-203 261"-321" 367"-425"
Intra-L (C23-C104) 23"-93" 139"-199"
23"-93" 139"-199"
Inter-H-L (CH1 10-CL 126) 134-219' 134-219"
Inter-H-H (h 8, h 11) 226-226" 229-229"

N-terminal glutaminyl cyclization to pyroglutamyl (pE, 5-oxoprolyl)

H VH Q1:

1, 1"

N-glycosylation sites / Sites de N-glycosylation / Posiciones de N-glicosilación
H CH2 N84.4;
297, 297"

Fucosylated complex bi-antennary CHO-type glycans / glycanes de type CHO bi-antennaires complexes fucosylés / glicanos de tipo CHO biantenarios complejos fucosilados.

C-terminal lysine clipping / Coupure de la lysine C-terminale / Recorte de lisina C-terminal
H CHS K2:
447, 447"

inetagugenum geperpavec #

inetagugene geperpavec

A replication-defective Herpes simplex virus encoding human transglutaminase 1 (TGM1).

A recombinant replication-deficient, non-integrating Herpes simplex virus type 1 (HSV-1) (strain KOS) vector encoding two copies of codon-optimised human transglutaminase 1 [TGM1, (EC:2.3.2.13)], also known as protein-glutamine gamma-glutamyltransferase K (TGK) with both copies being expressed under the control of a human cytomegalovirus (hCMV) immediate early promoter and bovine growth hormone polyadenylation signal (bGH polyA). The vector was generated by deleting both copies of the viral immediate early (IE) gene ICP4 and inserting a copy of the TGM1 gene into each ICP4 locus. The vector is also deleted for the IE gene ICP22.

inétagugène géperpavec

Un virus Herpès simplex incomptétent à la réplication codant la transglutaminase 1 humaine (TGM1).

Un vecteur recombinant du virus Herpès simplex de type 1 (HSV-1) (lignée KOS) incomptétent à la réplication, non intégrant, codant deux copies de la transglutaminase 1 humaine [TGM1, (EC:2.3.2.13)] aux codons optimisés aussi connue comme la gamma-glutamyltransférase protéine-glutamine K (TGK) avec deux copies étant exprimées sous le contrôle du promoteur précoce immédiat du cytomégalovirus humain (CMV) et du signal de polyadénylation de l'hormone de croissance bovine (bGH polyA). Le vecteur a été généré en supprimant les deux copies du ICP4, gène viral précoce immédiat (IE) et en insérant une copie du gène TGM1 dans chaque locus ICP4. Le vecteur a aussi été supprimé du ICP22, gène IE.

inetagugén geperpavec

Un virus Herpes simplex deficiente en replicación que codifica para la transglutaminasa humana 1 (TGM1).

Un vector del virus Herpes simplex tipo 1 (HSV-1) (cepa KOS) recombinante, deficiente en replicación, no integrativo, que codifica dos copias de la transglutaminasa humana 1[TGM1, (EC:2.3.2.13)] , también conocida como proteína-glutamina gamma-glutamiltransferasa K (TGK), con codones optimizados, y ambas copias siendo expresadas bajo el control del promotor inmediato temprano del citomegalovirus humano (hCMV) y la señal de poliaadenilación de la hormona del crecimiento bovina (bGH polyA).El vector se generó mediante la delección de ambas copias del gen inmediato temprano (IE) viral ICP4 y la inserción de una copia del gen TGM1 en cada locus ICP4. El vector tiene también delecionado el gen IE ICP22.

isaralgenum civaparvovec #

isaralgalgene civaparvovect

A non-replicating adeno-associated viral vector encoding codon-optimised human alpha-galactosidase A (GLA).

A recombinant, non-replicating adeno-associated viral vector serotype 6 (AAV6) encoding codon-optimised human alpha-galactosidase A (GLA) under control of liver-specific regulatory elements [comprising enhancer and hepatic control region from the human apolipoprotein E (ApoE) gene, the human α-1 antitrypsin (hAAT) promoter, a chimeric human β-globin/IgG (HBB-IGG) intron, as well as a WPREmut6 region] and a bovine growth hormone (bGH) poly A sequence, flanked by adeno-associated virus 2 (AAV2) inverted terminal repeats.

isaral gagène civaparvovec

Un vecteur viral adéno-associé non-répliquant codant la galactosidase alpha A humaine (GLA) aux codons optimisés.

Un vecteur viral adéno-associé non-répliquant, recombinant, de sérotype 6 (AAV6) codant la galactosidase alpha A humaine (GLA) aux codons optimisés sous le contrôle d'éléments régulateurs spécifiques du foie [comprenant un activateur et une région de contrôle hépatique provenant du gène de l'apolipoprotéine E humaine (ApoE), le promoteur de l'alpha-1-antitrypsine humaine (hAAT), un intron chimérique de la β-globine/IgG humaine (HBB-IGG), ainsi qu'une région WPREmut6] et d'une séquence polyA de l'hormone de croissance bovine (bGH), flanquée de répétitions terminales inversées du virus adéno-associé 2 (AAV2).

isaral gagén civaparvovec

Un vector viral adeno-asociado, deficiente en replicación, que codifica para la alfa galactosidasa A (GLA) humana, con codones optimizados.

Un vector viral adeno-asociado de serotipo 6 (AAV6) recombinante, no replicativo, que codifica para la alfa galactosidasa A (GLA) humana, con codones optimizados, bajo el control de elementos reguladores específicos de hígado [comprende el potenciador y la región de control hepático del gen de la apolipoproteína (ApoE) humana, el promotor de la α-1 antitripsina humana (hAAT), un intrón químico de β-globina humana/IgG (HBB-IGG), así como una región WPREmut6] y una secuencia polyA de la hormona decrecimiento bovina (bGH), flanqueado por la repeticiones terminales invertidas del virus adeno-asociado 2 (AAV2).

isuzinaxibum

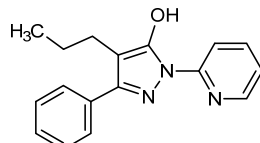
isuzinaxib

3-phenyl-4-propyl-1-(pyridin-2-yl)-1*H*-pyrazol-5-ol

isuzinaxib

3-phényl-4-propyl-1-(pyridin-2-yl)-1*H*-pyrazol-5-ol

isuzinaxib

3-fenil-4-propil-1-(piridin-2-il)-1*H*-pirazol-5-ol $C_{17}H_{17}N_3O$ **labuvirtidum**

labuvirtide

$N^{a,1}\text{-acetyl-}N^{6,13}\text{-[}(2\text{-[}2\text{-[}3\text{-[}2,5\text{-dioxo-}2,5\text{-dihydro-}1*H*\text{-pyrrol-}1\text{-yl)\text{-propan-amido}ethoxy\text{]ethoxy\text{]acetyl}]}-[M^{118}\text{>}E^2, S^{129}\text{>}K^{13}, S^{133}\text{>}E^{17}]\text{-(}117\text{-}150\text{)}\text{-peptide (1-34)-34-amide (non-glycosylated) of the transmembrane glycoprotein 41 (gp41) of the human immunodeficiency virus type 1 (HIV-1)}$:

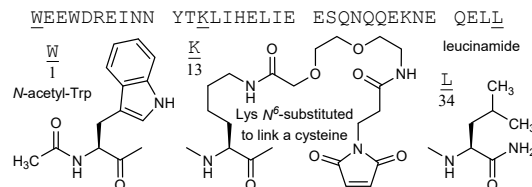
N-acetyl-L-tryptophyl-L- α -glutamyl-L- α -glutamyl-L-tryptophyl-L- α -aspartyl-L-arginyl-L- α -glutamyl-L-isoleucyl-L-asparaginyl-L-asparaginyl-L-tyrosyl-L-threonyl-N⁶-[(2-{2-[3-(2,5-dioxo-2,5-dihydro-1*H*-pyrrol-1-yl)propanamido]ethoxy}ethoxy)acetyl]-L-lysyl-L-leucyl-L-isoleucyl-L-histidyl-L- α -glutamyl-L-leucyl-L-isoleucyl-L- α -glutamyl-L- α -glutamyl-L-seryl-L-glutaminyl-L-asparaginyl-L-glutaminyl-L-glutaminyl-L- α -glutamyl-L-lysyl-L-asparaginyl-L- α -glutamyl-L- α -glutamyl-L- α -glutamyl-L- α -glutamyl-L-leucyl-L-leucinamide

labuvirtide

N^{a,1}-acétyle-N^{6,13}-[(2-{2-[3-(2,5-dioxo-2,5-dihydro-1*H*-pyrrol-1-yl)propan-amido]éthoxy}éthoxy)acétyl]-[M¹⁸>E², S¹²⁹>K¹³, S¹³³>E¹⁷]-peptide 117-150 (1-34)-34-amide (non glycosylé) de la glycoprotéine transmembra-naire 41 (gp41) du virus de l'immunodéficience humaine de type 1 (VIH-1, HIV-1):
N-acetyl-L-tryptophyl-L- α -glutamyl-L- α -glutamyl-L-tryptophyl-L- α -aspartyl-L-arginyl-L- α -glutamyl-L-isoleucyl-L-asparaginyl-L-asparaginyl-L-tyrosyl-L-thréonyl-N⁶-[(2-{2-[3-(2,5-dioxo-2,5-dihydro-1*H*-pyrrol-1-yl)propanamido]éthoxy}éthoxy)acétyl]-L-lysyl-L-leucyl-L-isoleucyl-L-histidyl-L- α -glutamyl-L-leucyl-L-isoleucyl-L- α -glutamyl-L- α -glutamyl-L-séryl-L-glutaminyl-L-asparaginyl-L-glutaminyl-L-glutaminyl-L- α -glutamyl-L-lysyl-L-asparaginyl-L- α -glutamyl-L- α -glutamyl-L- α -glutamyl-L-leucyl-L-leucinamide

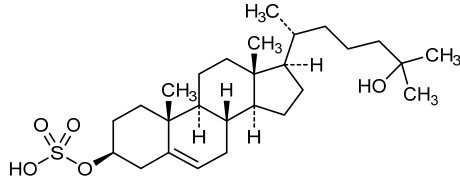
labuvirtida

N^{a,1}-acetil-N^{6,13}-[(2-{2-[3-(2,5-dioxo-2,5-dihdro-1*H*-pirrol-1-il)propan-amido]etoxi}etoxi)acetil]-[M¹⁸>E², S¹²⁹>K¹³, S¹³³>E¹⁷]-péptido 117-150 (1-34)-34-amida (no glicosilado) de la glicoproteína transmembranaria 41 (gp41) del virus de inmunodeficiencia humana del tipo 1 (VIH-1, HIV-1):
N-acetil-L-triptofil-L- α -glutamil-L- α -glutamil-L-triptofil-L- α -aspartil-L-arginil-L- α -glutamil-L-isoleucil-L-asparaginil-L-asparaginil-L-tirosil-L-treonil-N⁶-[(2-{2-[3-(2,5-dioxo-2,5-dihdro-1*H*-pirrol-1-il)propanamido]etoxi}etoxi)acetil]-L-lisil-L-leucil-L-isoleucil-L-histidil-L- α -glutamil-L-leucil-L-isoleucil-L- α -glutamil-L- α -glutamil-L-seril-L-glutaminil-L-asparaginil-L-glutaminil-L-glutaminil-L- α -glutamil-L-lisil-L-asparaginil-L- α -glutamil-L-glutaminil-L- α -glutamyl-L- α -glutamyl-L-leucil-L-leucinamida



larsucosterolum

larsucosterol	25-hydroxycholest-5-en-3 β -yl hydrogen sulfate
larsucostérol	hydrogénosulfate de 25-hydroxycholest-5-én-3 β -yle
larsucosterol	hidrogenosulfato de 25-hidroxicolest-5-en-3 β -ilo

 $C_{27}H_{46}O_5S$ **latozinemab #**

latozinemab	immunoglobulin G1-kappa, anti-[<i>Homo sapiens</i> SORT1 (sortilin 1, Gp95, NT3)], <i>Homo sapiens</i> monoclonal antibody; gamma1 heavy chain <i>Homo sapiens</i> (1-452) [VH (<i>Homo sapiens</i> IGHV4-38-2*01 (99.0%) -(IGHD) - IGHJ6*01 (100%)) CDR-IMGT [9.7.15] (26-34.52-58.97-111) (1-122) - <i>Homo sapiens</i> IGHG1*01 G1m17.1, G1v40 CH2 A1.3, A1.2, S116 (CH1 K120 (219) (123-220), hinge 1-15 (221-235), CH2 L1.3>A (239), L1.2>A (240), P116>S (336) (236-345), CH3 D12 (361), L14 (363) (346-450), CHS (451-452)) (123-452)], (225-219')-disulfide with kappa light chain <i>Homo sapiens</i> (1'-219') [V-KAPPA (<i>Homo sapiens</i> IGKV2-28*01 (93.0%) -IGKJ4*01 (100%)) CDR-IMGT [11.3.9] (27-37.55-57.94-102) (1'-112') - <i>Homo sapiens</i> IGKC*01 (100%) Km3 A45.1 (158), V101 (196) (113'-219')]; dimer (231-231":234-234")-bisdisulfide, produced in Chinese hamster ovary (CHO)-K1SV cell line lacking the glutamine synthetase gene (GSKO), glycoform alfa
-------------	---

latozinémab

immunoglobuline G1-kappa, anti-[*Homo sapiens* SORT1 (sortilin 1, Gp95, NT3)], anticorps monoclonal *Homo sapiens*; chaîne lourde gamma1 *Homo sapiens* (1-452) [VH (*Homo sapiens*IGHV4-38-2*01 (99.0%) -(IGHD) - IGHJ6*01 (100%)) CDR-IMGT [9.7.15] (26-34.52-58.97-111) (1-122) -*Homo sapiens*IGHG1*01 G1m17.1, G1v40 CH2 A1.3, A1.2, S116 (CH1 K120 (219) (123-220), charnière 1-15 (221-235), CH2 L1.3>A (239), L1.2>A (240), P116>S (336) (236-345), CH3 D12 (361), L14 (363) (346-450), CHS (451-452)) (123-452)], (225-219')-disulfure avec la chaîne légère kappa *Homo sapiens* (1'-219') [V-KAPPA (*Homo sapiens*IGKV2-28*01 (93.0%) -IGKJ4*01 (100%)) CDR-IMGT [11.3.9] (27-37.55-57.94-102) (1'-112') -*Homo sapiens* IGKC*01 (100%) Km3 A45.1 (158), V101 (196) (113'-219')]; dimère (231-231":234-234")-bisdisulfure, produit dans des cellules ovarianes de hamster chinois (CHO) lignée cellulaire CHO-K1SV ne présentant pas le gène de la glutamine synthétase (GSKO), glycoforme alfa

Iatozinemab

inmunoglobulina G1-kappa, anti-[*Homo sapiens* SORT1 (sortilina 1, Gp95, NT3)], anticuerpo monoclonal *Homo sapiens*; cadena pesada gamma1 *Homo sapiens* (1-452) [VH (*Homo sapiens*IGHV4-38-2*01 (99.0%) -(IGHD) - IGHJ6*01 (100%)) CDR-IMGT [9.7.15] (26-34.52-58.97-111) (1-122) -*Homo sapiens*IGHG1*01 G1m17.1, G1v40 CH2 A1.3, A1.2, S116 (CH1 K120 (219) (123-220), bisagra 1-15 (221-235), CH2 L1.3>A (239), L1.2>A (240), P116>S (336) (236-345), CH3 D12 (361), L14 (363) (346-450), CHS (451-452)) (123-452)], (225-219')-disulfuro con la cadena ligera kappa *Homo sapiens* (1'-219') [V-KAPPA (*Homo sapiens*IGKV2-28*01 (93.0%) -IGKJ4*01 (100%)) CDR-IMGT [11.3.9] (27-37.55-57.94-102) (1'-112') -*Homo sapiens*IGKC*01 (100%) Km3 A45.1 (158), V101 (196) (113'-219')]; dímero (231-231":234-234")-bisdisulfuro, producido en las células ováricas de hámster chino (CHO) línea celular CHO-K1SV en ausencia del gen glutamina sintetasa (GSKO), forma glicosilada alfa

Heavy chain / Chaîne lourde / Cadena pesada

QVQLQESGGV LVKPSETLSL TCAVSGYSIS SGYYWGWIRQ PPGKGLEWIG 50
TIYHSGSSTYY NPSLKSRSVTI SVDTSKNQFS LKLSVTAAAD TAVYGCARGO 100
SIKQGYGMV VVQGTTTVTV SSASTKGPSV FPLAPSSKST SGGTAAALGCL 150
VKDYFPEPVW VSNNSGALTS GVHTFFAVILQ SSGGLYLSVSV VTVPSSSLC 200
QTYICNVNNHK PSNTKVDKRV EPKSTCDKTHT CPFCPAPEAA GGPSPVLFPP 250
KPKDTLMISR TPEVTCVWWD VSHEDEPEVKF NWYVDGVEVHN NAKTKPREEQ 300
YNSTYRVSV LTVLHQDWLN GKEYKCKVSN KALPASIEKT ISKAKGQPR 350
PQVYTLPPSR DELTKNQVSL TCLVKGFYPS DIAVEWESNQ QPENNYKTP 400
PVLDSDGSFPV LYSKLTVDKS RWQQGNVFSC SVMHEALRNH YTQRSSLSP 450
GR

Light chain / Chaîne légère / Cadena ligera

DIVMTQSPLS LPVTPGEPEAS ISCRSSQSLL RSTGYNLYDW YLQKPGQSPQ 50
LLIYLGSNRN SGVPDRFSGS GSGTDEFTIKI SRAEAEDVGV YYCMQQQEAP 100
LTFGGGTRKVE IKRTVAAAPSV FIFPPSDEQL KSGTASVVCL LNNFVYPREK 150
VQWKVDNALQ SGNSQE5VTE QDSRKDSTYSL SSTTLSRAD YEKHKVYACE 200
VTHQGLSSPV TKSFRNRGEC 219

Post-translational modifications

Disulfide bridges location / Position des ponts disulfure / Posiciones de los puentes disulfuro
Intra-H (C23-C104) 22-96 149-205 266-326 372-430
22"-96" 149"-205" 266"-326" 372"-430"
Intra-L (C23-C104) 23"-93" 139"-199"
Inter-H-L (h5-CL 126) 225-219" 225"-219"
Inter-H-H (h 11, h 14) 231-231" 234-234"

N-terminal glutaminyl cyclization to pyroglutamyl (pE, 5-oxoprolyl)

H VH Q1:

1, 1"

N-glycosylation sites / Sites de N-glycosylation / Posiciones de N-glicosilación

H CH2N84.4:

302, 302"

Fucosylated complex bi-antennary CHO-type glycans / glycanes de type CHO bi-antennaires complexes fucosylés / glicanos de tipo CHO biantenarios complejos fucosilados.

C-terminal lysine clipping / Coupe de la lysine C-terminale / Recorte de lisina C-terminal

H CHS K2:

452, 452"

Iedelabrinum alfa

Iedelabrin alfa

human proteoglycan 4 (PRG4, lubricin, cartilage superficial zone proteoglycan, SZP, megakaryocyte-stimulating factor) isoform A, (S⁷²²>C)-variant, produced in Chinese hamster ovary (CHO) cells, glycoform alfa

lédelabrinine alfa

protéoglycane 4 humain (PRG4, lubrincine, protéoglycane de la zone superficielle du cartilage, SZP, facteur de stimulation des mégakaryocytes) isoforme A, ($S^{722}>C$)-variant, produit dans des cellules ovariennes de hamster chinois (CHO), glycoforme alfa

ledelabrinine alfa

proteoglicano 4 humano (PRG4, lubricina, proteoglicano de la zona superficial del cartílago, SZP, factor de estimulación de los megacariocitos) isoforma A, ($S^{722}>C$)-variante, producido en las células ováricas de hamster chino (CHO), glicoforma alfa

Sequence / Séquence / Secuencia:

QDLSSCAGRC GEGYSRDATE NCDYNCQHYM ECCPDFKRVC TAEELSCKGRC	50
FESFERGRC DCDAQCCKYD KCCPDYESFC AEVHNPTSPP SSSKKAPPNG	100
ASQTIKSTTK RSPKPPNKKK TKKVIESEEI TEEHSVSENQ ESSSSSSSSS	150
SSSTIRKIKS SKNSAANREL QKQLKVKDNN KNRRTKKKPTP KPVPVDEAGS	200
GLDNDFKV TPDNSTTQHN KVSTSPKTT AKPINPRPSL FPNSDTSKET	250
SLTVNKETTV ETKEETTTNK QTSTDGKEKT TSAKETQSIE KTSAKDLAP	300
SKVLAKPTPK AETTTKGPAI TTPKEPTPTT PKEPASTTPK EPTPTTIKS	350
PTTPKEPAPTT TTKSAPPTPK EPAPPTTKEP APPTTPKEPAP TTTKEPAPFT	400
TKSAPPTPKPE PAPTPPKPA PPTPKPEPAP TPKEPPTPTP KEPAPTTKEP	450
APPTPKEPAP TAPPKPAPTT PKEPAPTTPK EPAPPTTKEP SPPTPKEPAP	500
TTTKSAPPTT KEPAPTTKS APPTPKEPSP TTTKEPAPTT PKEPAPTTPK	550
KPAPTTKEP APPTPKEPAP TTTKAPPTT PKEPAPTTPK ETAPPTPKKL	600
PTTPPEKLAPE TTEPKPAPTT PEELAPITPE EPTPTTPEEP APPTPKAAAP	650
NTPKEPAPTT PKEPAPPTPK EPAPPTPKET APPTPKGTAP TTLKEPAPTT	700
PKKPKPKELA PTTTKEPST TCDKPAAPT PGTAPTTKEE PAPPTPKPEA	750
PTTPKGTAPE TLKEPAPTT PKKPKPKELA PTTKGPSTTT SDKPKAPTTPK	800
ETAPPTKEP APPTPKPAP TTPETPPPTT SEVSTPTTTK EPPTIHKSPD	850
ESTPELSAEP TPKALENSPK EPGVPTTKTP AATKPEMTTT AKDKTTERDL	900
RTTPETTAA PKMTKETATT TEKTTESKIT ATTQVTSTT TDQDTTPFKIT	950
TLKTTTIAPK VTTTKKTITT TEIMNKPEET AKPKDRATNS KATTPKPQKP	1000
TKAPKKPFST KKPKTMRVKE PKPTTPTRPK MTSTMPELNP TSRIAEMLQ	1050
TTTRPNQTPN SKLVEVNPKS EDAGGAEGET PHMLLRPHV MPEVTPDMY	1100
LPRVPNQGII INPMILSDTN ICNGKPVFDL TTLRNGTLVA FRGHYFWMLS	1150
PFSPPPSPARR ITEVWGIISP IDTVFTRCNC EGKTFKKDS QYWRFTNDIK	1200
DAGYPKPIFK GFGLLTQIV AALSTAKYKN WFPESVYFFKR GGSIQQYIYK	1250
QEPUVKCFCGR RPALNYPVYG ETTQVRRRRF ERAIGPSQTH TIRIQYSPAR	1300
LAYQDKGVHL NEVKVSILW GLPNVVTSAI SLPNIRKPDG YDYYAFSKDQ	1350
YNIDVPSRT ARAITTRSGQ TLSKWVWNCP	1380

Post-translational modifications

Disulfide bridges location / Position des ponts disulfure / Posiciones de los puentes disulfuro
6, 10, 20, 22, 26, 32, 33, 40, 46, 50, 60, 62, 66, 72, 73, 80, 1122, 1379

(linked pairs variable or undetermined)

Cys-SH: 722, 1257; unknown status: 1178, 1180

Glycosylation sites / Sites de glycosylation / Posiciones de glicosilación

N182, N1056, N1120, N1135

Fucosylated complex bi-antennary CHO-type glycans / Glycanes de type CHO bi-antennaires complexes fucosylés / Glicanos de tipo CHO biantenarios complejos fucosilados

Potential O-glycosylation sites

26 Ser, 174 Thr:

Sialylated and/or sulfated core 1 (Gal β 1-3GalNAc β 1) CHO type O-glycans

Ser: 99, 102, 107, 112, 223, 225, 273, 282, 288, 293, 301, 336, 349, 364, 403, 491, 505, 529, 788, 848, 852, 857, 868, 938, 990, 1009;

Thr: 104, 108, 109, 216, 224, 229, 253, 258, 259, 265, 266, 267, 268, 272, 274, 280, 281, 286, 292, 300, 308, 321, 322, 327, 329, 330, 337, 338, 343, 345, 346, 352, 353, 360, 361, 362, 367, 368, 375, 376, 377, 383, 384, 391, 392, 393, 399, 400, 401, 406, 407, 414, 415, 422, 423, 430, 431, 436, 438, 439, 446, 447, 453, 454, 461, 469, 470, 477, 478, 485, 486, 487, 493, 494, 501, 502, 503, 508, 509, 510, 516, 517, 518, 523, 524, 531, 532, 533, 539, 540, 547, 548, 555, 556, 563, 564, 571, 572, 573, 579, 580, 587, 588, 592, 595, 603, 652, 659, 660, 667, 668, 675, 676, 680, 683, 688, 691, 692, 699, 700, 712, 733, 736, 737, 744, 745, 752, 753, 757, 760, 761, 768, 769, 781, 787, 789, 805, 813, 814, 843, 844, 853, 861, 876, 906, 907, 917, 919, 920, 921, 930, 932, 933, 934, 937, 939, 940, 941, 944, 951, 954, 955, 956, 962, 963, 964, 988, 1008, 1010, 1015, 1024, 1025, 1027, 1137

Gln1>Glp (pyroglutamyl, 5-oxoprolyl)

lemzoparlimab #

lemzoparlimab

immunoglobulin G4-kappa, anti-[*Homo sapiens* CD47 (integrin associated protein, IAP, MER6, OA3)], monoclonal antibody; gamma4 heavy chain (1-445) [VH (*Homo sapiens*IGHV3-15*07 (93.9%) -(IGHD)-IGHJ3*02 (100%)) CDR-IMGT [8.10.9] (26-33.51-60.99-107) (1-118)-*Homo sapiens*IGHG4*01 (100%), G4v5 h P10 (CH1 (119-216), hinge 1-12 S10>P (226) (217-228), CH2 (229-338), CH3 (339-443), CHS (444-445)) (119-445)], (132-220')-disulfide with kappa light chain (1'-220') [V-KAPPA (*Homo sapiens*IGKV4-1*01 (89.1%) -IGKJ2*01 (90%) Q120>G (106)) CDR-IMGT [12.3.9] (27-38.56-58.95-103) (1'-113') -*Homo sapiens*IGKC*01 (100%), Km3 A45.1 (159), V101 (197) (114'-220')]; dimer (224-224":227-227")-bisdisulfide, produced in a Chinese hamster ovary (CHO)-K1 cell line, glycoform alfa

lemzoparlimab

immunoglobuline G4-kappa, anti-[*Homo sapiens* CD47 (protéine associée à l'intégrine, IAP, MER6, OA3)], anticorps monoclonal; chaîne lourde gamma4 (1-445) [VH (*Homo sapiens*IGHV3-15*07 (93.9%) -(IGHD)-IGHJ3*02 (100%)) CDR-IMGT [8.10.9] (26-33.51-60.99-107) (1-118)-*Homo sapiens*IGHG4*01 (100%), G4v5 h P10 (CH1 (119-216), charnière 1-12 S10>P (226) (217-228), CH2 (229-338), CH3 (339-443), CHS (444-445)) (119-445)], (132-220')-disulfure avec la chaîne légère kappa (1'-220') [V-KAPPA (*Homo sapiens*IGKV4-1*01 (89.1%) -IGKJ2*01 (90%) Q120>G (106)) CDR-IMGT [12.3.9] (27-38.56-58.95-103) (1'-113') -*Homo sapiens*IGKC*01 (100%), Km3 A45.1 (159), V101 (197) (114'-220')]; dimère (224-224":227-227")-bisdisulfure, produit dans des cellules ovaries de hamster chinois (CHO) lignée cellulaire CHO-K1, glycoforme alfa

lemzoparlimab

inmunoglobulina G4-kappa, anti-[*Homo sapiens* CD47 (proteína asociada a la integrina, IAP, MER6, OA3)], anticuerpo monoclonal; cadena pesada gamma4 (1-445) [VH (*Homo sapiens*IGHV3-15*07 (93.9%) -(IGHD)-IGHJ3*02 (100%)) CDR-IMGT [8.10.9] (26-33.51-60.99-107) (1-118)-*Homo sapiens*IGHG4*01 (100%), G4v5 h P10 (CH1 (119-216), bisagra 1-12 S10>P (226) (217-228), CH2 (229-338), CH3 (339-443), CHS (444-445)) (119-445)], (132-220')-disulfuro con la cadena ligera kappa (1'-220') [V-KAPPA (*Homo sapiens*IGKV4-1*01 (89.1%) -IGKJ2*01 (90%) Q120>G (106)) CDR-IMGT [12.3.9] (27-38.56-58.95-103) (1'-113') -*Homo sapiens*IGKC*01 (100%), Km3 A45.1 (159), V101 (197) (114'-220')]; dímero (224-224":227-227")-bisdisulfuro, producido en las células ováricas de hámster chino (CHO) línea celular CHO-K1, forma glicosilada alfa

Heavy chain / Chaîne lourde / Cadena pesada

EVQLVESGGG LVKPGGSIRL SCAASLTIFP RAWMNWVRQA PGKGLEWVGR 50
 IKRKTDGETT DYAAPVKGRF SISRDDSNT LYLQMNLSKT EDTAVYVYCA 100
 SNRAFDIWGQ GTMVTVSAS TKGPSVFPLA PCSRSSTSEST AALGCLVKDY 150
 FPEPVTVSNN SGALTSGVHT FPAVLQSSGL YSLSSVTVP SSSLGTTKY 200
 CNVDHKPSTN KVDKRVESKY GPCPPCPAP EFLGGPSVFL FFPKPKDTIM 250
 ISRTPEVCTV VVDVSKQRDPE VQFNWVYDVG EVHNAKTKPR EEQFNSTYRV 300
 VSVLTVLHQI WLNGKEYKCK VSNKGLPSSI EKTISKAKGG PREPQVYTLIP 350
 PSQEEMTKNQ VSLTCLVKGPF YPSDIAVEWE SNGQPNENYK TPPFVLDSDG 400
 SFFFLYSRLLT DKSRRWQEGNV FSCSVHMHEAL HNHYTQKSLS LSLGK 445

Light chain / Chaîne légère / Cadena ligera

DIVMTQSPDS LAWSLGERAT INCKSSQSVL YAGNNRNLYA WYQQKPGQPP 50
 KLLINQASTR ASGVDPDRFSG SGSCTEFTLII ISSLQAEDVA IYYCQOYYP 100
 PLAFGGGTKL EIKRTVVAAPS VFIFPPSDEQ LKSGTASWVC LNNNFYPREA 150
 KVQWKVDNAL QSGNSQESVT EQDSKDSTYS LSSTLTLASKA DYEKHKVYAC 200
 EVTHQGLSSP VTKSFNRGEC 220

Post-translational modifications

Disulfide bridges location / Position des ponts disulfure / Posiciones de los puentes disulfuro

Intra-H (C23-C104) 22-98 145-201 259-319 365-423
 22"-98" 145"-201" 259"-319" 365"-423"

Intra-L (C23-C104) 23"-94" 140"-200"
 23"-94" 140"-200"

Inter-H-L (CH1 10-CL 126) 132-220 132"-220"

Inter-H-H (h 8, h 11) 224-224" 227-227"

N-glycosylation sites / Sites de N-glycosylation / Posiciones de N-glicosilación
 H CH2N84.4:
 295, 295"

Fucosylated complex bi-antennary CHO-type glycans / glycanes de type CHO bi-antennaires complexes fucosylés / glicanos de tipo CHO biantenarios complejos fucosilados.

C-terminal lysine clipping / Coupe de la lysine C-terminale / Recorte de lisina C-terminal
 H CHS K2:
 445, 445"

lenrispodum

lenrispodun

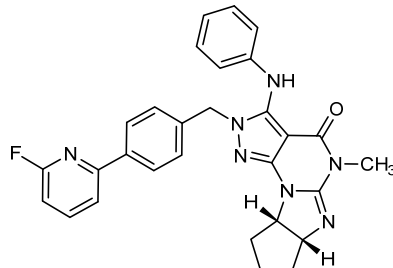
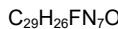
(6a*R*,9a*S*)-3-anilino-2-[(4-(6-fluoropyridin-2-yl)phenyl)methyl]-5-methyl-5,6a,7,8,9,9a-hexahydrocyclopenta[4,5]imidazo[1,2-*a*]pyrazolo[4,3-e]pyrimidin-4(2*H*)-one

lenrispodun

(6a*R*,9a*S*)-3-anilino-2-[(4-(6-fluoropyridin-2-yl)phényl)méthyl]-5-méthyl-5,6a,7,8,9,9a-hexahydrocyclopenta[4,5]imidazo[1,2-*a*]pyrazolo[4,3-e]pyrimidin-4(2*H*)-one

lenrispodun

(6a*R*,9a*S*)-3-anilino-2-[(4-(6-fluoropiridin-2-yl)fenil)métil]-5-metil-5,6a,7,8,9,9a-hexahidrociclopenta[4,5]imidazo[1,2-*a*]pirazolo[4,3-e]pirimidin-4(2*H*)-ona

**libvatrepum**

libvatrep

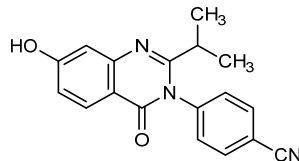
4-[7-hydroxy-4-oxo-2-(propan-2-yl)quinazolin-3(4*H*)-yl]benzonitrile

libvatrep

4-[7-hydroxy-4-oxo-2-(propan-2-yl)quinazolin-3(4*H*)-yl]benzonitrile

libvatrep

4-[7-hidroxi-4-oxo-2-(propan-2-il)quinazolin-3(4H)-il]benzonitrilo

 $C_{18}H_{15}N_3O_2$ **licaminlimab #**

licaminlimab

immunoglobulin scFv, anti-[*Homo sapiens* TNF (tumor necrosis factor, TNFSF2, DIF, TNF-alpha)], humanized monoclonal antibody single chain; IG scFv humanized single chain (V-KAPPA-VH) (1-254) [V-KAPPA (*Homo sapiens* IGKV1-5*03 (79.2%) -(IGHD) - IGKJ2*02 (77.8%)) CDR-IMGT [8.3.11] (28-35.53-55.92-102) (1-112)] -21-mer glycyl-tetrakis(tetraglycyl-seryl) linker (113-133) -[VH (*Homo sapiens*IGHV3-66*01 (76%) - IGHJ6*01 (92.3%)) CDR-IMGT [8.8.14] (159-166.184-191.230-243) (134-254)], produced in the bacteria *Escherichia coli* (*E. coli*), non-glycosylated

licaminlimab

immunoglobuline scFv, anti-[*Homo sapiens* TNF (facteur de nécrose tumorale, TNFSF2, DIF, TNF-alpha)], anticorps monoclonal humanisé à chaîne unique; IG scFv chaîne unique humanisée (V-KAPPA-VH) (1-254) [V-KAPPA (*Homo sapiens* IGKV1-5*03 (79.2%) -(IGHD) - IGKJ2*02 (77.8%)) CDR-IMGT [8.3.11] (28-35.53-55.92-102) (1-112)] -21-mer glycyl-tétrakis(tétraglycyl-séryl) linker (113-133) -[VH (*Homo sapiens*IGHV3-66*01 (76%) - IGHJ6*01 (92.3%)) CDR-IMGT [8.8.14] (159-166.184-191.230-243) (134-254)], produit dans la bactérie *Escherichia coli* (*E. coli*), non-glycosylé

licaminlimab

inmunoglobulina scFv, anti-[*Homo sapiens* TNF (factor de necrosis tumoral, TNFSF2, DIF, TNF-alfa)], anticuerpo monoclonal humanizado con cadena única; IG scFv cadena única humanizada (V-KAPPA-VH) (1-254) [V-KAPPA (*Homo sapiens* IGKV1-5*03 (79.2%) -(IGHD) - IGKJ2*02 (77.8%)) CDR-IMGT [8.3.11] (28-35.53-55.92-102) (1-112)] -21-mer glicil-tetrakis(tetraglicil-seril) linker (113-133) -[VH (*Homo sapiens*IGHV3-66*01 (76%) - IGHJ6*01 (92.3%)) CDR-IMGT [8.8.14] (159-166.184-191.230-243) (134-254)], producido en la bacteria *Escherichia coli* (*E. coli*), no glicosilado

scFv chain / Chaîne scFv / Cadena scFv
 MEIVMTQSPL TLSASVGDGV ITTCQSSQSV YGNIWMWYQ QKPGRAPKLL 50
 IYQASKLASC VPSRFSGSGS GAEFTLTISS LQPDPDFATY CGQNFNTGDR 100
 YAFGGQTKLT VLGGGGGGGG GGSGGGGGGG GSSEVOLVES GGGSVQPGGS 150
 LRLSCTASGF TISRSYWICW VRQAPGKGLE WVGCIXGNDN ITPLVANWAK 200
 GRFTISRDT S KNTVYLQMNS LRAEDTATYY CARLGYADYA YDLWGQQGTV 250
 TVSS 254

Post-translational modifications

Disulfide bridges location / Position des ponts disulfure / Posiciones de los puentes disulfuro
 Intra-scFv (C23-C104) 24-91 155-231 169-184

No N-glycosylation sites / pas de sites de N-glycosylation / ningún posición de N-glicosilación

lirentelimab #

lirentelimab

immunoglobulin G1-kappa, anti-[*Homo sapiens* SIGLEC8 (sialic acid binding Ig-like lectin 8, SIGLEC-8, SAF2, SIGLEC8L)], humanized monoclonal antibody; gamma1 heavy chain humanized (1-450) [VH (*Homo sapiens* IGHV3-66*01 (79.4%) -(IGHD) -IGHJ5*01 (90.9%)) CDR-IMGT [8.7.14] (26-33.51-57.96-109) (1-120) -*Homo sapiens*IGHG1*03 (100%) G1m3, nG1m1 (CH1 R120 (217) (121-218), hinge 1-15 (219-233), CH2 (234-343), CH3 E12 (359), M14 (361) (344-448), CHS (449-450)) (121-450)], (223-213')-disulfide with kappa light chain humanized (1'-213') [V-KAPPA (*Homo sapiens* IGKV3-11*01 (86.3%) -IGKJ3*01 (91.7%)) CDR-IMGT [5.3.9] (27-32.50-52.89-97) (1'-107') -*Homo sapiens* IGKC*01 (100%) Km3 A45.1 (152), V101 (190) (108'-213')]; dimer (229-229":232-232")-bisdisulfide, produced in Chinese hamster ovary (CHO) cells, glycoform alfa

lirentélimab

immunoglobuline G1-kappa, anti-[*Homo sapiens* SIGLEC8 (lectine 8 de type Ig-like liant l'acide sialique, SIGLEC-8, SAF2, SIGLEC8L)], anticorps monoclonal humanisé; chaîne lourde gamma1 humanisée (1-450) [VH (*Homo sapiens* IGHV3-66*01 (79.4%) -(IGHD) -IGHJ5*01 (90.9%)) CDR-IMGT [8.7.14] (26-33.51-57.96-109) (1-120) -*Homo sapiens*IGHG1*03 (100%) G1m3, nG1m1 (CH1 R120 (217) (121-218), charnière 1-15 (219-233), CH2 (234-343), CH3 E12 (359), M14 (361) (344-448), CHS (449-450)) (121-450)], (223-213')-disulfure avec la chaîne légère kappa humanisée (1'-213') [V-KAPPA (*Homo sapiens* IGKV3-11*01 (86.3%) -IGKJ3*01 (91.7%)) CDR-IMGT [5.3.9] (27-32.50-52.89-97) (1'-107') -*Homo sapiens* IGKC*01 (100%) Km3 A45.1 (152), V101 (190) (108'-213')]; dimère (229-229":232-232")-bisdisulfure, produit dans des cellules ovariennes de hamster chinois (CHO), glycoforme alfa

lirentelimab

inmunoglobulina G1-kappa, anti-[*Homo sapiens* SIGLEC8 (lectina 8 de tipo Ig-like de unión al ácido siálico, SIGLEC-8, SAF2, SIGLEC8L)], anticuerpo monoclonal humanizado; cadena pesada gamma1 humanizada (1-450) [VH (*Homo sapiens* IGHV3-66*01 (79.4%) -(IGHD) -IGHJ5*01 (90.9%)) CDR-IMGT [8.7.14] (26-33.51-57.96-109) (1-120) -*Homo sapiens*IGHG1*03 (100%) G1m3, nG1m1 (CH1 R120 (217) (121-218), bisagra 1-15 (219-233), CH2 (234-343), CH3 E12 (359), M14 (361) (344-448), CHS (449-450)) (121-450)], (223-213')-disulfuro con la cadena ligera kappa humanizada (1'-213') [V-KAPPA (*Homo sapiens* IGKV3-11*01 (86.3%) -IGKJ3*01 (91.7%)) CDR-IMGT [5.3.9] (27-32.50-52.89-97) (1'-107') -*Homo sapiens* IGKC*01 (100%) Km3 A45.1 (152), V101 (190) (108'-213')]; dímero (229-229":232-232")-bisdisulfuro, producido en las células ováricas de hámster chino (CHO), forma glicosilada alfa

Heavy chain / Chaîne lourde / Cadena pesada

EVQLVESGG LVQPGGLRL SCÅASGFSLT IYGAHWVRQA PGKGLEWVGV 50
 IWAGGSTNYIN SALMSRPTIS KDNKRNVTYL QMNSLRAEDT AVYVCARDGS 100
 SPYYSMYEYI GCGTTVTVSS ASTKGPSVFP LAPSSKSTSG GTAAALGCLVK 150
 DYFPEPVTVS WNSGALTSGV HTPFAVLQSS GLYSLSVVTT VPSSSLGTQQT 200
 YICNVNHHKPS NTKVDKRKEP KSCDKTHTCP PCPAPELLLG PSVFLPPKP 250
 KDTLMISRTP ETVCTVVVDWS HEDEPEVKFWW YVDGVEVHNA KTKPKEEQYN 300
 STYRVSVSLT VLIHQDWLNKG EYCKVSNKA LPAPIEKTIS KAKGQPREPQ 350
 YYTLPLPSREE MTKNQVSLLTC LVKGFFPSDI AVEWESENQGP ENNYKTTFPV 400
 LDSDGSFFLY SKLTVDKSRW QQGNVFCSSV MHEALHNHYT QKSLSLSPKG 450

Light chain / Chaîne légère / Cadena ligera

EIVLTQSPAT LSLSFGGERAT LSCSATSSVS YMHWFQQPKG QAPRLLIYST 50
 SNLASCIPAR FSGSGSGTDF TLTISSLEPE DFAQVYCQQR SSYPFTFGPG 100
 TKLDIKRTVA ASFVFIPPFPS DEGLKSGTAS VVCLNNNFYP REAKVQWKFV 150
 NAHQSGNSQSQ SVTEQDSKDS TYSLSLTIL SKADYEKKHV YACEVTHQGL 200
 SSPVTKSFRN GEC 213

Post-translational modifications

Disulfide bridges location / Position des ponts disulfure / Posiciones de los puentes disulfuro
 Intra-H (C23-C104) 22-95 147-203 264-324 370-428
 22"-95" 147"-203" 264"-324" 370"-428"
 Intra-L (C23-C104) 23"-87" 133"-193"
 Inter-H-L (h5-CL 126) 223-213" 223"-213"
 Inter-H-H (h 11, h 14) 229-229" 232-232"

N-glycosylation sites / Sites de N-glycosylation / Posiciones de N-glicosilación

H CH2 N84.4:

300, 300"

Afucosylated complex bi-antennary CHO-type glycans / glycanes de tipo CHO bi-antennarios complejos afucosylés / glicanos de tipo CHO biantenarios complejos afucosilados.

C-terminal lysine clipping / Coupure de la lysine C-terminale / Recorte de lisina C-terminal

H CHS K2:

450, 450"

locnartecanum

locnartecan

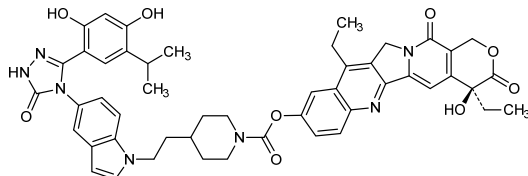
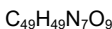
(4S)-4,11-diethyl-4-hydroxy-3,14-dioxo-3,4,12,14-tetrahydro-1*H*-pyrano[3',4':6,7]indolizino[1,2-*b*]quinolin-9-yl 4-[2-(5-{3-[2,4-dihydroxy-5-(propan-2-yl)phenyl]-5-oxo-1,5-dihydro-4*H*-1,2,4-triazol-4-yl}-1*H*-indol-1-yl)ethyl]piperidine-1-carboxylate

locnartécan

4-[2-(5-{3-[2,4-dihydroxy-5-(propan-2-yl)phényl]-5-oxo-1,5-dihydro-4*H*-1,2,4-triazol-4-yl}-1*H*-indol-1-yl)éthyl]pipéridine-1-carboxylate de (4S)-4,11-diéthyl-4-hydroxy-3,14-dioxo-3,4,12,14-tétrahydro-1*H*-pyrano[3',4':6,7]indolizino[1,2-*b*]quinoléin-9-yile

locnartecán

4-[2-(5-{3-[2,4-dihidroxi-5-(propan-2-il)fenil]-5-oxo-1,5-dihidro-4*H*-1,2,4-triazol-4-il}-1*H*-indol-1-il)etil]piperidina-1-carboxilato de (4S)-4,11-dietil-4-hidroxi-3,14-dioxo-3,4,12,14-tetrahidro-1*H*-pirano[3',4':6,7]indolizino[1,2-*b*]quinolein-9-iló

**lonigutamab #**

lonigutamab

immunoglobulin G1-kappa, anti-[*Homo sapiens* IGF1R (insulin like growth factor 1 receptor, IGF1-R, IGF-1R, CD221)], humanized monoclonal antibody;

	gamma1 heavy chain humanized (1-449) [VH humanized (<i>Homo sapiens</i> IGHV1-46*01 (92.8%) - (IGHD) -IGHJ4*01 (100%)) CDR-IMGT [8.8.13] (26-33.51-58.97-109) (1-120) - <i>Homo sapiens</i> IGHG1*03 (100%) G1m3, nG1m1 (CH1 R120 (217) (121-218), hinge 1-15 (219-233), CH2 (234-343), CH3 E12 (359), M14 (361) (344-448), CHS K>del (449)) (121-449)], (223-214')-disulfide with kappa light chain humanized (1'-214') [V-KAPPA humanized (<i>Homo sapiens</i> IGKV1-39*01 (86.3%) -IGKJ4*01 (100%)) CDR-IMGT [6.3.9] (27-32.50-52.89-97) (1'-107') - <i>Homo sapiens</i> IGKC*01 (100%) Km3 A45.1 (153), V101 (191) (108'-214')]; dimer (229-229":232-232")-bisdisulfide, produced in Chinese hamster ovary (CHO)-K1SV cell line lacking the glutamine synthetase gene (GSKO), glycoform alfa
lonigutamab	immunoglobuline G1-kappa, anti-[<i>Homo sapiens</i> IGF1R (récepteur du facteur de croissance 1 analogue à l'insuline, IGF1-R, IGF-1R, CD221)], anticorps monoclonal humanisé; chaîne lourde gamma1 humanisée (1-449) [VH humanisé (<i>Homo sapiens</i> IGHV1-46*01 (92.8%) - (IGHD) -IGHJ4*01 (100%)) CDR-IMGT [8.8.13] (26-33.51-58.97-109) (1-120) - <i>Homo sapiens</i> IGHG1*03 (100%) G1m3, nG1m1 (CH1 R120 (217) (121-218), charnière 11-15 (219-233), CH2 (234-343), CH3 E12 (359), M14 (361) (344-448), CHS K>del (449)) (121-449)], (223-214')-disulfure avec la chaîne légère kappa humanisée (1'-214') [V-KAPPA humanisé (<i>Homo sapiens</i> IGKV1-39*01 (86.3%) -IGKJ4*01 (100%)) CDR-IMGT [6.3.9] (27-32.50-52.89-97) (1'-107') - <i>Homo sapiens</i> IGKC*01 (100%) Km3 A45.1 (153), V101 (191) (108'-214')]; dimère (229-229":232-232")-bisdisulfure, produit dans des cellules ovaries de hamster chinois (CHO) lignée cellulaire CHO-K1SV ne présentant pas le gène de la glutamine synthétase (GSKO), glycoforme alfa
lonigutamab	inmunoglobulina G1-kappa, anti-[<i>Homo sapiens</i> IGF1R (receptor del factor de crecimiento 1 análogo a la insulina, IGF1-R, IGF-1R, CD221)], anticuerpo monoclonal humanizado; cadena pesada gamma1 humanizada (1-449) [VH humanizado (<i>Homo sapiens</i> IGHV1-46*01 (92.8%) - (IGHD) -IGHJ4*01 (100%)) CDR-IMGT [8.8.13] (26-33.51-58.97-109) (1-120) - <i>Homo sapiens</i> IGHG1*03 (100%) G1m3, nG1m1 (CH1 R120 (217) (121-218), bisagra 11-15 (219-233), CH2 (234-343), CH3 E12 (359), M14 (361) (344-448), CHS K>del (449)) (121-449)], (223-214')-disulfuro con la cadena ligera kappa humanizada (1'-214') [V-KAPPA humanizado (<i>Homo sapiens</i> IGKV1-39*01 (86.3%) -IGKJ4*01 (100%)) CDR-IMGT [6.3.9] (27-32.50-52.89-97) (1'-107') - <i>Homo sapiens</i> IGKC*01 (100%) Km3 A45.1 (153), V101 (191) (108'-214')]; dímero (229-229":232-232")-bisdisulfuro, producido en las células ováricas de hámster chino (CHO) línea celular CHO-K1SV en ausencia del gen glutamina sintetasa (GSKO), forma glicosilada alfa

Heavy chain / Chaîne lourde / Cadena pesada

QVQLVQSGAE VKKPGASVKV SKCASGYTFT SYYIHWVRQA PGQCLEWMGW 50
 IWPFGDGSTKY AQKFQGRVTM TRDTSITSTVY MELSSLRSED TAVYFCASPM 100
 ITPNYAMDYI GGGTLVTVSS ASTKGPSVP LAPSSKSTSC GTAALGCIWK 150
 DYFPEPVTVS WNSGALTSGV HTFPAVLQSS GLYSLSVSVT VPSSSLGTQ 200
 YICNVNHHKPS NTKVVDKRVEP KSCDKTHTCP PCPAPELLGG PSVLFPPKP 250
 KDTLMISRTP EYTCVCCVVWDVS HEDEVKFNW YVDGVEVHINA KTKPREEQYN 300
 STYRUVSVLA VLHQDWLNGK EYKCKVSNKA LPAPIEKTS KAKGQPREPQ 350
 VYTLPPSREI MYTKNQVSILTC LVKGQFYPSDI AVEWESENQEN NYNKTPPV 400
 LSDSDGSFFLY SKLTVDKSRW QQGNVFCSCV MHEALHNHYT QKSLSLSPG 449

Light chain / Chaîne légère / Cadena ligera

DIQMTQSPSS LSASVGRDVT ITCRASQDIS KYLNWYQQKP GKAPKLLIY 50
 TSRLQSGVPS RFSGRGSGTD YSLTISSLQP EDFATYFCQQ GSTLPYTFGG 100
 GTKVEIKRTV AAPSVFIFPP SDEQLKSGTA SVVCLNNNFY PREAKWVHG 150
 DNALQSQNSQ ESVTEQDSKD STYSLSTLT LSKADYEKKH VYACEVTHQG 200
 LSSPVTKSFN RGEC 214

Post-translational modifications

Disulfide bridges location / Position des ponts disulfure / Posiciones de los puentes disulfuro
 Intra-H (C23-C104) 22"-96" 147-203" 264-324" 370-428"
 22"-96" 147"-203" 264"-324" 370"-428"
 Intra-L (C23-C104) 23"-88" 134"-194"
 23"-88" 134"-194"
 Inter-H-L (h 5-CL 126) 223-214" 223"-214"
 Inter-H-H (h 11, h 14) 229-229" 232-232"

N-terminal glutaminyl cyclization to pyroglutamyl (pE, 5-oxoprolyl)

H VH Q1:

1, 1"

N-glycosylation sites / Sites de N-glycosylation / Posiciones de N-glicosilación

H CH2N84.4:

300, 300"

Fucosylated complex bi-antennary CHO-type glycans / glycanes de type CHO bi-antennaires complexes fucosylés / glicanos de tipo CHO biantenarios complejos fucosilados.

Ionigutamab ugodotinum #

Ionigutamab ugodotin

immunoglobulin G1-kappa, anti-[*Homo sapiens* IGF1R (insulin like growth factor 1 receptor, IGF1-R, IGF-1R, CD221)], humanized monoclonal antibody conjugated to a dolastatin derivative (ugodotin groups); gamma1 heavy chain humanized (1-449) [VH humanized (*Homo sapiens*IGHV1-46*01 (92.8%) - (IGHD) -IGHJ4*01 (100%)) CDR-IMGT [8.8.13] (26-33.51-58.97-109) (1-120) -*Homo sapiens*IGHG1*03 (100%) G1m3, nG1m1 (CH1 R120 (217) (121-218), hinge 1-15 (219-233), CH2 (234-343), CH3 E12 (359), M14 (361) (344-448), CHS K>del (449)) (121-449)], (223-214')-disulfide with kappa light chain humanized (1'-214') [V-KAPPA humanized (*Homo sapiens*IGKV1-39*01 (86.3%) -IGKJ4*01 (100%)) CDR-IMGT [6.3.9] (27-32.50-52.89-97) (1'-107) -*Homo sapiens*IGKC*01 (100%) Km3 A45.1 (153), V101 (191) (108'-214')]; dimer (229-229".232-232")-bisdisulfide, produced in Chinese hamster ovary (CHO)-K1SV cell line lacking the glutamine synthetase gene (GSKO), glycoform alfa; conjugated at the cysteines 223, 214', 223" and 214"" with four (3S,6R,7R,8²S,11R,12S,15S,18S,30³RS)-12-[(2S)-butan-2-yl]-3-carboxy-7,11-dimethoxy-6,13,19,23-tetramethyl-5,9,14,17,24,30²,30⁵-heptaoxo-15,18-di(propan-2-yl)-4,13,16,19,23-pentaaza-8(2,1),30(1)-dipyrridina-1(1),22(1,4)-dibenzenatriacontaphan-30³yl (ugodotin) groups

Ionigutamab ugodotin

immunoglobuline G1-kappa, anti-[*Homo sapiens* IGF1R (récepteur du facteur de croissance 1 analogue à l'insuline, IGF1-R, IGF-1R, CD221)], anticorps monoclonal humanisé conjugué à un dérivé de dolastatine (groupes ugodotin);

chaîne lourde gamma1 humanisée (1-449) [VH humanisé (*Homo sapiens* IGHV1-46*01 (92.8%) - (IGHD)-IGHJ4*01 (100%)) CDR-IMGT [8.8.13] (26-33.51-58.97-109) (1-120) -*Homo sapiens*IGHG1*03 (100%) G1m3, nG1m1 (CH1 R120 (217) (121-218), charnière 1-15 (219-233), CH2 (234-343), CH3 E12 (359), M14 (361) (344-448), CHS K>del (449)) (121-449)], (223-214')-disulfure avec la chaîne légère kappa humanisée (1'-214') [V-KAPPA humanisé (*Homo sapiens* IGKV1-39*01 (86.3%) -IGKJ4*01 (100%)) CDR-IMGT [6.3.9] (27-32.50-52.89-97) (1'-107') -*Homo sapiens* IGKC*01 (100%) Km3 A45.1 (153), V101 (191) (108'-214')]; dimère (229-229":232-232")-bisdisulfure, produit dans des cellules ovaries de hamster chinois (CHO) lignée cellulaire CHO-K1SV ne présentant pas le gène de la glutamine synthétase (GSKO), glycoforme alfa; conjugué aux cystéines 223, 214', 223" et 214"" avec quatre groupes (3S,6R,7R,8²S,11R,12S,15S,18S,30³RS)-12-[(2S)-butan-2-yl]-3-carboxy-7,11-diméthoxy-6,13,19,23-tétraméthyl-5,9,14,17,24,30²,30⁵-heptaoxo-15,18-di(propan-2-yl)-4,13,16,19,23-pentaaza-8(2,1),30(1)-dipyrrolidina-1(1),22(1,4)-dibencénatriaccontaphan-30³-yle (ugodotina)

I onigutamab ugodotina

inmunoglobulina G1-kappa, anti-[*Homo sapiens* IGF1R (receptor del factor de crecimiento 1 análogo a la insulina, IGF1-R, IGF-1R, CD221)], anticuerpo monoclonal humanizado conjugado a un derivado de dolastatina (grupos ugodotina); cadena pesada gamma1 humanizada (1-449) [VH humanizado (*Homo sapiens* IGHV1-46*01 (92.8%) - (IGHD)-IGHJ4*01 (100%)) CDR-IMGT [8.8.13] (26-33.51-58.97-109) (1-120) -*Homo sapiens*IGHG1*03 (100%) G1m3, nG1m1 (CH1 R120 (217) (121-218), bisagra 1-15 (219-233), CH2 (234-343), CH3 E12 (359), M14 (361) (344-448), CHS K>del (449)) (121-449)], (223-214')-disulfuro con la cadena ligera kappa humanizada (1'-214') [V-KAPPA humanizado (*Homo sapiens* IGKV1-39*01 (86.3%) -IGKJ4*01 (100%)) CDR-IMGT [6.3.9] (27-32.50-52.89-97) (1'-107') -*Homo sapiens* IGKC*01 (100%) Km3 A45.1 (153), V101 (191) (108'-214')]; dímero (229-229":232-232")-bisdisulfuro, producido en las células ováricas de hámster chino (CHO) línea celular CHO-K1SV en ausencia del gen glutamina sintetasa (GSKO), forma glicosilada alfa; conjugado a cisteínas 223, 214', 223" y 214"" con cuatro grupos (3S,6R,7R,8²S,11R,12S,15S,18S,30³RS)-12-[(2S)-butan-2-yl]-3-carboxi-6,13,19,23-tetrametil-7,11-dimetoxi-5,9,14,17,24,30²,30⁵-heptaoxo-15,18-di(propan-2-yl)-4,13,16,19,23-pentaaza-8(2,1),30(1)-dipirrolidina-1(1),22(1,4)-dibencénatriaccontafan-30³-il (ugodotina)

Heavy chain / Chaîne lourde / Cadena pesada

QVQLVQSGAE VKKPGAVKV SCKASGYTFT SYIYHWRQA PGQGLEWMGW 50
 IWPQDGSTKY AQQKPGGRVTM TRDTSTSTVY MELSSLRSED TAVYFCASPM 100
 ITPNYAMDYW GGGTLVTVTSS ASTKGPSVFP LAPSSKSTSG CTAALGCLVK 150
 DYFPEPVITVS WNSGALTSGV HTFPAVLQSS GLYSLSSVVTT VPSSSLGTQT 200
 YICCNVNHKPS NTKVDKVRVEP KSCDKTHTCP PCPAPELLGG PSVFLFPKP 250
 KDTLMISRTB EVTCVVVDVS HEDPEVKFNW YVDGVEVHNNA KTKEPREEQYN 300
 STYRVSVLT VLHQDWLNGK EYKCKVSNKA LPAPIEKTS KAKQGPREPQ 350
 VTYLPPSREEE MTKNQVSLTC IVKGFYPSDI AVEWESENQGP ENNYKTTPPV 400
 LDSQGSFFLY SKLTVDKSRW QQGNVFSCSV MHEALHNHYT QKSLSLSPG 449

Light chain / Chaîne légère / Cadena ligera

DIQMTQSPSS LSASVQDRVT ITCRASODIS KYLNWYQQQP GKAPKLLIYY 50
 TSRLQSGVPS RFSRGSGTD YSLTISSLQP EDFATYFCQQ GSTLPYTFGG 100
 GTKVEIKRTV AAPSVFIFPP SDEQLKSGTA SVVCLLNNFY PREAKVQWKV 150
 DNALQSGNSQ ESVTEQDSKD STYSLSSTLT LSKADYEKHK VYACEVTHQG 200
 LSSPVTKSFN RGEC 214

Post-translational modifications

Disulfide bridges location / Position des ponts disulfure / Posiciones de los puentes disulfuro
 Intra-H (C23-C104) 22'-96' 147'-203' 264'-324' 370'-428'
 22"-96" 147"-203" 264"-324" 370"-428"
 Intra-L (C23-C104) 23'-88' 134'-194'
 23"-88" 134"-194"
 Inter-H-L (h 5-CL 126) 223'-214' 223"-214"
 Inter-H-H (h 11, h 14)* 229-229' 232-232"

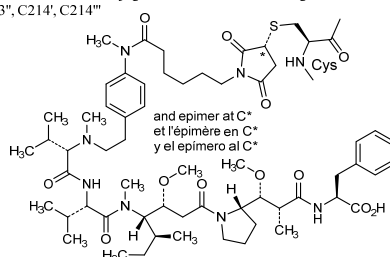
* At least two of the four inter-chain disulfide bridges are not present, an average of 4 cysteinyl being conjugated each via a thioether bond to a drug linker. *Au moins deux des quatre ponts disulfures inter-chaines ne sont pas présents, 4 cystéinyl en moyenne étant chacun conjugué via une liaison thioéther à un linker-principe actif. *Al menos dos de los cuatro puentes disulfuro inter-catenarios no están presentes, una media de 4 cisteínil está conjugada a conectores de principio activo.

N-terminal glutaminyl cyclization to pyroglutamyl (pE, 5-oxoprolyl)
 H VH Q1:
 I, I"

N-glycosylation sites / Sites de N-glycosylation / Posiciones de N-glicosilación
 H CH2 N84.4:
 300, 300"

Fucosylated complex bi-antennary CHO-type glycans / glycanes de tipo CHO bi-antennaires complexes fucosylés / glicanos de tipo CHO biantenarios complejos fucosilados.

Conjugation sites / Sites de conjugaison / Posiciones de conjugación:
 C223, C223", C214', C214"

**lusvertikimab #**

lusvertikimab

immunoglobulin G4-kappa, anti-[*Homo sapiens* IL7R (interleukin 7 receptor, CD127, IL7RA)], humanized monoclonal antibody; gamma4 heavy chain humanized (1-449) [VH (*Homo sapiens* IGHV3-11*01 (90.8%) - (IGHD) - IGHJ4*01 (100%)) CDR-IMGT [8.8.15] (26-33.51-58.97-111) (1-122)-*Homo sapiens* IGHG4*01 (100%), G4v5 h P10 (CH1 (123-220), hinge 1-12 S10>P (230) (221-232), CH2 (233-342), CH3 (343-447), CHS (448-449)) (123-449)], (136-214")-disulfide with kappa light chain humanized (1'-214') [V-KAPPA (*Homo sapiens* IGKV1-NL1*01 (86.3%) -IGKJ4*01 (91.7%)) CDR-IMGT [6.3.9] (27-32.50-52.89-97) (1'-107') -*Homo sapiens* IGKC*01 (100%), Km3 A45.1 (153), V101 (191) (108'-214')]; dimer (228-228":231-231")-bisdisulfide, produced in a Chinese hamster ovary (CHO)-K1 cell line, glycoform alfa

Iusvertikimab	immunoglobuline G4-kappa, anti-[<i>Homo sapiens</i> IL7R (récepteur de l'interleukine 7, CD127, IL7RA)], anticorps monoclonal humanisé; chaîne lourde gamma4 humanisée (1-449) [VH (<i>Homo sapiens</i> IGHV3-11*01 (90.8%) -(IGHD) -IGHJ4*01 (100%)) CDR-IMGT [8.8.15] (26-33.51-58.97-111) (1-122)- <i>Homo sapiens</i> IGHG4*01 (100%), G4v5 h P10 (CH1 (123-220), charnière 1-12 S10>P (230) (221-232), CH2 (233-342), CH3 (343-447), CHS (448-449)) (123-449)], (136-214')-disulfure avec la chaîne légère kappa humanisée (1'-214') [V-KAPPA (<i>Homo sapiens</i> IGKV1-NL1*01 (86.3%) -IGKJ4*01 (91.7%)) CDR-IMGT [6.3.9] (27-32.50-52.89-97) (1'-107') - <i>Homo sapiens</i> IGKC*01 (100%), Km3 A45.1 (153), V101 (191) (108'-214')]; dimère (228-228":231-231")-bisdisulfure, produit dans des cellules ovarianes de hamster chinois (CHO) lignée cellulaire CHO-K1, glycoforme alfa
Iusvertikimab	inmunoglobulina G4-kappa, anti-[<i>Homo sapiens</i> IL7R (receptor de la interleukina 7, CD127, IL7RA)], anticuerpo monoclonal humanizado; cadena pesada gamma4 humanizada (1-449) [VH (<i>Homo sapiens</i> IGHV3-11*01 (90.8%) -(IGHD) -IGHJ4*01 (100%)) CDR-IMGT [8.8.15] (26-33.51-58.97-111) (1-122)- <i>Homo sapiens</i> IGHG4*01 (100%), G4v5 h P10 (CH1 (123-220), bisagra 1-12 S10>P (230) (221-232), CH2 (233-342), CH3 (343-447), CHS (448-449)) (123-449)], (136-214')-disulfuro con la cadena ligera kappa humanizada (1'-214') [V-KAPPA (<i>Homo sapiens</i> IGKV1-NL1*01 (86.3%) -IGKJ4*01 (91.7%)) CDR-IMGT [6.3.9] (27-32.50-52.89-97) (1'-107') - <i>Homo sapiens</i> IGKC*01 (100%), Km3 A45.1 (153), V101 (191) (108'-214')]; dímero (228-228":231-231")-bisdisulfuro, producido en las células ováricas de hamster chino (CHO) línea celular CHO-K1, forma glicosilada alfa
	Heavy chain / Chaîne lourde / Cadena pesada QVQLVESGGG LVKPGGSIRL SCAVSGFTLS DYYMAWIRQA PGKGLEWVST 50 ISASGLRTTY PDSVKGRFTI SRDNAKNSLY LQMNLSRAED TAVYCARPL 100 SAHYGFNYFD YWQGTLVTV SSASTKGNPSV FFLAPCSRST SESTAALCL 150 VKDYFPEEPVT VSNNSGALTIS GVHTTPAVLQ SSGLYLSSSV VTVPSSSLGT 200 KTYTCVNVDHK PSNTKVDKRV ESKYGPCCP CPAPEFLGPP SVFLFPPPK 250 DTLMISRTPF VTCVVVDVSQ EDPEVQPNWY VGDVVEHNAK TKPREEQFNS 300 TYRVVSVLTV LHQDWLNKGK YKCKVSNKGL PSSIETKTISK AKGQPREPVQ 350 YLTPPSQEEM TNKQVSILTCI VKGYFYPSDIA VEWESNGQE NNYKTTPPVL 400 DSDGSSFFLYS ELTVDKSRWQ EGNEFSCSVM HEALHNHYTQ KSLSLSPGK 449
	Light chain / Chaîne légère / Cadena ligera DIQMGTQSPSS LSASVGDRVT ITCRTSEDIY QGLAWYQQKP GKAPKLILYS 50 ANTLHQGPSS RFSGSGSGTD YTLTISLQF EDFATYCCQY YYDYPLAFGG 100 GTVKEIKRTV AAPSVVIFPP SDEQLKSGTA SVVCLLNNFY PREAKVQKV 150 DNAQSGNSQ ESVTEQDSKD STYSLLSILT LSKADYEKHK VYACEVTHQG 200 LSSPVTKSFN FGEC 214
	Post-translational modifications Disulfide bridges location / Position des ponts disulfure / Posiciones de los puentes disulfuro Intra-H (C23-C104) 22-96 149-205 263-323 369-427 22"-96" 149"-205" 263"-323" 369"-427" Intra-L (C23-C104) 23"-88" 134"-194" 23"-88"" 134""-194"" Inter-H-L (CH1 10-CL 126) 136-214" 136"-214" Inter-H-H (h 8, h 11) 228-228" 231-231"
	N-terminal glutaminyl cyclization to pyroglutamyl (pE, 5-oxoprolyl) H VH Q1: 1, 1"
	N-glycosylation sites / Sites de N-glycosylation / Posiciones de N-glicosilación H CH2N84:4: 299, 299" Fucosylated complex bi-antennary CHO-type glycans / glycanes de type CHO bi-antennaires complexes fucosylés / glicanos de tipo CHO biantenarios complejos fucosilados.
	C-terminal lysine clipping / Coupe de la lysine C-terminale / Recorte de lisina C-terminal H CHS K2: 449, 449"

mevidalenum

mevidalen

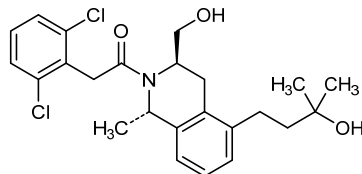
2-(2,6-dichlorophenyl)-1-[(1*S*,3*R*)-3-(hydroxymethyl)-5-(3-hydroxy-3-methylbutyl)-1-methyl-3,4-dihydroisoquinolin-2(1*H*)-yl]ethan-1-one

mévidalène

2-(2,6-dichlorophényle)-1-[(1*S*,3*R*)-3-(hydroxyméthyl)-5-(3-hydroxy-3-méthylbutyl)-1-méthyl-3,4-dihydroisoquinoléin-2(1*H*)-yl]éthan-1-one

mevidaleno

2-(2,6-diclorofenil)-1-[(1*S*,3*R*)-3-(hidroximetil)-5-(3-hidroxi-3-metilutil)-1-metil-3,4-dihidroisoquinolein-2(1*H*-il)etan-1-ona

**mibavademabum #**

mibavademab

immunoglobulin G4-kappa, anti-[*Homo sapiens* LEPR (leptin receptor, OBR, CD295)], monoclonal antibody; gamma4 heavy chain (1-446) [VH (*Homo sapiens* IGHV3-30*15 (86.7%) -(IGHD) -IGHJ2*01 (100%)) CDR-IMGT [8.8.12] (26-33.51-58.97-108) (1-119)-*Homo sapiens*IGHG4*01 (100%), G4v5 h P10 (CH1 (120-217), hinge 1-12 S10>P (227) (218-229), CH2 (230-339), CH3 (340-444), CHS (445-446)) (120-446)], (133-215')-disulfide with kappa light chain (1'-215') [V-KAPPA (*Homo sapiens* IGKV1-39*01 (100%) -IGKJ5*01 (100%)) CDR-IMGT [6.3.10] (27-32.50-52.89-98) (1'-108') -*Homo sapiens*IGKC*01 (100%), Km3 A45.1 (154), V101 (192) (109'-215')]; dimer (225-225":228-228")-bisdisulfide, produced in Chinese hamster ovary (CHO) cells, glycoform alfa

mibavadémab

immunoglobuline G4-kappa, anti-[*Homo sapiens* LEPR (récepteur de la leptine, OBR, CD295)], anticorps monoclonal; chaîne lourde gamma4 (1-446) [VH (*Homo sapiens* IGHV3-30*15 (86.7%) -(IGHD) -IGHJ2*01 (100%)) CDR-IMGT [8.8.12] (26-33.51-58.97-108) (1-119)-*Homo sapiens*IGHG4*01 (100%), G4v5 h P10 (CH1 (120-217), charnière 1-12 S10>P (227) (218-229), CH2 (230-339), CH3 (340-444), CHS (445-446)) (120-446)], (133-215')-disulfure avec la chaîne légère kappa (1'-215') [V-KAPPA (*Homo sapiens* IGKV1-39*01 (100%) -IGKJ5*01 (100%)) CDR-IMGT [6.3.10] (27-32.50-52.89-98) (1'-108') -*Homo sapiens*IGKC*01 (100%), Km3 A45.1 (154), V101 (192) (109'-215')]; dimère (225-225":228-228")-bisdisulfure, produit dans des cellules ovariennes de hamster chinois (CHO), glycoforme alfa

mibavademab

inmunoglobulina G4-kappa, anti-[*Homo sapiens* LEPR (receptor de la leptina, OBR, CD295)], anticuerpo monoclonal; cadena pesada gamma4 (1-446) [VH (*Homo sapiens*IGHV3-30*15 (86.7%) -(IGHD) -IGHJ2*01 (100%)) CDR-IMGT [8.8.12] (26-33.51-58.97-108) (1-119)-*Homo sapiens*IGHG4*01 (100%), G4v5 h P10 (CH1 (120-217), bisagra 1-12 S10>P (227) (218-229), CH2 (230-339), CH3 (340-444), CHS (445-446)) (120-446)], (133-215')-disulfuro con la cadena ligera kappa (1'-215') [V-KAPPA (*Homo sapiens*IGKV1-39*01 (100%) -IGKJ5*01 (100%)) CDR-IMGT [6.3.10] (27-32.50-52.89-98) (1'-108') -*Homo sapiens*IGKC*01 (100%), Km3 A45.1 (154), V101 (192) (109'-215')]; dímero (225-225":228-228")-bisdisulfuro, producido en las células ováricas de hámster chino (CHO), forma glicosilada alfa

Heavy chain / Chaîne lourde / Cadena pesada

QVQLVESGG S VVQPGRLRL SCAASGFTFS TYAMYWVRQT PGKGLEWVAV 50
LYSDGSNKYY IDSVKGRTI SRDTSTNTLY LQMSSLRADD SALYVCARLN 100
WDYWYDFLWG RGTILTVVSA STKGPSVFFL APCRSRTSES TAALGCLVKD 150
YFPEPVTVSW NSGALTSGHV TFPAVLQSSG LYSLSSVTVV PSSSLGKTKY 200
TCNVDHKPSN TKVDKRVESK YGPFCPPCSA PEFLGGPSVF LFPPPKPKDL 250
MISRTPEVTN VVVDVDSQEDP EVQFNWYDVG VEVHNAAKTPK REEFGPNSTYR 300
VVSVLTVLHQ DWLNGKEYRC KVSNKGLPSV IEKTTISKAKG QPREPGQVYT 350
PPSQEEMTKN QVSILTCLVKC FYPSTDIAVEW ESNQOPENNY KTTTPVLDSD 400
GSFFFLYSRSLT VDKSRERWQEGN VFSCSVMHEA LHNHYTQKSL SLSLGK 446

Light chain / Chaîne légère / Cadena ligera

DIQMTQSPSS LSASVGDRTV ITCRASQNSIS SYLNWYQQKP GKAPKLLIYA 50
ASSLQSQGVPS RFSGSGSGTD FTTLITSSLQP EDFATYYCQQ SYSTPPITFG 100
QGTRLEIKRVAAPAPSFFP FSDEQLKSGT ASVCLLNNF YPREAKVQWK 150
VDNALSGNS QESVTEQDKS DSTYSLSSSTL TLSKADYEKH KVYACEVTQH 200
GLSSPVTKSF NRGE 215

Post-translational modifications

Disulfide bridges location / Position des ponts disulfure / Posiciones de los puentes disulfuro
Intra-H (C23-C104) 22-96 146-202 260-320 366-424"
22"-96" 146"-202" 260"-320" 366"-424"
Intra-L (C23-C104) 23"-88" 135"-195"
23"-88" 135"-195"
Inter-H-L (CH1 10-CL 126) 133-215" 133"-215"
Inter-H-H (h 8, h 11) 225-225" 228-228"

N-terminal glutaminyl cyclization to pyroglutamyl (pE, 5-oxoprolyl)

H VH Q1:
I, I"

N-glycosylation sites / Sites de N-glycosylation / Posiciones de N-glicosilación

H CH2 N84.4:

296, 296"

Fucosylated complex bi-antennary CHO-type glycans / glycanes de type CHO bi-antennaires complexes fucosylés / glicanos de tipo CHO biantenarios complejos fucosilados.

C-terminal lysine clipping / Coupe de la lysine C-terminale / Recorte de lisina C-terminal
H CHS K2:
446, 446"

mipicoledinum

mipicoledine

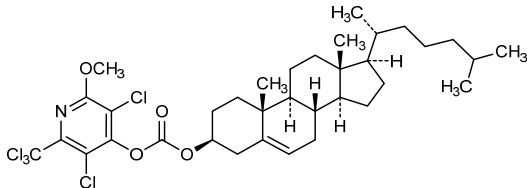
cholest-5-en-3β-yl 3,5-dichloro-2-methoxy-6-(trichloromethyl)pyridin-4-yl carbonate

mipicolédine

carbonate de cholest-5-én-3β-y le et de 3,5-dichloro-2-méthoxy-6-(trichlorométhyl)pyridin-4-yle

mipicoledina

carbonato de colest-5-en-3β-ilo y de 3,5-dicloro-2-metoxi-6-(triclorometil)piridin-4-ilo

**nadecnemabum #**

nadecnemab

immunoglobulin G4-kappa, anti-[*Homo sapiens* GFRA3 (glial cell derived neurotrophic factor family receptor alpha 3, GFRA-3)], *Homo sapiens* monoclonal antibody; gamma4 heavy chain *Homo sapiens* (1-451) [VH (*Homo sapiens*IGHV3-23*04 (95.9%) -(IGHD) - IGHJ6*01 (94.4%)) CDR-IMGT [8.8.17] (26-33.51-58.97-113) (1-124)-*Homo sapiens*IGHG4*01 (100%), G4v5 h P10 (CH1 (125-222), hinge 1-12 S10>P (232) (223-234), CH2 (235-344), CH3 (345-449), CHS (450-451)) (125-451)], (138-214')-disulfide with kappa light chain *Homo sapiens* (1'-214') [V-KAPPA (*Homo sapiens*IGKV1-12*01 (98.9%) -IGKJ3*01 (91.7%)) CDR-IMGT [6.3.9] (27-32.50-52.89-97) (1'-107') - *Homo sapiens*IGKC*01 (100%), Km3 A45.1 (153), V101 (191) (108'-214')]; dimer (230-230":233-233")-bisdisulfide, produced in Chinese hamster ovary (CHO) cells, glycoform alfa

nadecnémab

immunoglobuline G4-kappa, anti-[*Homo sapiens* GFRA3 (récepteur-3 alfa de la famille du facteur neurotrophe dérivé de la glie, GFRA-3)], anticorps monoclonal *Homo sapiens*; chaîne lourde gamma4 *Homo sapiens* (1-451) [VH (*Homo sapiens*IGHV3-23*04 (95.9%) -(IGHD) - IGHJ6*01 (94.4%)) CDR-IMGT [8.8.17] (26-33.51-58.97-113) (1-124)-*Homo sapiens*IGHG4*01 (100%), G4v5 h P10 (CH1 (125-222), charnière 1-12 S10>P (232) (223-234), CH2 (235-344), CH3 (345-449), CHS (450-451)) (125-451)], (138-214')-disulfure avec la chaîne légère kappa *Homo sapiens* (1'-214') [V-KAPPA (*Homo sapiens*IGKV1-12*01 (98.9%) -IGKJ3*01 (91.7%)) CDR-IMGT [6.3.9] (27-32.50-52.89-97) (1'-107') -*Homo sapiens*IGKC*01 (100%), Km3 A45.1 (153), V101 (191) (108'-214')]; dimère (230-230":233-233")-bisdisulfure, produit dans des cellules ovaries de hamster chinois (CHO), glycoforme alfa

nadecnemab

inmunoglobulina G4-kappa, anti-[*Homo sapiens* GFRA3 (receptor-3 alfa de la familia del factor neurotrófico derivado de la glia, GFRA-3)], anticuerpo monoclonal *Homo sapiens*;

cadena pesada gamma4 *Homo sapiens* (1-451) [VH (*Homo sapiens* IGHV3-23*04 (95.9%) -(IGHD - IGHJ6*01 (94.4%)) CDR-IMGT [8.8.17] (26-33.51-58.97-113) (1-124)-*Homo sapiens*IGHG4*01 (100%), G4v5 h P10 (CH1 (125-222), bisagra 1-12 S10>P (232) (223-234), CH2 (235-344), CH3 (345-449), CHS (450-451)) (125-451)], (138-214')-disulfuro con la cadena ligera kappa *Homo sapiens* (1'-214') [V-KAPPA (*Homo sapiens* IGKV1-12*01 (98.9%) - IGKJ3*01 (91.7%)) CDR-IMGT [6.3.9] (27-32.50-52.89-97) (1'-107') -*Homo sapiens* IGKC*01 (100%), Km3 A45.1 (153), V101 (191) (108'-214')]; dímero (230-230":233-233")-bisdisulfuro, producido en las células ováricas de hámster chino (CHO), forma glicosilada alfa

Heavy chain / Chaîne lourde / Cadena pesada

EVQLVESGGGVVQPGGSLRL SCAASGFTFS SYAMSWRQA PGKGLEWVSS 50
ISGSGGSTYY ADAVKGRFTI SRDNKSHTLY LQMNSLRAED TAVYYCTKPS 100
SYSSSNFYGG MDWGQGTTV TVSSASTKGP SVFPLAPCSR STSEESTAALG 150
CLVKDVFPEP VTWSWNSGAL TSGVHTFRAV LQSSGLYLSL SVVTVPSSL 200
GTKTYTCWVD HKPSNTKVDK RVEISKYGGPC PPCPAPPEFLG GPSVFLFPK 250
PKDTDLMSRT PEVTCVVVDV SQEDPEVQFN WYVDGVEVHN AKTKPRREEQF 300
NSTYRVSVL TLVLHQDWLNG KEYKCKVSNK GLPSSIKEITI SKAKQQPREP 350
QVYTLPSPQE EMTKNQVSITL CLVKGYPPSD IAVEWESNQ PENNYKTTTP 400
VLDLSDGSFFL YSRLTVDKSR WQEGRNFSCS VMHEALNNHY TQKSLSLSLIG 450
K 451

Light chain / Chaîne légère / Cadena ligera

DIGMTQSFS VSASVGRVRT ITCRASQGIS SWLAWYQQKP GKAPKLIIYA 50
ASSLQSQGVES RFSGSGSGTD FTLTISLQP EDFATYYCQQ TNSFPFPFGP 100
GTVKD1KRTV AAPSVFIFPP SDEQLKSSTA SVVCLLNFFY PREAKVQNVK 150
DNALQSGNSQ ESVTEQDSKD STYSLSSLT LSKADYEKKH VYACEVTHQG 200
LSSPVTKSFN RGEC 214

Post-translational modifications

Disulfide bridges location / Position des ponts disulfure / Posiciones de los puentes disulfuro
Intra-H (C23-C104) 22-96 151-207 265-325 371-429
22"-96" 151"-207" 265"-325" 371"-429"

Intra-L (C23-C104) 23-88" 134"-194"
23"-88" 134"-194"

Inter-H-L (CH1 10-CL 126) 138-214" 138"-214"

Inter-H-H (h 8, h 11) 230-230" 233-233"

N-glycosylation sites / Sites de N-glycosylation / Posiciones de N-glicosilación
H CH2 N84.4:
301, 301"

Fucosylated complex bi-antennary CHO-type glycans / glycanes de tipo CHO bi-antennaires complexes fucosyles / glicanos de tipo CHO biantenarios complejos fucosilados.

C-terminal lysine clipping / Coupe de la lysine C-terminale / Recorte de lisina C-terminal
H CHS K2:
451, 451"

nanvuranlatum

nanvuranlat

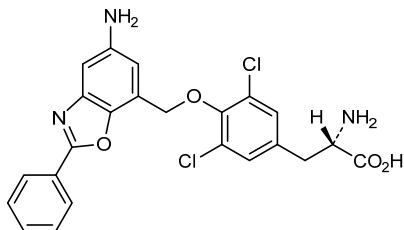
O-[(5-amino-2-phenyl-1,3-benzoxazol-7-yl)methyl]-3,5-dichloro-L-tyrosine

nanvuranlat

O-[(5-amino-2-phényl-1,3-benzoxazol-7-yl)méthyl]-3,5-dichloro-L-tyrosine

nanvuranlat

O-[(5-amino-2-fenil-1,3-benzoxazol-7-il)metil]-3,5-dicloro-L-tirosina

**navtemadlinum**

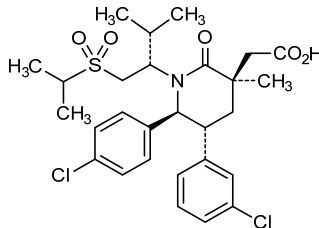
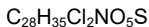
navtemadlin

{(3*R*,5*R*,6*S*)-5-(3-chlorophenyl)-6-(4-chlorophenyl)-3-methyl-1-[2*S*]-3-methyl-1-(propane-2-sulfonyl)butan-2-yl]-2-oxopiperidin-3-yl}acetic acid

navtémadline

acide {(3*R*,5*R*,6*S*)-5-(3-chlorophényle)-6-(4-chlorophényle)-3-méthyl-1-[2*S*]-3-méthyl-1-(propane-2-sulfonyl)butan-2-yl]-2-oxopipéridotin-3-il}acétique

navtemadlina

ácido {(3*R*,5*R*,6*S*)-5-(3-clorofenil)-6-(4-clorofenil)-3-metil-1-[2*S*]-3-metil-1-(propano-2-sulfonil)butan-2-il]-2-oxopiperidin-3-il}acético**nemtabrutinib**

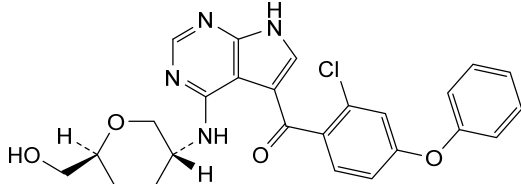
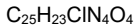
nemtabrutinib

(1³*R*,1⁶*S*)-5²-chloro-1⁶-(hydroxymethyl)-3⁷*H*-6-oxa-2-aza-3(4,5)-pirrolo[2,3-*d*]pyrimidina-1(3)-oxana-5(1,4),7(1)-dibenzeneheptaphan-4-one

nemtabrutinib

(1³*R*,1⁶*S*)-5²-chloro-1⁶-(hydroxyméthyl)-3⁷*H*-6-oxa-2-aza-3(4,5)-pirrolo[2,3-*d*]pyrimidina-1(3)-oxana-5(1,4),7(1)-dibenzénahéptaphan-4-one

nemtabrutinib

(1³*R*,1⁶*S*)-5²-cloro-1⁶-(hidroximetil)-3⁷*H*-6-oxa-2-aza-3(4,5)-pirrolo[2,3-*d*]pirimidina-1(3)-oxana-5(1,4),7(1)-dibencenaheptafan-4-ona

nendratareotidum

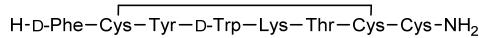
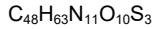
nendratareotide

 $S^2, S^7\text{-cyclo(D-phenylalanyl-L-cysteinyl-L-tyrosyl-D-tryptophyl-L-lysyl-L-threonyl-L-cysteinyl-L-cysteinamide)}$

nendrataréotide

 $S^2, S^7\text{-cyclo(D-phénylalanyl-L-cystéinyl-L-tyrosyl-D-tryptophyl-L-lysyl-L-thréonyl-L-cystéinyl-L-cystéinamide)}$

nendratareotida

 $S^2, S^7\text{-ciclo(D-fenilalanil-L-cisteinil-L-tirosil-D-triptofil-L-lisil-L-treonil-L-cisteinil-L-cisteinamide)}$ **nendratareotidum uzatansinum**

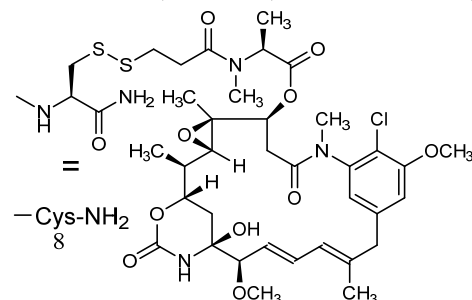
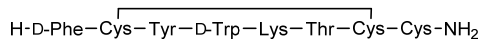
nendratareotide uzatansine

 $S^2, S^7\text{-cyclo(D-phenylalanyl-L-cysteinyl-L-tyrosyl-D-tryptophyl-L-lysyl-L-threonyl-L-cysteinyl-3-[3-[(2S)-1-[(1^4S,1^6S,2R,3^2S,3^3S,4S,10E,12E,14R)-8^6\text{-chloro-1}^4\text{-hydroxy-8}^5,14\text{-dimethoxy-2,3}^3,7,10\text{-tetramethyl-1}^2,6\text{-dioxa-7-aza-1(6,4)-[1,3]oxazinana-3(2,3)-oxirana-8(1,3)-benzenacyclotetradecaphane-10,12-dien-4-yl]oxy-1-oxopropan-2-yl](methyl)amino}-3-oxopropyl]disulfanyl]-L-alaninamide)}$

nendrataréotide uzatansine

 $S^2, S^7\text{-cyclo(D-phénylalanyl-L-cystéinyl-L-tyrosyl-D-tryptophyl-L-lysyl-L-thréonyl-L-cystéinyl-3-[3-[(2S)-1-[(1^4S,1^6S,2R,3^2S,3^3S,4S,10E,12E,14R)-8^6\text{-chloro-1}^4\text{-hydroxy-8}^5,14\text{-diméthoxy-2,3}^3,7,10\text{-tétraméthyl-1}^2,6\text{-dioxa-7-aza-1(6,4)-[1,3]oxazinana-3(2,3)-oxirana-8(1,3)-benzénacyclotétradeca-phane-10,12-dién-4-yl]oxy-1-oxopropan-2-yl](méthyl)amino}-3-oxopropyl]disulfanyl]-L-alaninamide)}$

nendratareotida uzatansina

 $S^2, S^7\text{-ciclo(D-fenilalanil-L-cisteinil-L-tirosil-D-triptofil-L-lisil-L-treonil-L-cisteinil-3-[3-[(2S)-1-[(1^4S,1^6S,2R,3^2S,3^3S,4S,10E,12E,14R)-8^6\text{-cloro-1}^4\text{-hidroxi-2,3}^3,7,10\text{-tetrametil-8}^5,14\text{-dimetoxi-1}^2,6\text{-dioxa-7-aza-1(6,4)-[1,3]oxazinana-3(2,3)-oxirana-8(1,3)-bencenacicotetradeca-fano-10,12-dien-4-il]oxi}-1-oxopropan-2-il](metil)amino}-3-oxopropil]disulfanil]-L-alaninamida)}$ 

nilofabacinum

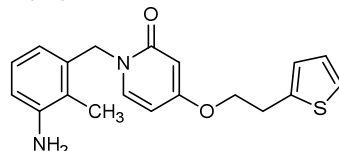
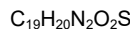
nilofabicin

1-[(3-amino-2-methylphenyl)methyl]-4-[2-(thiophen-2-yl)ethoxy]pyridin-2(1*H*)-one

nilofabicine

1-[(3-amino-2-méthylphénol)méthyl]-4-[2-(thiophén-2-yl)éthoxy]pyridin-2(1*H*)-one

nilofabicina

1-[(3-amino-2-metilfenil)metyl]-4-[2-(tiofen-2-il)etoxi]piridin-2(1*H*)-ona**ninerafaxstatum**

ninerafaxstat

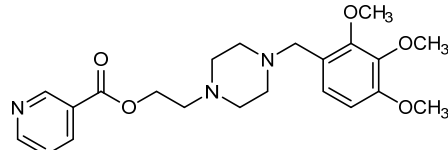
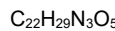
2-{4-[(2,3,4-trimethoxyphenyl)methyl]piperazin-1-yl}ethyl pyridine-3-carboxylate

ninérafaxstat

pyridine-3-carboxylate de 2-{4-[(2,3,4-triméthoxyphénol)méthyl]pipérazin-1-yl}éthyle

ninerafaxstat

piridina-3-carboxilato de 2-{4-[(2,3,4-trimetoxifenil)metyl]piperazin-1-il}etilo

**nivadstrocelum**

nivadstrocel

Allogeneic mesenchymal stromal cells derived from subcutaneous adipose tissue collected by liposuction. The cells are isolated from the adipose tissue by enzymatic digestion and are expanded in a three-dimensional hydrogel matrix with scaffold structure. The cells express cell surface markers CD105 and CD90 ($\geq 95\%$), lack cell surface expression (<2% positive) of CD45, CD34, and do not express T cell co-stimulatory molecules CD40, CD80 or CD86 and major histocompatibility complex (MHC) class II (HLA-DR). The cells also secrete various growth factors (e.g. insulin-like growth factor (IGF), hepatocyte growth factor (HGF) and vascular endothelial growth factor (VEGF)) and express extracellular matrix proteins, in particular collagen type VII.

nivadstrocel

Cellules stromales mésenchymateuses allogéniques dérivées du tissu adipeux sous-cutané recueillies par liposucción. Les cellules ont été isolées du tissu

adipeux par digestion enzymatique et ont été expansées dans une matrice d'hydrogel tridimensionnelle avec une structure d'échafaudage. Les cellules expriment les marqueurs cellulaires de surface CD105 et CD90 ($\geq 95\%$), présentent une absence d'expression à la surface cellulaire (<2% positive) de CD45, CD34, et n'expriment pas les molécules co-stimulatrices des lymphocytes T CD40, CD80 ou CD86 ainsi que le complexe majeur d'histocompatibilité (MHC) de classe II (HLA-DR). Les cellules sécrètent aussi différents facteurs de croissance (p. ex. le facteur de croissance analogue à l'insuline (IGF), le facteur de croissance des hépatocytes (HGF) et le facteur de croissance de l'endothélium vasculaire (VEGF)) et expriment des protéines de la matrice extracellulaire, en particulier le collagène de type VII.

nivadstrocel

Células estromales mesenquimales alogénicas derivadas de tejido adiposo subcutáneo obtenido por liposucción. Las células se aíslan del tejido adiposo mediante digestión enzimática y se expanden en una matriz tridimensional de hidrogel con estructura de andamiaje. Las células expresan los marcadores de superficie CD105 y CD90 ($\geq 95\%$), carecen de expresión en la superficie celular (<2% positivo) de CD45, CD34 y no expresan las moléculas coestimuladoras de linfocitos T CD40, CD80 o CD86 ni complejo principal de histocompatibilidad (MHC) clase II (HLA-DR). Las células también secretan varios factores de crecimiento (por ejemplo el factor de crecimiento similar a insulina (IGF), el factor de crecimiento de hepatocitos (HGF) y el factor de crecimiento del endotelio vascular (VEGF)) y expresan proteínas de la matriz extracelular, en particular colágeno tipo VII.

nivatrotamab

nivatrotamab

immunoglobulin G1-kappa anti-[*Homo sapiens* GD2 (ganglioside GD2)], each kappa chain being fused to a scFv anti-[*Homo sapiens* CD3E (CD3 epsilon, Leu-4)], monoclonal antibody, bispecific; gamma1 heavy chain anti-GD2 (1-449) [VH (*Mus musculus* IGHV2-9*02 (79.2%) -(IGHD) -IGHJ3*01 (91.7%) A128>S (119)/*Homo sapiens* IGHV3-33*01 (72.2%) -(IGHD) -IGHJ4*01 (92.3%)) CDR-IMGT [8.7.13] (26-33.51-57.96-108) (1-119)-*Homo sapiens* IGHG1*08p (100%), G1m3,1, G1v29 CH2 A84.4, G1v20 CH2 A105 (CH1 R120 (216) (120-217), hinge 1-15 (218-232), CH2 N84.4>A (299), K105>A (324) (233-342), CH3 D12 (358), L14 (360) (343-447), CHS (448-449)) (120-449)], (222-211')-disulfide with kappa light chain anti-GD2 fused to scFv anti-CD3E (1'-484') [Kappa light chain anti-GD2 (1'-211') [V-KAPPA anti-GD2 (*Mus musculus* IGKV6-32*02 (84.9%) -(IGHD) -IGKJ2*03 (90.0%) S120>Q (97)/*Homo sapiens* IGKV3-15*01 (78.9%) -IGKJ2*03 (100%)) CDR-IMGT [6.3.6] (27-32.50-52.89-94) ('1'-104') -*Homo sapiens* IGKC*01 (100%) Km3 A45.1 (150), V101 (188) (105'-211')]17-mer threonyl-seryl-tris(tetraglycyl-seryl) linker (212'-228') -scFv heavy-kappa anti-CD3E (229'-484') [VH anti-CD3E G49>C (272), C114>S (333) (*Homo sapiens* IGHV3-30*10 (70.4%) -(IGHD) -IGHJ4*01 (85.7%) L123>P (342)) CDR-IMGT [8.8.12] (254-261.279-286.325-336) (229'-347') -30-mer hexakis(tetraglycyl-seryl) linker (348'-377') -V-KAPPA anti-CD3E (*Homo sapiens* IGKV1-33*01 (81.1%) -IGKJ2*02 (80.0%) Q120>C (476), E125>Q (481)) CDR-IMGT [5.3.9] (404-408.426-428.465-473) (378'-484')]]; dimer (228-228":231-231")-bisdisulfide, produced in Chinese hamster ovary (CHO) cells, non-glycosylated

nivatrotamab

immunoglobuline G1-kappa anti-[*Homo sapiens* GD2 (ganglioside GD2)], chaque chaîne kappa étant fusionnée à un scFv anti-[*Homo sapiens* CD3E (CD3 epsilon, Leu-4)], anticorps monoclonal, bispécifique; chaîne lourde gamma1 anti-GD2 (1-449) [VH (*Mus musculus* IGHV2-9*02 (79.2%) -(IGHD) -IGHJ3*01 (91.7%) A128>S (119)/*Homo sapiens* IGHV3-33*01 (72.2%) -(IGHD) -IGHJ4*01 (92.3%)) CDR-IMGT [8.7.13] (26-33.51-57.96-108) (1-119) -*Homo sapiens* IGHG1*08p (100%), G1m3,1, G1v29 CH2 A84.4, G1v20 CH2 A105 (CH1 R120 (216) (120-217), charnière 1-15 (218-232), CH2 N84.4>A (299), K105>A (324) (233-342), CH3 D12 (358), L14 (360) (343-447), CHS (448-449)) (120-449)], (222-211')-disulfure avec la chaîne légère kappa anti-GD2 fusionnée au scFv anti-CD3E (1'-484') [chaîne légère kappa anti-GD2 (1'-211' [V-KAPPA anti-GD2 (*Mus musculus* IGKV6-32*02 (84.9%) -(IGHD) -IGKJ2*03 (90.0%) S120>Q (97)/*Homo sapiens* IGKV3-15*01 (78.9%) -IGKJ2*03 (100%)) CDR-IMGT [6.3.6] (27-32.50-52.89-94) (1'-104') -*Homo sapiens* IGKC*01 (100%) Km3 A45.1 (150), V101 (188) (105'-211')]J-17-mer thréonyl-séryl-tris(tétraglycyl-séryl) linker (212'-228') -scFv lourd-kappa anti-CD3E (229'-484') [VH anti-CD3E G49>C (272), C114>S (333) (*Homo sapiens* IGHV3-30*10 (70.4%) -(IGHD) -IGHJ4*01 (85.7%) L123>P (342)) CDR-IMGT [8.8.12] (254-261.279-286.325-336) (229'-347') -30-mer hexakis(tétraglycyl-séryl linker (348'-377') -V-KAPPA anti-CD3E (*Homo sapiens* IGKV1-33*01 (81.1%) -IGKJ2*02 (80.0%) Q120>C (476), E125>Q (481)) CDR-IMGT [5.3.9] (404-408.426-428.465-473) (378'-484')]]; dimère (228-228":231-231")-bisdisulfure, produit dans des cellules ovariennes de hamster chinois (CHO), non-glycosylé

nivatrotamab

inmunoglobulina G1-kappa anti-[*Homo sapiens* GD2 (gangliósido GD2)], cada cadena kappa estando fusionada a un scFv anti-[*Homo sapiens* CD3E (CD3 épsilon, Leu-4)], anticuerpo monoclonal, biespecífico; cadena pesada gamma1 anti-GD2 (1-449) [VH (*Mus musculus* IGHV2-9*02 (79.2%) -(IGHD) -IGHJ3*01 (91.7%) A128>S (119)/*Homo sapiens* IGHV3-33*01 (72.2%) -(IGHD) -IGHJ4*01 (92.3%)) CDR-IMGT [8.7.13] (26-33.51-57.96-108) (1-119) -*Homo sapiens* IGHG1*08p (100%), G1m3,1, G1v29 CH2 A84.4, G1v20 CH2 A105 (CH1 R120 (216) (120-217), bisagra 1-15 (218-232), CH2 N84.4>A (299), K105>A (324) (233-342), CH3 D12 (358), L14 (360) (343-447), CHS (448-449)) (120-449)], (222-211')-disulfuro con la cadena ligera kappa anti-GD2 fusionada con scFv anti-CD3E (1'-484') [cadena ligera kappa anti-GD2 (1'-211' [V-KAPPA anti-GD2 (*Mus musculus* IGKV6-32*02 (84.9%) -(IGHD) -IGKJ2*03 (90.0%) S120>Q (97)/*Homo sapiens* IGKV3-15*01 (78.9%) -IGKJ2*03 (100%)) CDR-IMGT [6.3.6] (27-32.50-52.89-94) (1'-104') -*Homo sapiens* IGKC*01 (100%) Km3 A45.1 (150), V101 (188) (105'-211')]J-17-mer treonil-seril-tris(tetraglicil-seril) linker (212'-228') -scFv pesado-kappa anti-CD3E (229'-484') [VH anti-CD3E G49>C (272), C114>S (333) (*Homo sapiens* IGHV3-30*10 (70.4%) -(IGHD) -IGHJ4*01 (85.7%) L123>P (342)) CDR-IMGT

[8.8.12] (254-261.279-286.325-336) (229'-347') -30-mer hexakis(tetraglicil-seril linker (348'-377') -V-KAPPA anti-CD3E (*Homo sapiens* IGKV1-33*01 (81.1%) -IGKJ2*02 (80.0%) Q120>C (476), E125>Q (481)) CDR-IMGT [5.3.9] (404-408.426-428.465-473) (378'-484')]; dímero (228-228":231-231")-bisdisulfuro, producido en las células ováricas de hámster chino (CHO), no glicosilado

Heavy chain / Chaîne lourde / Cadena pesada
 QVQLVESGG VVPQRGSLSRI SCAVSFGSVT NYGVHWRQGP PGKGLEWLGV 50
 IWAGGITNYN SAFMSRLTIS KDNKSNKTVL QMNSLRÄEDT AMYYCASRGG 100
 HYGYALDYNG QGTLVTVSSA STKGPSVFL APSSKSTSGG TAALGCLVKD 150
 YFPEPVTVWS NSGALTSGVW TFPAPVQSSG LYSLSSVVTV PSSSLGTQY 200
 ICNVNHHKPSN TKVDKRVEPK SCDKTHHTCPP CPAPELLGP SVFLFPKPK 250
 DTLMISRTPE VTCVVVDVSH EDPEVKFNWY VDGVEVHNNAK TKPREEQYAS 300
 TYRVVSVLTV LHQDWLNGKE YKCAVSNKAL PAPIEKTIK ARGGPREPQV 350
 YTLPFSRDEL TKNQVSLTCL VKGFFYPSDIA VEWESENQPE NNYKTTTPVVL 400
 DSDGFFFLYS KLTVDKSRWQ QGNVFCSCSVN HEALHNHYTQ KSLSLSPGK 449

Light chain / Chaîne légère / Cadena ligera
 EIVMTQTTPAT LSVSAGERVT ITCKASQSVS NDVTWYQQKP GOAPRLLIYS 50
 ASNRYSGVPA RFSGGSYGTE PFTFISSVQS EDFAVIFCQQ DYSSFGQGTK 100
 LEIKRTVAAP SVFIFPPSDE QLKSGTASVVU CLINNFYPRE AKVQWVKDNA 150
 LQSGNSQESV TEQDSKSDTVT SLSSITLTK ADYEKHKVYA CEVTHQGLSS 200
 PVTKSFNRGE CTSGGGGSGG GSGGGGGSQV QLVQSGGGVVQ QPGRSLRLSC 250
 KASGYTFTTRY TMHWVRQAPG KCLEWLYIN PSRGYTNNQ KFKDRFTISR 300
 DNSKNTAFLQ MDSSLRPEDTG VYFCARYDD HYSLDYWQGG TPVTVSSGGG 350
 GS GGGGGGGGG GS GGGGGGGGG GS GGGGGSDIQ MTQSPSSLSA SVGDRVNTIC 400
 SASSSVSYMN WYQQTFGKAP KRWIYDTSLK ASGVPSRFSG SGSGTDYTF 450
 ISSLQPEDIA TYYCCQWSSN PFTFGCGTKL QITR 484

Post-translational modifications
Disulfide bridges location / Position des ponts disulfure / Posiciones de los puentes disulfuro
 Intra-H (C23-C104) 22-95 146-202 263-323 369-427
 22"-95" 146"-202" 263"-323" 369"-427"
 Intra-L (C23-C104) 23"-88" 131"-191" 250"-324" 400"-464"
 23"-88" 131"-191" 250"-324" 400"-464"
 Intra-L (seFv VH C49 -VL IGKJ C120) 272"-476"
 272"-476"
 Inter-H-L (h 5-CL 126) 222-211" 222"-211"
 Inter-H-H (h 11, h 14) 228-228" 231-231"

N-terminal glutaminyl cyclization to pyroglutamyl (pE, 5-oxoprolyl)
 L VH Q1:
 1, 1"

No N-glycosylation sites / pas de sites de N-glycosylation / ningún posición de N-glicosilación
 CH2 N84,4-A:
 299, 299"
 Glycosylated

C-terminal lysine clipping / Coupure de la lysine C-terminale / Recorte de lisina C-terminal
 H CHS K2:
 449, 449"

ocarcoxibum

ocarcoxib

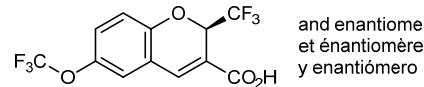
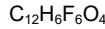
rac-(2*R*)-6-(trifluoromethoxy)-2-(trifluoromethyl)-2*H*-1-benzopyran-3-carboxylic acid

ocarcoxib

acide *rac*-(2*R*)-6-(trifluorométhoxy)-2-(trifluorométhyl)-2*H*-1-benzopyrane-3-carboxylique

ocarcoxib

ácido *rac*-(2*R*)-2-(trifluorometil)-6-(trifluorometoxi)-2*H*-1-benzopirano-3-carboxílico



onilcamotidum

onilcamotide

RhoC (Rho-related GTP-binding protein RhoC, Ras homolog gene family member C protein) proprotein C-terminal (174-193)-peptide:

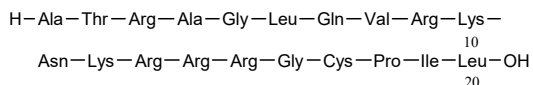
L-alanyl-L-threonyl-L-arginyl-L-alanylglycyl-L-leucyl-L-glutaminyl-L-valyl-L-arginyl-L-lysyl-L-asparaginyl-L-lysyl-L-arginyl-L-arginyl-L-arginylglycyl-L-cysteinyl-L-prolyl-L-isoleucyl-L-leucine

onilcamotide

peptide 174-193 C-terminal de la proprotéine de RhoC (protéine RhoC de liaison au GTP RhoC apparentée à Rho, membre C des protéines de la famille de gènes homologues Ras): L-alanyl-L-thréonyl-L-arginyl-L-alanylglycyl-L-leucyl-L-glutaminyl-L-valyl-L-arginyl-L-lysyl-L-asparaginyl-L-lysyl-L-arginyl-L-arginylglycyl-L-cysteinyl-L-prolyl-L-isoleucyl-L-leucine

onilcamotida

péptido 174-193 C-terminal de la proproteína del RhoC (proteína RhoC de unión a GTP relacionada con Rho, miembro C de proteínas en la familia de genes homólogos Ras):
L-alanil-L-treonil-L-arginil-L-alanilglicil-L-leucil-L-glutaminil-L-valil-L-arginil-L-lisil-L-asparaginil-L-lisil-L-arginil-L-arginil-L-arginilglicil-L-cisteinil-L-proil-L-isoleucil-L-leucina

**onzigolidum**

onzigolide

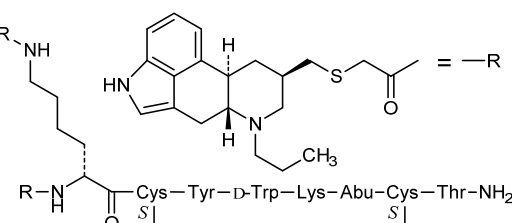
S^2, S^7 -cyclo[N^2, N^6 -bis({[(6-propylergolin-8 β -yl)méthyl]sulfanyl}acetyl)-D-lysyl-L-cysteinyl-L-tyrosyl-D-tryptophyl-L-lysyl-(2S)-2-aminobutanoyl-L-cysteinyl-L-thréoninamide]

onzigolide

S^2, S^7 -cyclo[N^2, N^6 -bis({[(6-propylergolin-8 β -yl)méthyl]sulfanyl}acetyl)-D-lysyl-L-cysteinyl-L-tyrosyl-D-tryptophyl-L-lysyl-(2S)-2-aminobutanoyl-L-cysteinyl-L-thréoninamide]

onzigolida

S^2, S^7 -cyclo[N^2, N^6 -bis({[(6-propilergolin-8 β -il)metil]sulfanil}acetil)-D-lisil-L-cisteinil-L-tirosil-D-triptofil-L-lisil-(2S)-2-aminobutanoyl-L-cisteinil-L-treoninamida]



opelconazolum

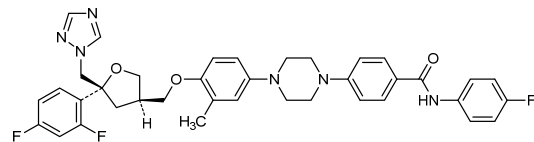
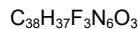
opelconazole

(6²R,6⁴R)-6²-(2,4-difluorophenyl)-N-(4-fluorophenyl)-3³-methyl-4-oxa-2(1,4)-piperazina-8(1)-[1,2,4]triazola-6(4,2)-oxolana-1(1),3(1,4)-dibenzenaoctaphane-1⁴-carboxamide

opelconazole

(6²R,6⁴R)-6²-(2,4-difluorophényle)-N-(4-fluorophényle)-3³-métyle-4-oxa-2(1,4)-pipérazina-8(1)-[1,2,4]triazola-6(4,2)-oxolana-1(1),3(1,4)-dibenzénaoctaphane-1⁴-carboxamide

opelconazol

(6²R,6⁴R)-6²-(2,4-difluorofenil)-N-(4-fluorofenil)-3³-metil-4-oxa-2(1,4)-piperazina-8(1)-[1,2,4]triazola-6(4,2)-oxolana-1(1),3(1,4)-dibencenaoctafano-1⁴-carboxamida**ordesekimabum #**

ordesekimab

immunoglobulin G1-kappa, anti-[*Homo sapiens* IL15 (interleukin 15, IL-15)], *Homo sapiens* monoclonal antibody;

gamma1 heavy chain *Homo sapiens* (1-448) [VH (*Homo sapiens*IGHV5-51*01 (95.9%) -(IGHD) -IGHJ4*01 (100%)) CDR-IMGT [8.8.11] (26-33.51-58.97-107) (1-118) -*Homo sapiens*IGHG1*08p (100%), G1m3,1 (CH1 R120 (215) (119-216), hinge 1-15 (217-231), CH2 (232-341), CH3 D12 (357), E14 (359) (342-446), CHS (447-448)) (119-448)], (221-214')-disulfide with kappa light chain *Homo sapiens* (1'-214') [V-KAPPA (*Homo sapiens*IGKV3-20*01 (97.9%) -IGKJ2*01 (100%)) CDR-IMGT [7.3.8] (27-33.51-53.90-97) (1'-107') -*Homo sapiens*IGKC*01 (100%) Km3 A45.1 (153), V101 (191) (108'-214')]; dimer (227-227":230-230")-bisdisulfide, produced in Chinese hamster ovary (CHO) cells, glycoform alfa

ordésékimab

immunoglobuline G1-kappa, anti-[*Homo sapiens* IL15 (interleukine 15, IL-15)], anticorps monoclonal *Homo sapiens*;

chaîne lourde gamma1 *Homo sapiens* (1-448) [VH (*Homo sapiens*IGHV5-51*01 (95.9%) -(IGHD) -IGHJ4*01 (100%)) CDR-IMGT [8.8.11] (26-33.51-58.97-107) (1-118) -*Homo sapiens*IGHG1*08p (100%), G1m3,1 (CH1 R120 (215) (119-216), charnière 1-15 (217-231), CH2 (232-341), CH3 D12 (357), E14 (359) (342-446), CHS (447-448)) (119-448)], (221-214')-disulfure avec la chaîne légère kappa *Homo sapiens* (1'-214') [V-KAPPA (*Homo sapiens*IGKV3-20*01 (97.9%) -IGKJ2*01 (100%)) CDR-IMGT [7.3.8] (27-33.51-53.90-97) (1'-107') -*Homo sapiens*IGKC*01 (100%) Km3 A45.1 (153), V101 (191) (108'-214')]; dimère (227-227":230-230")-bisdisulfure, produit dans des cellules ovarianes de hamster chinois (CHO), glycoforme alfa

ordesekimab

inmunoglobulina G1-kappa, anti-[*Homo sapiens*] IL15 (interleukina 15, IL-15), anticuerpo monoclonal *Homo sapiens*; cadena pesada gamma1 *Homo sapiens* (1-448) [VH (*Homo sapiens*)IGHV5-51*01 (95.9%) -(IGHD) - IGHJ4*01 (100%)] CDR-IMGT [8.8.11] (26-33.51-58.97-107) (1-118) -*Homo sapiens* IGHG1*08p (100%), G1m3,1 (CH1 R120 (215) (119-216), bisagra 1-15 (217-231), CH2 (232-341), CH3 D12 (357), E14 (359) (342-446), CHS (447-448)) (119-448)], (221-214')-disulfuro con la cadena ligera kappa *Homo sapiens* (1'-214') [V-KAPPA (*Homo sapiens*)IGKV3-20*01 (97.9%) -IGKJ2*01 (100%)] CDR-IMGT [7.3.8] (27-33.51-53.90-97) (1'-107') -*Homo sapiens* IGK*01 (100%) Km3 A45.1 (153), V101 (191) (108'-214')]; dímero (227-227":230-230")-bisdisulfuro, producido en las células ováricas de hámster chino (CHO), forma glicosilada alfa

Heavy chain / Chaîne lourde / Cadena pesada

EVLVQSGAE VKKPGESILKI SCKVSGYFFT TYWIGWVRQM PGKGLEYMGI 50
IYPGDSIDTRY SFSFQGVITI SADKSISITAY LQWSSLRASD TAMYCGCARGH 100
NWNCFDYWQQ GTLVTVSSA TKGPSVFPLA PSSKSTSGGT AA LGCLVKDY 150
FPEPVTVSNW SGALTSGVHT FPAVILQSSGL YSLSSVVTVF SSSLTGTYI 200
CNVNHKPSNT KVDKRVEPKS CDKTHTCPPC PAPELLGGPS VFLFPKKDFG 250
TLMISRTEPV TCVVVDVSHHE DPEVKENNYV DGVEVHNNAKT KPREEQYNST 300
YRVSVLTVL HQDWLNLKVEY KCKVSNKALP APIEKTIASKA KGQPREPVQVY 350
TLPPSRDELT KNQVSLTCLV KGFYPSDIAV EWESNGQPFEN NYKTFPPVLD 400
SDGSFFLYSK LTUVKRSWQQ GNVFSCSVMH EALHNHYTQK SLSLSPGK 448

Light chain / Chaîne légère / Cadena ligera

EIVLTQSPGT LSLSLPGERAT LSCRASQSVS SSYLAQWYQQK PGQAPRLIY 50
GASRRATGIP DRFGSGSGGT DFTLTISRLE PEDFAVYVCQ RGYSHTFGQ 100
GTKLEISRTV AAPSVFIFPP SDEQLKSGTA SVVCLLNFY PREAKVQWKV 150
DNALQSGNQ SQESVTEQUSKD STYSLSSSLT LSKADYEKHK VYACEVTHQG 200
LSSPVTKNSFV RGECA 214

Post-translational modifications

Disulfide bridges location / Position des ponts disulfure / Posiciones de los puentes disulfuro
Intra-H (C23-C104) 22-96 145-201 262-322 368-426
22"-96" 145"-201" 262"-322" 368"-426"
Intra-L (C23-C104) 23"-89" 134"-194"
23"-89" 134"-194"
Inter-H-L (h5-CL 126) 221-214" 221"-214"
Inter-H-H (h11, h14) 227-227" 230-230"

N-glycosylation sites / Sites de N-glycosylation / Posiciones de N-glicosilación
H CH2 N84,4;
298, 298"

Fucosylated complex bi-antennary CHO-type glycans / glycanes de type CHO bi-antennaires complexes fucosylés / glicanos de tipo CHO biantenarios complejos fucosilados.

C-terminal lysine clipping / Coupe de la lysine C-terminale / Recorte de lisina C-terminal
H CHS K2:
448, 448"

oremeperminum alfa #

oremepermin alfa

human hepatocyte growth factor isoform 3 (HGF3), hepatopoietin A isoform 3, five amino acid-deleted variant of hepatocyte growth factor, dHGF, heterodimer (alpha and beta chains), glycosylated, produced in Chinese hamster ovary (CHO) cells; hepatocyte growth factor isoform 3 (*Homo sapiens* HGF3, hepatopoietin A isoform 3, des[SFLPS (130-134)]-hepatocyte growth factor, dHGF), produced in Chinese hamster ovary (CHO) cells, glycoform alfa

orémépermine alfa

isoforme 3 du factor de croissance des hépatocytes humains (HGF3, isoforme 3 de l'hépatopoïétine A, variant du facteur de croissance des hépatocytes avec cinq acides aminés supprimé, dHGF), hétréodimère (chaînes alpha et bêta), glycosylée, produite dans des cellules ovarianes de hamster (CHO);

isoforme 3 du facteur de croissance des hépatocytes (HGF3 d'*Homo sapiens*, isoforme 3 de l'hépatopoïétine A, dés[SFLPS (130-134)]-facteur de croissance des hépatocytes, dHGF), produite dans des cellules ovariennes de hamster chinois (CHO), glycoforme alfa

oremepermina alfa

factor de crecimiento de hepatocitos humano isoforma 3 (HGF3, hepatopoietina A isoforma 3, cinco aminoácidos eliminados variante del factor de crecimiento de hepatocitos, dHGF), heterodímero (cadenas alfa y beta), glicosilado, producido en células ováricas de hámster chino (CHO);
factor de crecimiento de hepatocitos, isoforma 3 (HGF3 de *Homo sapiens*, isoforma 3 de hepatopoietina A, des[SFLPS (130-134)]-factor de crecimiento de hepatocitos, dHGF), producido en células ováricas de hámster chino (CHO), glicoforma alfa

α Chain / Chaîne α / Cadena α

QRKRRNTIHE FKKSAKTTLI KIDPALIKIT KVNTADQCA NRCTRNLGLP	50
FTCKAFVFDK ARKQCLWFPF NSMSSGVKKE FGHEFDLYEN KYDIIRNCIIG	100
KGRSYKGTVS ITKSGICKCQF WSMIPEHES YRGKDLQENY CRNPRGEGGG	150
PWCFCTSNEPV RYEVCDIPQC SEVECMTCNG ESYRGLMDHT ESGKICQRWD	200
HQTPHRHKFL PERYPDKGFD DNYCRNEDGQ PRPWCTILDP HTRWEYCAIK	250
TCADNTMNDT DVPLETECI QGQGEGYRG T VNTIWNHGIPC QRWDQSYPHE	300
HDMTTPENFKC KDLRNEYCRN PDGSESPFWCF TTDPNIRVGY CSQIPNCMDS	350
HGQDCYRGNQ KNYMGNLSQLT RSGLTCSWMW KNMEDLHHRHI FWEPDASKLN	400
ENYCRNPDDD AHGPWCYTGN PLIPWDYCPI SRCEGDTPT IVNLDHPVIS	450
CAKTKQLR	458

β Chain / Chaîne β / Cadena β

VVNIGITRTN IGMVMSLRYR NHKICGSSLI KESWVILTARQ CFFPSRDLKDY	50
EAWLGIHVDH GRGDEKCKQV LNVSQLVYGP EGSDLVLMLK ARPAPVLDFFV	100
STIDLPNYGC TIPEKRTCSV YGWGTYGLIN YDGLLRVVAHL YMGNERKSQ	150
HHRGKVTIME SEICAGAKKI GSGPCCEGDYG GPLVCEQHKM RMVLGVIVPG	200
RGCAIPNRPG IFVVRVAYYAK WIHKIILTYK VPQS	234

Post-translational modifications

Disulfide bridges location / Position des ponts disulfure / Posiciones de los puentes disulfuro

Intra- α 39-65, 43-53, 97-170, 118-153, 141-165, 175-252, 196-235, 224-247, 269-347,
290-329, 318-341, 355-433, 376-416, 404-428
Intra- β 25-41°, 118°-185°, 148°-164°, 175°-203°
Inter- α - β 451-110°

N-glycosylation sites / Sites de N-glycosylation / Posiciones de N-glicosilación
 α N366, α N366, β N72, β N159

O-glycosylation sites / Sites de O-glycosylation / Posiciones de O-glicosilación
 α T440

orludodstatum

orludodstat

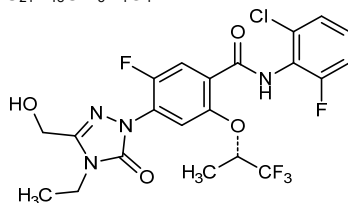
N-(2-chloro-6-fluorophenyl)-4-[4-ethyl-3-(hydroxymethyl)-5-oxo-4,5-dihydro-1*H*-1,2,4-triazol-1-yl]-5-fluoro-2-[(2*S*)-1,1,1-trifluoropropan-2-yl]oxybenzamide

orludodstat

N-(2-chloro-6-fluorophényl)-4-[4-éthyl-3-(hydroxyméthyl)-5-oxo-4,5-dihydro-1*H*-1,2,4-triazol-1-yl]-5-fluoro-2-[(2*S*)-1,1,1-trifluoropropan-2-yl]oxybenzamide

orludodstat

N-(2-cloro-6-fluorofenil)-4-[4-etyl-3-(hidroximetil)-5-oxo-4,5-dihidro-1*H*-1,2,4-triazol-1-yl]-5-fluoro-2-[(2*S*)-1,1,1-trifluoropropan-2-iloxy]benzamida

**osugacestatum**

osugacestat

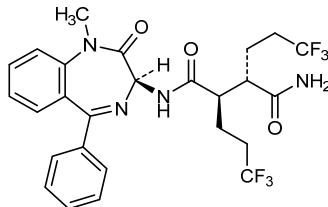
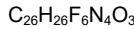
(2*R*,3*S*)-*N*¹-[(3*S*)-1-methyl-2-oxo-5-phenyl-2,3-dihydro-1*H*-1,4-benzodiazepin-3-yl]-2,3-bis(3,3,3-trifluoropropyl)butanediamide

osugacestat

(2*R*,3*S*)-*N*¹-[(3*S*)-1-méthyl-2-oxo-5-phényl-2,3-dihydro-1*H*-1,4-benzodiazépin-3-yl]-2,3-bis(3,3,3-trifluoropropyl)butanediamide

osugacestat

(2*R*,3*S*)-*N*¹-[(3*S*)-5-fenil-1-metil-2-oxo-2,3-dihidro-1*H*-1,4-benzodiazepin-3-il]-2,3-bis(3,3,3-trifluoropropil)butanodiamida

**ozarlimogenum intepasmid #**

ozarlimogene intepasmid

A DNA plasmid encoding *Streptococcus pyogenes* serotype M55 (emm55) cell surface protein (variant).

A DNA plasmid encoding *Streptococcus pyogenes* serotype M55 (emm55) cell surface protein [variant, with 98% identity to the original source isolate A928171 (X72090.1)] under the control of a human cytomegalovirus (CMV) enhancer/promoter and an SV40 polyA signal sequence. Absence of the original stop codon results in the addition of 15 C-terminal plasmid-encoded amino acid residues. The plasmid also contains a bacterial origin (ori) of replication, F1 bacteriophage origin of replication, the SV40 virus origin of replication and a NeoR/KanR resistance coding sequence under the control of AmpR/SV40 promoters and a Herpes simplex virus (HSV) thymidine kinase (TK) poly(A) signal.

ozarlimogène intéplasmide

Un plasmide d'ADN codant pour une protéine de surface cellulaire (variant) du *Streptococcus pyogenes* de sérotype M55 (emm55).

Un plasmide d'ADN codant pour une protéine de surface cellulaire du *Streptococcus pyogenes* de sérotype M55 (emm55) [variant, ayant une identité de 98% avec la source originelle de l'isolat A928171 (X72090.1)] sous le contrôle d'un activateur/promoteur du cytomégalovirus (CMV) humain et d'une séquence signal polyA SV40. L'absence du codon stop originel.

résulte de l'addition de 15 résidus d'acides aminés en C-terminal encodés par le plasmide. Le plasmide contient aussi une origine (ori) de réPLICATION bactérienne, une origine de réPLICATION du bactériophage F1, une origine de réPLICATION du virus SV40 et une séquence codant une résistance NeoR/KanR sous le contrôle des promoteurs AmpR/SV40 et d'un signal poly(A) de la thymidine kinase (TK) du virus Herpès simplex (HSV).

ozarlimogén intéplasmido

Un plásmido de DNA que codifica para una variante de la proteína de superficie de *Streptococcus pyogenes* serotipo M55 (emm55).

Un plásmido de DNA que codifica para la proteína de superficie de *Streptococcus pyogenes* serotipo M55 (emm55) [variante, con un 98% de identidad con el aislado original A928171 (X72090.1)] bajo el control de un potenciador/promotor del citomegalovirus (CMV) humano y una secuencia señal polyA de SV40. La ausencia del codón de terminación original resulta en la adición a la región C-terminal de 15 residuos de aminoácidos codificados en el plásmido. El plásmido también contiene un origen de replicación (ori) bacteriano, un origen de replicación del bacteriófago F1, el origen de replicación del virus SV40 y una secuencia que codifica la resistencia NeoR/KanR, bajo el control de los promotores AmpR/SV40 y una señal poly(A) de la timidín quinasa (TK) del virus Herpes simplex (HSV).

pafolacianinum

pafolacianine

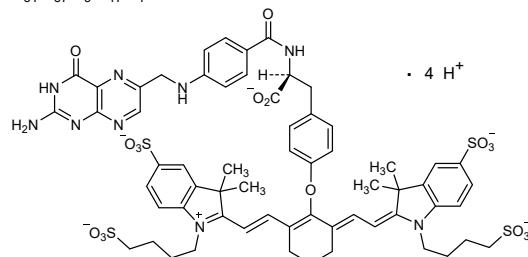
$(2E,4^3E,8S)$ -14²-amino-8-carboxy-4³-{(2E)-2-[3,3-dimethyl-5-sulfo-1-(4-sulfobutyl)-1,3-dihydro-2H-indol-2-ylidene]ethylidene}-1³,1³-dimethyl-10,14⁴-dioxo-11-(4-sulfobutyl)-14³,14⁴-dihydro-1³H-5-oxa-9,12-diaza-14(6)-pteridina-1(2)-indola-6,11(1,4)-dibenzena-4(1,2)-cyclohexanatetradecaphane-2,4¹-dien-1¹-ium-1⁵-sulfonate

pafolacianine

$(2E,4^3E,8S)$ -14²-amino-8-carboxy-4³-{(2E)-2-[3,3-diméthyl-5-sulfo-1-(4-sulfobutyl)-1,3-dihydro-2H-indol-2-ylidène]éthylidène}-1³,1³-diméthyl-10,14⁴-dioxo-1¹-(4-sulfobutyl)-14³,14⁴-dihydro-1³H-5-oxa-9,12-diaza-14(6)-ptéridina-1(2)-indola-6,11(1,4)-dibenzéna-4(1,2)-cyclohexanatétradécaphane-2,4¹-dién-1¹-ium-1⁵-sulfonate

pafolacianina

$(2E,4^3E,8S)$ -14²-amino-8-carboxi-4³-{(2E)-2-[3,3-dimetil-5-sulfo-1-(4-sulfobutil)-1,3-dihidro-2H-indol-2-ilideno]etilideno}-1³,1³-dimetil-10,14⁴-dioxo-1¹-(4-sulfobutil)-14³,14⁴-dihidro-1³H-5-oxa-9,12-diaza-14(6)-pteridina-1(2)-indola-6,11(1,4)-dibencena-4(1,2)-ciclohexanatetradecafano-2,4¹-dien-1¹-ium-1⁵-sulfonato



palopeptiperiparatidum

palopeptiperiparatide

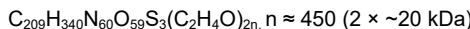
human parathyroid hormone (PTH) synthetic peptide fragment (1-34), conjugated at the N-terminal amino group via a cleavable linker to O-methylpolyethylene glycol (2 x 20 kDa mPEG);
 2-methylalanyl-(1-34)-peptide of parathyroid hormone (*Homo sapiens* parathyrin, parathormone, PTH) conjugated with O-methylpolyethylene glycol via a cleavable linker at the N-terminal amino group:
N-{2-[{6-[{(3RS)-1-{3-[{3-(2 Ξ)-2,3-bis[α -methylpoly(oxyethylene)- ω -oxy]propoxy}propyl]amino}-3-oxopropyl]-2,5-dioxopyrrolidin-3-yl}sulfanyl}hexyl)amino]ethyl}carbamoyl)-2-methylalanyl-L-seryl-L-valyl-L-seryl-L- α -glutamyl-L-isoleucyl-L-glutaminyl-L-leucyl-L-methionyl-L-histidyl-L-asparaginyl-L-leucylglycyl-L-lysyl-L-histidyl-L-leucyl-L-asparaginyl-L-seryl-L-methionyl-L- α -glutamyl-L-arginyl-L-valyl-L- α -glutamyl-L-tryptophyl-L-leucyl-L-arginyl-L-lysyl-L-lysyl-L-leucyl-L-glutaminyl-L- α -aspartyl-L-valyl-L-histidyl-L-asparaginyl-L-phenylalanine

palopeptériparatide

fragment peptidique synthétique (1-34) de l'hormone parathyroïdienne humaine (HPT) conjugué au groupe aminé en N-terminal via un linker clivable au O-méthylpolyéthylène glycol (2 x 20 kDa mPEG);
 2-methylalanyl-(1-34)-peptide de l'hormone parathyroïdienne d'*Homo sapiens* (parathyrine, parathormone, PTH), conjugué à un O-méthylpoly-éthylène glycol via un linker clivable au groupe aminé en N-terminal:
N-{2-[{6-[{(3RS)-1-{3-[{3-(2 Ξ)-2,3-bis[α -methylpoly(oxyéthylène)- ω -oxy]propoxy}propyl]amino}-3-oxopropyl]-2,5-dioxopyrrolidine-3-yl}sulfanyl}hexyl)amino]éthyl}carbamoyl)-2-méthylalanyl-L-séryl-L-valyl-L-séryl-L- α -glutamyl-L-isoleucyl-L-glutaminyl-L-leucyl-L-méthionyl-L-histidyl-L-asparaginyl-L-leucylglycyl-L-lysyl-L-histidyl-L-leucyl-L-asparaginyl-L-séryl-L-méthionyl-L- α -glutamyl-L-arginyl-L-valyl-L- α -glutamyl-L-tryptophyl-L-leucyl-L-arginyl-L-lysyl-L-lysyl-L-leucyl-L-glutaminyl-L- α -aspartyl-L-valyl-L-histidyl-L-asparaginyl-L-phénylalanine

palopeptiperiparatida

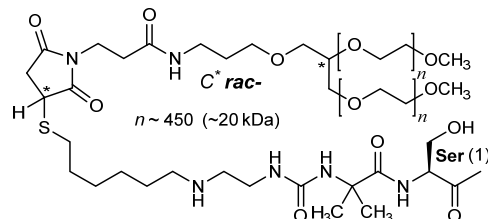
fragmento de péptido sintético (1-34) de la hormona paratiroides humana (PTH) conjugado en el grupo amino N-terminal, a través de un enlace escindible, al glicol O-metilpolietileno (2 x 20 kDa mPEG);
 2-metilalanil-peptido 1-34 de la hormona paratiroides del *Homo sapiens* (paratirina, parathormona, PTH), conjugado con O-metilpolietilenglicol a través de un grupo de unión separable escindible en el grupo amino N-terminal:
N-{2-[{6-[{(3RS)-1-{3-[{3-(2 Ξ)-2,3-bis[α -metilpoli(oxietileno)- ω -oxi]propoxi}propil]amino}-3-oxopropil]-2,5-dioxopyrrolidin-3-il}sulfanil}hexyl)amino]etil}carbamoil)-2-metilalanil-L-seril-L-valil-L-seril-L- α -glutamyl-L-isoleucyl-L-glutaminil-L-leucil-L-metionil-L-histidil-L-asparaginil-L-leucilglycyl-L-lisil-L-histidil-L-leucil-L-asparaginil-L-seril-L-metionil-L- α -glutamyl-L-arginil-L-valil-L- α -glutamyl-L-triptofil-L-leucil-L-arginil-L-lisil-L-lisil-L-leucil-L-glutaminil-L- α -aspartil-L-valil-L-histidil-L-asparaginil-L-fenilalanina



Sequence / Séquence / Secuencia

SVSEIQLMHN LGKHLNSMER VEWLRKKLQD VHNF 34

Modified residue / Résidu modifié / Resto modificado

**peboctocogenum camaparvovec #**

peboctocogene camaparvovec

A non-replicating adeno-associated virus serotype hu37 (AAVhu37) vector encoding B-domain deleted human blood-coagulation factor VIII.

A recombinant, non-replicating, adeno-associated virus serotype hu37 (AAVhu37) vector, encoding a codon-optimised B-domain deleted SQ variant of human blood-coagulation factor VIII (hFVIII-SQ), under the control of a hybrid liver promoter (*Mus musculus* transthyretin enhancer-human transthyretin promoter) and a synthetic polyA signal sequence, flanked by AAV2 inverted terminal repeats; the A2 and A3 domains of hFVIII are linked by a DNA sequence encoding a 14-amino acid peptide (SQ) from the B domain.

péboctocogène camaparvovec

Un vecteur du virus adéno-associé de sérotype hu37 (AAVhu37) non-répliquant codant le facteur VIII de coagulation sanguine humaine avec délétion du domaine B. Un vecteur du virus adéno-associé de sérotype hu37 (AAVhu37) non-répliquant, recombinant, codant un variant SQ aux codons optimisés avec délétion du domaine B du facteur VIII de coagulation sanguine humaine (hFVIII-SQ), sous le contrôle d'un promoteur hybride de foie (activateur de la transthyrétilne de *Mus musculus* - promoteur de la transthyrétilne humaine) et d'une séquence signal polyA synthétique, flanquée de répétitions terminales inversées d'AAV2; les domaines A2 et A3 du hFVIII sont liés par une séquence d'ADN codant un peptide (SQ) de 14 acides aminés provenant du domaine B.

peboctocogén camaparvovec

Un vector de virus adeno-asociado de serotipo hu37 (AAVhu37) no replicativo que codifica para el factor de coagulación sanguínea VIII humano con el dominio B delecionado.

Un vector de virus adeno-asociado de serotipo hu37 (AAVhu37) recombinante, no replicativo, que codifica una variante SQ con el dominio B delecionado del factor de coagulación sanguínea VIII humano (hFVIII-SQ), con codones optimizados, bajo el control de un promotor híbrido de hígado (potenciador de transtiretina de *Mus musculus* - promotor de transtiretina humana) y una secuencia señal de polyA sintética, flanqueado por las repeticiones terminales invertidas de AAV2; los dominios A2 y A3 de hFVIII están ligados mediante una secuencia de DNA que codifica para un péptido de 14 aminoácidos (SQ) del dominio B.

pelgifatamabum corixetanum #
pelgifatamab corixetan

immunoglobulin G1-kappa, anti-[*Homo sapiens* FOLH1 (folate hydrolase, prostate specific membrane antigen, PSMA)], *Homo sapiens* monoclonal antibody conjugated to chelator *corixetan*; gamma1 heavy chain *Homo sapiens* (1-453) [VH (*Homo sapiens*IGHV3-33*01 (96.9%) -(IGHD) - IGHJ6*01 (100%)) CDR-IMGT [8.8.16] (26-33.51-58.97-112) (1-123) -*Homo sapiens* IGHG1*03 (100%) G1m3, nG1m1 (CH1 R120 (220) (124-221), hinge 1-15 (222-236), CH2 (237-346), CH3 E12 (362), M14 (364) (347-451), CHS (452-453)) (124-453)], (226-214')-disulfide with kappa light chain *Homo sapiens* (1'-214') [V-KAPPA (*Homo sapiens* IGKV1-27*01 (94.7%) -IGKJ3*01 (100%)) CDR-IMGT [6.3.9] (27-32.50-52.89-97) (1'-107') -*Homo sapiens* IGKC*01 (100%) Km3 A45.1 (153), V101 (191) (108'-214')]; dimer (232-232":235-235")-bisdisulfide, produced in a Chinese hamster ovary (CHO)-K1 cell line, glycoform alfa; conjugated to chelator *corixetan*, with an average of 0.8 chelator groups per antibody
For the *corixetan* part, please refer to the Proposed INN List 121, published in the WHO Drug Information, Vol.33, No.2, 2019.

pelgifatamab corixétan

immunoglobuline G1-kappa, anti-[*Homo sapiens* FOLH1 (folate hydrolase, antigène membranaire spécifique de la prostate, PSMA)], anticorps monoclonal *Homo sapiens* conjugué au chélateur *corixétan*; chaîne lourde gamma1 *Homo sapiens* (1-453) [VH (*Homo sapiens*IGHV3-33*01 (96.9%) -(IGHD) -IGHJ6*01 (100%)) CDR-IMGT [8.8.16] (26-33.51-58.97-112) (1-123) -*Homo sapiens* IGHG1*03 (100%) G1m3, nG1m1 (CH1 R120 (220) (124-221), charnière 1-15 (222-236), CH2 (237-346), CH3 E12 (362), M14 (364) (347-451), CHS (452-453)) (124-453)], (226-214')-disulfure avec la chaîne légère kappa *Homo sapiens* (1'-214') [V-KAPPA (*Homo sapiens* IGKV1-27*01 (94.7%) -IGKJ3*01 (100%)) CDR-IMGT [6.3.9] (27-32.50-52.89-97) (1'-107') -*Homo sapiens* IGKC*01 (100%) Km3 A45.1 (153), V101 (191) (108'-214')]; dimère (232-232":235-235")-bisdisulfure, produit dans des cellules ovariennes de hamster chinois (CHO) lignée cellulaire CHO-K1, glycoforme alfa; conjugué au chélateur *corixétan*, avec une moyenne de 0.8 groupes chélateurs par anticorps
Pour la partie *corixétan*, veuillez-vous référer à la Liste 121 des DCI proposées, publiée dans le WHO Drug Information, Vol.33, No.2, 2019.

pelgifatamab corixetán

inmunoglobulina G1-kappa, anti-[*Homo sapiens* FOLH1 (folato hidrolasa, antígeno membranario específico de la próstata, PSMA)], anticuerpo monoclonal *Homo sapiens* conjugado con el quelante *corixetán*;

cadena pesada gamma1 *Homo sapiens* (1-453) [VH (*Homo sapiens* IGHV3-33*01 (96.9%) -(IGHD) -IGHJ6*01 (100%)) CDR-IMGT [8.8.16] (26-33.51-58.97-112) (1-123) -*Homo sapiens* IGHG1*03 (100%) G1m3, nG1m1 (CH1 R120 (220) (124-221), bisagra 1-15 (222-236), CH2 (237-346), CH3 E12 (362), M14 (364) (347-451), CHS (452-453)) (124-453)], (226-214')-disulfuro con la cadena ligera kappa *Homo sapiens* (1'-214') [V-KAPPA (*Homo sapiens* IGKV1-27*01 (94.7%) -IGKJ3*01 (100%)) CDR-IMGT [6.3.9] (27-32.50-52.89-97) (1'-107') -*Homo sapiens* IGKC*01 (100%) Km3 A45.1 (153), V101 (191) (108'-214')]; dímero (232-232":235-235")-bisdisulfuro, producido en las células ováricas de hámster chino (CHO) línea celular CHO-K1, forma glicosilada alfa; conjugado con el quelante corixetán, con una media de 0.8 grupos quelantes por anticuerpo
Para la parte corixetán, por favor vaya a la Lista 121 de los DCI propuestas, publicada en el WHO Drug Information, Vol.33, No.2, 2019.

Heavy chain / Chaîne lourde / Cadena pesada

QVQLVESGGG VVQPGRSLRL SCAASGFAFS RYGMHWVRQA PGKGLEWAVV 50
 IWYDSNKKYV ADSVKGRFTI SRDNNSKNTQV LQMNLSRAED TAVYYCARGG 100
 DFLYLYYYGGM DVWGQTTVT VSSASTRGPS VFPFLAFSSKS TSGGTALGC 150
 LVKDYYFFPEPV TVSWWNSGALT SGVHTFFFAVL QSSGLYSLSS VVTPPSSILG 200
 TQTYICVNHH KPNSNTKVKTE VEPKSCDKTH TCPCCPAPEL LGGPSVFLFP 250
 PKPKDTLMIS RTEPEVTCVVV DVSHEDPEVK FNWYVDGVEV HNAKTKPREE 300
 QYNSTYRVVS VLTVLHQDWL NGKEYKCKVS NKAALPAPIEK TISKAKGQPR 350
 EPQVYTLPPS REEMTKNQVS LTCLVKGFYP SDIAVEWESN QOPENNYKT 400
 PPVLDSDGSF FLYSKLTVVDK SRWQQGNVFS CSVMEHALSN HYTQKSLSL 450
 PGK 453

Light chain / Chaîne légère / Cadena ligera

DIQMTQSPSS LSASVGDRVT ITCRASQGIS NYLAHYQQKT GKVPKFLLYE 50
 ASTLQSGVPS RFSGGGSGTD FFLTISSLQPD EDVATYYCQN YNSAAPPFTFG 100
 GTKVDIKRTV AAPSVETIPPP SDEQLKSGTA SVVCLLNNFY PREAKVQMKV 150
 DNALQSGNSQ ESVTEQDSKD STYSLSLSTIT LSKADYEKHK VYACEVTHQG 200
 LSSPVTKSEN RGEC 214

Post-translational modifications

Disulfide bridges location / Position des ponts disulfure / Posiciones de los puentes disulfuro
 Intra-H (C23-C104) 22-96 150-206 267-327 373-431
 22"-96" 150"-206" 267"-327" 373"-431"
 Intra-L (C23-C104) 23"-88" 134"-194"
 23"-88" 134"-194"
 Inter-H-L (h 5-CL 126) 226-214" 226"-214"
 Inter-H-H (h 11, h 14) 232-232" 235-235"

N-terminal glutaminyl cyclization to pyroglutamyl (pE, 5-oxoprolyl)

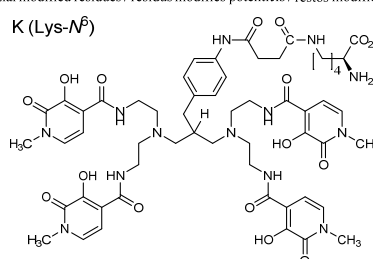
L VH Q1:
 1, 1"

N-glycosylation sites / Sites de N-glycosylation / Posiciones de N-glicosilación
 H CH2 N84.4:
 303, 303"

Fucosylated complex bi-antennary CHO-type glycans / glycanes de type CHO bi-antennaires complexes fucosylés / glicanos de tipo CHO biantenarios complejos fucosilados.

C-terminal lysine clipping / Coupe de la lysine C-terminale / Recorte de lisina C-terminal
 H CHS K2:
 453, 453"

Potential modified residues / résidus modifiés potentiels / restos modificados potenciales:



plazinemdorum

plazinemdor

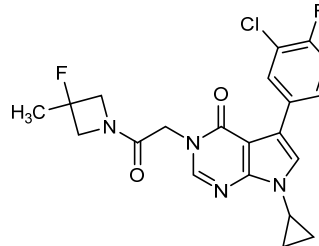
5-(3-chloro-4-fluorophenyl)-7-cyclopropyl-3-[2-(3-fluoro-3-methylazetidin-1-yl)-2-oxoethyl]-3,7-dihydro-4H-pyrrolo[2,3-d]pyrimidin-4-one

plazinemdor

5-(3-chloro-4-fluorophényle)-7-cyclopropyl-3-[2-(3-fluoro-3-méthylazétidin-1-yl)-2-oxoéthyl]-3,7-dihydro-4H-pyrrolo[2,3-d]pyrimidin-4-one

plazinemdor

7-ciclopropil-5-(3-cloro-4-fluorofenil)-3-[2-(3-fluoro-3-metilazetidin-1-il)-2-oxoetil]-3,7-dihidro-4H-pirrolo[2,3-d]pirimidin-4-ona

**plonmarlimabum #**

plonmarlimab

immunoglobulin G1-kappa, anti-[*Homo sapiens* CSF2 (colony stimulating factor 2 (granulocyte-macrophage), GM-CSF, GMCSF)], humanized monoclonal antibody; gamma1 heavy chain humanized (1-450) [VH (*Homo sapiens* IGHV1-2*02 (85.7%) -(IGHD) -IGHJ3*01 (92.9%) M123>T (115)) CDR-IMGT [8.8.13] (26-33.51-58.97-109) (1-120) -*Homo sapiens* IGHG1*03v, G1m3>G1m17, nG1m1 (CH1 R120>K (217) (121-218), hinge 1-15 (219-233), CH2 (234-343), CH3 E12 (359), M14 (361) (344-448), CHS (449-450)) (121-450)], (223-214')-disulfide with kappa light chain humanized (1'-214') [V-KAPPA (*Homo sapiens* IGKV1-9*01 (78.9%) -IGKJ4*01 (100%)) CDR-IMGT [6.3.9] (27-32.50-52.89-97) (1-107') -*Homo sapiens* IGKC*01 (100%), Km3 A45.1 (153), V101 (191) (108'-214')]; dimer (229-229":232-232")-bisdisulfide, produced in Chinese hamster ovary (CHO) cells, glycoform alfa

plonmarlimab

immunoglobuline G1-kappa, anti-[*Homo sapiens* CSF2 (facteur 2 stimulant les colonies (granulocyte-macrophage), GM-CSF, GMCSF)], anticorps monoclonal humanisé; chaîne lourde gamma1 humanisée (1-450) [VH (*Homo sapiens* IGHV1-2*02 (85.7%) -(IGHD) -IGHJ3*01 (92.9%) M123>T (115)) CDR-IMGT [8.8.13] (26-33.51-58.97-109) (1-120) -*Homo sapiens* IGHG1*03v, G1m3>G1m17, nG1m1 (CH1 R120>K (217) (121-218), charnière 1-15 (219-233), CH2 (234-343), CH3 E12 (359), M14 (361) (344-448), CHS (449-450)) (121-450)], (223-214')-disulfure avec la chaîne légère kappa

	humanisée (1'-214') [V-KAPPA (<i>Homo sapiens</i> IGKV1-9*01 (78.9%) -IGKJ4*01 (100%)) CDR-IMGT [6.3.9] (27-32.50-52.89-97) (1'-107') - <i>Homo sapiens</i> IGKC*01 (100%), Km3 A45.1 (153), V101 (191) (108'-214')]; dimère (229-229":232-232")-bisdisulfure, produit dans des cellules ovarianes de hamster chinois (CHO), glycoforme alfa
plonmarlimab	inmunoglobulina G1-kappa, anti-[<i>Homo sapiens</i> CSF2 (factor 2 estimulante de las colonias (granulocito-macrófago), GM-CSF, GMCSF)], anticuerpo monoclonal humanizado; cadena pesada gamma1 humanizada (1-450) [VH (<i>Homo sapiens</i> IGHV1-2*02 (85.7%) -(IGHD) -IGHJ3*01 (92.9%) M123>T (115)) CDR-IMGT [8.8.13] (26-33.51-58.97-109) (1-120) - <i>Homo sapiens</i> IGHG1*03v, G1m3>G1m17, nG1m1 (CH1 R120>K (217) (121-218), bisagra 1-15 (219-233), CH2 (234-343), CH3 E12 (359), M14 (361) (344-448), CHS (449-450)) (121-450)], (223-214')-disulfuro con la cadena ligera kappa humanizada (1'-214') [V-KAPPA (<i>Homo sapiens</i> IGKV1-9*01 (78.9%) -IGKJ4*01 (100%)) CDR-IMGT [6.3.9] (27-32.50-52.89-97) (1'-107') - <i>Homo sapiens</i> IGKC*01 (100%), Km3 A45.1 (153), V101 (191) (108'-214')]; dímero (229-229":232-232")-bisdisulfuro, producido en las células ováricas de hámster chino (CHO), forma glicosilada alfa
	Heavy chain / Chaîne lourde / Cadena pesada EVQLVQSGAE VKPGASVKV SCKASGYTFT SHYLHWVRQA PGQQGLEWMGW 50 IFPGDDKTRKY NEKFPGRVTM TSDTISAYT MELSLRSDLSDA TAVYGCARGT 100 KVLNWNEDWQ GQOTTVTWSS ASTKGPSVFP LAFPSKSTSG GTAALGCLVK 150 DYFPEPVTVS WNSGALTSGV HTFPAVIQQSS GLYSILSVVT VPSSSLGTQT 200 YICNVNPKES NTKVDKKVEP KSCDKTHTCP FCPAPELIGP PSVFLPPK 250 KDTLMISRTP EVTCAVVWDVS HEDFPEVKFNW YVDGVEVHNQ KTKPFRQQYN 300 STYRVSVLT VLHQDWLNGE EYKCKVSNKA LPAPIEKITIS KAKGQPREGP 350 VYTLPSSREE MTKNQVSLTC LVKGFYPSDI AWEWESNQGP ENNYKTTPPV 400 LDSDGSFFLY SKLTVDKSRV QQGNVFSCSV MHEALHNHYT QKSLSLSPKG 450
	Light chain / Chaîne légère / Cadena ligera DIQLITQSPSF LSASVGDRTV ITCKANQNVG TTLAWYQQKP GKSPKALIYS 50 ASYRYSGVPD RFSGSGSGTV FTFLTISSLQD EDFATYFCHQ YYTYPLTFGG 100 GTVKEIKRTV AAESVFPIPP SDEQLKSGTA SVVCLLNNFY PREAKVQWKV 150 DNAIQSGNSQ ESVTEQDSKD STYLSLSTIT LSKADYEKHK VYACEVTHQ 200 LSSFVTKSPN RGEC 214
	Post-translational modifications Disulfide bridges location / Position des ponts disulfure / Posiciones de los puentes disulfuro Intra-H (C23-C104) 22-96 147-203 264-324 370-428 22"-96" 147"-203" 264"-324" 370"-428" Intra-L (C23-C104) 23"-88" 134"-194" 23"-88" 134"-194" Inter-H-L (h 5-CL 126) 223-214" 223"-214" Inter-H-H (h 11, h14) 229-229" 232-232"
	N-glycosylation sites / Sites de N-glycosylation / Posiciones de N-glicosilación H CH2 N84.4: 300, 300" Fucosylated complex bi-antennary CHO-type glycans / glycanes de type CHO bi-antennaires complexes fucosylés / glicanos de tipo CHO biantenarios complejos fucosilados.
	C-terminal lysine clipping / Coupure de la lysine C-terminale / Recorte de lisina C-terminal H CHS K2: 450, 450"
ponsegrromabum # ponsegrromab	immunoglobulin G1-kappa, anti-[<i>Homo sapiens</i> GDF15 (growth differentiation factor 15, PLAB, MIC-1, PDF, MIC1, NAG-1, PTGFB)], monoclonal antibody;

ponségrômab	gamma1 heavy chain (1-449) [VH (<i>Homo sapiens</i> IGHV1-69*01 (93.9%) -(IGHD)-IGHJ1*01 (100%)) CDR-IMGT [8.8.13] (26-33.51-58.97-109) (1-120) - <i>Homo sapiens</i> IGHG1*03v, G1m3>G1m17, nG1m1, G1v14 CH2 A1.3, A1.2 (CH1 R120>K (217) (121-218), hinge 1-15 (219-233), CH2 L1.3>A (237), L1.2>A (238), G1>A (240) (234-343), CH3 E12 (359), M14 (361) (344-448), CHS K>del (449)) (121-449)], (223-214')-disulfide with kappa light chain (1'-214') [V-KAPPA (<i>Homo sapiens</i> IGKV3-11*01 (91.6%) - IGKJ1*01 (100%)) CDR-IMGT [6.3.9] (27-32.50-52.89-97) (1'-107') - <i>Homo sapiens</i> IGKC*01 (100%) Km3 A45.1 (153), V101 (191) (108'-214')]; dimer (229-229":232-232")-bisdisulfide, produced in Chinese hamster ovary (CHO)-K1SV cell line lacking the glutamine synthetase gene (GSKO), glycoform alfa
ponsegromab	immunoglobuline G1-kappa, anti-[<i>Homo sapiens</i> GDF15 (facteur 15 de croissance et de différenciation, PLAB, MIC-1, PDF, MIC1, NAG-1, PTGFB)], anticorps monoclonal; chaîne lourde gamma1 (1-449) [VH (<i>Homo sapiens</i> IGHV1-69*01 (93.9%) -(IGHD)-IGHJ1*01 (100%)) CDR-IMGT [8.8.13] (26-33.51-58.97-109) (1-120) - <i>Homo sapiens</i> IGHG1*03v, G1m3>G1m17, nG1m1, G1v14 CH2 A1.3, A1.2 (CH1 R120>K (217) (121-218), charnière 1-15 (219-233), CH2 L1.3>A (237), L1.2>A (238), G1>A (240) (234-343), CH3 E12 (359), M14 (361) (344-448), CHS K>del (449)) (121-449)], (223-214')-disulfure avec la chaîne légère kappa (1'-214') [V-KAPPA (<i>Homo sapiens</i> IGKV3-11*01 (91.6%) - IGKJ1*01 (100%)) CDR-IMGT [6.3.9] (27-32.50-52.89-97) (1'-107') - <i>Homo sapiens</i> IGKC*01 (100%) Km3 A45.1 (153), V101 (191) (108'-214')]; dimère (229-229":232-232")-bisdisulfure, produit dans des cellules ovarianes de hamster chinois (CHO) lignée cellulaire CHO-K1SV ne présentant pas le gène de la glutamine synthétase (GSKO), glycoforme alfa

Heavy chain / Chaîne lourde / Cadena pesada

QVQLVQSGAE VKKPGSSVKV SCKASGYTF SYNIDWVRQA PGQGLEWMGG 50
 INFPIFGTAFY NQKFQGRVTI TADESTSTAY MELSSLRSED TAVYYCAREA 100
 IITVGAMDHW QGGLTVTVSS ASTKGPSVFP LAPSSKSTSG GTAALGCLVK 150
 DYFPEPVTVS WNSGALTSGV HTPPAVLQSS GLYSLSSVVT VPSSSLGTQT 200
 YICNVNHPKS NTKVDDKKVEP KSCDKTHTCP PCPAAEAGA PSVFLFPFKP 250
 KDTLMISRTP ETVTCVVVDVS HEDPEVKFWY YVDGVEVHNA KTKPREEQYN 300
 STYRVRVSVLPV VLHQDWLNLK EYCKCVSNKA LFAPIEKTIS KAKGQFRPQ 350
 VYTLPSPSER MTKNQVSLTC LVKGFPSPDI AVEWESENQGP ENNYKTTPPV 400
 LDSDGSFFLY SKLTVDKSRW QQGNVFSCSV MHEALHNHYT QKSLSSLSPG 449

Light chain / Chaîne légère / Cadena ligera

EIVLTQSPAT LSLSPGERAT LSCRITSQSVH NYLAWYQQKPV GQAPRLLIYD 50
 ASTRADGIPAV RFSGSSGSGTD FTILTISLEP EDFAVYYCQQ FWSPWPFTGQ 100
 GTKVKEIKTV AAPSVFIFPP SDEQLKSGTA SVVCLLNPFY PREAKVQNKV 150
 DNALQSGNSQ ESVTEQDSKD STYSLSTSLLT LSKADYEHKH VYACEVTHQG 200
 LSSPVTKSFN RGEC 214

Post-translational modifications

Disulfide bridges location / Position des ponts disulfure / Posiciones de los puentes disulfuro
 Intra-H (C23-C104) 22-96 147-203 264-324 370-428

22"-96" 147"-203" 264"-324" 370"-428"

Intra-L (C23-C104) 23-88 134"-194"
 23"-88" 134"-194"
 Inter-H-L (h 5-CL 126) 223-214" 223"-214"
 Inter-H-H (h 11, h 14) 229-229" 232-232"

N-terminal glutaminyl cyclization to pyroglutamyl (pE, 5-oxoprolyl)
 H VH Q1:
 I, I"

N-glycosylation sites / Sites de N-glycosylation / Posiciones de N-glicosilación
 H CH₂N84,4;
 300,300"

Fucosylated complex bi-antennary CHO-type glycans / glycanes de type CHO bi-antennaires
 complejos fucosylés / glicanos de tipo CHO biantenarios complejos fucosilados.

prusogliptinum

prusogliptin

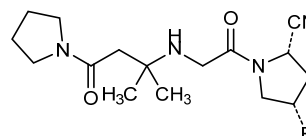
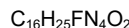
(2S,4S)-4-fluoro-1-((2-methyl-4-oxo-4-(pyrrolidin-1-yl)butan-2-yl)amino)acetyl)pyrrolidine-2-carbonitrile

prusogliptine

(2S,4S)-4-fluoro-1-((2-méthyl-4-oxo-4-(pyrrolidin-1-yl)butan-2-yl)amino)acétyle)pyrrolidine-2-carbonitrile

prusogliptina

(2S,4S)-4-fluoro-1-((2-metil-4-oxo-4-(pirrolidin-1-il)butan-2-il)amino)acetil)pirrolidina-2-carbonitriolo

**pucotenlimabum #**

pucotenlimab

immunoglobulin G4-kappa, anti-[*Homo sapiens* PDCD1 (programmed cell death 1, PD1, PD-1, CD279)], monoclonal antibody;

gamma4 heavy chain (1-445) [VH (*Mus musculus* IGHV5-9-2*01 (87.8%) -(IGHD) -IGHJ3*01 (93.3%)/*Homo sapiens* IGHV3-23*04 (86.7%) -(IGHD) -IGHJ6*01 (90.9%)) CDR-IMGT [8.8.11] (26-33.51-58.97-107) (1-118)-*Homo sapiens*IGHG4*01, G4v5 h P10, G4v22 CH2 T16, P91, CH3 A114 (CH1 (119-216), hinge 1-12 S10>P (226) (217-228), CH2 S16>T (252), V91>P (306) (229-338), CH3 N114>A (432) (339-443), CHS (444-445)) (119-445)], (132-218')-disulfide with kappa light chain (1'-218') [V-KAPPA (*Mus musculus* IGKV3-2*01 (92.9%) -IGKJ1*01 (100%)/*Homo sapiens* IGKV3D-11*02 (64.9%) -IGKJ4*01 (90.9%)) CDR-IMGT [10.3.9] (27-36.54-56.93-101) (1'-111') -*Homo sapiens* IGKC*01 (100%), Km3 A45.1 (157), V101 (195) (112'-218')]; dimer (224-224":227-227")-bisdisulfide, produced in Chinese hamster ovary (CHO) cells, glycoform alfa

pucotenlimab immunoglobuline G4-kappa, anti-[*Homo sapiens* PDCD1 (protéine 1 de mort cellulaire programmée, PD-1, PD1, CD279)], anticorps monoclonal; chaîne lourde gamma4 (1-445) [VH (*Mus musculus* IGHV5-9-2*01 (87.8%) -(IGHD) -IGHJ3*01 (93.3%)/*Homo sapiens* IGHV3-23*04 (86.7%) -(IGHD) -IGHJ6*01 (90.9%)) CDR-IMGT [8.8.11] (26-33.51-58.97-107) (1-118)-*Homo sapiens* IGHG4*01, G4v5 h P10, G4v22 CH2 T16, P91, CH3 A114 (CH1 (119-216), charnière 1-12 S10>P (226) (217-228), CH2 S16>T (252), V91>P (306) (229-338), CH3 N114>A (432) (339-443), CHS (444-445)) (119-445)], (132-218')-disulfure avec la chaîne légère kappa (1'-218') [V-KAPPA (*Mus musculus* IGKV3-2*01 (92.9%) -IGKJ1*01 (100%)/*Homo sapiens* IGKV3D-11*02 (64.9%) -IGKJ4*01 (90.9%)) CDR-IMGT [10.3.9] (27-36.54-56.93-101) (1'-111') -*Homo sapiens* IGKC*01 (100%), Km3 A45.1 (157), V101 (195) (112'-218')]; dimère (224-224'.227-227")-bisdisulfure, produit dans des cellules ovariennes de hamster chinois (CHO), glycoforme alfa

pucotenlimab inmunoglobulina G4-kappa, anti-[*Homo sapiens* PDCD1 (proteína 1 de muerte celular programada, PD-1, PD1, CD279)], anticuerpo monoclonal; cadena pesada gamma4 (1-445) [VH (*Mus musculus* IGHV5-9-2*01 (87.8%) -(IGHD) -IGHJ3*01 (93.3%)/*Homo sapiens* IGHV3-23*04 (86.7%) -(IGHD) -IGHJ6*01 (90.9%)) CDR-IMGT [8.8.11] (26-33.51-58.97-107) (1-118)-*Homo sapiens* IGHG4*01, G4v5 h P10, G4v22 CH2 T16, P91, CH3 A114 (CH1 (119-216), bisagra 1-12 S10>P (226) (217-228), CH2 S16>T (252), V91>P (306) (229-338), CH3 N114>A (432) (339-443), CHS (444-445)) (119-445)], (132-218')-disulfuro con la cadena ligera kappa (1'-218') [V-KAPPA (*Mus musculus* IGKV3-2*01 (92.9%) -IGKJ1*01 (100%)/*Homo sapiens* IGKV3D-11*02 (64.9%) -IGKJ4*01 (90.9%)) CDR-IMGT [10.3.9] (27-36.54-56.93-101) (1'-111') -*Homo sapiens* IGKC*01 (100%), Km3 A45.1 (157), V101 (195) (112'-218')]; dímero (224-224'.227-227")-bisdisulfuro, producido en las células ováricas de hámster chino (CHO), forma glicosilada alfa

Heavy chain / Chaîne lourde / Cadena pesada
 EVQLVQSGGG LVQPQGLSLK SCAASCGFTFS SYGMSWVRQA PGKGLDWVAT 50
 ISGGGRDTYY PDSDKGRFTI SRDNSSKNLYL LQMNSLRAED TALYCARQK 100
 GEAWFAYWGQ GTLTVTSSAS TKGFSVFPLA PCSRSTSEST AALGCLVKDY 150
 FPEPVTVWSN SGALTSGVHT FFPAVLQSSGL YSLSSVVTVP SSSLGFKTTVY 200
 CNVDHKPSTN KVDKRKVESKY GPCPCPFAPC EFLGGPSVFL FPFPKPDKTM 250
 ITRPEVTCV VVVDVSQDPE VQFNWVVDVG EVHNNAKTKPR EEQFNSTYRV 300
 VSVLTLHQD WLNGKEYKCK VSNKGLPSSI EKTISKAKGQ PREPVQVTLP 350
 PSQEEMTNQ VSLTCLVKGF YPSDIAVEWEE SNGQPENNYK TPPVLDSDG 400
 SFFFLYSRLTV DKSRWQEGNV FSCSVMHEAL HAHYTQKSLS LSLGK 445

Light chain / Chaîne légère / Cadena ligera
 DIVLTQSPAS LAVSEPGQRAT ITCRASESVND NYGISFMNWQ QOKPGQQPKL 50
 LIYAASNKG7 GVPARFSGSG SGDFTFLNIN PMEENDTAMY FCQOSKEVFW 100
 TFGGGTKLEI KRTVAAPSPV IFPPFSDEQIK SGTASVVCLL NNFYPRREAKV 150
 QWKVDNALQSG NSGSQESTVTEQ DSKDSTYSL5 STLTLSKADY EKHKVYACEV 200
 THQGLSSPVT KSFNRNGEC 218

Post-translational modifications
 Disulfide bridges location / Position des ponts disulfure / Posiciones de los puentes disulfuro
 Intra-H (C23-C104) 22'-96" 145-201" 259-319" 365-423"
 22"-96" 145"-201" 259"-319" 365"-423"
 Intra-L (C23-C104) 23"-92" 138"-198"
 23"-92" 138"-198"
 Inter-H-L (CH1 10-CL 126) 132-218" 132"-218"
 Inter-H-H (h 8, h 11) 224-224" 227-227"

N-glycosylation sites / Sites de N-glycosylation / Posiciones de N-glicosilación
 H CH2N84.4:
 295, 295"
 Fucosylated complex bi-antennary CHO-type glycans / glycanes de type CHO bi-antennaires complexes fucosylés / glicanos de tipo CHO biantenarios complejos fucosilados.

C-terminal lysine clipping / Coupure de la lysine C-terminale / Recorte de lisina C-terminal
 H CHS K2:
 445, 445"

pulrodemstatum

pulrodemstat

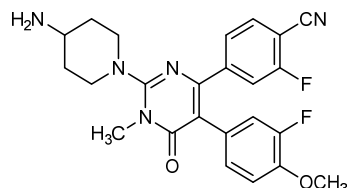
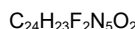
4-[2-(4-aminopiperidin-1-yl)-5-(3-fluoro-4-methoxyphenyl)-1-methyl-6-oxo-1,6-dihdropyrimidin-4-yl]-2-fluorobenzonitrile

pulrodemstat

4-[2-(4-aminopiperidin-1-yl)-5-(3-fluoro-4-méthoxyphényl)-1-méthyl-6-oxo-1,6-dihdropyrimidin-4-yl]-2-fluorobenzonitrile

pulrodemstat

4-[2-(4-aminopiperidin-1-il)-5-(3-fluoro-4-metoxifenil)-1-metil-6-oxo-1,6-dihidropirimidin-4-il]-2-fluorobenzonitrilo

**quaratusugenum ozeplasmidum #**

quaratusugene ozeplasmid

A DNA plasmid encoding tumour suppressor candidate 2 (TUSC2).

A DNA plasmid encoding tumour suppressor candidate 2 (TUSC2), also referred to as fusion 1 protein (FUS1), under the control of an adenovirus E1 enhancer, human cytomegalovirus (hCMV) immediate early enhancer/ promoter and a bovine growth hormone (bGH) polyadenylation signal (polyA). The plasmid also contains a pMB1origin of replication and a NeoR/KanR antibiotic resistance coding sequence.

quaratusugène ozéplasmide

Un plasmide d'ADN codant pour le candidat 2 suppresseur de tumeur (TUSC2).

Un plasmide d'ADN codant pour le candidat 2 suppresseur de tumeur (TUSC2), aussi appelé la protéine de fusion (FUS1), sous le contrôle d'un activateur de l'adénovirus E1, du promoteur/activateur précoce immédiat du cytomégalovirus humain (hCMV) et d'un signal de polyadénylation (polyA) de l'hormone de croissance bovine (bGH). Le plasmide contient aussi une origine de réPLICATION pMB1 et une séquence codant une résistance aux antibiotiques NeoR/KanR.

quaratusugén ozeplásmodo

Un plásmido de DNA que codifica para el candidato supresor de tumores 2 (TUSC2).

Un plásmido de DNA que codifica para el candidato supresor de tumores 2 (TUSC2), también referido como proteína de fusión 1 (FUS1), bajo el control de un potenciador E1 de adenovirus, un potenciador/promotor inmediato temprano de citomegalovirus humano (hCMV) y una señal de poliadenilación (polyA) de la hormona de crecimiento bovina (bGH). El plásmido también contiene un origen de replicación pMB1 y una secuencia NeoR/KanR que codifica para la resistencia a antibióticos.

quemliclustatum

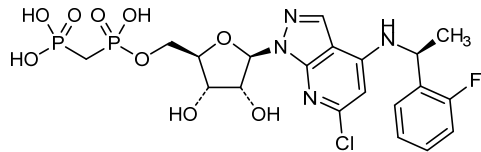
quemliclustat

2-chloro-*N*⁶-[(1*S*)-1-(2-fluorophenyl)ethyl]-8-aza-1,7-dicarbaadenosine 5'-(trihydrogen 2-carbadiphosphate)

quémliclustat

2-chloro-*N*⁶-[(1*S*)-1-(2-fluorophényl)éthyl]-8-aza-1,7-dicarbaadenosine 5'-(trihydrogénico-2-carbadiphosphate)

quemliclustat

2-cloro-*N*⁶-[(1*S*)-1-(2-fluorofenil)etil]-8-aza-1,7-dicarbaadenosina 5'-(trihidrógeno-2-carbadifosfato)**retlirafuspum alfa #**

retlirafusp alfa

human immunoglobulin G4-kappa anti-(human programmed cell death 1 ligand 1, PD-L1) variant (H⁵²>G, G⁵⁷>F, S²²⁷>P, F²³³>A, L²³⁴>A, K⁴⁴⁶>A in the heavy chain and N⁸⁵>E in the light chain), fused at the C-terminus of both heavy chains (1-446) via peptidyl linker ⁴⁴⁷GGGGSGGGGGSGGGGGSG⁴⁶⁷ to human transforming growth factor β type II (TGFR-2) extracellular fragment (20-136, 468-584 in the current sequence), dimer; glycosylated; produced in Chinese hamster ovary (CHO) cells;

immunoglobulin G4-kappa, anti-[*Homo sapiens* programmed cell death 1 ligand 1 (PD-L1, programmed death ligand 1, PDCD1 ligand 1, B7 homolog 1, B7-H1, CD274)], *Homo sapiens* monoclonal antibody, fused at the C-terminus of both heavy chains via a (G₄S)₄G peptide linker (447-467) to fragment 20-136 of the extracellular domain of transforming growth factor β receptor type II (*Homo sapiens* TGF-β receptor 2, TGFR-2, TGFRB2) (468-584);

gamma4 heavy chain *Homo sapiens* (1-446) [*Homo sapiens*IGHV1-46*01; *Homo sapiens*IGHJ4*01; *Homo sapiens*IGHG4*01; VH: 1-119 (H52G G57F); CH1: 120-217; hinge 218-229 (S227P); CH2: 230-339 (F233A L234A); CH3: 340-444; CHS: 445-446 (K446A); CDRKabatH1: SYWMH (31-35); CDRKabatH2: RIGPNSGFTSYNEKFKN (50-66); CDRKabatH3: GGSSYDYFDY (99-108)]; (133-218')-disulfide with kappa light chain *Homo sapiens* (1'-218') [*Homo sapiens*IGKV4-1*01; *Homo sapiens*IGKJ2*01; *Homo sapiens*IGKC*01; VL: 1-111 (N85E); CL: 112-218; CDRKabatL1: RASESVSIHGTHLMH (24-38); CDRKabatL2: AASNLES (54-60); CDRKabatL: QQSfedPLT (93-101)]; dimer (225-225":228-228")-bisdisulfide, produced in Chinese hamster ovary (CHO) cells, glycoform alfa

rétilrafusp alfa

immunoglobuline G4-kappa humaine anti-(ligand 1 humain de mort cellulaire programmée 1, PD-L1) variant (H⁵²>G, G⁵⁷>F, S²²⁷>P, F²³³>A, L²³⁴>A, K⁴⁴⁶>A dans la chaîne lourde et N⁸⁵>E dans la chaîne légère), fusionné à la partie C-terminale des deux chaînes lourdes (1-446) via le linker peptidique ⁴⁴⁷GGGGSGGGGSGGGGGSG⁴⁶⁷ au fragment extracellulaire (20-136, 468-584 dans la séquence actuelle) du récepteur de type II du facteur β de croissance transformant humain (TGFR-2), dimère; glycosylé; produit dans des cellules ovarianes de hamster chinois (CHO); immunoglobuline G4-kappa, anti-[ligand 1 de mort cellulaire programmée 1 d'*Homo sapiens* (PD-L1, ligand 1 de PDCD1, homologue 1 de B7, B7-H1, CD274)], anticorps monoclonal d'*Homo sapiens*, fusionnée à la partie C-terminale des deux chaînes lourdes via un linker peptidique (G₄S)₄G (447-467) au fragment 20-136 du domaine extracellulaire du récepteur de type II du facteur β de croissance transformant (récepteur 2 de TGF-β d'*Homo sapiens*, TGFR-2, TGFRB2) (468-584); chaîne lourde gamma4 d'*Homo sapiens* (1-446) [*Homo sapiens* IGHV1-46*01; *Homo sapiens* IGHJ4*01; *Homo sapiens*IGHG4*01; VH: 1-119 (H52G G57F); CH1: 120-217; charnière 218-229 (S227P); CH2: 230-339 (F233A L234A); CH3: 340-444; CHS: 445-446 (K446A); CDRKabath1: SYWMH (31-35); CDRKabath2: RIGPNNSGFTSYNEKFKN (50-66); CDRKabath3: GGSSYDYFDY (99-108)], (133-218')-disulfure avec la chaîne légère kappa d'*Homo sapiens* (1'-218') [*Homo sapiens* IGKV4-1*01; *Homo sapiens* IGKJ2*01; *Homo sapiens* IGKC*01; VL: 1-111 (N85E); CL: 112-218; CDRKabatL1: RASESVSIHGTHLMH (24-38); CDRKabatL2: AASNLES (54-60); CDRKabatL: QQSFEDEPLT (93-101)]; dimère (225-225":228-228")-bisdisulfure, produite dans des cellules ovarianes de hamster chinois (CHO), glicoforme alfa

retlirafusp alfa

inmunoglobulina G4-kappa humana anti-(muerte celular programada 1 humana ligando 1, PD-L1) variante (H⁵²>G, G⁵⁷>F, S²²⁷>P, F²³³>A, L²³⁴>A, K⁴⁴⁶>A en la cadena pesada y N⁸⁵>E en la cadena ligera), fusionado al C-terminal de ambas cadenas pesadas (1-446) a través de un enlace peptídil ⁴⁴⁷GGGGSGGGGSGGGGGSG⁴⁶⁷ al factor de crecimiento transformante β tipo II humano (TGFR-2) fragmento extracelular (20-136, 468-584 en la secuencia actual), dímero; glicosilado; producido en células ováricas de hámster chino (CHO); inmunoglobulina G4-kappa, anti-[*Homo sapiens* ligando 1 de muerte programada (PD-L1, ligando 1 de PDCD1, homólogo 1 de B7, B7-H1, CD274)], anticuerpo monoclonal *Homo sapiens*, fusionado en los residuos C-terminales de ambas cadenas pesadas a través de un péptido conector (G₄S)₄G (447-467) con el fragmento 20-136 del dominio extracelular del receptor de tipo II del factor β de crecimiento transformante (receptor 2 de TGF-β de *Homo sapiens*, TGFR-2, TGFRB2) (468-584); cadena pesada gamma4 *Homo sapiens* (1-446) [*Homo sapiens* IGHV1-46*01; *Homo sapiens* IGHJ4*01; *Homo sapiens*IGHG4*01; VH: 1-119 (H52G G57F); CH1: 120-217; hinge 218-229 (S227P); CH2: 230-339 (F233A L234A); CH3: 340-444; CHS: 445-446 (K446A); CDRKabath1: SYWMH (31-35); CDRKabath2: RIGPNNSGFTSYNEKFKN (50-66); CDRKabath3: GGSSYDYFDY (99-108)], (133-218')-disulfuro con la cadena ligera kappa *Homo sapiens* (1'-214') [*Homo sapiens* IGKV4-1*01; *Homo sapiens* IGKJ2*01; *Homo sapiens* IGKC*01; VL: 1-111 (N85E); CL: 112-218; CDRKabatL1: RASESVSIHGTHLMH (24-38); CDRKabatL2: AASNLES (54-60); CDRKabatL: QQSFEDEPLT (93-101)]; dímero (225-225":228-228")-bisdisulfuro, producida en células ováricas de hámsters chinos (CHO), glicoforma alfa

Heavy chain / Chaîne lourde / Cadena pesada

QVQLVQSGAE VKKPGASVKV SCKASGYTFT SYWMHWVRQA PGQGLEWMGR	50
IGPNGETSY NEKFKNRVTM TDEDTSTSTVY MELSSLRSED TAVYVCARGG	100
SISDYFDYNG CGTTVTVSSA STKGPSVPEL AECCSRSTSES TAALGCLVKD	150
YFPFEPFTVSV NSGALTQKVGH TFPFAVLOSSG LYVSLSSWVTV PSSPLGTKTY	200
TNCVWDHKPSN TKVDKRVESK YGPPCPDCPA PEAGGPBVF LPFPKPKDYL	250
MISRTPEVTC VUVDVDSQEDV EVQEWNTVDDG VEVHNIAKTKP REEQFNSTYR	300
VWSVLTVLHQ DWLNGKEYKC KVSNKGGLPSS IEKTIISKAKU QPREPQVITL	350
PFSQEEMTRKN QVSLTCLVKG FYPFDIAVEW ESNQQPENM KTTTFPVLDSD	400
GSFFLYSLRT VDKSRSQWQK VESCSVMHEA SLMHNYTQKSL SLNGGGGG	450
SGGGGGGGGG SGGGGGGGAV KFPQJCRKFCD VRFSICDNQK SCMSNCSITS	500
ICEKPKQEVCV AWVRKRNDEI TLETVCHDKP LPYHDFILED AASPCKCIMKE	550
KKKPGETFFM CSCSSSECDN IUIIFSEEEYNT SNPD	584

Light chain / Chaîne légère / Cadena ligera

DIVLITQSPAS LAVSPGCRAT ITCRASESVS IHGTHLMHWY QQKPGQPPKL	50
LIYAASNLIES GVPARFSGSQ SGDFTTLTIN PVEADTANY YQQQSFEPPDL	100
TFGQGTKLIEI KRTVAAPSVF IFPPSDEQLKQ SGTASVCLL NNFYPREAKV	150
QNKVDNALQS GNSQEVSTRQ DSKDSTYSLS STLTLSKADY EKHKVYACEV	200
THQGLSSPVT KSFNRGEC	218

Mutation sites / Sites de mutation / Posiciones de mutación

H52 ^Q > ^E , G57 ^E > ^P , S227 ^P > ^A , F233 ^S > ^A , L234 ^S > ^A , K446 ^R > ^A , N85 ^R > ^E
H52 ^Q > ^E , G57 ^E > ^P , S227 ^P > ^A , F233 ^S > ^A , L234 ^S > ^A , K446 ^R > ^A , N85 ^R > ^E

Post-translational modifications / Modifications post-traductionnelles / Modificaciones postraduccionales

Disulfide bridges location / Position des ponts disulfure / Posiciones de los puentes disulfuro
Intra-H 22-96 146-202 260-320 366-424
22"-96" 146"-202" 260"-320" 366"-424"
Intra-PDL1 476-509 479-496 486-492 502-526 546-561 563-568
476"-509" 479"-496" 486"-492" 502"-526" 546"-561" 563"-568"
Intra-L 23"-02" 138"-198"
23"-02" 138"-198"
Inter-H-L 133-218" 133"-218"
Inter-H-H 225-225" 228-228"

Glycosylation sites / Sites de glycosylation / Posiciones de glicosilación

N296, N495, N519, N579,
N296", N495", N519", N579"

**N-terminal pyroglutamyl / Pyroglutamyl N-terminal / Piroglutamyl N-terminal
Q1, Q1^R>pE (5-oxo-L-prolyl, pyroglutamyl)**

ropanicantum

ropanicant

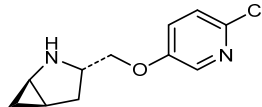
(1*R*,3*S*,5*R*)-3-{{[(6-chloropyridin-3-yl)oxy]methyl}-2-azabicyclo[3.1.0]hexane

ropanicant

(1*R*,3*S*,5*R*)-3-{{[(6-chloropyridin-3-yl)oxy]methyl}-2-azabicyclo[3.1.0]hexane

ropanicant

(1*R*,3*S*,5*R*)-3-{{[(6-cloropiridin-3-il)oxijmetil]-2-azabiciclo[3.1.0]hexano



runimotamabum

runimotamab

immunoglobulin G1-kappa, anti-[*Homo sapiens* ERBB2 (epidermal growth factor receptor 2, receptor tyrosine protein kinase erbB-2, EGFR2, HER2, HER-2, p185cerbB2, NEU, CD340)] and anti-[*Homo sapiens* CD3E (CD3 epsilon, Leu-4)], monoclonal antibody, bispecific;
gamma1 heavy chain anti-ERBB2 (1-450) [VH anti-ERBB2 (*Homo sapiens*IGHV3-66*01 (81.6%) -(IGHD) -IGHJ4*01 (100%)) CDR-IMGT [8.8.13] (26-33.51-58.97-109) (1-120) -*Homo sapiens* IGHG1*03v, G1m3>G1m17, nG1m1, G1v30 CH2 G84.4, G1v32 CH3 W22 (CH1 R120>K (217) (121-218), hinge 1-15 (219-233), CH2 N84.4>G (300) (234-343), CH3 E12 (359), M14 (361), T22>W (369) (344-448), CHS (449-450)) (121-450)], (223-214')-disulfide with kappa light chain anti-ERBB2 (1'-214') [V-KAPPA anti-ERBB2 (*Homo sapiens*IGKV1-39*01 (86.3%) -IGKJ1*01 (100%)) CDR-IMGT [6.3.9] (27-32.50-52.89-97) (1'-107') -*Homo sapiens* IGKC*01 (100%), Km3 A45.1 (153), V101 (191) (108'-214')];

	gamma1 heavy chain anti-CD3E (1"-449") [VH anti-CD3E (<i>Mus musculus</i> IGHV1-66*01 (82.7%) -(IGHD) -IGHJ2*01 (86.7%)/ <i>Homo sapiens</i> anti-CD3E IGHV1-3*01(82.7%) -(IGHD) -IGHJ4*01 (100%)) CDR-IMGT [8.8.12] (26-33.51-58.97-108) (1"-119") - <i>Homo sapiens</i> IGHG1*03v, G1m3>G1m17, nG1m1, G1v30 CH2 G84.4, G1v33 CH3 S22, A24, V86 (CH1 R120>K (216) (120"-217"), hinge 1-15 (218"-232"), CH2 N84.4>G (299) (233-342), CH3 E12 (358), M14 (360), T22>S (368), L24>A (370), Y86>V (409) (343"-447"), CHS (448"-449")] (120"-449"), (222"-219")-disulfide avec la chaîne légère kappa anti-CD3E (1"-219") [V-KAPPA anti-CD3E (<i>Homo sapiens</i> IGKV4-1*01 (91.8%) -IGKJ1*01 (100%)) CDR-IMGT [12.3.8] (27-38.56-58.95-102) (1"-112") - <i>Homo sapiens</i> IGKC*01 (100%), Km3 A45.1 (158), V101 (196) (113"-219")]; dimer (229-228":232-231")-bisdisulfide, produit dans des cellules ovaries de hamster chinois (CHO), non-glycosylated
runimotamab	immunoglobuline G1-kappa, anti-[<i>Homo sapiens</i> ERBB2 (récepteur 2 du facteur de croissance épidermique, récepteur tyrosine-protéine kinase erbB2, EGFR2, HER2, HER-2, p185c-erbB2, NEU, CD340]) et anti-[<i>Homo sapiens</i> CD3E (CD3 epsilon, Leu-4)], anticorps monoclonal, biespécifique; chaîne lourde gamma1 anti-ERBB2 (1-450) [VH anti-ERBB2 (<i>Homo sapiens</i> IGHV3-66*01 (81.6%) -(IGHD) -IGHJ4*01 (100%)) CDR-IMGT [8.8.13] (26-33.51-58.97-109) (1-120) - <i>Homo sapiens</i> IGHG1*03v, G1m3>G1m17, nG1m1, G1v30 CH2 G84.4, G1v32 CH3 W22 (CH1 R120>K (217) (121-218), charnière1-15 (219-233), CH2 N84.4>G (300) (234-343), CH3 E12 (359), M14 (361), T22>W (369), (344-448), CHS (449-450)) (121-450)], (223-214')-disulfure avec la chaîne légère kappa anti-ERBB2 (1'-214') [V-KAPPA anti-ERBB2 (<i>Homo sapiens</i> IGKV1-39*01 (86.3%) -IGKJ1*01 (100%)) CDR-IMGT [6.3.9] (27-32.50-52.89-97) (1'-107') - <i>Homo sapiens</i> IGKC*01 (100%), Km3 A45.1 (153), V101 (191) (108'-214')]; chaîne lourde gamma1 anti-CD3E (1"-449") [VH anti-CD3E (<i>Mus musculus</i> IGHV1-66*01 (82.7%) -(IGHD) -IGHJ2*01 (86.7%)/ <i>Homo sapiens</i> IGHV1-3*01 (82.7%) -(IGHD) -IGHJ4*01 (100%)) CDR-IMGT [8.8.12] (26-33.51-58.97-108) (1"-119") - <i>Homo sapiens</i> IGHG1*03v, G1m3>G1m17, nG1m1, G1v30 CH2 G84.4, G1v33 CH3 S22, A24, V86 (CH1 R120>K (216) (120"-217"), charnière1-15 (218"-232"), CH2 N84.4>G (299) (233-342), CH3 E12 (358), M14 (360), T22>S (368), L24>A (370), Y86>V (409) (343"-447"), CHS (448"-449")] (120"-449"), (222"-219")-disulfure avec la chaîne légère kappa anti-CD3E (1"-219") [V-KAPPA anti-CD3E (<i>Homo sapiens</i> IGKV4-1*01 (91.8%) -IGKJ1*01 (100%)) CDR-IMGT [12.3.8] (27-38.56-58.95-102) (1"-112") - <i>Homo sapiens</i> IGKC*01 (100%), Km3 A45.1 (158), V101 (196) (113"-219")]; dimère (229-228":232-231")-bisulfure, produit dans des cellules ovariennes de hamster chinois (CHO), non-glycosylé
runimotamab	inmunoglobulina G1-kappa, anti-[<i>Homo sapiens</i> ERBB2 (receptor 2 del factor de crecimiento epidérmico, receptor tirosina-proteína kinasa erbB2, EGFR2, HER2, HER-2, p185c-erbB2, NEU, CD340]) y anti-[<i>Homo sapiens</i> CD3E (CD3 épsilon, Leu-4)], anticuerpo monoclonal, biespecífico; cadena pesada gamma1 anti-ERBB2 (1-450) [VH anti-ERBB2 (<i>Homo sapiens</i> IGHV3-66*01 (81.6%) -(IGHD) -IGHJ4*01 (100%)) CDR-IMGT [8.8.13] (26-33.51-58.97-109) (1-120) - <i>Homo sapiens</i> IGHG1*03v, G1m3>G1m17, nG1m1, G1v30 CH2 G84.4, G1v32 CH3 W22 (CH1 R120>K (217) (121-218), bisagra 1-15 (219-233), CH2 N84.4>G (300) (234-343), CH3 E12 (359), M14 (361), T22>W (369), (344-448), CHS (449-450)) (121-450)], (223-214')-disulfuro con la cadena ligera kappa anti-ERBB2 (1'-214') [V-KAPPA anti-ERBB2 (<i>Homo sapiens</i> IGKV1-39*01 (86.3%) -IGKJ1*01 (100%)) CDR-IMGT [6.3.9] (27-32.50-52.89-97) (1'-107') - <i>Homo sapiens</i> IGKC*01 (100%), Km3 A45.1 (153), V101 (191) (108'-214')];

cadena pesada gamma1 anti-CD3E (1"-449") [VH anti-CD3E (*Mus musculus* IGHV1-66*01 (82.7%) -(IGHD) -IGHJ2*01 (86.7%)/*Homo sapiens* IGHV1-3*01 (82.7%) -(IGHD) -IGHJ4*01 (100%)) CDR-IMGT [8.8.12] (26-33.51-58.97-108) (1"-119") -*Homo sapiens* IGHG1*03v, G1m3>G1m17, nG1m1, G1v30 CH2 G84.4, G1v33 CH3 S22, A24, V86 (CH1 R120>K (216) (120"-217"), bisagra 1-15 (218"-232"), CH2 N84.4>G (299) (233-342), CH3 E12 (358), M14 (360), T22>S (368), L24>A (370), Y86>V (409) (343"-447"), CHS (448"-449")) (120"-449")], (222"-219")-disulfuro con la cadena ligera kappa anti-CD3E (1"-219") [V-KAPPA anti-CD3E (*Homo sapiens* IGKV4-1*01 (91.8%) -IGKJ1*01 (100%)) CDR-IMGT [12.3.8] (27-38.56-58.95-102) (1"-112") -*Homo sapiens* IGKC*01 (100%), Km3 A45.1 (158), V101 (196) (113"-219")]; dímero (229-228"-232-231")-bidisulfuro, producido en las células ováricas de hámster chino (CHO), no glicosilado

Heavy chain / Chaîne lourde / Cadena pesada (anti-ERBB2)

EVQLVESGGGV LVQPGGSLRL SCAASGNFIK DTYIHWVRQA PGKGLEWVAR 50 IYPTNGYTRY ADSVKGRFTI SADTSKNTAY LQMNLSLRAED TAVYYCSRWG 100 GDGFYAMDW GQGTLTVTSS ASTKGPSVFF LAPFSKSTSG GTAALGCLVK 150 DYPFEPPVTWS WNSGALTSGV HTFPAPVLIQSS GLYSLSVVTT VPSSSLGTQT 200 YICVNHHKPS NTKVDKVKEP KSCDKTHTCP PCPAPELLGG PSVFLFPKPK 250 KDTLMISRTP ETCVTVVDSV HEDPEVKFENW YVDGVEVHNNA KTKPREEQYG 300 STYRVSVLT VLHQDWLNKGK EYKKCVSNKA LPAPIEKTTIS KAKGQPQEPQ 350 VTYLPSPSREEM MTKNQVSLWC LVKGYEPVPSDI AVEWESNGQP ENNYKTTPV 400 LDDSGSFPLY SKLTVDKSRWQ QQGNVFSCCSV MHEALHNHYT QKSLSLSPGK 450

Heavy chain / Chaîne lourde / Cadena pesada (anti-CD3E)

EVQLVQSGAE VKKPAGASVKV SCKASGTYFT NYIYHWVRQA PGQGLEWIGW 50 IYPGDGNTKY NEFKFGRATL TADTSTSTAY LEISSLRSED TAVYYCARDS 100 YSNYYFDYNG QGTLLTVVSSA STKGPSVFL APSSKSTSGG TAALGCLVKD 150 YFPEPVTVSW NSGALTSGVH TFPAVLQSSG LYSLSSVVIV PSSSLGTQTY 200 ICNVNHHKPS TKVDDKVEPK SCDKTHTCPF CPAPELLGGP SVFLFPKPK 250 DILMISRTPE VTCVTVVDSV EDPEVKFENWY VDGVEVHNNAK TKPREEQYGS 300 TYRVSVLTIV LHQDWLNKGK YKCKVSNKA LPAPIEKTTIS AKGQPQEPQV 350 YTLPPSREEM TNQNQVSLSCA VKGKFPSDIA VEWESENQEE NNYKTTPV 400 DSDGSFFLVS KLTVDKSRWQ QQGNVFSCCSV MHEALHNHYT QKSLSLSPGK 449

Light chain / Chaîne légère / Cadena ligera (anti-ERBB2)

DIQMTQSPSS LSASVGDRVT ITCRASQDVN TAVAWEYQQRP GKAPKLLIYS 50 ASFLYSGVPSS RFSGRSRGTDF FTIITQSLQF EDFATYTCQG HYTTPTFQG 100 GTKVEIKRTV AAPSVTIPPF SDEQLIKSGTA SVVCLLNNFY PREAKVQKV 150 DNALQSGNSQ ESVTEQDSKD STYSLSTLT LSKADYEKHK VYACEVTHQG 200 LSSPVTKSFN RGBC 214

Light chain / Chaîne légère / Cadena ligera (anti-CD3E)

DIVMTQSPDS LAVSGLERAT INCKSSQSLI NSRTRKNYLA WYQQKPGQPP 50 KLLIYWASTR ESGVPDRFSG SGSGTDFLIT ISSLQAEQDVW VYCTQSFIL 100 RTFGGGTKVE IKRTVAAPSV FIFPPSDEQL KSGTASVWL LNNFYPREAK 150 VQWKVDNALQ SGNSQESVTE QDSKDSTYSL SSTLTLSKAD YEKHKVYACE 200 VTHQGLSSPV TKSFNRGEC 219

Post-translational modifications

Disulfide bridges location / Position des ponts disulfure / Posiciones de los puentes disulfuro
 Intra-H (C23-C104) 22-96 147-203 264-324 370-428
 22"-96" 146"-202" 263"-323" 369"-427"
 Intra-L (C23-C104) 23"-88" 134"-194"
 23"-94" 139"-199"
 Inter-H-L (h 5-CL 126) 223-214" 222"-219"
 Inter-H-H (h 11, h 14) 229-228" 232-231"

No N-glycosylation sites / pas de sites de N-glycosylation / ningún sitio de N-glicosilación
 CH2 N84.4-G:
 300, 299"

Aglycosylated

C-terminal lysine clipping / Coupure de la lysine C-terminale / Recorte de lisina C-terminal
 H CHS K2:
 450, 449"



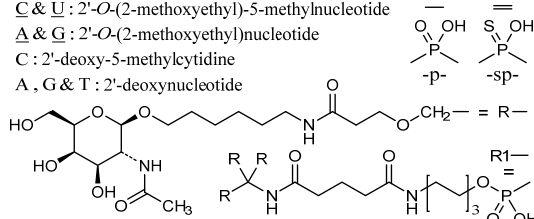
(3'-5') R1-C=U-U-U-A-d(T=T=C=C=A=A=G=G=G)C-A-G=C=U
Legend:

C & U : 2'-O-(2-methoxyethyl)-5-methylnucleotide

A & G : 2'-O-(2-methoxyethyl)nucleotide

C : 2'-deoxy-5-methylcytidine

A , G & T : 2'-deoxynucleotide



sesiclenegenum cosaparvovecum

sesiclenegene cosaparvovect

A non-replicating self-complementary adeno-associated virus (scAAV) vector encoding human ceroid-lipofuscinosis neuronal protein 6.

A recombinant non-replicating self-complementary adeno-associated virus serotype 9 (scAAV9) vector, encoding human ceroid-lipofuscinosis neuronal protein 6 (CLN6), under the control of a hybrid CMV enhancer/chicken-beta-actin promoter and a bovine growth hormone (bGH) polyA sequence, with an SV40 intron 5' to the transgene, and flanked by AAV2 inverted terminal repeats (ITRs). The vector genome is a head-to-head, self-complementary dimer, with the vector genome cassette located 5' of the mutated internal inverted terminal repeat (Δ -ITR) in a reverse complementary orientation and 3' of the Δ -ITR in a forward orientation.

sésiclénégène cosaparvovect

Un vecteur viral adéno-associé auto-complémentaire (scAAV) non-répliquant codant la protéine neuronale céroïde-lipofuscinose 6 humaine.

Un vecteur viral adéno-associé de sérotype 9 auto-complémentaire (scAAV9), recombinant, non-répliquant, codant la protéine neuronale céroïde-lipofuscinose 6 (CLN6) humaine, sous le contrôle de l'activateur hybride CMV/promoteur de la bêta-actine de poulet et d'une séquence polyA de l'hormone de croissance bovine (bGH), avec un intron SV40 dans la partie 5' du transgène, et flanquée de répétitions terminales inversées (ITRs) AAV2. Le génome du vecteur est un dimère en tête à tête, auto-complémentaire, avec la cassette génomique du vecteur localisée en 5' des répétitions terminales internes inversées mutées (Δ -ITR) en une orientation complémentaire inverse et en 3' de la Δ -ITR en une orientation en avant.

sesiclenegén cosaparvovect

Un vector de virus adeno-asociado auto complementario (scAAV), no replicativo, que codifica para la proteína 6 de la lipofuscinosis neuronal ceroidea humana.

Un vector de virus adeno-asociado serotipo 9 auto complementario (scAAV9), recombinante, no replicativo, que codifica para la proteína 6 de la lipofuscinosis neuronal ceroidea (CLN6) humana, bajo el control de un híbrido del potenciador de CMV/promotor de la beta actina de pollo y una secuencia polyA de la hormona de crecimiento bovina (bGH), con un intrón de SV40 en 5' del transgén, y flanqueado por las repeticiones terminales invertidas (ITRs) del AAV2. El genoma del vector es un dímero cabeza con cabeza auto complementario, con el casete del genoma del vector localizado 5' de la repetición terminal invertida mutada (Δ -ITR) en una orientación complementaria reversa y 3' de (Δ -ITR) en orientación hacia delante.

sibeprenlimab #

sibeprenlimab

immunoglobulin G2-kappa, anti-[*Homo sapiens* TNFSF13 (tumor necrosis factor (TNF) superfamily member 13, APRIL, CD256)], humanized monoclonal antibody; gamma2 heavy chain humanized (1-446) [VH (*Homo sapiens*IGHV1-46*01 (85.7%) -(IGHD)-IGHJ4*01 (100%)) CDR-IMGT [8.8.13] (26-33.51-58.97-109) (1-120) -*Homo sapiens*IGHG2*01 (100%), G2m.. CH2 V45.1 (CH1 (121-218), hinge 1-12 (219-230), CH2 V45.1 (281) (231-339), CH3 (340-444), CHS (445-446)) (121-446)], (134-218')-disulfide with kappa light chain humanized (1'-218') [V-KAPPA (*Homo sapiens*IGKV3-15*01 (85.9%) -IGKJ4*01 (100%)) CDR-IMGT [10.3.9] (27-36.54-56.93-101) (1'-111') -*Homo sapiens*IGKC*01 (100%), Km3 A45.1 (157), V101 (195) (112'-218')]; dimer (222-222":223-223":226-226":229-229")-tetrakisdisulfide, produced in a Chinese hamster ovary (CHO)-K1 derived cell line, glycoform alfa

sibéprenlimab

immunoglobuline G2-kappa, anti-[*Homo sapiens* TNFSF13 (membre 13 de la superfamille du facteur de nécrose tumorale, APRIL, CD256)], anticorps monoclonal humanisé; chaîne lourde gamma2 humanisée (1-446) [VH (*Homo sapiens*IGHV1-46*01 (85.7%) -(IGHD)-IGHJ4*01 (100%)) CDR-IMGT [8.8.13] (26-33.51-58.97-109) (1-120) -*Homo sapiens*IGHG2*01 (100%), G2m.. CH2 V45.1 (CH1 (121-218), charnière 1-12 (219-230), CH2 V45.1 (281) (231-339), CH3 (340-444), CHS (445-446)) (121-446)], (134-218')-disulfure avec la chaîne légère kappa humanisée (1'-218') [V-KAPPA (*Homo sapiens*IGKV3-15*01 (85.9%) -IGKJ4*01 (100%)) CDR-IMGT [10.3.9] (27-36.54-56.93-101) (1'-111') -*Homo sapiens*IGKC*01 (100%), Km3 A45.1 (157), V101 (195) (112'-218')]; dimère (222-222":223-223":226-226":229-229")-tétrakisdisulfure, produite dans une lignée cellulaire dérivée des cellules ovarianes de hamster chinois (CHO)-K1, glycoforme alfa

sibemprelimab

inmunoglobulina G2-kappa, anti-[*Homo sapiens* TNFSF13 (miembro 13 de la superfamilia del factor de necrosis tumoral, APRIL, CD256)], anticuerpo monoclonal humanizado; cadena pesada gamma2 humanizada (1-446) [VH (*Homo sapiens*IGHV1-46*01 (85.7%) -(IGHD) -IGHJ4*01 (100%)) CDR-IMGT [8.8.13] (26-33.51-58.97-109) (1-120) -*Homo sapiens*IGHG2*01 (100%), G2m.. CH2 V45.1 (CH1 (121-218), bisagra 1-12 (219-230), CH2 V45.1 (281) (231-339), CH3 (340-444), CHS (445-446)) (121-446)], (134-218')-disulfuro con la cadena ligera kappa humanizada (1'-218') [V-KAPPA (*Homo sapiens*IGKV3-15*01 (85.9%) -IGKJ4*01 (100%)) CDR-IMGT [10.3.9] (27-36.54-56.93-101) (1'-111') -*Homo sapiens*IGKC*01 (100%), Km3 A45.1 (157), V101 (195) (112'-218')]; dímero (222-222":223-223":226-226":229-229")-tetrakisdisulfuro, producido en una línea celular derivada de las células ováricas de hámster chino (CHO)-K1, forma glicosilada alfa

Heavy chain / Chaîne lourde / Cadena pesada
 QVQLVQSGAE VKKPGASVKV SCKASGYTFT DYTIIHWVFQA TGQGLEWMGW 50
 IYPLRGSI NYAQKFQGRVTM TADKS1STVY MELSSLRSED TAVYFCARIG 100
 AYYSNAFDYY GGGTLVTVSS ASTKGPSVFP LAPCSRSTSE STAALGCLVK 150
 DYFPEPVTVS WNSGALTSGV HTFFAVLQSS GLYSLSLSSVTT VESSNFGQTQ 200
 YTCNVNDHKPS NTKVDKVTVER KCCVECPCPK APPVAGPSVF LFPPKKPKDYL 250
 MISRTPTEVC VVVVDVSHEDP EVQFNWYVG DVEHNAKTKP REEQFNSTRF 300
 VVSVLTVVHQ DWLNKGKEYKC KVSNKGGLPAP IEKTISKTKG QFRREPQVYTL 350
 PPSREEMTKN QVSILTCLVKG FYFPSDIAVEW ESNQGPENNY KITPPMLDSD 400
 GSFFFLYSKLK VDKSRWQQGN VFSCSVMVHEA LHNNHTQKSL SLSPGK 446

Light chain / Chaîne légère / Cadena ligera
 EIVMTQSPAT LSVPSGERAT LSCRASESVD NDGIRFLHWY QQKPGQQAPRL 50
 LIYRASRATR GIPARFSGSG SRTEFTLITIS SIQSEDFAVY YCQGSNKDPY 100
 TPGGGTKEVI KRTVAABPSVF 1FPPSDEQIKM SGTAASVVCLL NNFTYPREAKV 150
 QWKVNDALQG GNSQEVSITEQ DSKDSTYSLSS STLTLSKADY EKHKVYACEV 200
 THQGLLSPVY KSFNRGEC 218

Post-translational modifications
 Disulfide bridges location / Position des ponts disulfure / Posiciones de los puentes disulfuro
 Intra-H (C23-C104) 22-96 147-203 260-320 366-424
 22"-96" 147"-203" 260"-320" 366"-424"
 Intra-L (C23-C104) 23"-92" 138"-198"
 23"-92" 138"-198"
 Inter-H-L (CH1 10-CL 126) 134-218" 134"-218"
 Inter-H-H (h4, h 5, h 8, h 11) 222-222" 223-223" 226-226" 229-229"

N-terminal glutaminyl cyclization to pyroglutamyl (pE, 5-oxoprolyl)
 H VH Q1:
 1, 1"

N-glycosylation sites / Sites de N-glycosylation / Posiciones de N-glicosilación
 H CH2 N84.4;
 296, 296"
 Fucosylated complex bi-antennary CHO-type glycans / glycanes de type CHO bi-antennaires complexes fucosylés / glicanos de tipo CHO biantenarios complejos fucosilados.

C-terminal lysine clipping / Coupe de la lysine C-terminale / Recorte de lisina C-terminal
 H CHS K2:
 446, 446"

simpiniclinum

simpinicline

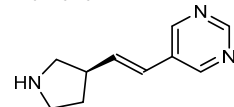
5-{(*1E*)-2-[(*3R*)-pyrrolidin-3-yl]ethen-1-yl}pyrimidine

simpinicline

5-{(*1E*)-2-[(*3R*)-pyrrolidin-3-yl]éthén-1-yl}pyrimidine

simpiniclina

5-{(*1E*)-2-[(*3R*)-pirrolidin-3-il]eten-1-il}pirimidina



sirelretigenum suboparvovecum #

sirelretigene suboparvovec

A non-replicating self-complementary adeno-associated virus serotype 8 (scAAV8) vector, encoding human cellular retinaldehyde-binding protein (CRALBP).

A recombinant non-replicating self-complementary adeno-associated virus serotype 8 (scAAV8) vector, encoding human cellular retinaldehyde-binding protein (CRALBP) under the control of the retinaldehyde-binding protein 1 promoter (pRLBP1) and terminated with SV40 polyadenylation (polyA) sequence. The vector genome is a head-to-head, self-complementary dimer, with the vector genome cassette located 5' of the mutated internal inverted terminal repeat (Δ -ITR) in a reverse complementary orientation and 3' of the Δ -ITR in a forward orientation.

sirelrétigène suboparvovec

Un vecteur du virus adéno-associé de sérotype 8 auto-complémentaire (scAAV8), non-répliquant, codant la protéinecellulaire humaine liée au rétinaldéhyde (CRALBP).

Un vecteur du virus adéno-associé de sérotype 8 auto-complémentaire (scAAV8) recombinant, non-répliquant codant la protéine cellulaire humaine liée au rétinaldéhyde (CRALBP) sous le contrôle du promoteur de la protéine 1 liée au rétinaldéhyde (pRLBP1) et terminé par la séquence polyadénylée (polyA) SV40. Le génome du vecteur est un dimère en tête à tête, auto-complémentaire, avec la cassette génomique du vecteur localisée en 5' des répétitions terminales internes inversées mutées (Δ -ITR) en une orientation complémentaire inverse et en 3' de la Δ -ITR en une orientation en avant.

sirelretigén suboparvovec

Un vector de virus adeno-asociado serotipo 8 auto complementario (scAAV8), no replicativo, que codifica para la proteína de unión a retinaldehído celular (CRALBP) humana.

Un vector de virus adeno-asociado serotipo 8 auto complementario (scAAV8) recombinante, no replicativo, que codifica para la proteína de unión a retinaldehído celular (CRALBP) humana bajo el control del promotor de la proteína de unión a retinaldehído 1 (pRLBP1) y terminado por la secuencia de poliadenilación (polyA) de SV40. El genoma del vector es un dímero cabeza con cabeza auto complementario, con el casete del genoma del vector localizado 5' de la repetición terminal invertida mutada (Δ -ITR) en una orientación complementaria reversa y 3' de (Δ -ITR) en orientación hacia delante.

sudubrilimabum #

sudubrilimab

immunoglobulin G1-kappa, anti-[*Homo sapiens* CD274 (programmed death ligand 1, PDL1, PD-L1, B7 homolog 1, B7H1)], monoclonal antibody;

gamma1 heavy chain (1-447) [VH (*Homo sapiens* IGHV3-23*04 (85.7%) -(IGHD) -IGHJ4*01 (100%)) CDR-IMGT [8.8.11] (26-33.51-58.97-107) (1-118) - *Homo sapiens* IGHG1*03v G1m3>G1m17, nG1m1 (CH1 R120>K (215) (119-216), hinge 1-15 (217-231), CH2 N84.4>A (298) (232-341), CH3 E12 (357), M14 (359) (342-446), CHS K>del (447)) (119-447)], (221-214')-disulfide with kappa light chain (1'-214') [V-KAPPA (*Homo sapiens* IGKV1-12*01 (90.0%) -IGKJ1*01 (100%)) CDR-IMGT [6.3.9] (27-32.50-52.89-97) (1'-107') -*Homo sapiens* IGKC*01 (100%), Km3 A45.1 (153), V101 (191) (108'-214')]; dimer (227-227":230-230")-bisdisulfide, produced in a Chinese hamster ovary (CHO)-K1 cell line, non-glycosylated

sudubrilimab

immunoglobuline G1-kappa, anti-[*Homo sapiens* CD274 (ligand 1 de mort programmée, PDL1, PD-L1, homologue 1 de B7, B7H1)], anticorps monoclonal; chaîne lourde gamma1 (1-447) [VH (*Homo sapiens* IGHV3-23*04 (85.7%) -(IGHD) -IGHJ4*01 (100%)) CDR-IMGT [8.8.11] (26-33.51-58.97-107) (1-118) - *Homo sapiens* IGHG1*03v G1m3>G1m17, nG1m1 (CH1 R120>K (215) (119-216), charnière 1-15 (217-231), CH2 N84.4>A (298) (232-341), CH3 E12 (357), M14 (359) (342-446), CHS K>del (447)) (119-447)], (221-214')-disulfure avec la chaîne légère kappa (1'-214') [V-KAPPA (*Homo sapiens* IGKV1-12*01 (90.0%) -IGKJ1*01 (100%)) CDR-IMGT [6.3.9] (27-32.50-52.89-97) (1'-107') -*Homo sapiens* IGKC*01 (100%), Km3 A45.1 (153), V101 (191) (108'-214')]; dimère (227-227":230-230")-bisdisulfure, produit dans des cellules ovaries de hamster chinois (CHO) lignée cellulaire CHO-K1, non-glycosylé

sudubrilimab

inmunoglobulina G1-kappa, anti-[*Homo sapiens* CD274 (ligando 1 de muerte programada, PDL1, PD-L1, homólogo 1 de B7, B7H1)], anticuerpo monoclonal; cadena pesada gamma1 (1-447) [VH (*Homo sapiens* IGHV3-23*04 (85.7%) -(IGHD) -IGHJ4*01 (100%)) CDR-IMGT [8.8.11] (26-33.51-58.97-107) (1-118) - *Homo sapiens* IGHG1*03v G1m3>G1m17, nG1m1 (CH1 R120>K (215) (119-216), bisagra 1-15 (217-231), CH2 N84.4>A (298) (232-341), CH3 E12 (357), M14 (359) (342-446), CHS K>del (447)) (119-447)], (221-214')-disulfuro con la cadena ligera kappa (1'-214') [V-KAPPA (*Homo sapiens* IGKV1-12*01 (90.0%) -IGKJ1*01 (100%)) CDR-IMGT [6.3.9] (27-32.50-52.89-97) (1'-107') -*Homo sapiens* IGKC*01 (100%), Km3 A45.1 (153), V101 (191) (108'-214')]; dímero (227-227":230-230")-bisdisulfuro, producido en las células ováricas de hámster chino (CHO) línea celular CHO-K1, no glicosilado

Heavy chain / Chaîne lourde / Cadena pesada
 EVQLVEGGGVV LVQPGGSLRL SCAASGFTFS ETWLHWVRQA PGKGLEWVAW 50
 VSPFGGSTYY ADSVKGRFTI SADTSKNTAY LQMNSLRAED TAVYYCARRH 100
 WPGGEDYWGQ GTLVTVSSA TKGPSVFPLA PSSKSTSGGT AALGCLVKDY 150
 FPEPVTVSWSN SGALTSGVHT FPAVLQSSGL YSLLSVVTVP SSSLGTQYI 200
 CNVNHKPSNT KVDKKVEPKS CDKTHTCPPC PAPELLGGS VFLFPKPKD 250
 TLMISRTPEV TCVVVDVSHS DPEVKFNWYV DGVEVHNAKT KPREEQYAST 300
 YRVVSVLTVL HQDWLNLKEY KCKVSNKALP APIEKTIKSA KQGPREFQVY 350
 TLPPSREEMT KNQVSLTCLV KGFYFESDIAV EWESNGOPEN NYKTPPVLD 400
 SGSGFFLYSK LTVDKSRWQQ GNVFSCSVMH EALHNHYTQK SLSLSPG 447

Light chain / Chaîne légère / Cadena ligera
 DIQMTQSPSS LSASAVGDRVT ITCRASQDSV TAVAWYQQQP GKAPKLLIYS 50
 ASFLYSGVPF RFSGSGSGTD FTTLTSSLQP EDFATYYCQQ FLYHPATFGQ 100
 GTKVEIKRTV AAPSVFIPPF SDEQLKSGTA SVVCLLNFYV PREAKVQWKV 150
 DNALQSGNSQ ESVTEQDSKD STYSLSSSTIT LSKADYEKKY VYACEVTHQG 200
 LSSPVTKFSN RGEC 214

Post-translational modifications

Disulfide bridges location / Position des ponts disulfure / Posiciones de los puentes disulfuro
 Intra-H (C23-C104) 22-96 145-201 262-322 368-426
 22"-96" 145"-201" 262"-322" 368"-426"

Intra-L (C23-C104) 23"-88" 134"-194"

23"-88" 134"-194"

Inter-H-L (h 5-CL 126) 221-214" 221"-214"

Inter-H-H (h 11, h 14) 227-227" 230-230"

No N-glycosylation sites / Pas de sites de N-glycosylation / ningún posición de N-glicosilación
 CH2 N84,4>A:
 298, 298"
 Aglycosylated

sunobinopum

sunobinop

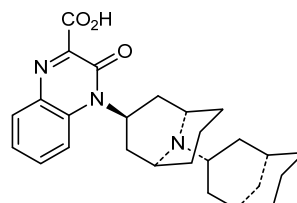
4-[(1*R*,1'*R*,3*r*,3'*r*;5*S*,5'*S*)-9'-aza[3,9'-bi(bicyclo[3.3.1]nonan)]-3'-yl]-3-oxo-3,4-dihydroquinoxaline-2-carboxylic acid

sunobinop

acide 4-[(1*R*,1'*R*,3*r*,3'*r*;5*S*,5'*S*)-9'-aza[3,9'-bi(bicyclo[3.3.1]nonan)]-3'-yl]-3-oxo-3,4-dihydroquinoxaline-2-carboxylique

sunobinop

ácido 4-[(1*R*,1'*R*,3*r*,3'*r*;5*S*,5'*S*)-9'-aza[3,9'-bi(biciclo[3.3.1]nonan)]-3'-il]-3-oxo-3,4-dihidroquinoxalina-2-carboxílico



surzebiclimab #

surzebiclimab

immunoglobulin G1-kappa, anti-[*Homo sapiens* HAVCR2 (hepatitis A virus cellular receptor 2, T-cell immunoglobulin mucin family member 3, Tim-3, TIM3, TIMD3, CD366)], monoclonal antibody; gamma1 heavy chain (1-448) [VH (*Homo sapiens*IGHV3-23*04 (93.8%) -(IGHD) -IGHJ4*01 (100%)) CDR-IMGT [8.7.13] (26-33.51-57.96-108) (1-119) -*Homo sapiens*IGHG1*01, G1m17,1, G1v4 CH2 A114 (CH1 K120 (217) (120-217), hinge 1-15 (218-232), linker (233-237), CH2 P114>A (330) (238-341), CH3 D12 (357), L14 (359) (342-446), CHS (447-448)) (120-448)], (222-218')-disulfide with kappa light chain (1'-218') [V-KAPPA (*Homo sapiens*IGKV3-15*01 (84%) -IGKJ4*01 (100%)) CDR-IMGT [10.3.9] (27-36.54-56.93-101) (1'-111) -*Homo sapiens*IGKC*01 (100%) Km3 A45.1 (157), V101 (195) (112'-218')]; dimer (228-228":231-231")-bisdisulfide, produced in Chinese hamster ovary (CHO) cells, glycoform alfa

surzébiclimab

immunoglobuline G1-kappa, anti-[*Homo sapiens* HAVCR2 (récepteur cellulaire 2 du virus de l'hépatite A, CD366, membre 3 de la famille mucine immunoglobuline des cellules T, Tim-3, TIM3, TIMD3, CD366)], anticorps monoclonal; chaîne lourde gamma1 (1-448) [VH (*Homo sapiens* IGHV3-23*04 (93.8%) -(IGHD) -IGHJ4*01 (100%)) CDR-IMGT [8.7.13] (26-33.51-57.96-108) (1-119) -*Homo sapiens*IGHG1*01, G1m17,1, G1v4 CH2 A114 (CH1 K120 (217) (120-217), charnière 1-15 (218-232), linker (233-237), CH2 P114>A (330) (238-341), CH3 D12 (357), L14 (359) (342-446), CHS (447-448)) (120-448)], (222-218)-disulfure avec la chaîne légère kappa (1'-218') [V-KAPPA (*Homo sapiens* IGKV3-15*01 (84.0%) -IGKJ4*01 (100%)) CDR-IMGT [10.3.9] (27-36.54-56.93-101) (1'-111) -*Homo sapiens* IGKC*01 (100%) Km3 A45.1 (157), V101 (195) (112'-218')]; dimère (228-228":231-231")-bisdisulfure, produit dans des cellules ovariennes de hamster chinois (CHO), glycoforme alfa

surzebiclimab

inmunoglobulina G1-kappa, anti-[*Homo sapiens* HAVCR2 (receptor celular 2 del virus de la hepatitis A, CD366, miembro 3 de la familia mucina inmunoglobulina de las células T, Tim-3, TIM3, TIMD3, CD366)], anticuerpo monoclonal; cadena pesada gamma1 (1-448) [VH (*Homo sapiens* IGHV3-23*04 (93.8%) -(IGHD) -IGHJ4*01 (100%)) CDR-IMGT [8.7.13] (26-33.51-57.96-108) (1-119) -*Homo sapiens*IGHG1*01, G1m17,1, G1v4 CH2 A114 (CH1 K120 (217) (120-217), bisagra 1-15 (218-232), linker (233-237), CH2 P114>A (330) (238-341), CH3 D12 (357), L14 (359) (342-446), CHS (447-448)) (120-448)], (222-218)-disulfuro con la cadena ligera kappa (1'-218') [V-KAPPA (*Homo sapiens* IGKV3-15*01 (84.0%) -IGKJ4*01 (100%)) CDR-IMGT [10.3.9] (27-36.54-56.93-101) (1'-111) -*Homo sapiens* IGKC*01 (100%) Km3 A45.1 (157), V101 (195) (112'-218')]; dímero (228-228":231-231")-bisdisulfuro, producido en las células ováricas de hámster chino (CHO), forma glicosilada alfa

Heavy chain / Chaîne lourde / Cadena pesada

EVQLVESGG LVQPGSGLRL SCAASGFTFS RYAMSWVRQA PGKGLEWVA 50
ISSGGSLYYP DSVKGRTFIS RDNAKSGFTLYL QMNSLRRAEDT AVYYCARGRE 100
ADGGYFDWVG QCTLIVTVSSA STKCPSVFFL APSSKSTSTGG TAALGLCLVKD 150
YFPFPVTWSW NSGAKTSGVH TPPAVIQSSG LYSLSSVVTVV PSSSLGTQTY 200
ICNVNHKPSN TKVDKVKVEPK SCDKTHITCP CPAPPAAGPS VFLFPFPKPD 250
TLMISRTPEV TCVVVDVSHE DPEVKFNWVY DGVEVHNAAKY KEREEQNST 300
YRVVSVLTVL HQDWLNGKEV KCKVSNKALA APIEKTIASKA KGQPREPQVY 350
TLPBPSRDELT KNQVSLTCLV KGFPYPSDIAV EWESNGQEPEN NYKTTPPVLD 400
SDGSFFFLYSK LTVDKSRWQQ GNPFSCSVMH EALHNHYTQK SLSLSPGK 448

Light chain / Chaîne légère / Cadena ligera

EIVLTQSPATL LSVPSPGERATL LSCRASESEV YYGTSLMQWY QQKPGQAPRL 50
LIYAAASNEVEI GIPARFSGSG SGTEFTLITIS SIQSEDFAVY YCQGSILKVPV 100
TFFGGTKVEI KRTVAAPSFV IFPESPEDEQLK SGTASVVCYL NNFYFREAKV 150
QWKVDNALQSG NSNQESVTEQ DSKDSTYSLS STTLTLSKADY EKHKVYACEV 200
THQGLSSPVTK SFNRGEC 218

Post-translational modifications

Disulfide bridges location / Position des ponts disulfure / Posiciones de los puentes disulfuro

Intra-H (C23-C104) 22-95 146-202 262-322 368-426

22"-95" 146"-202" 262"-322" 368"-426"

Intra-L (C23-C104) 23-92 138"-198"

23"-92" 138"-198"

Inter-H-L (h 5-CL 126) 222-218 222"-218"

Inter-H-H (h 11, h 14) 228-228 231-231"

N-glycosylation sites / Sites de N-glycosylation / Posiciones de N-glicosilación

HCH2 N84.4:

298, 298"

Fucosylated complex bi-antennary CHO-type glycans / glycanes de type CHO bi-antennaires

complexes fucosylés / glicanos de tipo CHO biantenarios complejos fucosilados.

C-terminal lysine clipping / Coupe de la lysine C-terminale / Recorte de lisina C-terminal

HCHS K2:

448, 448"

tacatresgenum autoleucel #

tacatresgene autoleucel

Autologous T cells obtained from the peripheral blood of patients, collected by leukapheresis, modified by CRISPR/Cas9 (clustered regularly interspaced short palindromic repeats/CRISPR-associated protein 9) mediated gene editing consisting of two guide RNAs (gRNAs) introduced transiently as ribonucleoprotein (RNP) complex, and a neoepitope T cell receptor (neo-TCR) gene cassette encoded by plasmid DNA to replace the endogenous T cell receptor (TCR) with a single patient-derived tumour-specific neo-TCR per T cell, with a maximum of three different neo-TCRs in the final drug substance. The constant elements of the neo-TCR are identical for each patient and the neo-TCR gene expression is regulated by the native endogenous TCR promoter. The T cells are cultured in the presence of growth media containing IL-7 and IL-15 and a combination of membrane bound anti-CD3 and anti-CD28 for activation. The T cells are predominantly CD4 and CD8 T cells (generally >80%), including Tmsc (memory stem cells) and Tcm (central memory) phenotypes.

tacatresgène autoleucel

Lymphocytes T autologues obtenus du sang périphérique de patients, recueillis par leucophérèse, modifiés par CRISPR/Cas9 (courtes répétitions palindromiques groupées et régulièrement espacées / protéine 9 associée à CRISPR) induisant une édition génétique consistant en deux ARN guides (gRNAs) introduisant transitoirement un complexe ribonucléoprotéique, et la cassette du gène du récepteur néo-épitope du lymphocyte T (néo-TCR) encodés par un plasmide d'ADN pour remplacer le récepteur endogène du lymphocyte T (TCR) avec un seul néo-TCR tumeur-spécifique dérivé de patients pour chaque lymphocyte T, avec un maximum de trois néo-TCRs différents dans la substance médicamenteuse finale. Les éléments constants des néo-TCR sont identiques pour chaque patient et l'expression du gène néo-TCR est régulée par le promoteur natif endogène du TCR. Les lymphocytes T sont cultivés en présence de milieu de croissance contenant IL-7 et IL-15 et une combinaison d'anti-CD3 et anti-CD28 liés à la membrane pour l'activation. Les lymphocytes T sont majoritairement des lymphocytes T CD4 et CD8 (généralement >80%), incluant les phénotypes Tmsc (cellules souches à mémoire) et Tcm (à mémoire centrale).

tacatresgén autoleucel

Linfocitos T autólogos obtenidos de sangre periférica de pacientes, recogidos por leucoaféresis, modificados por CRISPR/Cas9 (repeticiones palindrómicas cortas agrupadas y regularmente espaciadas/proteína asociada a CRISPR 9) mediante edición genética consistente en dos RNAs guía (gRNAs) introducidos transitoriamente como un complejo de ribonucleoproteína (RNP), y un casete genético de un receptor de linfocitos T para un neoepítopo (neo-TCR) codificado en un plásmido de DNA, para reemplazar el receptor de linfocitos T (TCR) endógeno con un solo neo-TCR específico de tumor y derivado del paciente por linfocito T, con un máximo de tres neo-TCRs diferentes en el principio activo final. Los

elementos constantes de los neo-TCR son idénticos para cada paciente y la expresión del gen del neo-TCR está regulada por el promotor nativo del TCR endógeno. Los linfocitos T se cultivan en presencia de medio de crecimiento que contiene IL-7 e IL-15 y una combinación de anti-CD3 y anti-CD28 de membrana para la activación. Los linfocitos T son predominantemente CD4 y CD8 (generalmente >80%), incluyendo fenotipos de Tm sc (células madre de memoria) y Tcm (memoria central).

tadnersen

tadnersen

all-P-ambo-2'-O-(2-methoxyethyl)-P-thioguanyl-(3'→5')-2'-O-(2-methoxyethyl)-5-methylcytidyl-(3'→5')-2'-O-(2-methoxyethyl)-5-methylcytidyl-(3'→5')-2'-O-(2-methoxyethyl)-5-methyl-P-thiocytidyl-(3'→5')-P-thiothymidyl-(3'→5')-2'-deoxy-P-thioadenyl-(3'→5')-2'-deoxy-P-thioguanyl-(3'→5')-2'-deoxy-5-methyl-P-thiocytidyl-(3'→5')-2'-deoxy-5-methyl-P-thiocytidyl-(3'→5')-2'-deoxy-P-thioguanyl-(3'→5')-2'-O-(2-methoxyethyl)-5-methylcytidyl-(3'→5')-2'-O-(2-methoxyethyl)guanyl-(3'→5')-2'-O-(2-methoxyethyl)adenyl-(3'→5')-2'-O-(2-methoxyethyl)-5-methyl-P-thiocytidyl-(3'→5')-2'-O-(2-methoxyethyl)-5-methyl-P-thiouridyl-(3'→5')-2'-O-(2-methoxyethyl)-5-methylcytidine

tadnersen

tout-P-ambo-2'-O-(2-méthoxyéthyl)-P-thioguanyl-(3'→5')-2'-O-(2-méthoxyéthyl)-5-méthylcytidyl-(3'→5')-2'-O-(2-méthoxyéthyl)-5-méthyl-P-thiocytidyl-(3'→5')-2'-désoxy-5-méthyl-P-thiocytidyl-(3'→5')-P-thiothymidyl-(3'→5')-2'-désoxy-P-thioadényl-(3'→5')-2'-désoxy-P-thioguanyl-(3'→5')-2'-désoxy-5-méthyl-P-thiocytidyl-(3'→5')-2'-désoxy-5-méthyl-P-thiocytidyl-(3'→5')-2'-désoxy-P-thioguanyl-(3'→5')-2'-O-(2-méthoxyéthyl)-5-méthylcytidyl-(3'→5')-2'-O-(2-méthoxyéthyl)adényl-(3'→5')-2'-O-(2-méthoxyéthyl)-5-méthyl-P-thiocytidyl-(3'→5')-2'-O-(2-méthoxyéthyl)-5-méthyl-P-thiouridyl-(3'→5')-2'-O-(2-méthoxyéthyl)-5-méthylcytidine

tadnersén

todo-P-ambo-2'-O-(2-metoxietil)-P-tioguanilil-(3'→5')-5-metil-2'-O-(2-metoxietil)citidilil-(3'→5')-5-metil-2'-O-(2-metoxietil)citidilil-(3'→5')-5-metil-2'-O-(2-metoxietil)-P-tiocitidilil-(3'→5')-2'-deoxi-5-metil-P-tiocitidilil-(3'→5')-P-tiotimidilil-(3'→5')-2'-deoxi-P-tioadenilil-(3'→5')-2'-deoxi-P-tioguanilil-(3'→5')-2'-deoxi-5-metil-P-tiocitidilil-(3'→5')-2'-deoxi-P-tioguanilil-(3'→5')-2'-deoxi-5-metil-P-tiocitidilil-(3'→5')-2'-deoxi-P-tioguanilil-(3'→5')-2'-O-(2-metoxietil)guanilil-(3'→5')-2'-O-(2-metoxietil)adenilil-(3'→5')-5-metil-2'-O-(2-metoxietil)-P-tiocitidilil-(3'→5')-5-metil-2'-O-(2-metoxietil)-P-tiouridilil-(3'→5')-5-metil-2'-O-(2-metoxietil)citidina



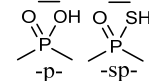
(3'-5') $\underline{\text{G}}=\text{C}=\underline{\text{C}}-\underline{\text{C}}-\text{d}(\text{C}=\text{T}=\text{A}=\text{G}=\text{C}=\text{G}=\text{C}=\text{G}=\text{C}=\text{G}=\text{C}=\underline{\text{A}}-\underline{\text{C}}=\underline{\text{U}}=\underline{\text{C}}$
Legend:

A , G & T : 2'-deoxynucleotide

C : 2'-deoxy-5-methylnucleotide

A & G : 2'-O-(2-methoxyethyl)nucleotide

C & U : 2'-O-(2-methoxyethyl)-5-methylnucleotide



tasurgratinibum

tasurgratinib

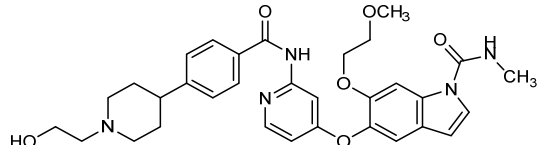
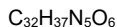
1¹-(2-hydroxyethyl)-7⁶-(2-methoxyethoxy)-N-methyl-3-oxo-7¹H-6-oxa-4-aza-7(5)-indola-5(2,4)-pyridina-1(4)-piperidina-2(1,4)-benzenahepta-phane-7¹-carboxamide

tasurgratinib

1¹-(2-hydroxyéthyl)-7⁶-(2-méthoxyéthoxy)-N-méthyl-3-oxo-7¹H-6-oxa-4-aza-7(5)-indola-5(2,4)-pyridina-1(4)-pipéridina-2(1,4)-benzénáhepta-phane-7¹-carboxamide

tasurgratinib

1¹-(2-hidroxietil)-N-metil-7⁶-(2-metoxietoxi)-3-oxo-7¹H-6-oxa-4-aza-7(5)-indola-5(2,4)-piridina-1(4)-piperidina-2(1,4)-bencenaheptafano-7¹-carboxamida



temgicoulurilum

temgicouluril

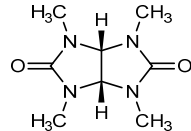
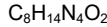
cis-1,3,4,6-tetramethyltetrahydroimidazo[4,5-d]imidazole-2,5(1H,3H)-dione

temgicouluril

cis-1,3,4,6-tétraméthyltétrahydroimidazo[4,5-d]imidazole-2,5(1H,3H)-dione

temgicouluril

cis-1,3,4,6-tetrametiltetrahidroimidazo[4,5-d]imidazola-2,5(1H,3H)-diona



tenofovir amibufenamidum

tenofovir amibufenamide

propan-2-yl 2-{{[(S)-{[(2R)-1-(6-amino-9H-purin-9-yl)propan-2-yl]oxy}methyl](phenoxy)phosphinoyl]amino}-2-methylpropanoate

ténofovир amibufénamide

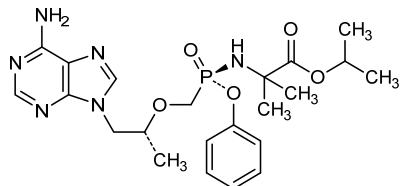
2-{{[(S)-{[(2R)-1-(6-amino-9H-purin-9-yl)propan-2-yl]oxy}méthyl](phénoxy)phosphinoyl]amino}-2-méthylpropanoate de propan-2-yle

Recommended INN: List 86

tenofovir amibufenamida

WHO Drug Information, Vol. 35, No. 3, 2021

2-{{(S)-{({(2R)-1-(6-amino-9*H*-purin-9-il)propan-2-il}oxi)methyl}(fenoxi)fosfinoil]amino}-2-metilpropanoato de propan-2-ilo

**tifcemalimab #**

tifcemalimab

immunoglobulin G4-kappa, anti-[*Homo sapiens* BTLA (B and T lymphocyte associated, BTLA1, CD272)], chimeric monoclonal antibody; gamma4 heavy chain chimeric (1-446) [VH (*Mus musculus*IGHV14-3*02 (82.3%) -IGHJ3*01 (91.7%)/*Homo sapiens*IGHV1-3*01 (77.1%) -(IGHD) -IGHJ4*01 (92.9%)) CDR-IMGT [8.8.12] (26-33.51-58.97-108) (1-119) -*Homo sapiens*IGHG4*01, G4v5 h P10 (CH1 (120-217), hinge 1-12 S10>P (227) (218-229), CH2 (230-339), CH3 (340-444), CHS (445-446)) (120-446)], (133-219')-disulfide with kappa light chain chimeric (1'-219') [V-KAPPA (*Mus musculus*IGKV1-135*01 (92%) -IGKJ2*03 (91.7%)/*Homo sapiens*IGKV2-30*01 (87.0%) -IGKJ2*01 (100%)) CDR-IMGT [11.3.9] (27-47.55-57.94-102) (1'-112') -*Homo sapiens*IGKC*01 (100%) Km3 A45.1 (158), V101 (196) (113'-219')]; dimer (225-225":228-228")-bisdisulfide, produced in Chinese hamster ovary (CHO) cells, glycoform alfa

tifcémalimab

immunoglobuline G4-kappa, anti-[*Homo sapiens* BTLA (atténuateur des lymphocytes B et T, BTLA1, CD272)], anticorps monoclonal chimérique; chaîne lourde gamma4 chimérique (1-446) [VH (*Mus musculus*IGHV14-3*02 (82.3%) -IGHJ3*01 (91.7%)/*Homo sapiens*IGHV1-3*01 (77.1%) -(IGHD) -IGHJ4*01 (92.9%)) CDR-IMGT [8.8.12] (26-33.51-58.97-108) (1-119) -*Homo sapiens*IGHG4*01, G4v5 h P10 (CH1 (120-217), charnière 1-12 S10>P (227) (218-229), CH2 (230-339), CH3 (340-444), CHS (445-446)) (120-446)], (133-219')-disulfure avec la chaîne légère kappa chimérique (1'-219') [V-KAPPA (*Mus musculus*IGKV1-135*01 (92%) -IGKJ2*03 (91.7%)/*Homo sapiens*IGKV2-30*01 (87.0%) -IGKJ2*01 (100%)) CDR-IMGT [11.3.9] (27-47.55-57.94-102) (1'-112') -*Homo sapiens*IGKC*01 (100%) Km3 A45.1 (158), V101 (196) (113'-219')]; dimère (225-225":228-228")-bisdisulfure, produite dans des cellules ovarienches de hamster chinois (CHO), glycoforme alfa

tifcemalimab

inmunoglobulina G4-kappa, anti-[*Homo sapiens* BTLA (atenuador de linfocitos B y T, BTLA1, CD272)], anticuerpo monoclonal químérico; cadena pesada gamma4 químérica (1-446) [VH (*Mus musculus*IGHV14-3*02 (82.3%) -IGHJ3*01 (91.7%)/*Homo sapiens*IGHV1-3*01 (77.1%) -(IGHD) -IGHJ4*01 (92.9%)) CDR-IMGT [8.8.12] (26-33.51-58.97-108) (1-119) -*Homo sapiens*IGHG4*01, G4v5 h P10 (CH1 (120-217), bisagra 1-12 S10>P (227) (218-229), CH2 (230-339), CH3 (340-444), CHS (445-446)) (120-446)], (133-219')-disulfuro con la cadena ligera kappa químérica (1'-219') [V-KAPPA (*Mus musculus*IGKV1-135*01 (92%) -IGKJ2*03 (91.7%)/*Homo sapiens*IGKV2-30*01 (87.0%) -IGKJ2*01 (100%)) CDR-IMGT [11.3.9] (27-47.55-57.94-102) (1'-112') -*Homo sapiens*IGKC*01 (100%) Km3 A45.1 (158), V101 (196) (113'-219')]; dímero (225-225"-228-228")-bisdisulfuro, producida por células ováricas de hamster chino (CHO), forma glicosilada alfa

Heavy chain / Chaîne lourde / Cadena pesada

QVQLVQSGAE VKKEPGASVKL SCKASGVNFK HTYAHWVRQA PGQGLEWIGR 50
IDPANGNTKY DPKEQGRATM TADTAASNAY LELSSLRSED TAVYVCVADH 100
YGSSLLDYWG QGTLTVTSSA STKGPSVFPL APCSRSTSES TAALGCLVKD 150
YFPEPVTVSW NSGALTSGVH TFPALVQSQSC LYSLSSVVTV FSSSLGTRKTY 200
TCNVDHKPSPN TKVDKRVESK YGPPCPCCPA PEFLGGESVF LFPPKPKDTL 250
MISRTPEVTC VVVDVSQEDP EVQFNWVYDG VEVHNNAKTRP REEQFNSTYR 300
VVSVLTVLHQ DWLNGKEYKC KVSNKGLPSS IEKTISKAG QPREPOVYT 350
PPSQEEMTKN QVSLTCLVKG FYPSDIAVEW ENSNQOPENNY KTPPPVLDSD 400
GSFFFLYSRLT VDKSRWQEGN VFSCSVMHEA LHNHYTQKSL SLSLGK 446

Light chain / Chaîne légère / Cadena ligera

DVVTMTQTPLS LSVPQGPAS ISCKSSQSLL DSDGKTYLNW FQQRPQGSPPR 50
RLIYLVSKLD SGVPDRFSGS GSGTDFTLKI SRVEAEWDVG YYCWQGTYFP 100
YTFGQGTPKLE IKRTVAAPSV FIFPPSDEQL KSGTASWVCL LNNFYFREAK 150
VQWKVNDALQ SGNSQESVTE QDSKDSTYSL SSTTLTLSKAD YEKHKVYACE 200
VTHQGLSSPV TKSFRNRGEC 219

Post-translational modifications

Disulfide bridges / Position des ponts disulfure / Posiciones de los puentes disulfuro
Intra-H (C23-C104) 22-96 146-202 260-320 366-424
22"-96" 146"-202" 260"-320" 366"-424"
Intra-L (C23-C104) 23"-93" 139"-199"
23"-93" 139"-199"
Inter-H-L (CH1 10-CL 126) 133-219" 133"-219"
Inter-H-H (h 8, h 11) 225-225" 228-228"

N-glycosylation sites / Sites de N-glycosylation / Posiciones de N-glicosilación
H CH2N84.4:
296, 296"

Fucosylated complex bi-antennary CHO-type glycans / glycanes de tipo CHO bi-antennaires complexes fucosylés / glicanos de tipo CHO biantenarios complejos fucosilados

tigulixostatum

tigulixostat

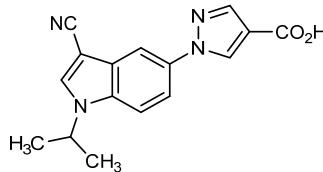
1-[3-cyano-1-(propan-2-yl)-1*H*-indol-5-yl]-1*H*-pyrazole-4-carboxylic acid

tigulixostat

acide 1-[3-cyano-1-(propan-2-yl)-1*H*-indol-5-yl]-1*H*-pyrazole-4-carboxylique

tigulixostat

ácido 1-[3-ciano-1-(propan-2-yl)-1*H*-indol-5-il]-1*H*-pirazola-4-carboxílico

$C_{16}H_{14}N_4O_2$ **tirnovetmab #**

tirnovetmab

immunoglobulin G2-kappa, anti-[*Canis lupus familiaris* IL31 (interleukin 31)], caninized monoclonal antibody; gamma2 heavy chain caninized (1-453) [VH caninized (*Canis lupus familiaris* IGHV4-1*01 (61.2%) -(IGHD) - IGHJ4*01 (100%)) CDR-IMGT [8.7.12] (26-33.51-57.96-107) (1-118) -*Canis lupus familiaris*IGHG2*02 (100%) (CH1 (119-215), hinge 1-19 (216-234), CH2 (235-344), CH3 (345-451), CHS (452-453)) (119-453)], (133-217')-disulfide with kappa light chain caninized (1'-221') [V-KAPPA caninized (*Canis lupus familiaris* IGKV3-18*01 (63.8%) -IGKJ3*01 (83.3%) Q120>G (104)) CDR-IMGT [10.3.9](27-36.54-56.93-101) (1'-111') -*Canis lupus familiaris*IGKC*01 (100%) (112'-221')]; dimer (230-230":233-233")-bisdisulfide, produced in a Chinese hamster ovary (CHO)-K1 cell line, glycoform alfa

tirnovetmab

immunoglobuline G2-kappa, anti-[*Canis lupus familiaris* IL31 (interleukine 31)], anticorps monoclonal caninisé; chaîne lourde gamma2 caninisée (1-453) [VH caninisé (*Canis lupus familiaris* IGHV4-1*01 (61.2%) -(IGHD) - IGHJ4*01 (100%)) CDR-IMGT [8.7.12] (26-33.51-57.96-107) (1-118) CDR-IMGT [8.7.12] (26-33.51-57.96-107) (1-118) -*Canis lupus familiaris*IGHG2*02 (100%) (CH1 (119-215), charnière 1-19 (216-234), CH2 (235-344), CH3 (345-451), CHS (452-453)) (119-453)], (133-217')-disulfure avec la chaîne légère kappa caninisé (1'-221') [V-KAPPA caninisé (*Canis lupus familiaris* IGKV3-18*01 (63.8%) -IGKJ3*01 (83.3%) Q120>G (104)) CDR-IMGT [10.3.9](27-36.54-56.93-101) (1'-111') -*Canis lupus familiaris*IGKC*01 (100%) (112'-221')]; dimère (230-230":233-233")-bisdisulfure, produit dans des cellules ovarianes de hamster chinois (CHO) lignée cellulaire CHO-K1, glycoforme alfa

tirnovetmab

inmunoglobulina G2-kappa, anti-[*Canis lupus familiaris* IL31 (interleukina 31)], anticuerpo monoclonal caninizado; cadena pesada gamma2 caninizada (1-453) [VH caninizado (*Canis lupus familiaris* IGHV4-1*01 (61.2%) -(IGHD) -IGHJ4*01 (100%)) CDR-IMGT [8.7.12] (26-33.51-57.96-107) (1-118) CDR-IMGT [8.7.12] (26-33.51-57.96-107) (1-118) -*Canis lupus familiaris*IGHG2*02 (100%) (CH1 (119-215), bisagra 1-19 (216-234), CH2 (235-344), CH3 (345-451), CHS (452-453)) (119-453)], (133-217')-disulfuro con la cadena ligera

kappa caninizada (1'-221') [V-KAPPA caninizado (*Canis lupus familiaris*) IGKV3-18*01 (63.8%) -IGKJ3*01 (83.3%) Q120>G (104)) CDR-IMGT [10.3.9] (27-36.54-56.93-101) (1'-111') -*Canis lupus familiaris* IGKC*01 (100%) (112'-221')]; dímero (230-230":233-233")-bisdisulfuro, producido en las células ováricas de hámster chino (CHO) línea celular CHO-K1, forma glicosilada alfa

Heavy chain / Chaîne lourde / Cadena pesada

```

EVQLVESGSPS LVKPGGSIRL TCSVTDGSIT SGYWNWIRKF PGNKLEYMFG 50
ISYSGITDYN PSKLSRRTIS RDTSKNQYLL QLNSVTTEDT ATYYCARYGN 100
YGYAMDYWGQ GTSVTVSSAS TTATPSVFPLA PSCGSTSGST VALACLVSGY 150
FPEPVTWSWN SGSLTSGVHT FPSVLSQSSGL YSLSSMTVP SSRWPSETTF 200
CNVAHPASKT KVDKRPVKRE NGVRPRPPDC PKCPAPEMLG GPSVFTFPFK 250
PKDTLIIART PEVTCVVVDL DPEDPEVQIS WFVDGKQMQT AKTPQPREQF 300
NGTYRVRVSVL KRNDAQPAVY LFQPSFDQIH TGSAVVCLL NSFYPKDINV 350
SVVVLPPSRE ELSKNTVSLT CLIKDFPPD IDVEWQSNGQ QEPESKYRTT 400
PPQLDEDGSY FLYSKLSVDK SRWQRGDTIFI CAVMHEALHN HYTQESLSHS 450
PGK

```

Light chain / Chaîne légère / Cadena ligera

```

DIVMTQSPAS LSVSLGGRAT ISCRASESVSD TYGNSFMHWY QOKPGQSPKL 50
LIYRASNLES GIPARFGGGSG SGTDFTLTID PVQADDWATY YCQQSYEDPW 100
TFFGGTKLEI KRNDAAQPAVY LFQPSFDQIH TGSAVVCLL NSFYPKDINV 150
KWKVGVIVQD TGIQESVTEQ DKDSTVSLL TLTMSSTEYL SHELYSCEIT 200
HKSLSPLSTLIK SFQRSEQCVR D

```

Post-translational modifications

Disulfide bridges location / Position des ponts disulfure / Posiciones de los puentes disulfuro

Intra-H (C23-C104) 22°-95° 145°-201° 265°-325° 371°-431°

22°-95° 145°-201° 265°-325° 371°-431"

Intra-L (C23-C104) 23°-92° 138°-197°

23°-92° 138°-197"

Inter-H-L (CH1 11-CL 126) 133°-217° 133°-217"

Inter-H-H (h 15, h 18) 230°-230° 233-233"

N-glycosylation sites / Sites de N-glycosylation / Posiciones de N-glicosilación

H CH2 N84.4:

301, 301"

Fucosylated complex bi-antennary CHO-type glycans / glycanes de tipo CHO bi-antennaires complejos fucosilados / glicanos de tipo CHO biantenarios complejos fucosilados.

C-terminal lysine clipping / Coupe de la lysine C-terminale / Recorte de lisina C-terminal

H CHS K2:

453, 453"

tolinapantum

tolinapant

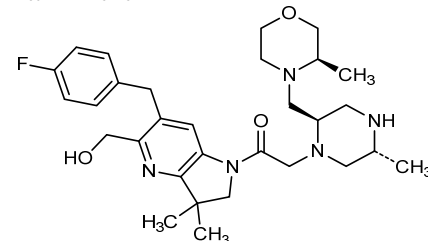
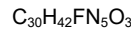
(*6²R,6⁵R,8³R*)-1⁴-fluoro-3⁵-(hydroxymethyl)-3³,3³,6⁵,8³-tetramethyl-3^{2,3}-dihydro-3(6,1)-pyrrolo[3,2-*b*]pyridina-8(4)-morpholina-6(1,2)-piperazina-1(1)-benzenaoctaphan-4-one

tolinapant

(*6²R,6⁵R,8³R*)-1⁴-fluoro-3⁵-(hydroxymethyl)-3³,3³,6⁵,8³-tetramethyl-3^{2,3}-dihydro-3(6,1)-pyrrolo[3,2-*b*]pyridina-8(4)-morpholina-6(1,2)-piperazina-1(1)-benzenaoctaphan-4-one

tolinapant

(*6²R,6⁵R,8³R*)-1⁴-fluoro-3⁵-(hidroximetil)-3³,3³,6⁵,8³-tetrametil-3^{2,3}-dihidro-3(6,1)-pirrolo[3,2-*b*]piridina-8(4)-morfolina-6(1,2)-piperazina-1(1)-bencenaoctafan-4-ona



tomligisiranum

tomligisiran

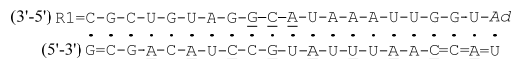
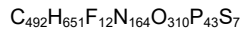
*all-P-ambo-O-[(2R,3S)-2-(hydroxymethyl)oxolan-3-yl] hydrogen 5'-O-([(2R,3S)-3-[[({{cis-4-[(3S,8S)-17-[{[2-(acetylamino)-2-deoxy- β -D-galactopyranosyl]oxy}-3,8-bis[{2-(2-[{2-(acetylamino)-2-deoxy- β -D-galactopyranosyl]oxy}ethoxy]ethyl]carbamoyl}-6,11-dioxo-15-oxa-2,7,12-triazaheptadecan-1-oyl]cyclohexyl]oxy)hydroxyphosphorothioly]oxy]-oxolan-2-yl]methoxy)hydroxyphosphorothioly]-2'-O-methylcytidylyl-(3'→5')-2'-O-methylguanyllyl-(3'→5')-2'-O-methylcytidylyl-(3'→5')-2'-O-methyluridyllyl-(3'→5')-2'-O-methylguanyllyl-(3'→5')-2'-O-methyluridyllyl-(3'→5')-2'-O-methyladenylyl-(3'→5')-2'-O-methylguanyllyl-(3'→5')-2'-deoxy-2'-fluoroguananyllyl-(3'→5')-2'-deoxy-2'-fluoroadenyllyl-(3'→5')-2'-O-methyluridyllyl-(3'→5')-2'-O-methyladenylyl-(3'→5')-2'-O-methyluridyllyl-(3'→5')-2'-O-methyluridyllyl-(3'→5')-2'-O-methylguanyllyl-(3'→5')-2'-O-methyluridyllyl-(3'→5')-2'-O-methyluridyllyl-(3'→5')-2'-O-methyl-P-thio-3'-adenylate, duplex with *all-P-ambo-2'-O-methyl-P-thiouridyllyl-(3'→5')-2'-deoxy-2'-fluoro-P-thioadenylyl-(3'→5')-2'-O-methyl-P-thiocytidyllyl-(3'→5')-2'-deoxy-2'-fluorocytidyllyl-(3'→5')-2'-O-methyladenylyl-(3'→5')-2'-deoxy-2'-fluoroadenyllyl-(3'→5')-2'-O-methyluridyllyl-(3'→5')-2'-deoxy-2'-fluorouridyllyl-(3'→5')-2'-O-methyluridyllyl-(3'→5')-2'-deoxy-2'-fluoroadenyllyl-(3'→5')-2'-O-methyluridyllyl-(3'→5')-2'-deoxy-2'-fluoroguananyllyl-(3'→5')-2'-O-methylcytidylyl-(3'→5')-2'-deoxy-2'-fluorocytidyllyl-(3'→5')-2'-O-methyluridyllyl-(3'→5')-2'-deoxy-2'-fluoroadenyllyl-(3'→5')-2'-O-methylcytidyllyl-(3'→5')-2'-deoxy-2'-fluoroadenyllyl-(3'→5')-2'-O-methylguanyllyl-(3'→5')-2'-O-methyl-P-thiocytidyllyl-(3'→5')-2'-O-methylguanosine**

tomligisiran

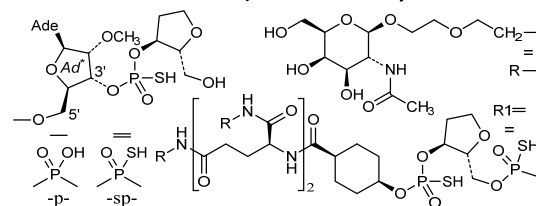
tout-P-ambo-5'-O-([(2R,3S)-3-[[({{cis-4-[(3S,8S)-17-[{[2-(acetylamino)-2-désoxy- β -D-galactopyranosyl]oxy}-3,8-bis[{2-(2-[{2-(acetylamino)-2-désoxy- β -D-galactopyranosyl]oxy}éthoxy]éthyl]carbamoyl}-6,11-dioxo-15-oxa-2,7,12-triazaheptadecan-1-oyl]cyclohexyl]oxy)hydroxyphosphorothioly]oxy]oxolan-2-yl]méthoxy)hydroxyphosphorothioly]-2'-O-méthylcytidylyl-(3'→5')-2'-O-méthylguanyllyl-(3'→5')-2'-O-méthyluridyllyl-(3'→5')-2'-O-méthylguanyllyl-(3'→5')-2'-O-méthyluridyllyl-(3'→5')-2'-O-méthyladenylyl-(3'→5')-2'-O-méthylguanyllyl-(3'→5')-2'-deoxy-2'-fluorocytidyllyl-(3'→5')-2'-O-méthyluridyllyl-(3'→5')-2'-deoxy-2'-fluoroadenyllyl-(3'→5')-2'-O-méthylcytidyllyl-(3'→5')-2'-deoxy-2'-fluoroadenyllyl-(3'→5')-2'-O-méthylguanyllyl-(3'→5')-2'-O-méthyluridyllyl-(3'→5')-2'-deoxy-2'-fluorouridyllyl-(3'→5')-2'-O-méthyluridyllyl-(3'→5')-2'-deoxy-2'-fluoroadenyllyl-(3'→5')-2'-O-méthyluridyllyl-(3'→5')-2'-deoxy-2'-fluoroguananyllyl-(3'→5')-2'-O-méthylcytidylyl-(3'→5')-2'-deoxy-2'-fluorocytidyllyl-(3'→5')-2'-O-méthyluridyllyl-(3'→5')-2'-deoxy-2'-fluoroadenyllyl-(3'→5')-2'-O-méthylcytidyllyl-(3'→5')-2'-deoxy-2'-fluoroadenyllyl-(3'→5')-2'-O-méthylguanyllyl-(3'→5')-2'-O-méthyl-P-thiocytidyllyl-(3'→5')-2'-O-méthylguanosine, duplex avec *tout-P-ambo-2'-O-méthyl-P-thiouridyllyl-(3'→5')-2'-désoxy-2'-fluoro-P-thioadenylyl-(3'→5')-2'-O-méthyl-P-thiocytidyllyl-(3'→5')-2'-désoxy-2'-fluorocytidyllyl-(3'→5')-2'-O-méthyladenylyl-(3'→5')-2'-désoxy-2'-fluoroadenyllyl-(3'→5')-2'-O-méthyluridyllyl-(3'→5')-2'-désoxy-2'-fluorouridyllyl-(3'→5')-2'-O-méthyluridyllyl-(3'→5')-2'-désoxy-2'-fluoroadenyllyl-(3'→5')-2'-O-méthyluridyllyl-(3'→5')-2'-désoxy-2'-fluoroguananyllyl-(3'→5')-2'-O-méthylguanyllyl-(3'→5')-2'-O-méthyluridyllyl-(3'→5')-2'-désoxy-2'-fluorocytidyllyl-(3'→5')-2'-O-méthyluridyllyl-(3'→5')-2'-désoxy-2'-fluoroadenyllyl-(3'→5')-2'-O-méthylcytidyllyl-(3'→5')-2'-désoxy-2'-fluoroadenyllyl-(3'→5')-2'-O-méthylguanyllyl-(3'→5')-2'-O-méthyl-P-thiocytidyllyl-(3'→5')-2'-O-méthylguanosine*

tomligisirán

*all-P-ambo-5'-O-[{[(2R,3S)-3-[[{{(cis-4-[(3S,8S)-17-[[2-(acetilamino)-2-desoxi-β-D-galactopiranosil]oxi)-3,8-bis[2-(2-[(acetilamino)-2-desoxi-β-D-galactopiranosil]oxi)etil]carbamoi]-6,11-dioxo-15-oxa-2,7,12-triazaheptadecan-1-oil]ciclohexil]oxi)hidroxifosforotioil]oxi]oxolan-2-il]metoxi]hidroxifosforotioil)-2'-O-metilcitidilil-(3'→5')-2'-O-metilguanilil-(3'→5')-2'-O-metilcitidilil-(3'→5')-2'-O-metiluridilil-(3'→5')-2'-O-metilguanilil-(3'→5')-2'-O-metiluridilil-(3'→5')-2'-desoxi-2'-fluoroguanilil-(3'→5')-2'-desoxi-2'-fluorocitidilil-(3'→5')-2'-desoxi-2'-fluoroadenilil-(3'→5')-2'-O-metiladenilil-(3'→5')-2'-O-metiladenilil-(3'→5')-2'-O-metiluridilil-(3'→5')-2'-O-metilguanilil-(3'→5')-2'-O-metilguanilil-(3'→5')-2'-O-metiluridilil-(3'→5')-hidrógeno-2'-O-metil-P-tio-3'-adenilato de O-[(2R,3S)-2-(hidroximetil)oxolan-3-il], dúplex con *todo-P-ambo-2'-O-metil-P-tiouridilil-(3'→5')-2'-desoxi-2'-fluoro-P-tioadenilil-(3'→5')-2'-O-metil-P-tiocitidilil-(3'→5')-2'-desoxi-2'-fluorocitidilil-(3'→5')-2'-O-metiladenilil-(3'→5')-2'-desoxi-2'-fluoroadenilil-(3'→5')-2'-O-metiluridilil-(3'→5')-2'-desoxi-2'-fluorouridilil-(3'→5')-2'-O-metiluridilil-(3'→5')-2'-desoxi-2'-fluoroadenilil-(3'→5')-2'-O-metiluridilil-(3'→5')-2'-desoxi-2'-fluoroguanilil-(3'→5')-2'-O-metilcitidilil-(3'→5')-2'-desoxi-2'-fluorocitidilil-(3'→5')-2'-O-metiluridilil-(3'→5')-2'-desoxi-2'-fluoroadenilil-(3'→5')-2'-O-metilcitidilil-(3'→5')-2'-desoxi-2'-fluoroadenilil-(3'→5')-2'-O-metilguanilil-(3'→5')-2'-O-metil-P-tiocitidilil-(3'→5')-2'-O-metilguanosina**



Legend: X : 2'-O-methylNucl. X : 2'-deoxy-2'-fluoroNucl.



torudokimab #

torudokimab

immunoglobulin G4-kappa, anti-[*Homo sapiens* IL33 (interleukin 33, interleukin-1 family member 11, IL1F11, nuclear factor for high endothelial venules, NF-HEV)], monoclonal antibody; gamma4 heavy chain (1-449) [VH (*Homo sapiens*IGHV3-23*04 (95.9%) -IGHD) -IGHJ3*02 (87.5%) M123>L (118)] CDR-IMGT [8.8.16] (26-33.51-58.97-112) (1-123)-*Homo sapiens* IGHG4*01 G4v5 h P10, G4v4 CH2 A1.3, A1.2 (CH1 (124-221), hinge 1-12 S10>P (231) (222-233), CH2 F1.3>A (237), L1.2>A (238) (234-343), CH3 (344-448), CHS K>del (449)) (124-449)], (137-215')-disulfide with kappa light chain (1'-215') [V-KAPPA (*Homo sapiens* IGKV3-20*01 (88.5%) -IGKJ4*01 (91.7%)) CDR-IMGT [6.3.10] (27-32.50-52.89-98) (1'-108')-*Homo sapiens* IGKC*01 (100%), Km3 A45.1 (154), V101 (192) (109'-215')]; dimer (229-229"-232-232")-bisdisulfide, produced in a Chinese hamster ovary (CHO)-K1 cell line, glycoform alfa

torudokimab

immunoglobuline G4-kappa, anti-[*Homo sapiens* IL33 (interleukine 33, membre 11 de la famille 1 d'interleukines, IL1F11, facteur nucléaire des veinules à haut endothélium, NF-HEV)], anticorps monoclonal; chaîne lourde gamma4 (1-449) [VH (*Homo sapiens* IGHV3-23*04 (95.9%) -(IGHD) -IGHJ3*02 (87.5%) M123>L (118)) CDR-IMGT [8.8.16] (26-33.51-58.97-112) (1-123)-*Homo sapiens*IGHG4*01 G4v5 h P10, G4v4 CH2 A1.3, A1.2 (CH1 (124-221), charnière 1-12 S10>P (231) (222-233), CH2 F1.3>A (237), L1.2>A (238) (234-343), CH3 (344-448), CHS K>del (449)) (124-449)], (137-215)-disulfure avec la chaîne légère kappa (1'-215) [V-KAPPA (*Homo sapiens* IGKV3-20*01 (88.5%) -IGKJ4*01 (91.7%)) CDR-IMGT [6.3.10] (27-32.50-52.89-98) (1'-108')-*Homo sapiens* IGKC*01 (100%), Km3 A45.1 (154), V101 (192) (109'-215')]; dimère (229-229".232-232")-bisdisulfure, produit dans des cellules ovariennes de hamster chinois (CHO) lignée cellulaire CHO-K1, glycoforme alfa

torudokimab

inmunoglobulina G4-kappa, anti-[*Homo sapiens* IL33 (interleukina 33, miembro 11 de la familia 1 de interleukinas, IL1F11, factor nuclear de las vénulas del alto endotelio, NF-HEV)], anticuerpo monoclonal; cadena pesada gamma4 *Homo sapiens* (1-449) [VH (*Homo sapiens* IGHV3-23*04 (95.9%) -(IGHD) -IGHJ3*02 (87.5%) M123>L (118)) CDR-IMGT [8.8.16] (26-33.51-58.97-112) (1-123)-*Homo sapiens*IGHG4*01 G4v5 h P10, G4v4 CH2 A1.3, A1.2 (CH1 (124-221), bisagra 1-12 S10>P (231) (222-233), CH2 F1.3>A (237), L1.2>A (238) (234-343), CH3 (344-448), CHS K>del (449)) (124-449)], (137-215')-disulfuro con la cadena ligera kappa (1'-215') [V-KAPPA (*Homo sapiens* IGKV3-20*01 (88.5%) -IGKJ4*01 (91.7%)) CDR-IMGT [6.3.10] (27-32.50-52.89-98) (1'-108')-*Homo sapiens* IGKC*01 (100%), Km3 A45.1 (154), V101 (192) (109'-215')]; dímero (229-229".232-232")-bisdisulfuro, producido en las células ováricas de hámster chino (CHO) línea celular CHO-K1, forma glicosilada alfa

Heavy chain / Chaîne lourde / Cadena pesada

EVLVETGGG LIQPGSLRL SCASQFTES FYAMWSWVRQA PGKGLEWVSA 50
LSGGGSTYY ADSVKGRTI SRDNNSKNTLY LQMNNSLRAED TAVYVCARTI 100
HGIRAYADAF IIWQGQTLVT VSSASTKGPFS VFVFLAPCRSR TSESTAALGC 150
LVKDYDFPEPV TVSNNSGALT SGVHTTPFAVL QSSGLYSLSLL VVTVPSSSLG 200
TCKYTCTNVDH KPSNTKVUDKR VESKYKGPCP PCPAAPEAAGG PSVFLFPKPF 250
KDILMISRTP EVTCKVVVDVS QEDFPEVQFNW YVDGVVEVINA KTKPREEQFN 300
STYRVVSVLT VLHQDWLNKG EYKCKVSNKG LPSSIEKTIS KAKGQPREPQ 350
VYTLPPSQQE MTKNQVSLTC LVKGFYPSDI AVEWESNQQ ENNYKTTPEV 400
LDSDGSSFFLY SLRIVDKRSW QEGNVFSCSV MHEALHNHYT QKSLSLSLG 449

Light chain / Chaîne légère / Cadena ligera

EIVLTTQSPGT LSLSPGGERAT LSCRASQSVG INLWSYQQKP GQAPRLLIYG 50
ASHRLTGIPD RFSGSGSGTD FTILTISRLEP EDFAVYYCHQ YSQOPPPFTFG 100
GGTKVEIKRD VAAPSVIFF PSDEQLKSGT ASVCLINNN YPREAKVQWK 150
VDNALQSGNS QSEVTEQDSK DSTYSLSSLT TLSKADYEHK KYACEVTHQ 200
GLSSPVTKSF NRGEC 215

Post-translational modifications

Disulfide bridges location / Position des ponts disulfure / Posiciones de los puentes disulfuro
Intra-H (C23-C104) 22-96 150-206 264-324 370-428
22"-96" 150"-206" 264"-324" 370"-428"
Intra-L (C23-C104) 23"-88" 135"-195"
23"-88" 135"-195"
Inter-H-L (CH1 10-CL 126) 137-215" 137"-215"
Inter-H-H (h 8, h 11) 229-229" 232-232"

N-glycosylation sites / Sites de N-glycosylation / Posiciones de N-glicosilación
H1C2 N84.4;
300, 300"

Fucosylated complex bi-antennary CHO-type glycans / glycanes de type CHO bi-antennaires
complexes fucosylés / glicanos de tipo CHO biantenarios complejos fucosilados.

tozorakimab #

tozorakimab

immunoglobulin G1-lambda2, anti-[*Homo sapiens* IL33 (interleukin 33, DVS27, NF-HEV, IL1F11)], monoclonal antibody;
 gamma1 heavy chain (1-456) [VH (*Homo sapiens*IGHV3-23*01 (93.9%) -(IGHD)-IGHJ4*01 (85.7%) L123>M (121)) CDR-IMGT [8.8.19] (26-33.51-58.97-115) (1-126) -*Homo sapiens*IGHG1*03 (100%) G1m3, nG1m1 (CH1 R120 (223) (127-224), hinge 1-15 (225-239), CH2 (240-349), CH3 E12 (365), M14 (367) (350-454), CHS (455-456)) (127-456)], (229-211')-disulfide with lambda2 light chain (1'-212') [V-LAMBDA (*Homo sapiens*IGLV3-1*01 (86.2%) -IGLJ2*01 (100%)) CDR-IMGT [6.3.9] (26-31.49-51.88-96) (1'-106') -*Homo sapiens*IGLC2*01 (100%) (107'-212')]; dimer (235-235":238-238")-bisdisulfide, produced in a Chinese hamster ovary (CHO) cell line derived from CHO-K1, glycoform alfa

tozorakimab

immunoglobuline G1-lambda2, anti-[*Homo sapiens* IL33 (interleukine 33, DVS27, NF-HEV, IL1F11)], anticorps monoclonal;
 chaîne lourde gamma1 (1-456) [VH (*Homo sapiens*IGHV3-23*01 (93.9%) -(IGHD)-IGHJ4*01 (85.7%) L123>M (121)) CDR-IMGT [8.8.19] (26-33.51-58.97-115) (1-126) -*Homo sapiens*IGHG1*03 (100%) G1m3, nG1m1 (CH1 R120 (223) (127-224), charnière 1-15 (225-239), CH2 (240-349), CH3 E12 (365), M14 (367) (350-454), CHS (455-456)) (127-456)], (229-211')-disulfure avec la chaîne légère lambda2 (1'-212') [V-LAMBDA (*Homo sapiens*IGLV3-1*01 (86.2%) -IGLJ2*01 (100%)) CDR-IMGT [6.3.9] (26-31.49-51.88-96) (1'-106') -*Homo sapiens*IGLC2*01 (100%) (107'-212')]; dimère (235-235":238-238")-bisdisulfure, produit dans des cellules ovaries de hamster chinois (CHO) dérivant de la lignée cellulaire CHO-K1, glycoforme alfa

tozorakimab

inmunoglobulina G1-lambda2, anti-[*Homo sapiens* IL33 (interleukina 33, DVS27, NF-HEV, IL1F11)], anticuerpo monoclonal;
 cadena pesada gamma1 (1-456) [VH (*Homo sapiens*IGHV3-23*01 (93.9%) -(IGHD)-IGHJ4*01 (85.7%) L123>M (121)) CDR-IMGT [8.8.19] (26-33.51-58.97-115) (1-126) -*Homo sapiens*IGHG1*03 (100%) G1m3, nG1m1 (CH1 R120 (223) (127-224), bisagra 1-15 (225-239), CH2 (240-349), CH3 E12 (365), M14 (367) (350-454), CHS (455-456)) (127-456)], (229-211')-disulfuro con la cadena ligera lambda2 (1'-212') [V-LAMBDA (*Homo sapiens*IGLV3-1*01 (86.2%) -IGLJ2*01 (100%)) CDR-IMGT [6.3.9] (26-31.49-51.88-96) (1'-106') -*Homo sapiens*IGLC2*01 (100%) (107'-212')]; dímero (235-235":238-238")-bisdisulfuro, producido en las células ováricas de hámster chino (CHO) línea celular derivada de CHO-K1, forma glicosilada alfa

Heavy chain / Chaîne lourde / Cadena pesada

EVQLLESGGG LVQPGGSLRL SCAASGFTFS SYAMSWVRQA PGKGLEWVSG 50
 ISAIQDSTYY ADSVKGRFTT SRDNISKNTLY LQMNSLRRAED TAVYYCARQK 100
 FMQLWGGGLR YPFPGYWGGGT MVTWSASTK GPSVFLPLAS SKSTSGGTAA 150
 LGCLVKGDDYFP EPVTVWSWNGLP ALTSGVHTFP AVLQSSGLYS LSSVVTWESS 200
 SLGTTQTYICN VNHKPSNTKV DKRVEPKSCD KTHTCPPCA PELLGGPSVF 250
 LFPPPKPKDTL MISRTPEVTC VVVDSHEDP EVKFNWYVDG VEVHNNAKTKP 300
 REEQYNSTYR VVSVLTVLHQ DWLNGKEYKC KVSNKALPPI EKTISKAKG 350
 QPREPQVYTLP PSFREEMTKN QVSITCLVKG FYPFDIAVEW ESNQGPENNY 400
 KTTTPVLDSD GSFFLYSLKT WDVKSRWQQGN VFSCSVMHEA LHNNHYTQKSL 450
 SLSPKG 456

Light chain / Chaîne légère / Cadena ligera

SYVLTQPPSV SVSPGQTASI TCSEGGMGDK YAAWYQQKPG QSPVLIYIRD 50
 TKRPGSIPEP FGGSNSGNNTA TILTSGTQAM DEADYYCCVI QDNTGVEFGG 100
 TKLTVLGQPK AAPSVTLFPPP SSEELQANKA TLVCLLSDFY PGAVTVAWKA 150
 DSSPVKAGVE TTTPSKQSNN KYAASSYLSL TPEQWKSHRS YSCQVTHEGS 200
 TVEKTVAPTE CS 212

Post-translational modifications

Disulfide bridges location / Position des ponts disulfure / Posiciones de los puentes disulfuro
 Intra-H (C23-C104) 22-96 153-209 270-330 376-434
 22"-96" 153"-209" 270"-330" 376"-434"
 Intra-L (C23-C104) 22-87 134-193'
 22"-87" 134"-193"
 Inter-H-L (h 5-CL 126) 229-211' 229"-211"
 Inter-H-H (h 11, h 14) 235-235" 238-238"

N-glycosylation sites / Sites de N-glycosylation / Posiciones de N-glicosilación
 H CH2 N84.4:
 306, 306"

Fucosylated complex bi-antennary CHO-type glycans / glycanes de type CHO bi-antennaires complexes fucosylés / glicanos de tipo CHO biantenarios complejos fucosilados.

C-terminal lysine clipping / Coupe de la lysine C-terminale / Recorte de lisina C-terminal
 H CHS K2:
 456, 456"

ulevostinagum

ulevostinag

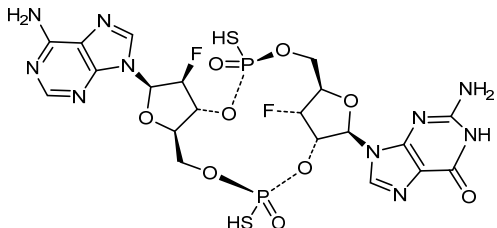
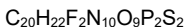
cyclo[$(P^3R,2'S)$ -2'-deoxy-2'-fluoro- P -thioadenylyl-(3'→5')-(P^2R)-3'-deoxy-3'-fluoro- P -thioguanlyl-(2'→5')]

ulévostinag

cyclo[$(P^3R,2'S)$ -2'-désoxy-2'-fluoro- P -thioadénylyl-(3'→5')-(P^2R)-3'-désoxy-3'-fluoro- P -thioguanlyl-(2'→5')]

ulevostinag

cyclo[$(P^3R,2'S)$ -2'-désoxy-2'-fluoro- P -thioadénylyl-(3'→5')-(P^2R)-3'-désoxy-3'-fluoro- P -thioguanlyl-(2'→5')]

**uliledlimabum #**

uliledlimab

immunoglobulin G1-kappa, anti-[*Homo sapiens* NT5E (5'-nucleotidase ecto, 5' nucleotidase, NT5, eN, eNT, NTE, CALJA, CD73)], monoclonal antibody;

	gamma1 heavy chain (1-450) [VH (<i>Homo sapiens</i>) IGHV4-38-2*01 (87.6%) -(IGHD) -IGHJ6*01 (100%)) CDR-IMGT [9.7.13] (26-34.52-58.97-109) (1-120) - <i>Homo sapiens</i> IGHG1*03v, G1m3>G1m17, nG1m1 (CH1 R>K 120 (217) (121-218), hinge 1-15 (219-233), CH2 N84.4>A (300) (234-343), CH3 E12 (359), M14 (361) (344-448), CHS(449-450)) (121-450)], (223-213')-disulfide with kappa light chain (1'-215') [V-KAPPA (<i>Mus musculus</i> IGKV4-72*01 (81.1%) -IGKJ1*01 (90.9%) L124>V (103)/ <i>Homo sapiens</i> IGKV3-11*01 (77.9%) -IGKJ4*01 (100%)) CDR-IMGT [5.3.9] (26-31.59-51.88-96) (1'-106') - <i>Homo sapiens</i> IGKC*01 (100%), Km3 A45.1 (152), V101 (190) (107'-213')]; dimer (229-229":232-232")-bisdisulfide, produced in a Chinese hamster ovary (CHO)-K1 cell line, non-glycosylated
ulilédlimab	immunoglobuline G1-kappa, anti-[<i>Homo sapiens</i> NT5E (5' ecto nucléotidase, 5' nucléotidase, NT5, eN, eNT NTE, CALJA, CD73)], anticorps monoclonal; chaîne lourde gamma1 (1-450) [VH (<i>Homo sapiens</i> IGHV4-38-2*01 (87.6%) -(IGHD) -IGHJ6*01 (100%)) CDR-IMGT [9.7.13] (26-34.52-58.97-109) (1-120) - <i>Homo sapiens</i> IGHG1*03v, G1m3>G1m17, nG1m1 (CH1 R>K 120 (217) (121-218), charnière 1-15 (219-233), CH2 N84.4>A (300) (234-343), CH3 E12 (359), M14 (361) (344-448), CHS(449-450)) (121-450)], (223-213')-disulfure avec la chaîne légère kappa (1'-215') [V-KAPPA (<i>Mus musculus</i> IGKV4-72*01 (81.1%) -IGKJ1*01 (90.9%) L124>V (103)/ <i>Homo sapiens</i> IGKV3-11*01 (77.9%) -IGKJ4*01 (100%)) CDR-IMGT [5.3.9] (26-31.59-51.88-96) (1'-106') - <i>Homo sapiens</i> IGKC*01 (100%), Km3 A45.1 (152), V101 (190) (107'-213')]; dimère (229-229":232-232")-bisdisulfure, produit dans des cellules ovarianes de hamster chinois (CHO) lignée cellulaire CHO-K1, non-glycosylé
uliledlimab	inmunoglobulina G1-kappa, anti-[<i>Homo sapiens</i> NT5E (5' ecto nucleotidasa, 5' nucleotidasa, NT5, eN, eNT NTE, CALJA, CD73)], anticuerpo monoclonal; cadena pesada gamma1 (1-450) [VH (<i>Homo sapiens</i> IGHV4-38-2*01 (87.6%) -(IGHD) -IGHJ6*01 (100%)) CDR-IMGT [9.7.13] (26-34.52-58.97-109) (1-120) - <i>Homo sapiens</i> IGHG1*03v, G1m3>G1m17, nG1m1 (CH1 R>K 120 (217) (121-218), bisagra 1-15 (219-233), CH2 N84.4>A (300) (234-343), CH3 E12 (359), M14 (361) (344-448), CHS(449-450)) (121-450)], (223-213')-disulfuro con la cadena ligera kappa (1'-215') [V-KAPPA (<i>Mus musculus</i> IGKV4-72*01 (81.1%) -IGKJ1*01 (90.9%) L124>V (103)/ <i>Homo sapiens</i> IGKV3-11*01 (77.9%) -IGKJ4*01 (100%)) CDR-IMGT [5.3.9] (26-31.59-51.88-96) (1'-106') - <i>Homo sapiens</i> IGKC*01 (100%), Km3 A45.1 (152), V101 (190) (107'-213')]; dímero (229-229":232-232")-bisdisulfuro, producido en las células ováricas de hámster chino (CHO) línea celular CHO-K1, no glicosilado

Heavy chain / Chaîne lourde / Cadena pesada

EVOLQESPGP LVKPSETLSL TCAVSGYSIT SGYYWNWIRO PPGKKLEWMG 50
 YINYGGSGNY NPSLKSRLTI SROTGSKNPFS LKLSVTIAD TAVIYCARDY 100
 DAYYEALDDH GGTIVTVISS ASTKGPSVP LAPSSKSTSG GTAALGCLWK 150
 DYFPPEPVTV WNSGALTSGV HTFPAVLQSG GLYSLLSVVT VPSSSLGTTQ 200
 YICNVNHHKPS NTKVDDKKVFP KSCDKTHTCP PCPAPELLGG PSVFLFPKP 250
 KDTLMLSRTP ETVCKVVWDVS HEDEVKFNW YVDGVVEVHNA KTKEPREOYA 300
 STYRVVSVLT VLHQDWLNKG EYKCKVSNKA LFAPIEKTIS KAKQCPREBQ 350
 VYTLPSSRER MTKNQVSLLTC LVKGFYPSDI AVEWESENQD ENNYKTTPPV 400
 LDSDGSEFFLY SKLTVDKSKRW QQGNWFSCSV MHEALHNHYT QKSLSLSPKG 450

Light chain / Chaîne légère / Cadena ligera

EIVLSSGPAT LSLSFGERAT LSCRASSRRVN YMHWYQQKPG QSPRPWISAT 50
 SNLASGVPAR FGSGSGTSTY TLTISSLEPE DFAVYVQQW SSNPPTFGGG 100
 TKVEIKRTVA APSEVIFPPS DEQLKSGTAS VVCLLNNFYP REAKVQWKD 150
 NALQSGNSQD SVTEQDSKDS TYSSLSTLTL SKADYEKHV YACEVTHQGL 200
 SSPVTKSFWR GEC 213

Post-translational modifications

Disulfide bridges location / Position des ponts disulfure / Posiciones de los puentes disulfuro
 Intra-H (C23-C104) 22-96 147-203 264-324 370-428
 22"-96" 147"-203" 264"-324" 370"-428"
 Intra-L (C23-C104) 23-87' 133"-193'
 23"-87" 133"-193"
 Inter-H-L (h 5-CL 126) 223-213' 223"-213"
 Inter-H-H (h 11, h 14) 229-229" 232-232"

No N-glycosylation sites / pas de sites de N-glycosylation / ningún posición de N-glicosilación
 CH2N84.4>A:
 300, 300"
 Aglycosylated

C-terminal lysine clipping / Coupe de la lysine C-terminale / Recorte de lisina C-terminal
 H CHS K2:
 450, 450"

ulotarontum

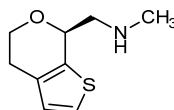
ulotaront

1-[(7*S*)-4,7-dihydro-5*H*-thieno[2,3-*c*]pyran-7-yl]-*N*-methylmethanamine

ulotaront

1-[(7*S*)-4,7-dihydro-5*H*-thiéno[2,3-*c*]pyran-7-yl]-*N*-méthylméthanamine

ulotaront

1-[(7*S*)-4,7-dihidro-5*H*-tieno[2,3-*c*]piran-7-yl]-*N*-metilmetanaminaC₉H₁₃NOS**umifoxolanerum**

umifoxolaner

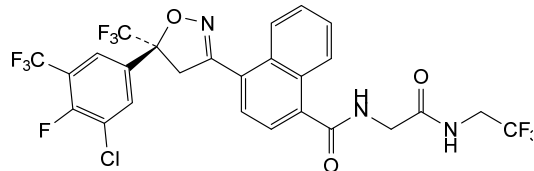
4-[(5*S*)-5-[3-chloro-4-fluoro-5-(trifluoromethyl)phenyl]-5-(trifluoromethyl)-4,5-dihydro-1,2-oxazol-3-yl]-*N*-(2-oxo-2-[(2,2,2-trifluoroethyl)amino]ethyl)naphthalene-1-carboxamide

umifoxolaner

4-[(5*S*)-5-[3-chloro-4-fluoro-5-(trifluorométhyl)phényl]-5-(trifluorométhyl)-4,5-dihydro-1,2-oxazol-3-yl]-*N*-(2-oxo-2-[(2,2,2-trifluoroéthyl)amino]-éthyl)naphtalène-1-carboxamide

umifoxolaner

4-[(5*S*)-5-[3-cloro-4-fluoro-5-(trifluorometil)fénil]-5-(trifluorometil)-4,5-dihidro-1,2-oxazol-3-yl]-*N*-(2-oxo-2-[(2,2,2-trifluoroétil)amino]étil)-naftaleno-1-carboxamida

**unasnemab #**

unasnemab

immunoglobulin G1-kappa, anti-[*Homo sapiens* RGMA (repulsive guidance molecule BMP co-receptor a, RGM)], monoclonal antibody; gamma1 heavy chain (1-446) [VH (*Mus musculus* IGHV6-6*01 (87%) -(IGHD) -IGHJ1*01 (90.9%)/*Homo sapiens* IGHV3-49*04 (85%) -(IGHD) -IGHJ6*04 (100%)) CDR-IMGT [8.10.7] (26-33.51-60.99-105) (1-116) -*Homo sapiens* IGHG1*01 (100%), G1m17,1 (CH1 K120 (213) (117-214), hinge 1-15 (215-229), CH2 (230-339), CH3 D12 (355), L14 (357) (340-444), CHS (445-446)) (117-446)], (219-214')-disulfide with kappa light chain (1'-214') [V-KAPPA (*Homo sapiens* IGKV1-12*01 (87.4%) -IGKJ4*01 (81.8%)) CDR-IMGT [6.3.9] (27-32.50-52.89-97) (1'-107') -*Homo sapiens* IGKC*01 (100%) Km3 A45.1 (153), V101 (191) (108'-214')]; dimer (225-225':228-228")-bisdisulfide, produced in Chinese hamster ovary (CHO) cells, glycoform alfa

unasnémab

immunoglobuline G1-kappa, anti-[*Homo sapiens* RGMA (co-récepteur BMP de la molécule d'orientation répulsive a, RGM)], anticorps monoclonal; chaîne lourde gamma1 (1-446) [VH (*Mus musculus* IGHV6-6*01 (87%) -(IGHD) -IGHJ1*01 (90.9%)/*Homo sapiens* IGHV3-49*04 (85%) -(IGHD) -IGHJ6*04 (100%)) CDR-IMGT [8.10.7] (26-33.51-60.99-105) (1-116) -*Homo sapiens* IGHG1*01 (100%), G1m17,1 (CH1 K120 (213) (117-214), charnière 1-15 (215-229), CH2 (230-339), CH3 D12 (355), L14 (357) (340-444), CHS (445-446)) (117-446)], (219-214')-disulfure avec la chaîne légère kappa (1'-214') [V-KAPPA (*Homo sapiens* IGKV1-12*01 (87.4%) -IGKJ4*01 (81.8%)) CDR-IMGT [6.3.9] (27-32.50-52.89-97) (1'-107') -*Homo sapiens* IGKC*01 (100%) Km3 A45.1 (153), V101 (191) (108'-214')]; dimère (225-225':228-228")-bisdisulfure, produit dans des cellules ovarienches de hamster chinois (CHO), glycoforme alfa

unasnemab

inmunoglobulina G1-kappa, anti-[*Homo sapiens* RGMA (co-récepteur BMP de la molécula de orientación repulsiva a, RGM)], anticuerpo monoclonal;

cadena pesada gamma1 (1-446) [VH (*Mus musculus*IGHV6-6*01 (87%) -(IGHD)-IGHJ1*01 (90.9%)/*Homo sapiens*IGHV3-49*04 (85%) -(IGHD)-IGHJ6*04 (100%)) CDR-IMGT [8.10.7] (26-33.51-60.99-105) (1-116) -*Homo sapiens*IGHG1*01 (100%), G1m17.1 (CH1 K120 (213) (117-214), bisagra 1-15 (215-229), CH2 (230-339), CH3 D12 (355), L14 (357) (340-444), CHS (445-446)) (117-446)], (219-214')-disulfuro con la cadena ligera kappa (1'-214') [V-KAPPA (*Homo sapiens*IGKV1-12*01 (87.4%) -IGKJ4*01 (81.8%)) CDR-IMGT [6.3.9] (27-32.50-52.89-97) (1'-107') -*Homo sapiens*IGKC*01 (100%) Km3 A45.1 (153), V101 (191) (108-214')]; dímero (225-225":228-228")-bisdisulfuro, producido en las células ováricas de hámster chino (CHO), forma glicosilada alfa

Heavy chain / Chaîne lourde / Cadena pesada
 EVQLVESGGV LVQPGRSRLR SCTASGPTFS DAWMDWVRQA PGKGLEWVAE 50
 IRSKANNHAT YYAESVKGR TISRDSDSKI VYLMQNSLRT EDTALYCTR 100
 RDGAYWGKCT TVTVSSASTG GPSVFPPLAPS SKSTSGGTTAA LGCLVWDYFP 150
 EPVITVWSNG ALTSGVHTFP AVLQSGGLYS LSLSVVTVPSS SLCTQTYICH 200
 VNHKPSNTKV DKKVEPKSCD KTHTCPPCPA PELLGGPSVF LFPPKEKDYL 250
 MISRTPEVTC VVVDVSHEDP EVKFNWYVVDG VEVHNNAKTKP REEQYNSTYR 300
 PPSRDELTKN QVSLTCLVKG FYPSPDIAVEW ESNQGPENNY KTPPVLDSD 400
 GSFLFLYSKLTK DWLNGKEYKC KVSNKALPAP IKTETISKAKG QPREPVYTL 446
 GDSRDKLTKN VDKSRWQQGN VFSCSVVMHEA LHNHYTQKSL SLSPGK 446

Light chain / Chaîne légère / Cadena ligera
 DIQMTQSPSGV VSASVGDRVT ITCRASQDIS SYLNWYQQKP GKAPKLLIYY 50
 TSRLHSGVPS RFSGSGSGTD FTLTISLQP EDFASYFCQG LNTLWFTFG 100
 GTKVEMERTV AAPSVFIFPP SDEQLIKSGTA SVVCLNNFY PREAKVQKVK 150
 DNALQSGNSQ ESVTEQDSKD STYSLSSTLT LSKADYEKHK VYACEVTHQG 200
 LSSPVTKSFN RGEC 214

Post-translational modifications
 Disulfide bridges location / Position des ponts disulfure / Posiciones de los puentes disulfuro
 Intra-H (C23-C104) 22-98 143-199 260-320 366-424
 22"-98" 143"-199" 260"-320" 366"-424"
 Intra-L (C23-C104) 23"-88" 134"-194"
 23"-88" 134"-194"
 Inter-H-L (h 5-CL 126) 219-214' 219"-214"
 Inter-H-H (h 11, h 14) 225-225" 228-228"

N-glycosylation sites / Sites de N-glycosylation / Posiciones de N-glicosilación
 H CH2 N84.4:
 296, 296"
 Fucosylated complex bi-antennary CHO-type glycans / glycanes de type CHO bi-antennaires complexes fucosylés / glicanos de tipo CHO biantenarios complejos fucosilados.

C-terminal lysine clipping / Coupe de la lysine C-terminale / Recorte de lisina C-terminal
 H CHS K2:
 446, 446"

unesbulinum

unesbulin

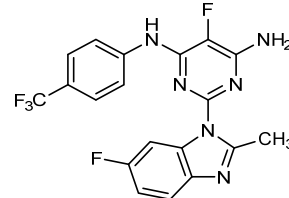
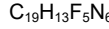
5-fluoro-2-(6-fluoro-2-methyl-1*H*-benzimidazol-1-yl)-*N*⁴-[4-(trifluoromethyl)phenyl]pyrimidine-4,6-diamine

unesbuline

5-fluoro-2-(6-fluoro-2-méthyl-1*H*-benzimidazol-1-yl)-*N*⁴-[4-(trifluorométhyl)phényl]pyrimidine-4,6-diamine

unesbulina

5-fluoro-2-(6-fluoro-2-metil-1*H*-benzimidazol-1-il)-*N*⁴-[4-(trifluorometil)fenil]pirimidina-4,6-diamina



usmarapridum

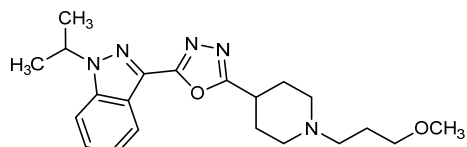
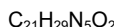
usmarapride

3-[5-[1-(3-methoxypropyl)piperidin-4-yl]-1,3,4-oxadiazol-2-yl]-1-(propan-2-yl)-1*H*-indazole

usmarapride

3-[5-[1-(3-méthoxypropyl)pipéridin-4-yl]-1,3,4-oxadiazol-2-yl]-1-(propan-2-yl)-1*H*-indazole

usmaraprida

3-[5-[1-(3-metoxipropyl)piperidin-4-il]-1,3,4-oxadiazol-2-il]-1-(propan-2-il)-1*H*-indazol**valiloxybatum**

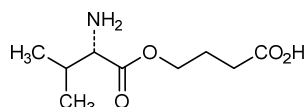
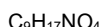
valiloxybate

4-{[(2*S*)-2-amino-3-methylbutanoyl]oxy}butanoic acid,
4-(L-valyloxy)butanoic acid

valiloxybate

acide 4-{[(2*S*)-2-amino-3-méthylbutanoyl]oxy}butanoïque,
acide 4-(L-valyloxy)butanoïque

valiloxibato

ácido 4-{[(2*S*)-2-amino-3-metilbutanoil]oxi}butanoico,
ácido 4-(L-valiloxi)butanoico**vanglusagenum ensiparvovecum #**

vanglusagene ensiparvovec

A recombinant liver-directed adeno-associated virus vector expressing human acid alpha-glucosidase (GAA).

A recombinant liver-directed adeno-associated virus serotype rh74 (AAVrh74) vector that contains a bio-engineered capsid derived from AAVrh74 by four amino-acid substitutions and a codon-optimized transgene expression cassette to drive hepatic synthesis and secretion of the lysosomal enzyme human acid alpha-glucosidase (GAA, α -1,4-glucosidase, acid maltase) via an apolipoprotein E hepatic control region 1 (ApoE HCR1) enhancer/human alpha 1-antitrypsin (hAAT) promoter, a modified human beta-globin intron 2 (HBB2) and a bovine growth hormone (bGH) polyA signal sequence, flanked by adeno-associated virus 2 (AAV2) inverted terminal repeats (ITRs).

vanglusagène ensiparvovec

Un vecteur viral adéno-associé recombinant ciblant le foie exprimant l'alpha-glucosidase acide (GAA) humaine.

Un vecteur viral adéno-associé de sérotype rh74 recombinant (AAVrh74) ciblant le foie qui contient une capsid issue de la bio-ingénierie dérivée du AAVrh74 par quatre substitutions d'acides aminés et une cassette d'expression d'un transgène aux codons optimisés pour induire la synthèse hépatique et la sécrétion de l'alpha-glucosidase acide (GAA, α -1,4-glucosidase, maltase acide) enzyme humaine des lysosomes via un activateur de la région 1 de contrôle hépatique de l'apolipoprotéine E (ApoE HCR1)/promoteur de l'alpha 1-antitrypsine humaine (hAAT), un intron 2 modifié de la bêta-globine humaine (HB2B) et une séquence signal polyA de l'hormone de croissance bovine (bGH), flanquée de répétitions terminales inversées (ITRs) du virus adéno-associé 2 (AAV2).

vagliusagén ensiparvovec

Un vector de virus adeno-asociado recombinante dirigido al hígado que expresa la alfa-glucosidasa ácida (GAA) humana.

Un vector de virus adeno-asociado serotipo rh74 (AAVrh74) recombinante dirigido al hígado que contiene una cápside bioingenierizada derivada de AAVrh74 mediante substituciones de cuatro aminoácidos y un casete de expresión con codones optimizados para dirigir la síntesis hepática y la secreción de la enzima lisosomal alfa-glucosidasa ácida humana (GAA, α -1,4-glucosidasa, maltasa ácida) mediante un potenciador de la región de control hepática 1 de la apolipoproteína E (ApoE HCR1)/promotor de alfa 1-antitripsina humana (hAAT), un intrón 2 modificado de la beta-globina humana (HB2B) y una secuencia señal polyA de la hormona de crecimiento bovina (bGH), flanqueado por las repeticiones terminales invertidas (ITRs) del virus adeno-asociado 2 (AAV2).

varoglutamstatum

varoglutamstat

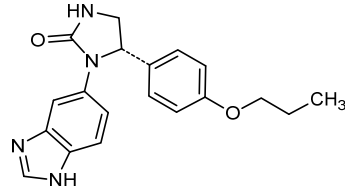
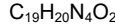
(5S)-1-(1*H*-benzimidazol-5-yl)-5-(4-propoxophenyl)imidazolidin-2-one

varoglutamstat

(5S)-1-(1*H*-benzimidazol-5-yl)-5-(4-propoxophényl)imidazolidin-2-one

varoglutamstat

(5S)-1-(1*H*-benzimidazol-5-il)-5-(4-propoxifenil)imidazolidin-2-oná



vemircopanum

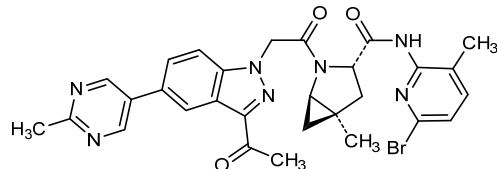
vemircopan

(1*R*,3*S*,5*R*)-2-{[3-acetyl-5-(2-methylpyrimidin-5-yl)-1*H*-indazol-1-yl]acetyl}-*N*-(6-bromo-3-methylpyridin-2-yl)-5-methyl-2-azabicyclo[3.1.0]hexane-3-carboxamide

vémircopan

(1*R*,3*S*,5*R*)-2-{[3-acétyl-5-(2-méthylpyrimidin-5-yl)-1*H*-indazol-1-yl]acétyle}-*N*-(6-bromo-3-méthylpyridin-2-yl)-5-méthyl-2-azabicyclo[3.1.0]hexane-3-carboxamide

vemircopán

(1*R*,3*S*,5*R*)-2-{[3-acetil-5-(2-metilpirimidin-5-il)-1*H*-indazol-1-il]acetil}-*N*-(6-bromo-3-metilpiridin-2-il)-5-metil-2-azabiciclo[3.1.0]hexano-3-carboxamida**vixtimotamabum #**

vixtimotamab

immunoglobulin V-kappa-VH-V-lambda-VH' chain homodimer, anti-[*Homo sapiens* CD3E (CD3 epsilon, Leu-4)] and anti-[*Homo sapiens* CD33 (sialic acid binding Ig-like lectin 3, SIGLEC3, SIGLEC-3, gp67, p67)], monoclonal antibody V-kappa-VH-V-lambda-VH' chain noncovalent homodimer, bispecific, tetravalent; IG V-kappa-VH-V-lambda-VH' chain anti-CD3E and anti-CD33 (1-483) [anti-CD3E V-KAPPA (*Homo sapiens* IGKV1-17*01 (72.5%) -IGKJ1*01 (91.7%)) CDR-IMGT [9.3.9] (27-35.53-55.92-100) (1-110)] -6-mer bis(diglycyl-seryl) linker (111-116) -anti-CD33 VH (*Homo sapiens*IGHV1-8*01 (94.9%) -(IGHD) -IGHJ1*01 (100%) CDR-IMGT [8.8.15] (142-149.167-174.213-227) (117-238) -4-mer diglycyl-seryl-glycyl linker (239-242) -anti-CD33 V-LAMBDA (*Homo sapiens* IGLV1-44*01 (95.9%) -IGLJ3*01 (86.7%)) CDR-IMGT [8.3.11] (268-275.293-295.332-342) (243-352)] -6-mer bis(diglycyl-seryl) linker (353-358) -anti-CD3E VH (*Mus musculus*IGHV10-1*02 (89.8%) - (IGHD) -IGHJ3*01 (86.7%)/*Homo sapiens*IGHV3-72*01 (88.0%) -(IGHD) -IGHJ4*01 (93.3%) CDR-IMGT [8.10.16] (384-391.409-418.457-472) (359-483)]; noncovalent homodimer, produced in a Chinese hamster ovary (CHO)-derived cell line transfected with the glutamine synthetase (GS) gene, non-glycosylated

vixtimotamab

immunoglobuline chaîne V-kappa-VH-V-lambda-VH' homodimère, anti-[*Homo sapiens* CD3E (CD3 epsilon, Leu-4)] et anti-[*Homo sapiens* CD33 (lectine 3 de type Ig-like liant l'acide sialique, SIGLEC3, SIGLEC-3, gp67, p67)], anticorps monoclonal chaîne V-kappa-VH-V-lambda-VH' homodimère non-covalent, bispécifique, tétravalent;

IG chaîne V-kappa-VH-V-lambda-VH' anti-CD3E et anti-CD33 (1-483) [anti-CD3E V-KAPPA (*Homo sapiens* IGKV1-17*01 (72.5%) -IGKJ1*01 (91.7%)) CDR-IMGT [9.3.9] (27-35.53-55.92-100) (1-110)] -6-mer bis(diglycyl-séryl) linker (111-116) -anti-CD33 VH (*Homo sapiens* IGHV1-8*01 (94.9%) -(IGHD) -IGHJ1*01 (100%)) CDR-IMGT [8.8.15] (142-149.167-174.213-227) (117-238) -4-mer diglycyl-séryl-glycyl linker (239-242) -anti-CD33 V-LAMBDA (*Homo sapiens* IGLV1-44*01 (95.9%) -IGLJ3*01 (86.7%)) CDR-IMGT [8.3.11] (268-275.293-295.332-342) (243-352)] -6-mer bis(diglycyl-séryl) linker (353-358) -anti-CD3E VH (*Mus musculus* IGHV10-1*02 (89.8%) -(IGHD) -IGHJ3*01 (86.7%)/*Homo sapiens* IGHV3-72*01 (88.0%) -(IGHD) -IGHJ4*01 (93.3%)) CDR-IMGT [8.10.16] (384-391.409-418.457-472) (359-483)]; homodimère non-covalent, produite dans une lignée cellulaire dérivée des cellules ovaries de hamster chinois (CHO) transfectée avec le gène de la glutamine synthétase (GS), non-glycosylé

vixtimotamab

inmunoglobulina cadena V-kappa-VH-V-lambda-VH' homodímero, anti-[*Homo sapiens* CD3E (CD3 épsilon, Leu-4)] y anti-[*Homo sapiens* CD33 (lectina 3 de tipo Ig-like de unión al ácido siálico, SIGLEC3, SIGLEC-3, gp67, p67)], anticuerpo monoclonal cadena V-kappa-VH-V-lambda-VH' homodímero no covalente, biespecífica, tetravalente; IG cadena V-kappa-VH-V-lambda-VH' anti-CD3E y anti-CD33 (1-483) [anti-CD3E V-KAPPA (*Homo sapiens* IGKV1-17*01 (72.5%) -IGKJ1*01 (91.7%)) CDR-IMGT [9.3.9] (27-35.53-55.92-100) (1-110)] -6-mer bis(diglicil-seril) linker (111-116) -anti-CD33 VH (*Homo sapiens* IGHV1-8*01 (94.9%) -(IGHD) -IGHJ1*01 (100%)) CDR-IMGT [8.8.15] (142-149.167-174.213-227) (117-238) -4-mer diglicil-seril-glicil linker (239-242) -anti-CD33 V-LAMBDA (*Homo sapiens* IGLV1-44*01 (95.9%) -IGLJ3*01 (86.7%)) CDR-IMGT [8.3.11] (268-275.293-295.332-342) (243-352)] -6-mer bis(diglicil-seril) linker (353-358) -anti-CD3E VH (*Mus musculus* IGHV10-1*02 (89.8%) -(IGHD) -IGHJ3*01 (86.7%)/*Homo sapiens* IGHV3-72*01 (88.0%) -(IGHD) -IGHJ4*01 (93.3%)) CDR-IMGT [8.10.16] (384-391.409-418.457-472) (359-483)]; homodímero no covalente, producido en una línea celular derivada de las células ováricas de hámster chino (CHO) transfectada con el gen de la glutamina sintetasa (GS), no glicosilado

Chain / Chaîne / Cadena
 DIQMTQSPPS LSASVGDRVT ITCRSSTGAV TTNSNYANWVQ QKPGKAPKAL 50
 IGGTINKRAGF VPSRFGSLI GDKATLTISS LQPFEDFATYY CALNWYNSNLNV 100
 FGQGTTKVEIK GGSGGGSQVQL VQSGAEVKRP GASVKVSKCA SGYTFTSYDI 150
 NWVRQAPGGC LEWMGWMMNPN SGNNTGFAQKF QGRVTMTRDT STSTVYMEELS 200
 SLRSEDTAVY YCARDRANTD YSLGMDWQGQ GTLTVTVSSGG SQSQVLTQPP 250
 SASCTPGQRV TISCSCGSRSN IGSNTVNWYQ QLGFTAPKLL IYGNNQRPSSG 300
 VPDRFSGSKS GTSASLAISG LQSEDEADYY CATWDDSLIG WVFGGGTKL 350
 VLGGSGGSEV QLVESGGGLV QPGGSSLRLSC AASGFTFSTY AMNWVRQAPG 400
 KGLEWVGRIK SKYNNYATYY ADSVKDRFTI SRDDSKNSLY LQMNSLKTED 450
 TAVYYCARHG NFGNSYVSYF AYWQGTLVT VSS 483

Post-translational modifications

Disulfide bridges location / Position des ponts disulfure / Posiciones de los puentes disulfuro
 Intra-chain (C23-C104) 23-91 138-212 264-331 380-456

No N-glycosylation sites / pas de sites de N-glycosylation / ningún posición de N-glicosilación

voxeralgagenum autotemcelum #

voxeralgagene autotemcel

Autologous CD34+ hematopoietic stem cells (HSCs) transduced *ex vivo* with a self-inactivating lentiviral vector encoding human alpha-galactosidase A (GLA). Autologous CD34+ hematopoietic stem cells (HSCs) obtained by apheresis, transduced with a non-replicating, self-inactivating lentiviral vector encoding codon-optimized human alpha-galactosidase A (GLA) under the control of the human elongation factor 1 alpha short (EFS-1 alpha) promoter and a modified woodchuck hepatitis virus posttranscriptional regulatory element (WPRE). The vector genome also contains a packaging signal, a partial *gag* sequence, a Rev response element (RRE), a central polypurine tract (cPPT) and a Kozak sequence.

voxéralgagène autotemcel

Cellules souches hématopoïétiques autologues CD34+ (HSCs) transduites *ex vivo* avec un vecteur lentiviral auto-inactivant codant pour la galactosidase-alpha A (GLA). Les cellules souches hématopoïétiques autologues CD34+ (HSCs) obtenues par aphérèse, transduites avec un vecteur lentiviral non-répliquant, auto-inactivant codant pour une galactosidase-alpha A humaine aux codons optimisés (GLA) sous le contrôle du promoteur humain du facteur d'elongation 1 alpha court (EFS-1 alpha) et un élément de régulation post-transcriptionnelle du virus de l'hépatite de la marmotte (WPRE). Le génome du vecteur contient aussi un signal de compaction, une séquence partielle *gag*, un élément de réponse Rev (RRE), un tractus central de polypurine (cPPT) et une séquence Kozak.

voxeralgagén autotemcel

Células madre hematopoyéticas (HSC) CD34+ autólogas transducidas *ex vivo* con un vector lentiviral auto inactivante que codifica para la galactosidasa alfa A (GLA) humana.

Células madre hematopoyéticas (HSC) CD34+ autólogas obtenidas por aféresis, transducidas con un vector lentiviral no replicativo y auto inactivante que codifica para la galactosidasa alfa A (GLA) humana, con codones optimizados, bajo el control del promotor del factor de elongación corto 1 alfa (EFS-1 alfa) humano y un elemento regulador post-transcripcional del virus de la hepatitis de la marmota (WPRE) modificado. El genoma del vector también contiene una señal empaquetadora, una secuencia *gag* parcial, un elemento de respuesta Rev (RRE), un segmento central de polipurinas (cPPT) y una secuencia Kozak.

zabedosertibum

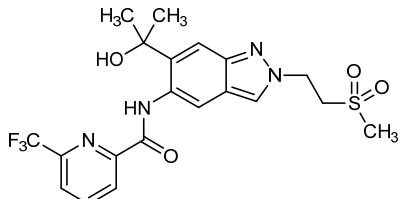
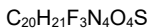
zabedosertib

N-{6-(2-hydroxypropan-2-yl)-2-[2-(methanesulfonyl)ethyl]-2*H*-indazol-5-yl}-6-(trifluoromethyl)pyridine-2-carboxamide

zabédosertib

N-{6-(2-hydroxypropan-2-yl)-2-[2-(máethanesulfonyl)éthyl]-2*H*-indazol-5-yl}-6-(trifluorométhyl)pyridine-2-carboxamide

zabedosertib

N-(6-(2-hidroxipropan-2-il)-2-[2-(metanosulfonil)etil]-2*H*-indazol-5-il)-6-(trifluorometil)piridina-2-carboxamida**zaloglanstatum**

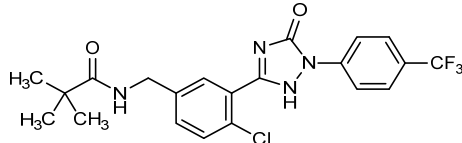
zaloglanstat

N-[(4-chloro-3-{5-oxo-1-[4-(trifluoromethyl)phenyl]-2,5-dihydro-1*H*-1,2,4-triazol-3-yl}phenyl)methyl]-2,2-dimethylpropanamide

zaloglanstat

N-[(4-chloro-3-{5-oxo-1-[4-(trifluorométhyl)phényl]-2,5-dihydro-1*H*-1,2,4-triazol-3-yl}phényl)méthyl]-2,2-diméthylpropanamide

zaloglanstat

N-[(4-cloro-3-{5-oxo-1-[4-(trifluorometil)fenil]-2,5-dihidro-1*H*-1,2,4-triazol-3-il}fenil)metyl]-2,2-dimetilpropanamida**zamtocabtagenum autoleucel #**

zamtocabtagene autoleucel

Autologous T cells obtained from peripheral blood collected by leukapheresis, transduced with a non-replicating lentiviral vector, pseudotyped with vesicular stomatitis virus (VSV) glycoprotein (G), encoding a codon-optimized chimeric antigen receptor (CAR) targeting the human B-lymphocyte antigens CD19 and CD20. Cells are activated in the presence of a colloidal polymeric nanomatrix covalently attached to anti-CD3 and anti-CD28, transduced, and then cultured in the presence of IL-7 and IL-15. The T cells are predominantly central memory (>80%; CD4+/CD8+, CD62L+, CD45RO+) and effector memory T cells (CD4+/CD8+, CD62L-, CD45RO+). The target binding moieties of the CAR are two single-chain variable fragments (scFv), derived from a murine anti-human CD20 and a murine anti-human CD19 hybridoma clone linked with a (GGGGS)₅ sequence, fused to intracellular signalling domains from 4-1BB and CD3 zeta, under the control of the elongation factor 1 alpha (EF1 α) promoter. The genome also contains a 5' splice donor site and a 3' splice acceptor site, a gag truncated open reading

frame, an *env* truncated open reading frame, a Rev response element (RRE) 5' to the transgene, a non-coding artificial sequence for viral titre determination and a *nef* truncated open reading frame 3' to the transgene.

zamtocabtagène autoleucel

Lymphocytes T autologues du sang périphérique recueillis par leucophérèse, transduits avec un vecteur lentiviral non-répliquant, pseudotypés avec une glycoprotéine (G) du virus de la stomatite vésiculaire (VSV), codant un récepteur antigénique chimérique (CAR) aux codons optimisés ciblant les antigènes CD19 et CD20 du lymphocyte B humain. Les cellules sont activées en présence d'une nanomatrice polymérique colloïdale attachée de manière covalente à l'anti-CD3 et l'anti-CD28, transduites, et ensuite cultivées en présence d'IL-7 and IL-15. Les cellules sont majoritairement des lymphocytes T à mémoire centrale (>80%; CD4+/CD8+, CD62L+, CD45RO+) et à mémoire effectrice (CD4+/CD8+, CD62L-, CD45RO+). Les moitiés liées aux cibles du CAR sont deux fragments variables à chaîne simple (scFv), dérivées des clones murins antihumains d'hybridome CD19 et CD20 liés à la séquence (GGGGS)₅, fusionnées aux domaines de signalisation intracellulaire des zéta 4-1BB et CD3, sous le contrôle du promoteur du facteur 1 alpha d'elongation (EF1α). Le génome contient aussi un site d'épissage donneur en 5' et un site d'épissage accepteur en 3', un cadre de lecture ouvert *gag* tronqué, un cadre de lecture ouvert *env* tronqué, un élément de réponse Rev (RRE) dans la partie 5' du transgène, une séquence artificielle non-codante pour la détermination de la titration virale et un cadre de lecture *nef* tronqué dans la partie 3' du transgène.

zamtocabtagén autoleucel

Linfocitos T autólogos obtenidos de sangre periférica recogidos por leucoaféresis, transducidos con un vector lentiviral no replicativo, seudotipado con la glicoproteína (G) del virus de la estomatitis vesicular (VSV), que codifica, con codones optimizados, para un receptor de antígenos químérico (CAR) dirigido a los antígenos CD19 y CD20 de los linfocitos B humanos. Las células se activan en presencia de una nanomatriz coloidal polimérica anclada covalentemente a anti-CD3 y anti-CD28, transducidas, y luego se cultivan en presencia de IL-7 e IL-15. Los linfocitos T son predominantemente de memoria central (>80%; CD4+/CD8+, CD62L+, CD45RO+) y memoria efectora (CD4+/CD8+, CD62L-, CD45RO+). Las fracciones de unión a la diana del CAR son dos fragmentos de cadena variable sencilla (scFv), derivados de un clón de hibridoma murino anti-CD20 humano y anti-CD19 humano ligados con una secuencia (GGGGS)₅, fusionada a los dominios de señalización intracelulares de 4-1BB y CD3 zeta, bajo el control del promotor del factor de elongación 1 alfa (EF1α). El genoma también contiene un sitio 5' donante del procesamiento y un sitio 3' acceptor del procesamiento, un marco de lectura abierto truncado *gag*, un marco de lectura abierto truncado *env*, un elemento de respuesta Rev (RRE) en 5' con respecto al transgén, una secuencia no codificante artificial para la determinación del título viral y un marco de lectura abierto truncado *nef* en 3' con respecto al transgén.

zavege pantum

zavege pant

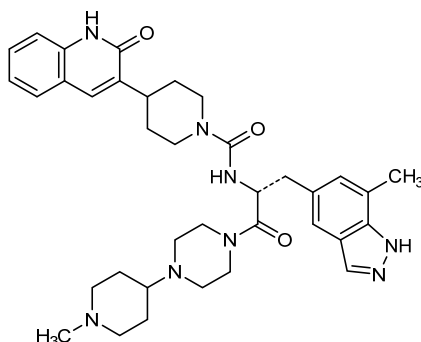
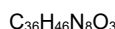
N-(*(2R)*-3-(7-methyl-1*H*-indazol-5-yl)-1-[4-(1-methylpiperidin-4-yl)piperazin-1-yl]-1-oxopropan-2-yl)-4-(2-oxo-1,2-dihydroquinolin-3-yl)piperidine-1-carboxamide

zavégé pant

N-(*(2R)*-3-(7-méthyl-1*H*-indazol-5-yl)-1-[4-(1-méthylpipérnidin-4-yl)pipérazin-1-yl]-1-oxopropan-2-yl)-4-(2-oxo-1,2-dihydroquinoléin-3-yl)pipéridine-1-carboxamide

zavege pant

N-(*(2R)*-3-(7-metil-1*H*-indazol-5-il)-1-[4-(1-metilpiperidin-4-il)piperazin-1-il]-1-oxopropan-2-il}-4-(2-oxo-1,2-dihidroquinolein-3-il)piperidina-1-carboxamida

**zeluvalimab #**

zeluvalimab

immunoglobulin G1-kappa, anti-[*Homo sapiens* PDCD1 (programmed cell death 1, PD-1, PD1, CD279)], monoclonal antibody; gamma1 heavy chain (1-450) [VH (*Homo sapiens*IGHV3-23*03 (92.8%) - (IGHD) - IGHJ3*01 (92.3%)) CDR-IMGT [8.8.13] (26-33.50-58.97-109) (1-120) - *Homo sapiens*IGHG1*03v, G1m3>G1m17, nG1m1 (CH1 R120>K (217) (121-218), hinge 1-15 (219-233), CH2 R83>C (295), N84.4>G (300), V85>C (305) (234-343), CH3 E12 (359), M14 (361) (344-448), CHS (449-450) (121-450)], (223-214')-disulfide with kappa light chain (1'-214') V-KAPPA (*Homo sapiens*IGKV1-12*01 (96.8%) -IGKJ4*01 (100%)) CDR-IMGT [6.3.9](27-32.50-52.89-97) (1'-107') -*Homo sapiens*IGKC*01 (100%), Km3 A45.1 (153), V101 (191) (108'-214')]; dimer (229-229":232-232")-bisdisulfide, produced in Chinese hamster ovary (CHO) cells, non-glycosylated

zéluvalimab

immunoglobuline G1-kappa, anti-[*Homo sapiens* PDCD1 (protéine 1 de mort cellulaire programmée, PD-1, PD1, CD279)], anticorps monoclonal;

chaîne lourde gamma1 (1-450) [VH (*Homo sapiens* IGHV3-23*03 (92.8%) -(IGHD)-IGHJ3*01 (92.3%)) CDR-IMGT [8.8.13] (26-33.50-58.97-109) (1-120) - *Homo sapiens* IGHG1*03v, G1m3>G1m17, nG1m1 (CH1 R120>K (217) (121-218), charnière 1-15 (219-233), CH2 R83>C (295), N84.4>G (300), V85>C (305) (234-343), CH3 E12 (359), M14 (361) (344-448), CHS (449-450)) (121-450)], (223-214')-disulfure avec la chaîne légère kappa (1'-214') [V-KAPPA (*Homo sapiens* IGKV1-12*01 (96.8%) -IGKJ4*01 (100%)) CDR-IMGT [6.3.9](27-32.50-52.89-97) (1'-107')-*Homo sapiens* IGKC*01 (100%), Km3 A45.1 (153), V101 (191) (108'-214')]; dimère (229-229":232-232")-bisdisulfure, produit dans des cellules ovariennes de hamster chinois (CHO), non-glycosylé

zeluvalimab

inmunoglobulina G1-kappa, anti-[*Homo sapiens* PDCD1 (proteína 1 de muerte celular programada, PD-1, PD1, CD279)], anticuerpo monoclonal; cadena pesada gamma1 (1-450) [VH (*Homo sapiens* IGHV3-23*03 (92.8%) -(IGHD)-IGHJ3*01 (92.3%)) CDR-IMGT [8.8.13] (26-33.50-58.97-109) (1-120) - *Homo sapiens* IGHG1*03v, G1m3>G1m17, nG1m1 (CH1 R120>K (217) (121-218), bisagra 1-15 (219-233), CH2 R83>C (295), N84.4>G (300), V85>C (305) (234-343), CH3 E12 (359), M14 (361) (344-448), CHS (449-450)) (121-450)], (223-214')-disulfuro con la cadena ligera kappa (1'-214') [V-KAPPA (*Homo sapiens* IGKV1-12*01 (96.8%) -IGKJ4*01 (100%)) CDR-IMGT [6.3.9](27-32.50-52.89-97) (1'-107')-*Homo sapiens* IGKC*01 (100%), Km3 A45.1 (153), V101 (191) (108'-214')]; dímero (229-229":232-232")-bisdisulfuro, producido en las células ováricas de hámster chino (CHO), no glicosilado

Heavy chain / Chaîne lourde / Cadena pesada

EVLQLESGGG LVQPQGSSLRL SCAASGFTFS SYDMSWVRQA PGKGLEWVSL 50 ISGGGSQTYQ AESVKGRFTI SRDNKNTLY LQMNSLRAED TAVYFVCSSAES 100 GHFYAMDW GQGTTTVTSS ASTKGPSVF LAPSSKSTSG GTAALGCIVK 150 DYFPEPVTSW WNSGALTSGV HTFPAVIQSS GLYSLSVSVT VPSSSLGTQ 200 YICNVNHHKPEV NTKVDKKRVEP KSCDKTHTCP PCPPAPELIGG FSVPFLFPKP 250 KDTLMISRTP EVTCVVVWDVS HEDEPKFWN VYDGVEVHNA KTKPCEEQYQ 300 STYLVCSVLT VLIHQDWLNGK EYKCKVSNKA LPAPIEKTIS KAKGQPREQ 350 VYTLPSSREE MTKNQVSLLTC LVKGCFYPSDI AVEWESNGQ ENNYKTTPPV 400 LDSDGSFFLY SKLTVDKSRW QQGNVFCSV QKHEALHNHYT QKSLSLSPKG 450

Light chain / Chaîne légère / Cadena ligera

DIGMTQSFSV VSASVGRVTI ITCRASQGIS NWLAWYQKQP GKAKPLLIFA 50 ASSLQSGVPS RFSGSGSGTD FTLTISSLQP EDFATYYCQQ AESFPHTFG 100 GTKVEIKRTV AAPSVFIFPP DSEQLKSGTA SVVCLLNFFY PREAKVQWV 150 DNALQSGNSQ ESVTEQDSKD STYSLSSSLT LSKADYEKHK VYACEVTHQG 200 LSSPVTKSFN RGEC 214

Post-translational modifications

Disulfide bridges location / Position des ponts disulfure / Posiciones de los puentes disulfuro
 Intra-H (C23-C104) 22-96 147-203 264-324 295-305 370-428
 22"-96" 147"-203" 264"-324" 295"-305" 370"-428"
 Intra-L (C23-C104) 23"-88" 134"-194"
 23"-88" 134"-194"
 Inter-H-L (h 5-CL 126) 223-214 223"-214"
 Inter-H-H (h 11, h14) 229-229" 232-232"

No N-glycosylation sites / pas de sites de N-glycosylation / ningún posición de N-glicosilación
 CH2 N84.4-G:
 300, 300"
 Aglycosylated

C-terminal lysine clipping / Coupe de la lysine C-terminale / Recorte de lisina C-terminal
 H CHS K2:
 450, 450"

zeteletinibum

zeteletinib

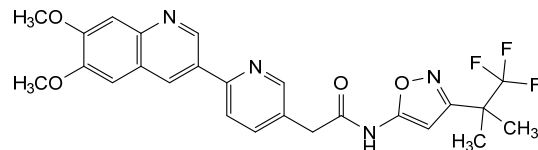
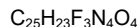
2-[6-(6,7-dimethoxyquinolin-3-yl)pyridin-3-yl]-N-[3-(1,1,1-trifluoro-2-methylpropan-2-yl)-1,2-oxazol-5-yl]acetamide

zétélétinib

2-[6-(6,7-diméthoxyquinoléin-3-yl)pyridin-3-yl]-N-[3-(1,1,1-trifluoro-2-méthylpropan-2-yl)-1,2-oxazol-5-yl]acétamide

zeteletinib

2-[6-(6,7-dimetoxiquinolein-3-il)piridin-3-il]-N-[3-(1,1,1-trifluoro-2-metilpropan-2-il)-1,2-oxazol-5-il]acetamida

**zilebesiranum**

zilebesiran

[(2*S,4R*)-1-{1-[(2-acetamido-2-deoxy- β -D-galactopyranosyl)oxy]-16,16-bis({3-[(3-{5-[(2-acetamido-2-deoxy- β -D-galactopyranosyl)oxy]pentanamido}propyl)amino]-3-oxopropoxy)methyl}-5,11,18-trioxo-14-oxa-6,10,17-triazanonacosan-29-oyl)-4-hydroxypyrrolidin-2-yl]methyl *all*-*P*-ambo-2'-O-methyl-*P*-thioguanlyl-(3'→5')-2'-O-methyl-*P*-thiouridylyl-(3'→5')-2'-O-methylcytidylyl-(3'→5')-2'-O-methyladenylyl-(3'→5')-2'-deoxy-2'-fluorocytidyl-(3'→5')-2'-O-methyladenylyl-(3'→5')-2'-deoxy-2'-fluorocytidyl-(3'→5')-2'-deoxy-2'-fluoroadenylyl-(3'→5')-2'-deoxy-2'-fluoroadenylyl-(3'→5')-2'-O-methyluridylyl-(3'→5')-2'-O-methylguanylyl-(3'→5')-2'-O-methyladenylyl-(3'→5')-2'-O-methylguanylyl-(3'→5')-2'-O-methyladenylyl-(3'→5')-2'-O-methyluridylyl-(3'→5')-2'-O-methyladenylyl-(3'→5')-2'-O-methyl-3'-adenylate, duplex with *all*-*P*-ambo-2'-O-methyl-*P*-thioadenylyl-(5'→3')-2'-O-methyl-*P*-thioguanlyl-(5'→3')-2'-O-methylcytidylyl-(5'→3')-2'-O-methyladenylyl-(5'→3')-2'-O-methylguanylyl-(5'→3')-2'-O-methyladenylyl-(5'→3')-2'-O-methyluridylyl-(5'→3')-2'-O-methyladenylyl-(5'→3')-2'-deoxy-2'-fluoroguanlyl-(5'→3')-2'-O-methylguanylyl-(5'→3')-2'-deoxy-2'-fluorouridylyl-(5'→3')-2'-O-methylguanylyl-(5'→3')-2'-O-methyluridylyl-(5'→3')-2'-O-methyladenylyl-(5'→3')-2'-O-methylcytidylyl-(5'→3')-2'-O-methyladenylyl-(5'→3')-2'-O-methyluridylyl-(5'→3')-2'-O-methylcytidylyl-(5'→2')-1-de- β -D-ribofuranosyl-1-[(2*S*)-2,3-dihydroxypropyl]-5-methyluridylyl-(3'→3')-2'-O-methylcytidylyl-(5'→3')-2'-O-methyladenylyl-(5'→3')-2'-O-methyl-*P*-thiouridylyl-(5'→3')-2'-deoxy-2'-fluoro-*P*-thioguanlyl-(5'→3')-2'-O-methyluridine

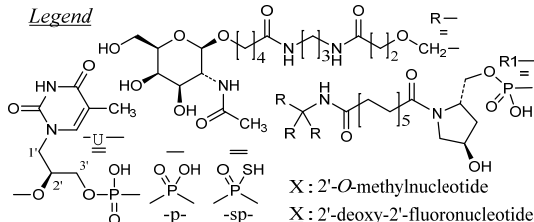
zilébésiran

*tout-P-ambo-2'-O-méthyl-P-thioguanyl-(3'→5')-2'-O-méthyl-P-thiouridyl-(3'→5')-2'-O-méthylcytidyl-(3'→5')-2'-O-méthyluridyl-(3'→5')-2'-O-méthyladényl-(3'→5')-2'-désoxy-2'-fluorocytidyl-(3'→5')-2'-O-méthyladényl-(3'→5')-2'-désoxy-2'-fluorocytidyl-(3'→5')-2'-désoxy-2'-fluoroadényl-(3'→5')-2'-O-méthyluridyl-(3'→5')-2'-O-méthylguanyl-(3'→5')-2'-O-méthyladényl-(3'→5')-2'-O-méthylguanyl-(3'→5')-2'-O-méthyladényl-(3'→5')-2'-O-méthyluridyl-(3'→5')-2'-O-méthyl-3'-adénylate de [(2S,4R)-1-{1-[(2-acétamido-2-désoxy-β-D-galactopyranosyl)oxy]-16,16-bis{3-[3-(5-[(2-acétamido-2-désoxy-β-D-galactopyranosyl)oxy]pentanamido}propyl)amino]-3-oxopropoxy}méthyl]-5,11,18-trioxo-14-oxa-6,10,17-triazanonacosan-29-oyl]-4-hydroxypyrrolidin-2-yl]méthyle, duplex avec *tout-P-ambo-2'-O-méthyl-P-thioadényl-(5'→3')-2'-O-méthyl-P-thioguanyl-(5'→3')-2'-O-méthyladényl-(5'→3')-2'-O-méthyluridyl-(5'→3')-2'-O-méthylguanyl-(5'→3')-2'-O-méthyladényl-(5'→3')-2'-O-méthyluridyl-(5'→3')-2'-O-méthylguanyl-(5'→3')-2'-O-méthyladényl-(5'→3')-2'-désoxy-2'-fluoroguanyl-(5'→3')-2'-O-méthylguanyl-(5'→3')-2'-désoxy-2'-fluorouridyl-(5'→3')-2'-O-méthylguanyl-(5'→3')-2'-O-méthyluridyl-(5'→3')-2'-O-méthyladényl-(5'→3')-2'-O-méthylcytidyl-(5'→3')-2'-O-méthyluridyl-(5'→3')-2'-O-méthyl-3'-dihydroxypropyl]-5-méthyluridyl-(3'→3')-2'-O-méthylcytidyl-(5'→3')-2'-O-méthyluridyl-(3'→3')-2'-O-méthyl-P-thiouridyl-(5'→3')-2'-désoxy-2'-fluoro-P-thioguanyl-(5'→3')-2'-O-méthyluridine**

zilebesirán

*todo-P-ambo-2'-O-metil-P-tioguanilil-(3'→5')-2'-O-metil-P-tiouridiil-(3'→5')-2'-O-metilcitidilil-(3'→5')-2'-O-metiladenilil-(3'→5')-2'-O-metiluridilil-(3'→5')-2'-O-metilcitidilil-(3'→5')-2'-desoxi-2'-fluorocitidilil-(3'→5')-2'-O-metiladenilil-(3'→5')-2'-desoxi-2'-fluorocitidilil-(3'→5')-2'-desoxi-2'-fluoroadenilil-(3'→5')-2'-O-metiluridilil-(3'→5')-2'-O-metilguanilil-(3'→5')-2'-O-metiladenilil-(3'→5')-2'-O-metilguanilil-(3'→5')-2'-O-metiluridilil-(3'→5')-2'-O-metiladenilil-(3'→5')-2'-O-metilcitidilil-(3'→5')-2'-O-metil-3'-adenilato de [(2S,4R)-1-{1-[(2-acetamido-2-desoxi-β-D-galactopyranosil)oxy]-16,16-bis{3-[3-(5-[(2-acetamido-2-desoxi-β-D-galactopyranosil)oxy]pentanamido}propyl)amino]-3-oxopropoxi}metil]-5,11,18-trioxo-14-oxa-6,10,17-triazanonacosan-29-oyl]-4-hidroxipirrolidin-2-il]metilo, dúplex con *todo-P-ambo-2'-O-metil-P-tioadenilil-(5'→3')-2'-O-metil-P-tioguanilil-(5'→3')-2'-O-metilcitidilil-(5'→3')-2'-O-metiladenilil-(5'→3')-2'-O-metilguanilil-(5'→3')-2'-O-metiluridilil-(5'→3')-2'-O-metiladenilil-(5'→3')-2'-desoxi-2'-fluoroguanilil-(5'→3')-2'-O-metilguanilil-(5'→3')-2'-desoxi-2'-fluorouridilil-(5'→3')-2'-O-metilguanilil-(5'→3')-2'-O-metiluridilil-(5'→3')-2'-O-metiladenilil-(5'→3')-2'-O-metiluridilil-(5'→3')-2'-O-metilcitidilil-(5'→3')-2'-O-metiluridilil-(5'→3')-2'-O-metil-3'-dihidroxipropil]-5-metiluridilil-(3'→3')-2'-O-metilcitidilil-(5'→3')-2'-O-metiladenilil-(5'→3')-2'-O-metil-P-tiouridilil-(5'→3')-2'-desoxi-2'-fluoro-P-tioguanilil-(5'→3')-2'-O-metiluridine**

(3'-5') G=U=C-A-U-C-C-A-C-A-U-G-A-G-A-G-U-A-C-A-R1
(5'-3') A=G=C-A-G-U-A-G-G-U-G-U-U-A-C-U-C-U-C-A-U=G=U



zilovertamab #
zilovertamab

immunoglobulin G1-kappa, anti-[*Homo sapiens* ROR1 (receptor tyrosine kinase like orphan receptor 1, NTRKR1)], humanized monoclonal antibody; gamma1 heavy chain humanized (1-446) [VH (*Homo sapiens* IGHV2-70*19 (65.0%) -(IGHD) -IGHJ4*01 (93.3%) Q120>H (108)) CDR-IMGT [8.7.10] (26-33.51-57.96-105) (1-116) -*Homo sapiens* IGHG1*01 (100%) G1m17.1 (CH1 K120 (213) (117-214), hinge 1-15 (215-229), CH2 (230-339), CH3 D12 (355), L14 (357) (340-444), CHS (445-446)) (117-446)], (219-214')-disulfide with kappa light chain humanized (1'-214') [V-KAPPA (*Homo sapiens* IGKV3D-11*02 (67.8%) -IGKJ4*01 (90.9%) G120>E (100)) CDR-IMGT [6.3.9] (27-32.50-52.89-97) (1'-107') -*Homo sapiens* IGKC*01 (100%) Km3 A45.1 (153), V101 (191) (108'-214')]; dimer (225-225":228-228")-bisdisulfide, produced in Chinese hamster ovary (CHO) cells, glycoform alfa

zilovertamab

immunoglobuline G1-kappa, anti-[*Homo sapiens* ROR1 (récepteurs orphelins de type récepteur 1 à tyrosine kinase, NTRKR1)], anticorps monoclonal humanisé; chaîne lourde gamma1 humanisée (1-446) [VH (*Homo sapiens* IGHV2-70*19 (65%) -(IGHD) -IGHJ4*01 (93.3%) Q120>H (108)) CDR-IMGT [8.7.10] (26-33.51-57.96-105) (1-116) -*Homo sapiens* IGHG1*01 (100%) G1m17.1 (CH1 K120 (213) (117-214), charnière 1-15 (215-229), CH2 (230-339), CH3 D12 (355), L14 (357) (340-444), CHS (445-446)) (117-446)], (219-214')-disulfure avec la chaîne légère kappa humanisée (1'-214') [V-KAPPA (*Homo sapiens* IGKV3D-11*02 (67.8%) -IGKJ4*01 (90.9%) G120>E (100)) CDR-IMGT [6.3.9] (27-32.50-52.89-97) (1'-107') -*Homo sapiens* IGKC*01 (100%) Km3 A45.1 (153), V101 (191) (108'-214')]; dimère (225-225":228-228")-bisdisulfure, produit dans des cellules ovariennes de hamster chinois (CHO), glycoforme alfa

zilovertamab

inmunoglobulina G1-kappa, anti-[*Homo sapiens* ROR1 (receptores huérfanos de tipo receptor 1 con tirosina kinasa, NTRKR1)], anticuerpo monoclonal humanizado;

cadena pesada gamma1 humanizada (1-446) [VH (*Homo sapiens* IGHV2-70*19 (65%) -(IGHD) -IGHJ4*01 (93.3%) Q120>H (108)) CDR-IMGT [8.7.10] (26-33.51-57.96-105) (1-116) -*Homo sapiens* IGHG1*01 (100%) G1m17,1 (CH1 K120 (213) (117-214), bisagra 1-15 (215-229), CH2 (230-339), CH3 D12 (355), L14 (357) (340-444), CHS (445-446)) (117-446)], (219-214')-disulfuro con la cadena ligera kappa humanizada (1'-214') [V-KAPPA (*Homo sapiens* IGKV3D-11*02 (67.8%) -IGKJ4*01 (90.9%) G120>E (100)) CDR-IMGT [6.3.9] (27-32.50-52.89-97) (1'-107') -*Homo sapiens* IGKC*01 (100%) Km3 A45.1 (153), V101 (191) (108'-214')]; dímero (225-225":228-228")-bisdisulfuro, producido en las células ováricas de hámster chino (CHO), forma glicosilada alfa

Heavy chain / Chaîne lourde / Cadena pesada

QVQLQESGFG LVVKPSQTLSL TCTVSGYAAFT AYNIIHWVRQA PGQQGLEWMGS 50
FDPYDGSSY NQKFKDRLTI SKDTSKNQVV ITMTNNDPVD TATYYCARGW 100
YYFDYWGHT LVTVVSASTR GPSVPLAAPS SKSTSGTAA LGCLVVKDYFPP 150
EPVTVWSNSG ALTSGVHTFP AVLQSSGLYS LSSWVTVFSS SLCTQTYICN 200
VNHKPSNTKVK DKKVEPKSCD KTHTCPCCPA PELLGGPSPVF LFPPKPKDTL 250
MISRTPEVTC VVVDVSHEDP EVKFNWYVWDG VEVHNAKTKP REEQYNSTYR 300
VVSVLTVLHQ DWLNKEYKC KVSNKALPAP IEKTISKAKG QPREQVYTL 350
PPSRDELTKN QVSLTCLVKKG FYPSDIAVEW ESNQPENNY KITPPVLDSP 400
GSFFLYSKLT VDKRSRWWQGGF VFSCSVMHHE LHNNHTQKSL SLSPKG 446

Light chain / Chaîne légère / Cadena ligera

DIVMTQTPLS LPVTPGE PAS ISCRASKSIS KYLA WYQOKP GQAPRLLIYS 50
GSTLQS吉IPPF RFSGSGYGTID FTILTINNIES EDAAYYFCQGP HDESPYTGFGE 100
GTVKEIKRTV AA PSVFIPIP P SDEQLKSGTA SVVCLLNNFY PREAKVQWKV 150
DNALQS吉NSQ ESVTQDSDK STYSLSSTLT LSKADYEKKH VYACEVTHQG 200
LSSEPVTKSFN RGECE 214

Post-translational modifications

Disulfide bridges location / Position des ponts disulfure / Posiciones de los puentes disulfuro
Intra-H (C23-C104) 22-96 143-199 260-320 366-424
22"-96" 143"-199" 260"-320" 366"-424"
Intra-L (C23-C104) 23"-88" 134"-194"
23"-88" 134"-194"
Inter-H-L (h 5-CL 126) 219-214' 219"-214"
Inter-H-H (h 11, h 14) 225-225" 228-228"

N-terminal glutaminyl cyclization to pyroglutamyl (pE, 5-oxoprolyl)
H VH Q1:
1, 1"

N-glycosylation sites / Sites de N-glycosylation / Posiciones de N-glicosilación
H CH2 N84.4:

296, 296"

Fucosylated complex bi-antennary CHO-type glycans / glycane de type CHO bi-antennaires complexes fucosylés / glicanos de tipo CHO biantenarios complejos fucosilados.

C-terminal lysine clipping / Coupe de la lysine C-terminale / Recorte de lisina C-terminal
H CHS K2:
446, 446"

zilovertamab vedotinum #

zilovertamab vedotin

immunoglobulin G1-kappa, anti-[*Homo sapiens* ROR1 (receptor tyrosine kinase like orphan receptor 1, NTRKR1)], humanized monoclonal antibody conjugated to auristatin E; gamma1 heavy chain humanized (1-446) [VH (*Homo sapiens* IGHV2-70*19 (65.0%) -(IGHD) -IGHJ4*01 (93.3%) Q120>H (108)) CDR-IMGT [8.7.10] (26-33.51-57.96-105) (1-116) -*Homo sapiens* IGHG1*01 (100%) G1m17,1 (CH1 K120 (213) (117-214), hinge 1-15 (215-229), CH2 (230-339), CH3 D12 (355), L14 (357) (340-444), CHS (445-446)) (117-446)], (219-214')-disulfide with kappa light chain humanized (1'-214') [V-KAPPA (*Homo sapiens* IGKV3D-11*02 (67.8%) -IGKJ4*01 (90.9%) G120>E (100)) CDR-IMGT [6.3.9] (27-32.50-52.89-97) (1'-107') -*Homo sapiens* IGKC*01 (100%) Km3 A45.1 (153), V101 (191) (108'-214')]; dimer (225-225":228-228")-bisdisulfide, produced in *

Chinese hamster ovary (CHO) cells, glycoform alfa; conjugated on an average of 4.0 ± 0.5 cysteinyl to monomethylauristatin E (MMAE), via a cleavable maleimidocaproyl-valyl-citrullinyl-*p*-aminobenzoyloxycarbonyl (mc-val-cit-PABC) type linker

For the vedotin part, please refer to the document "INN for pharmaceutical substances: Names for radicals, groups and others"

zilovertamab védotine

immunoglobuline G1-kappa, anti-[*Homo sapiens* ROR1 (récepteurs orphelins de type récepteur 1 à tyrosine kinase, NTRKR1)], anticorps monoclonal humanisé conjugué à l'auristatine E; chaîne lourde gamma1 humanisée (1-446) [VH (*Homo sapiens*IGHV2-70*19 (65%) -(IGHD) -IGHJ4*01 (93.3%) Q120>H (108)) CDR-IMGT [8.7.10] (26-33.51-57.96-105) (1-116) -*Homo sapiens*IGHG1*01 (100%) G1m17.1 (CH1 K120 (213) (117-214), charnière 1-15 (215-229), CH2 (230-339), CH3 D12 (355), L14 (357) (340-444), CHS (445-446)) (117-446)], (219-214')-disulfure avec la chaîne légère kappa humanisée (1'-214') [V-KAPPA (*Homo sapiens*IGKV3D-11*02 (67.8%) -IGKJ4*01 (90.9%) G120>E (100)) CDR-IMGT [6.3.9] (27-32.50-52.89-97) (1'-107') -*Homo sapiens*IGKC*01 (100%) Km3 A45.1 (153), V101 (191) (108'-214')]; dimère (225-225":228-228")-bisdisulfure, produit dans des cellules ovariennes de hamster chinois (CHO), glycoforme alfa; conjugué sur 4.0 ± 0.5 cystéinyl en moyenne, au monométhylauristatine E (MMAE), via un linker clivable de type maléimidocaproyl-valyl-citrullinyl-*p*-aminobenzoyloxycarbonyl (mc-val-cit-PABC)

*Pour la partie védotine, veuillez-vous référer au document "INN for pharmaceutical substances: Names for radicals, groups and others"***

zilovertamab vedotina

imunoglobulina G1-kappa, anti-[*Homo sapiens* ROR1 (receptores huérfanos de tipo receptor 1 con tirosina kinasa, NTRKR1)], anticuerpo monoclonal humanizado conjugado con la auristatina E; cadena pesada gamma1 humanizada (1-446) [VH (*Homo sapiens*IGHV2-70*19 (65%) -(IGHD) -IGHJ4*01 (93.3%) Q120>H (108)) CDR-IMGT [8.7.10] (26-33.51-57.96-105) (1-116) -*Homo sapiens*IGHG1*01 (100%) G1m17.1 (CH1 K120 (213) (117-214), bisagra 1-15 (215-229), CH2 (230-339), CH3 D12 (355), L14 (357) (340-444), CHS (445-446)) (117-446)], (219-214')-disulfuro con la cadena ligera kappa humanizada 1'-214') [V-KAPPA (*Homo sapiens*IGKV3D-11*02 (67.8%) -IGKJ4*01 (90.9%) G120>E (100)) CDR-IMGT [6.3.9] (27-32.50-52.89-97) (1'-107') -*Homo sapiens*IGKC*01 (100%) Km3 A45.1 (153), V101 (191) (108'-214')]; dímero (225-225":228-228")-bisdisulfuro, producido en las células ováricas de hámster chino (CHO), forma glicosilada alfa; conjugado en 4.0 ± 0.5 restos cisteínil por término medio, con monometilauristatina E (MMAE), mediante un conector escindible de tipo maleimidocaproil-valil-citrulinil-*p*-aminobenzoxicarbonil (mc-val-cit-PABC)

*Para la parte vedotina, por favor vaya al documento "INN for pharmaceutical substances: Names for radicals, groups and others"***

Heavy chain / Chaîne lourde / Cadena pesada

QVQLQESEPGV LVKPSQTLSL TCTVSGYAFY AYNIHWRQA PGQGLEWMGS 50
 FDYDGSSYY NQKFKDRLLTI SKDTSKNQVV LTMNTMDPVD TATYYCARGW 100
 YYFDYWGHGT LVTVSSASTK GPSVFLPLAS SKSTSGGTTAA LGCLVKDYP 150
 EPVTVSWNNG ALTSGVHTFP AVLQSSGLYS LSSVVTVPSS SLGTQTYICN 200
 VNHKPSNTKV DKKVEPKSCD KTHTCPPCPA PELLGGPSVF LFPPPKDTL 250
 MISRTEVTC VVUDVSHEDP EVKFNWYWDG VEVHNARTKP REEQYNSTYR 300
 VVSVLTVLHQ DWLNGKEYKC KVSNKALPAP IEKTISKAG QPREPQVVT 350
 PPSRDELTKT QVSLTCLVKG FYPSDIAVEW ESNQOPENNY KTPPVLDSD 400
 GSFFLYSKLT VDKSRWQGN VFSCSMHEA LIINHYTQKSL SLSPKG 446

Light chain / Chaîne légère / Cadena ligera

DIVMTQTPLS LPVTFGPBPAS ISCRASKSIS KYLAWYQQKP GQAPRLLIYS 50
 GSTLQSGIAPP RFSGSGYGYID FTLLTINNIES EDAAYYFCQQ HDESPYTGFGE 100
 GTKVEIKRTV AAPSVFIFPP SDEQLSGSTA SVVCLLNFFY PREAKVQNKV 150
 DNALQSQNSQ ESVTEQDSKD STYSLSSSTLT LSKADYEKHK VYACEVTHQ 200
 LSSPVTKSFN RGEC 214

Post-translational modifications

Disulfide bridges location / Position des ponts disulfure / Posiciones de los puentes disulfuro

Intra-H (C23-C104) 22-96 143-199 260-320 366-424

22"-96" 143"-199" 260"-320" 366"-424"

Intra-L (C23-C104) 23-88" 134"-194"

23"-88" 134"-194"

Inter-H-L (h 5-CL 126)* 219-214" 219"-214"

Inter-H-H (h 11, h 14)* 225-225" 228-228"

*At least two of the four inter-chain disulfide bridges are not present, an average of 4 cysteinyl being conjugated each via a thioether bond to a drug linker. *Au moins deux des quatre ponts disulfures inter-châînes ne sont pas présents, 4 cysteinyl en moyenne étant chacun conjugué via une liaison thioether à un linker-principe actif. *Al menos dos de los cuatro puentes disulfuro inter-catenarios no están presentes, una media de 4 cisteínil está conjugada a conectores de principio activo.

N-terminal glutaminyl cyclization to pyroglutamyl (pE, 5-oxoprolyl)

H VH Q1:

I, I"

N-glycosylation sites / Sites de N-glycosylation / Posiciones de N-glicosilación

H CH2 N84.4:

296, 296"

Fucosylated complex bi-antennary CHO-type glycans / glycanes de type CHO bi-antennaires complexes fucosylés / glicanos de tipo CHO biantenarios complejos fucosilados.

C-terminal lysine clipping / Coupure de la lysine C-terminale / Recorte de lisina C-terminal

H CHS K2:

446, 446"

Electronic structure available on Mednet: <http://mednet.who.int/>

Structure électronique disponible sur Mednet: <http://mednet.who.int/>

Estructura electrónica disponible en Mednet: <http://mednet.who.int/>

* <http://www.who.int/medicines/services/inn/publication/en/>

AMENDMENTS TO PREVIOUS LISTS
MODIFICATIONS APPORTÉES AUX LISTES ANTÉRIEURES
MODIFICACIONES A LAS LISTAS ANTERIORES

Recommended International Nonproprietary Names (Rec. INN): List 5
(WHO Chronicle, Vol. 19, No. 4-5-6, 1965)

- p.14 **oxymetholonom**
 oxymetholone *replace the chemical name by the following one*
 17 β -hydroxy-2-(hydroxymethylene)-17 α -methyl-5 α -androstan-3-one

Dénominations communes internationales recommandées (DCI Rec.): Liste 5
(Chronique OMS, Vol. 19, No 4-5-6, 1965)

- p.14 **oxymetholonom**
 oxymétholone *remplacer le nom chimique par le suivant*
 17 β -hydroxy-2-(hydroxyméthylène)-17 α -méthyl-5 α -androstan-3-one

Denominaciones Comunes Internacionales Recomendadas (DCI Rec.): Lista 5
(Crónica de la OMS, Vol. 20, No 6, 1966)

- p.263 **oxymetholonom**
 oximetolona *sustitúyase el nombre químico por el siguiente*
 17 β -hidroxi-2-(hidroximetileno)-17 α -metil-5 α -androstan-3-oná

Recommended International Nonproprietary Names (Rec. INN): List 9
(WHO Chronicle, Vol. 23, No. 10, 1969)

- p.491 **androstanolonum**
 androstanolone *replace the chemical name by the following one*
 17 β -hydroxy-5 α -androstan-3-one

Dénominations communes internationales recommandées (DCI Rec.): Liste 9
(Chronique OMS, Vol. 23, No 10, 1969)

- p.513 **androstanolonum**
 androstanolone *remplacer le nom chimique par le suivant*
 17 β -hydroxy-5 α -androstan-3-one

Denominaciones Comunes Internacionales Recomendadas (DCI Rec.): Lista 9
(Crónica de la OMS, Vol. 23, No 10, 1969)

- p.531 **androstanolonum**
 androstanolona *sustitúyase el nombre químico por el siguiente*
 17 β -hidroxi-5 α -androstan-3-oná

Recommended International Nonproprietary Names (Rec. INN): List 63
Dénominations communes internationales recommandées (DCI Rec.): Liste 63
Denominaciones Comunes Internacionales Recomendadas (DCI Rec.): Lista 63
(WHO Drug Information, Vol. 24, No. 1, 2010)

p.62 **suprimáse** **insertese**
 iodine (¹²⁴I) girentuximab iodo (¹²⁴I) girentuximab

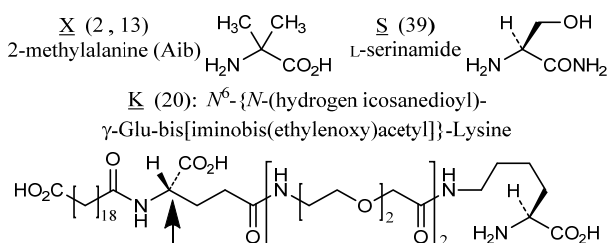
Recommended International Nonproprietary Names (Rec. INN): List 81
Dénominations communes internationales recommandées (DCI Rec.): Liste 81
Denominaciones Comunes Internacionales Recomendadas (DCI Rec.): Lista 81
(WHO Drug Information, Vol. 33, No. 1, 2019)

p.123 **tirzepatidum** *replace the structure by the following one*
 tirzepatide *remplacer la structure par la suivante*
 tirzépatide *sustitúyase la estructura por la siguiente*

Sequence / Séquence / Secuencia

Y_XEGTFTSDY SIX_LDKIAQK AFVQWLIAGG PSSGAPPS_ 39

Modified residues / Résidus modifiés / Restos modificados



Recommended International Nonproprietary Names (Rec. INN): List 83
Dénominations communes internationales recommandées (DCI Rec.): Liste 83
Denominaciones Comunes Internacionales Recomendadas (DCI Rec.): Lista 83
(WHO Drug Information, Vol. 34, No. 1, 2020)

p.34 **betibeglogenum autotemcelum #** *replace the description by the following one*
 betibeglogene autotemcel *remplacer la description par la suivante*
 bétibéglogène autotemcel *sustitúyase la descripción por la siguiente*

autologous CD34+ hematopoietic stem cells obtained from
mobilised peripheral blood of patients with beta-thalassemia, transduced ex vivo with *betibeglogene darolenivec* (116)(78), a self-inactivating human immunodeficiency virus-1 (HIV-1)-derived lentiviral vector encoding a T87Q-mutated form of the human hemoglobin subunit beta (HBB, beta-globin) gene under the control of a human β -globin promoter and a 3' β -globin enhancer.

cellules souches hématopoïétiques CD34+ autologues obtenues à partir de sang périphérique mobilisé de patients atteints de bêta-thalassémie, transduites ex vivo

avec le *bétibéglogène darolentivec* (116)(78), vecteur lentiviral auto-inactivant dérivé du virus de l'immunodéficience humaine-1 (HIV-1) codant pour une forme mutée (T87Q) du gène de la sous-unité bêta de l'hémoglobine humaine (HBB, bêta-globine) sous le contrôle d'un promoteur de la β-globine humaine et un activateur de la bêta-globine en position 3'.

células madre hematopoyéticas CD34+ autólogas obtenidas a partir de sangre periférica mobilizada de pacientes con betatalasemia, transducidas ex vivo con betibeglogén darolentivec (116)(78), un vector lentiviral, auto-inactivante, derivado del virus de la inmunodeficiencia humana-1 (VIH-1) que codifica para una forma mutada T87Q del gen de la subunidad beta de la hemoglobina humana (HBB, beta-globina) bajo el control del promotor de la beta-globina humana y un potenciador de la beta-globina localizado en posición 3'.

p. 124 **veverimerum**

veverimer

vévérimère

veverímero

replace the chemical name and the structure by the following ones

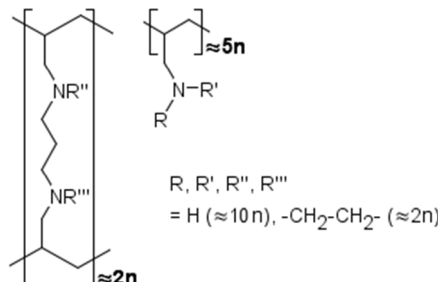
remplacer le nom chimique et la structure par les suivants
sustitúyase el nombre químico y la estructura por los
siguientes

poly[N¹,N³-di(prop-2-en-1-yl)propane-1,3-diamine]-co-prop-2-en-1-amine], crosslinked with N,N'-ethane-1,2-diyl bridges (molar ratio ≈ 2:5:2)

poly[N¹,N³-di(prop-2-én-1-yl)propane-1,3-diamine]-co-prop-2-én-1-amine], réticulé avec des ponts N,N'-éthane-1,2-diyl (rapport molaire ≈ 2:5:2)

poli[N¹,N³-di(prop-2-en-1-il)propano-1,3-diamina]-co-prop-2-en-1-amina], reticulada con puentes N,N'-etano-1,2-diilo (cociente molar ≈ 2:5:2)

$[(C_9H_{18}N_2) \approx_2 (C_3H_7N) \approx_5 (C_2H_2) \approx_2]_n$



p.127 **zagotenemabum #**

- 128 **zagotenemab** *replace the structure by the following one*
zagoténémab *remplacer la structure par la suivante*
zagotenemab *sustitúyase la estructura por la siguiente*

Heavy chain / Chaîne lourde / Cadena pesada

EVQLVQSGAR VKKPGESLKI SCKGSGYTF NSYWIEWVRQM PGKGLEWMGE 50
 ILPGSDSIKY EKNFKGQVTI SADKSISTAY LQWSSLKASD TAMYYCARRG 100
 NYVDDWGQGT LVTVSSASTK GPSVFPLAPC SRSTSESTAA LGCLVKDYFPP 150
 EPVTWSNNG ALTSVGHTFP AVLQSGGLYS LSSVVTVPSS SLGTTKTYTCN 200
 VDHKEPSNTKV DKRVESKYGP PCPCEPAPEA AGGPSVFLFP PPKDTILMIS 250
 RTPEVTCVVV DVSQEDPEVQ FNWYVVDGVEH HNAKTKPREE QFNSTYRVVS 300
 VLTVLHQDWL NGKEYCKVVS NKGKLPSSIEK TISKAKGQPR EPQVYTLPPS 350
 QEEMTCKNQVS LTCLVKGFPY SDIAVEWESN GOPENNYKTT PPVLDSDGSF 400
 FLYSLRTVDK SRWQEGNVFS CSVMEHALHN HYTKQSLSLSG 429

Light chain / Chaîne légère / Cadena ligera

EIVLTQSPGT LSLSPLGERAT LSCRSSQSLV HSNQNNTYLHW YQQKPGQAPR 50
 LLIYKVNDRF SGIPDRFSGS GSGTDFTLTI SRLEPEDFAV YYCSQSTLVP 100
 LTFGGGTKVE IKRTVAAPSV FIFPPSDEQL KSGTASVCL LNNFYPREAK 150
 VQWKVDNALQ SGNSQESVTE QDSKDSTYSL SSTLTLKAD YEKHKVYACE 200
 VTHQGLSSPV TKSFRNRGEC 219

Post-translational modifications

Disulfide bridges location / Position des ponts disulfure / Posiciones de los puentes disulfuro

Intra-H (C23-C104) 22"-96" 143"-199" 257"-317" 363"-421"
 22"-96" 143"-199" 257"-317" 363"-421"

Intra-L (C23-C104) 23"-93" 139"-199"
 23"-93" 139"-199"

Inter-H-L (CH1 10-CL 126) 130-219" 130"-219"

Inter-H-H (h 8, h 11) 222-222" 225-225"

N-glycosylation sites / Sites de N-glycosylation / Posiciones de N-glicosilación

H CH2 N84.4:

293, 293"

Fucosylated complex bi-antennary CHO-type glycans / glycane de type CHO bi-antennaires complexes fucosylés / glicanos de tipo CHO biantenarios complejos fucosilados

Recommended International Nonproprietary Names (Rec. INN): List 85

Dénominations communes internationales recommandées (DCI Rec.): Liste 85

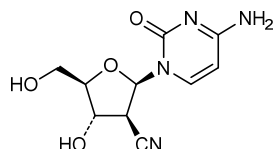
Denominaciones Comunes Internacionales Recomendadas (DCI Rec.): Lista 85

(WHO Drug Information, Vol. 35, No. 1, 2021)

p.200 **radgocitabinum**

- radgocitabine
 radgocitabine
 radgocitabina

replace the structure by the following one
remplacer la structure par la suivante
sustitúyase la estructura por la siguiente



p.233	zanidatamabum zovodotinum #	
-235	zanidatamab zovodotin	<i>replace the description and the structure by the following ones</i>
	zanidatamab zovodotine	<i>remplacer la description et la structure par les suivantes</i>
	zanidatamab zovodotina	<i>sustitúyase la descripción y la estructura por las siguientes</i>

immunoglobulin half-IG G1-kappa/scFv-h-CH2-CH3, anti-[*Homo sapiens* ERBB2 (epidermal growth factor receptor 2, receptor tyrosine protein kinase erbB-2, EGFR2, HER2, HER-2, p185c-erbB2, NEU, CD340)], humanized monoclonal antibody, biparatopic (targeting two different non-overlapping epitopes on ERBB2, on extracellular domains 2 (ECD2) and 4 (ECD4) respectively), conjugated to a derivative of auristatin E; gamma1 heavy chain, anti-ERBB2 extracellular domain 2 (ECD2), humanized (1-449) [VH humanized (*Homo sapiens* IGHV3-66*01 (78.8%) -(IGHD) -IGHJ4*01 (100%)) CDR-IMGT-[8.8.12] (27-34.52-59.98-109) (1-120) -*Homo sapiens* IGHG1*01 G1m17,1 (CH1 K120 (217) (121-218), hinge 1-15 (219-233), CH2 (234-343), CH3 T6>V (353), L7>Y (354), D12 (359), L14 (361), F85.1>A (408), Y86>V (410) (344-448), CHS K2>del (449)) (121-449)], (223-215')-disulfide with kappa light chain, anti ERBB2 ECD2, humanized (1'-215') [V-KAPPA humanized (*Homo sapiens* IGKV1-16*01 (84.2%) -IGKJ1*01 (100%)) CDR-IMGT [6.3.9] (28-33.51-53.90-98) (1'-108') -*Homo sapiens* IGKC*01 (100%) Km3 A45.1 (154), V101 (192) (109'-215')]; IG scFv-h-CH2-CH3 single chain, anti-ERBB2 extracellular domain 4 (ECD4), humanized (1"-481") [scFv V-kappa-VH anti-ERBB2 ECD4 (1"-248") [V-KAPPA humanized (*Homo sapiens* IGKV1-39*01 (86.3%) -IGKJ1*01 (100%)) CDR-IMGT [6.3.9] (28-33.51-53.90-98) (1"-108") -20-mer pentakis(diglycyl-seryl-glycyl) linker (109"-128") - VH humanized (*Homo sapiens* IGHV3-66*01 (81.6%) -(IGHD) -IGHJ4*01 (100%)) CDR-IMGT [8.8.13] (154-161.179-186.225-237) (129"-248")] -dialanyl linker (249"-250") -*Homo sapiens* IGHG1*01 h-CH2-CH3, G1m1 (251"-481") [hinge 1-15, C5>S (255) (251-265), CH2 (266-375), CH3 T6>V (385), D12 (391), L14 (393), T22>L (401), K79>L (427), T81>W (429) (376-480), CHS K2>del (481)]]; dimer (229-261":232-264")-bisdisulfide, produced in Chinese hamster ovary (CHO) cells, glycoform alfa, conjugated, on an average of 2 to 3 cysteinyl, to an auristatin E derivative, via a cleavable 1-maleimido-3,6,9-trioxadodecan-12-oyl-valyl-citrullyl-p-aminobenzenesulfonyl linker

immunoglobuline G1-kappa, anti-[*Homo sapiens* ERBB2 (récepteur 2 du facteur de croissance épidermique, récepteur tyrosine-protéine kinase erbB-2, EGFR2, HER2, HER-2, p185c-erbB2, NEU, CD340)], anticorps monoclonal humanisé, biparatopique (ciblant deux épitopes différents non chevauchants sur ERBB2, respectivement sur les domaines extracellulaires 2 (ECD2) et 4 (ECD4)), conjugué à un dérivé de l'auristatine E; chaîne lourde gamma1 anti-ERBB2 domaine extracellulaire 2 (ECD2), humanisée (1-449) [VH humanisé (*Homo sapiens* IGHV3-66*01 (78.8%) -(IGHD) -IGHJ4*01 (100%)) CDR-IMGT [8.8.12] (27-34.52-59.98-109) (1-120) -*Homo sapiens* IGHG1*01 G1m17,1 (CH1 K120 (217) (121-218), charnière 1-15 (219-233), CH2 (234-343), CH3 T6>V (353), L7>Y (354), D12 (359), L14 (361), F85.1>A (408), Y86>V (410) (344-448), CHS K2>del (449)) (121-449)], (223-215')-disulfure avec la chaîne légère kappa, anti ERBB2 ECD2, humanisée (1'-215') [V-KAPPA humanisé (*Homo sapiens* IGKV1-

16*01 (84.2%) -IGKJ1*01 (100%) CDR-IMGT [6.3.9] (28-33.51-53.90-98) (1'-108') -*Homo sapiens* IGKC*01 (100%) Km3 A45.1 (154), V101 (192) (109'-215');
 IG scFv-h-CH2-CH3 chaîne unique, anti-ERBB2 domaine extracellulaire 4 (ECD4), humanisée (1"-481") [scFv V-kappa-VH anti-ERBB2 ECD4 (1'-248') [V-KAPPA humanisé (*Homo sapiens* IGKV1-39*01 (86.3%) - IGKJ1*01 (100%)) CDR-IMGT [6.3.9] (28-33.51-53.90-98) (1'-108') -20-mer pentakis(diglycyl-seryl-glycyl) linker (109"- 128") -VH humanisé (*Homo sapiens* IGHV3-66*01 (81.6%) -(IGHD) - IGHJ4*01 (100%)) CDR-IMGT [8.8.13] (154-161.179-186.225-237) (129"-248")] -dialanyl linker (249"-250") -*Homo sapiens* IGHG1*01 h-CH2-CH3, G1m1 (251"-481") [charnière 1-15 C5>S (255) (251- 265), CH2 (266-375), CH3 T6>V (385), D12 (391), L14 (393), T22>L (401), K79>L (427), T81>W (429) (376-480), CHS K2>del (481)];
 dimère (229-261":232- 264")-bisdisulfure, produit dans des cellules ovariennes de hamster chinois (CHO), glycoforme alfa; conjugué, sur 2 à 3 cystéinyl en moyenne, à un dérivé de l'auristatine E, via un linker clivable **1-maléimido-3,6,9-trioxadodécan-12-oil-valyl-citrullyl-p-aminobenzènesulfonyle**.

inmunoglobulina G1-kappa, anti-[*Homo sapiens* ERBB2 (receptor 2 del factor de crecimiento epidérmico, receptor tirosina-proteína Kinasa erbB-2, EGFR2, HER2, HER-2, p185c-erbB2, NEU, CD340)], anticuerpo monoclonal humanizado, biparatópico (dirigiendo dos epítopos diferentes no superpuestos sobre ERBB2, respectivamente sobre los dominios extracelulares 2 (ECD2) y 4 (ECD4)), conjugado con un derivado de auristatina E; cadena pesada gamma1 anti-ERBB2 dominio extracelular 2 (ECD2), humanizada (1-449) [VH humanizado (*Homo sapiens* IGHV3-66*01 (78.8%) -(IGHD) -IGHJ4*01 (100%)) CDR-IMGT [8.8.12] (27-34.52-59.98-109) (1-120) -*Homo sapiens* IGHG1*01 G1m17,1 (CH1 K120 (217) (121-218), bisagra 1-15 (219-233), CH2 (234- 343), CH3 T6>V (353), L7>Y (354), D12 (359), L14 (361), F85.1>A (408), Y86>V (410) (344-448), CHS K2>del (449)) (121-449), (223-215")-disulfuro con la cadena ligera kappa, anti ERBB2 ECD2, humanizada (1'-215') [V-KAPPA humanizado (*Homo sapiens* IGKV1-16*01 (84.2%) -IGKJ1*01 (100%)) CDR-IMGT [6.3.9] (28-33.51-53.90-98) (1'-108') -*Homo sapiens* IGKC*01 (100%) Km3 A45.1 (154), V101 (192) (109'-215')];
 IG scFv-h-CH2-CH3 cadena única, anti-ERBB2 dominio extracelular 4 (ECD4), humanizada (1"-481") [scFv V-kappa-VH anti-ERBB2 ECD4 (1'-248') [V-KAPPA humanizado (*Homo sapiens* IGKV1-39*01 (86.3%) - IGKJ1*01 (100%)) CDR-IMGT [6.3.9] (28-33.51-53.90-98) (1'-108') -20-mer pentakis(diglicil-seril-glicil) linker (109"- 128") -VH humanizado (*Homo sapiens* IGHV3-66*01 (81.6%) -(IGHD) - IGHJ4*01 (100%)) CDR-IMGT [8.8.13] (154-161.179-186.225-237) (129"-248")] -dialanil linker (249"-250") -*Homo sapiens* IGHG1*01 h-CH2-CH3, G1m1 (251"-481") [bisagra 1-15 C5>S (255) (251- 265), CH2 (266-375), CH3 T6>V (385), D12 (391), L14 (393), T22>L (401), K79>L (427), T81>W (429) (376-480), CHS K2>del (481)];
 dímero (229-261":232- 264")-bisdisulfuro, producido en las células ováricas de hamster chino (CHO), forma glicosilada alfa; conjugado, sobre 2 a 3 restos cisteinilo en término medio, con un derivado de auristatina E, mediante un conector escindible **1-maleimido-3,6,9-trioxadodecan-12-oil-valyl-citrullil-p-aminobencenesulfonilo**.

Recommended INN: List 86

WHO Drug Information, Vol. 35, No. 3, 2021

1. Heavy chain / Chaîne lourde / Cadena pesada (anti-ERBB2 ECD2)

GEVQLVESGG GLVQPGGSLR LSCAASGFTF ADYTMWDWVRQ APGKGLEWVG 50
 DVNPNSGGSI YNQRFKGRFT FSVDRSKNTL YLQMNSLRAE DTAVYVCARN 100
 LGPSFYFDYW GQGTLVTVSS ASTKGPSVFP LAPSSKSTSG GTAALGCLVK 150
 DYPPEPVTVS WNSGALTSGV HTFPAVLQSS GLYSILSSVVT VPSSSLGTQT 200
 YICNVNHHKPS NTKVDKKVEP KSCDKTHTCP PCPAPELLGG PSVFLFPKP 250
 KDTLMISRTEP EVTCVVVDHS HEDPEVKFNW YVDGVEVHN ATKPREEQYN 300
 STYRVVSLT VLHQDWLNKG EYKCKVSNKA LPAPIEKTS KAKGQPREGQ 350
 VYVYPPSRDE LTKNQVSLTC LVKGFYPSDI AVEWESNGQP ENNYKTPPPV 400
 LDSDGSFALV SKLTVVDKSRW QQGNVFCSV MHEALHNHYT QKSLSLSPG 449

2. Light chain / Chaîne légère / Cadena ligera (anti-ERBB2 ECD2)

GDIQMTQSPS SLSASVGDRV TITCKASQDV SIGVAWYQQK PGKAPKLLIY 50
 SASYRYTGVP SRFGSGSGT DFTLTISLQ PEDFATYYCQ QYYIYPATFG 100
 QGTKVEIKRT VAAPSVFIFP PSDEQIKSGT ASVVCCLNNF YPREAKVQWK 150
 VDNALQSGNS QESVTEQDSK DSTYSLSSL TLSKADYEKH KVYACEVTHQ 200
 GLSSPVTKSF NRGECA 215

3. Chain / Chaîne / Cadena: Ig scFv-h-CH2-CH3 (anti-ERBB2 ECD4)

GDIQMTQSPS SLSASVGDRV TITCRASQDV NTAVAWYQQK PGKAPKLLIY 50
 SASFLYSGVP SRFGSGSGT DFTLTISLQ PEDFATYYCQ QHYTTPPPTFG 100
 QGTKVEIKGG SGGGSGGGSG GGSGGGSGEV QLVESSGGGLV QPGGSLRLSC 150
 AASGFNIKDT YIHWRQRQAPG KGLEWVARIY PTNGYTRYAD SVKGRFTISA 200
 DTSKNTAYLQ MNSLRAEDTA VYYCSRWGGD GFYAMDYWGQ GTLVTVSSAA 250
 EPKSSDKHT CPPCPAPEL GGPSVFLFPP KPKDITLMSR TPEVTCVVVD 300
 VSHEDEPKVF NWYVDGVEVH NAKTKPREEQ YNSTYRVVSV LTVLHQDWLN 350
 GKEYKCKVSN KALPAPIEK TS KAKGQPREGQ PQVYVLPPSR DELTKNQVSL 400
 LCLVKGFYPS DIAVEWESNG QPENNYLTWP PVLDGSFF LYSKLTVDKS 450
 RWQQGNVFSC SVMHEALHNH YTQKSLSLSPG 481

Post-translational modifications

Disulfide bridges location / Position des ponts disulfure / Posiciones de los puentes disulfuro

Intra-H (C23-C104) 23-97 147-203 264-324 370-428

Intra-L (C23-C104) 24'-89' 135'-195'

Intra-chain 3 24"-89" 150"-224" 296"-356" 402"-460"

Inter-H-L (h 5-CL 126)* 223-215'

Inter-H-chain 3 (h 11, h 14)* 229-261" 232-264"

*The inter-chain disulfide bridges are partially reduced, an average of 2 to 3 cysteinyl being conjugated each via a thioether bond to a drug linker. * Les ponts disulfure inter-chânes sont partiellement réduits, une moyenne de 2 à 3 cystéinyl étant chacun conjugué via une liaison thioéther à un linker-principe actif.
 * Los puentes disulfuro inter-catenarios están parcialmente reducidos, una media de 2 a 3 cisteínil está conjugada a conectores de principio activo a través de un enlace tióter.

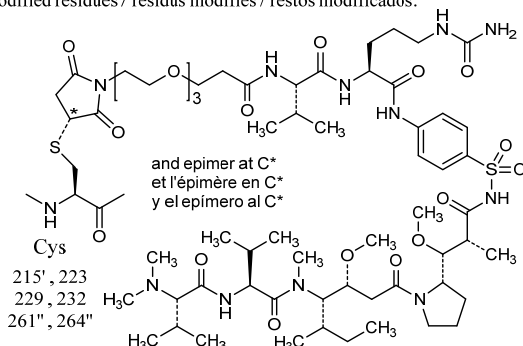
N-glycosylation sites / Sites de N-glycosylation / Posiciones de N-glicosilación

H CH2 N84:4:

300, 332"

Fucosylated complex bi-antennary CHO-type glycans / glycanes de type CHO bi-antennaires complexes fucosylés / glicanos de tipo CHO biantenarios complejos fucosilados.

Modified residues / résidus modifiés / restos modificados:



Procedure and Guiding Principles / Procédure et Directives / Procedimientos y principios generales

The text of the *Procedures for the Selection of Recommended International Nonproprietary Names for Pharmaceutical Substances and General Principles for Guidance in Devising International Nonproprietary Names for Pharmaceutical Substances* will be reproduced in proposed INN lists only.

Les textes de la *Procédure à suivre en vue du choix de dénominations communes internationales recommandées pour les substances pharmaceutiques* et des *Directives générales pour la formation de dénominations communes internationales applicables aux substances pharmaceutiques* seront publiés seulement dans les listes des DCI proposées.

El texto de los *Procedimientos de selección de denominaciones comunes internacionales recomendadas para las sustancias farmacéuticas* y de los *Principios generales de orientación para formar denominaciones comunes internacionales para sustancias farmacéuticas* aparece solamente en las listas de DCI propuestas.